UNIVERSITÉ DE DROIT, D'ÉCONOMIE ET DES SCIENCES (Aix - Marseille III)

FACULTÉ DES SCIENCES ET TECHNIQUES ST JÉRÔME (Laboratoire de Taxinomie et d'Écologie Végétales)

THÈSE

présentée pour l'obtention

du

DIPLÔME DE DOCTEUR DE TROISIÈME CYCLE

Spécialité : Écologie méditerranéenne Mention : Pédologie appliquée

par

SOURABIÉ Noumbié

INFLUENCE DE LA CULTURE DE LA CANNE A SUCRE SUR LES SOLS DE BEREGADOUGOU (HAUTE-VOLTA) (CAS PARTICULIER DES FACTEURS DE FERTILITÉ LIES A LA MATIÈRE ORGANIQUE)

Soutenue le novembre 1979 devant la Commission d'Examen:

MM. R. NEGRE

Président

B. DABIN

Rapporteur

G. AUBERT

Examinateurs

Guy AUBERT

O.R.S.T.O.M. PARIS 1979 A MON PERE,

A MA MERE,

A MES PARENTS,

ET A TOUS MES AMIS.

C'est pour moi un agréable devoir de remercier tous ceux et toutes celles qui, d'une façon ou d'une autre, m'ont aidé, durant les cino années d'études passées en FRANCE et notamment les deux années de recherches, dans la réalisation de ce travail.

Monsieur le Professeur NEGRE, en m'acceptant dans son laboratoire, m'a permis de m'initier aux techniques de recherche pédologique et d'y présenterle D.E.A. C'est également grâce à son initiative que ce travail a pu être réalisé avec la collaboration de l'O.R.S.T.O.M. Je suis particulièrement heureux de lui exprimer toute ma profonde gratitude.

Monsieur Georges AUBERT, Chef de la Section des Sols et Professeur de Pédologie à l'O.R.S.T.O.M., membre de l'Académie d'Agriculture et de l'Académie des Sciences d'Outre-Mer, a toujours su trouver, malgré ses nombreuses responsabilités, le temps nécessaire pour me prodiguer ses conseils judicieux, relire et corriger le manuscrit. Je lui témoigne ici ma très vive gratitude.

Monsieur B. DABIN, Inspecteur Général et Chef des Laboratoires communs d'analyses à l'O.R.S.T.O.M., a suivi et dirigé mon travail. Malgré ses nombreuses occupations, il n'a pas ménagé son temps pour me conseiller . relire et corriger un manuscrit réparti dans le temps. Je lui exprime toute ma profonde gratitude.

Monsieur Guy AUBERT, Docteur es Sciences d'Etat, Maître assistant à la Faculté des Sciences et Techniques de St JEROME, m'a initié aux techniques d'analyses de sol, et je suis très heureux qu'il ait accepté d'être de mon jury. C'est pour moi un grand honneur. Je lui exprime toute ma reconnaissance.

Monsieur M. LAMOUROUX, Docteur es Sciences d'Etat, Directeur de Recherches à l'O.R.S.T.O.M. et Directeur des Services Scientifiques Centraux de l'O.R.S.T.O.M. - BONDY, m'a permis, en m'acceptant dans les laboratoires de ce Centre, de bénéficier de l'équipement scientifique perfectionné et adapté aux nombreuses analyses. Je lui exprime toute ma reconnaissance.

Monsieur J-F. POULAIN, Directeur de l'I.R.A.T. - BAUTE VOLTA, a suivi et dirigé mon travail sur le terrain. J'ai également bénéficié des diverses installations de cet organisme pour la préparation des échantillons de sol. Je lui exprime tous mes vifs remerciements. Que le Directeur de la SOSU-EV (Société Sucrière de EAUTE-VOLTA), ainsi que les chercheurs et le personnel de ladite Société en soient également remerciés.

Monsieur VAN DEN DRIESSCHE R. et Melle AUBRY A-M. m'ont initié aux nouvelles méthodes de calculs statistiques, aux techniques de traitement informatique des données pédologiques de terrain et de laboratoire et m'ont permis d'avoir accès à l'ordinateur. Qu'ils en soient vivement remerciés.

Messieurs A. COMBEAU, P. PELLOUX et B. KALOGA m'ont apporté leurs multiples et bienveillants conseils et leur aide efficace à la détermination de certaines caractéristiques physiques et chimiques de mes échantillons de sol. Je leur exprime ici tous mes vifs remerciements. Que M. COMEROUX en soit également remercié rour toute l'aide qu'il m'a apportée pour la réalisation des différentes illustrations graphiques.

Grâce à l'amabilité de M. HIERNAUX, Directeur du Service Central de Documentation et de M. QUINET, et au travail minutieux de leurs collaborateurs, cette trèse a pu être présentée ainsi. J'adresse à tous mes sincères remerciements.

Je dois associer aux divers résultats analytiques, à la mise au propre de certains graphiques et à la présentation ainsi faite de cette thèse, tous les techniciens des laboratoires de physique et de chimie des sols, des Services de Cartographie et de Fublication. Je leur adresse tous mes chaleureux remerciements. Ces remerciements vont également au personnel de la Bibliothèque cù j'ai trouvé tant de renseignements utiles à mon travail et où j'ai toujours été gentiment accueilli.

Enfin, que tous les amis en soient vivement remerciés pour tout le soutien qu'ils m'ont apporté sous quelque forme que ce soit, pendant ces deux ammées de travail.

SOMMAIRE

I. GENERALITES

	Page
INTRODUCTION	. 1
	: : :
	r
Chapitre Premier	:
Francisco de la companya de la comp La companya de la co	•
LE MILIEU CULTURAL	. 5
1. SITUATION GEOGRAPHIQUE	· · . 5
2. LES SOLS, DESCRIPTION DE PROFILS TYPES	. 5
Z.1. Les sols ferrugineux tropicaux	7
2.1.1. Profil n° 10 (parcelle non cultivée :	
jachère ancienne	7
jachere ancreme	
2 1 2 Profil = 2 1 (0
2.1.2. <u>Profil n° 1</u> (parcelle cultivée 5 ans)	8
	* 25.3 20.40
2.2. Les sols peu évolués	•• 11;
2.2.1. Profil n° 15 (parcelle non cultivée : ja	achère
ancienne	. 11
2.2.2. Profil n° 2 (parcelle cultivée 4 ans)	. 11
2.3. Les sols hydromorphes	15

		2.3.1.	Profil n° 12 (parcelle non cultivée : jachère récente).	15
	. •	2.3.2.	Profil n° 5 (parcelle cultivée 3 ans)	16
3.	GEOLOG	IE ET G	EOMORPHOLOGIE	19
	3.1.	La Géo	logie	19
		3.1.1.	Les formations superficielles	20
		3.1.2.	Les formations du substratum	22
	3.2.		morphologie	
	•	3.2.1.	Les basses plaines inondables	2 6
	٠	3.2.2.	La zone comprise entre la falaise au nord et les basses plaines au sud	2 6
		3.2.3.	La falaise de BANFORA	2 6
4.	LA VEG	ETATIO <u>N</u>	······································	27
5.	LE CLII	<u>MAT</u>		3 2
	5.1.	La plu	viométrie	32
		5.1.1.	Variations avec la latitude	33
		5.1.2.	Variations avec les années	33
		5.1.3.	Intensité et durée des pluies	36

. .

5	.2. Le	es Lei	aperes				• • • •	• • • •	• • • •	• • • •		• • •	• •	• • •	• •	•••	• ′ -	_
, .																		
•	• • •				٠.				•	٠.							_	
	5.	2.1.	Maxin	numbe G	t mi	nimums	abs	olus	men	sue.	Ls	• • •	• •	• • •	• •	• • • •	. 3	ΰ
	-	2 2	T = 4.						<u>.11.</u>								-	20
	5.	2.2.	La to	mper	acur	e moye	enne	annu	GITE	- • •	• • •	• • •	• •	• • •	• •	• • • •)7
5	3 Тс	e Va	nte.														•	ŧ٩
J	. 3. 10	-5 V CI		• • • • •					• • • •		• • •		• •	• • •	• •	• • • •		,
	5.	3.1.	Le Mo	ousso	n												. 3	39
	5.	3.2.	L'Har	matt	an .												. 3	19
	-																	
5	.4. <u>L'</u>	Evapo	pratic	on				• • • •		• • • •				. <i>.</i> .		• • • •	. 4	0
_																	. ,	٠_
5	.5. \ <u>Co</u>	nclu	sion .	· · · · ·	• • • •	• • • • • •	• • • •	• • • •	• • • •	• • • •	• • •	• • •	• •	• • •	• •	. · · ·	. 4	- 3
•								٠							1	•:		
								. ,					. '		•			
Chai	n i t	r e	Бе	uх	iè	m e		. ,	,	• •			•	٠.	'			
Chaj	p i t	r e	Dе	u x	iè	m e		. ,	•	• ••				٠.				
C h a j	pit	r e	ре	ux	iè	m e		. ,	•	• •				٠.				
•	* ·	•																
				a												• .		
				a												• .		
•				.												• .		
	H N I C R E	Q U I	E S	C U	L T	U R A	L E	S :	D E	L	Α	C	Λ 1 	N N	IE		45	
	H N I C R E	Q U I	E S	C U	L T		L E	S :	D E	L	Α	C	Λ 1 	N N	IE		45	
	H N I C R E	QUE	ES.	С U 	LT 	U R A	LE	S :	D E	L	Λ	C ·	Λ I	N N	I E		4.5	· ·
TECIA SU	H N I C R E CANNE	Q U I	ES	C U	L T	URA	LE	S :	D E	L	Α	C ·	A 1	N N	I E		45 45	; ;
TECIA SU	H N I C R E CANNE	Q U I	ES	C U	L T	URA	LE	S :	D E	L	Α	C ·	A 1	N N	I E		45 45	; ;
TECIA SU	H N I C R E CANNE	Q U I	ES	C U	L T	URA	LE	S :	D E	L	Α	C ·	A 1	N N	I E		45 45	; ;
TECIA SU	H N I C R E CANNE	Q U I	ES	C U	L T	URA	LE	S :	D E	L	Α	C ·	A 1	N N	I E		45 45	; ;
T E C 1 A S U 1. LA 0	H N I C R E CANNE	Q U I	ES	C U	L T	URA	LE	s :	D E	L	Α	C	A 1	N N	N E		45 45	; ;
T E C 1 A S U 1. LA 0	H N I C R E CANNE	Q U I	ES	C U	L T	URA	LE	s :	D E	L	Α	C	A 1	N N	N E		45 45	; ;
T E C 1 A S U 1. LA 0	H N I C R E CANNE	Q U I	ES	C U	L T	URA	LE	s :	D E	L	Α	C	A 1	N N	N E		45 45	; ;
T E C I A S U 1. LA (H N I C R E CANNE PREPAR	Q U I	S S CRE	C U	L T	U R A	L E	S	D E	L	A	c	A 1	N N	1 E		45 45 46	
T E C I A S U 1. LA (H N I C R E CANNE PREPAR	Q U I	S S CRE	C U	L T	URA	L E	S	D E	L	A	c	A 1	N N	1 E		45 45 46	
T E C I A S U 1. LA (H N I C R E CANNE PREPAR	Q U I	S S CRE	C U	L T	U R A	L E	S	D E	L	A	c	A 1	N N	1 E		45 45 46	
T E C I A S U 1. LA (H N I C R E CANNE PREPAR .1. Le	Q U I	CRE	C U	L T	U R A	L E	s :	D E	L	Α	C	A 1	N N	N E		45 46 47	

4. L'IRRIGATION
5. LA RECOLTE 49
the second of th
II. METHODOLOGIE
Chapitre - Troisième,
LES METHODES DE TRAVAIL
1. SUR LE TERRAIN.
1.1. Emplacement des.profils
1.2. Les prélèvements
2. AU LABORATOIRE
2.1. Les analyses physiques
2.2. Les analyses chimiques
2.3. Les méthodes de traitement informatique des données et de calculs statistiques
en e
I I I R.E S U.L T.A T S
Chapitre Quatrième
RESULTATS ET DISCUSSION

 \mathcal{X}_{i}

1. INTRODUCTION	. 77
2. EVOLUTION DES CARACTERES MORPHOLOGIQUES	. 79
2.1. Modifications dues à la mise en culture	. 79
2.1.1. Comparaison entre profils témoins et profils de sol cultivé	. 79
2.1.2. Comparaison entre parcelles cultivées d' "âge" différent	. 31
2.2. Conclusions de l'étude morphologique	. 82
3. EVOLUTION DES PRINCIPAUX CARACTERES PHYSICO-CHIMIQUES	. 83
3.1. Caractères physiques	. \$ 3
3.1.1. Granulométrie	. 83
그 이 사람들은 사람들이 가입하는 사람들이 하는 사람들이 되었다.	
3.1.2. Stabilité structurale	. 100
3.1.3. Propriétés hydriques	. 103
3.2. Conclusions partielles	. 108
3.3. Caractères chimiques	. 109
A Market Committee and the Committee of	
3.3.1. Le pH et le complexe absorbant	. 109
3.3.2. "Bases totales" : réserves agronomiques	
	? ."
3.3.3. Azote total	123

<u>:</u> ...:

35 8

:

3.3.4. Phosphore total et phosphate assimilable 124
3.3.5. Fer total et fer libre
4. EVOLUTION DE LA MATIERE ORGANIQUE
4.1. <u>Généralités</u>
4.2. Etude quantitative de la matière organique
4.3. Etude qualitative de la matière organique
4.3.1. Extraction et fractionnement de la matière organique 139
4.3.2. Fractionnement des matières humiques par électro- phorèse sur papier
4.3.3. Fractionnement de l'azote de l'humine 145
4.3.4. Interprétation des résultats de l'étude qualitative de la matière organique
IV. CONCLUSION'S
the first of the second of
Chapitre Cinquième
CONCLUSIONS GENERALES
1. DU POINT DE VUE PEDOLOGIQUE
the Section of the Control of the Co
1.1. Réorganisations structurales dues aux techniques culturales, évolution des principaux caractères physiques du sol 167

ς.

		1	L.2	2.	Ev	ro1	uti	on	de	1a	ma t	tiè	re	or	gaı	nig	ue	et	sor	i	nf	1u	enc	e	su	r 1	Le c	om-
					pc	rt	eme	nt	du	sol	. Cı	ılt:	Lvě	•	• •	•••	• • •	• • •	• • •	• •	• •	••	• • •	• •	• •	• •	• • • •	169
2	. I	บต	P	IIC	ĪΤ	DE	VU	E A	GR	ONOM	ΙQΙ	JE ,	• • •								· .							172
В	I	В	L	I	0	G :	R A	P	Н	ΙE		• • •																177
Δ	n	n	6	•	6	т			ਸ	iche		le cr	ori	nt	1 17	66	des	2 n1	roft	1 0	. A	6	ഹി					
Ω	•••		٠	^	٠	_		•					- 1 1	.p.		-5	uc.	, P.			, .	_	301	•				
												_						_										
A	n	n	е	x	е	Ι	Ι	:		able arac								-	-	es	3,							
									C	ar ac	Lei	LIS	LIG	lue	:5 }	Rem	ELC	TE	•									
A	n	n	9	x	е		ΙI	I:	F	iche	s a	ana i	lyt	:iq	ue	s d	e :	Lab	orat	oi:	re	•						

INTRODUCTION

NOTE OF THE CHAIN OF THE

La région Ouest-Sud de la HAUTE-VOLTA où se situe la zone étudiée, est comprise entre le parallèle 11° et les frontières malienne, ivoirienne et ghanéenne.

La géologie de la région a été étudiée par les chercheurs du B.R.G.M. (Bureau de Recherches Géologiques et Minières), ARNOULD (1961), JONQUET (1962), JONQUET et SERRE (1964), MARCELIN et SERRE (1971). Elle est caractérisée par le socle précambrien, lequel est recouvert dans la partie nordique de la région par des sédiments du Précambrien supérieur.

La pédologie de la région a été étudiée en 1968 par les chercheurs de 1'O.R.S.T.O.M. (Office de la Recherche Scientifique et Technique Outre-Mer), J.M. RIEFFEL (Centre de DAKAR-HANN au SENEGAL), R.MO-REAU 'Centre d'ADIOPODOUME en COTE-D'IVOIRE), avec la collaboration de R.FAUCK, E. GUICHARD et P.MERCKY. Une carte pédologique à 1/500.000, avec notice explicative, a été établie.

Le périmètre sucrier de BANFORA occupe un espace limité au sud par les basses plaines inondées et au nord par la falaise de BANFORA.

Les sols couverts par cet espace ont été cartographiés à 1/50.000 par MOREAU (1967). Les résultats de ses travaux, consacrés à l'étude de l'aptitude de ces sols à la culture de la canne à sucre, ont constitué une base de référence pour la présente étude.

Selon cet auteur, la cannaie de BEREGADOUGOU couvre aujourd'hui quatre classes de sols dont trois ont été considérées dans ce travail:

1. 1. 1.

Projections in the Mile

- les sols peu évolués,
 - les sols ferrugineux tropicaux, ...
- les sols hydromorphes.

Avant leur plantation en canne à sucre, ces sols étaient, soit laissés en jachère, soit occupés par des cultures traditionnelles diverses (mil, sorgho, arachide, fonio..etc). Les premières parcelles cultivées en canne datent de 1972, en Octobre 1977, date de prélèvement des échantillons de sol, 3.881,5 ha étaient plantés.

Le climat de la région est du type soudano-guinéen, caractérisé par deux saisons bien tranchées :

- -- une saison pluvieuse longue de 5 à 6 mois où il tombe en moyenne 1100 à 1200 mm d'eau.
- une saison sèche qui dure 6 à 7 mois.

La région est ensoleillée toute l'année et la température moyenne annuelle est de 26°7.

Le réseau hydrographique comporte des cours d'eau importants (Comoé Léraba, Lafégué) et moyens (Yannon, Béréga... etc) des lacs y existent dont le plus important est celui de TINGRELA.

La végétation naturelle est la savane arborée aujourd'hui dominée par des graminées. Elle a été dégradée par les cultures traditionnelles qui n'ont conservé que quelques grands arbres (karité et néré) de grande utilité. Avant leur destruction, lors du défrichement, le paysage était aussi caractérisé par de nombreuses et magnifiques romeraies.

Dans la litérature, les études de l'évolution du sol sous culture portent souvent sur des cultures annuelles (arachide, mil, maïs..etc) ou sur des cultures d'arbres fruitiers (caféiers, palmiers à huile, bananiers... etc), mais très rarement sur des cultures graminéennes pluriannuelles comme la canne à sucre. La présente étude a un but doubles

- d'une part, elle tente de montrer comment ces sols réagissent à court terme aux facteurs nouveaux introduits par le défrichement, la plante elle-même et l'irrigation.

⁽⁺⁾ plantations de rôniers (palmiers du genre Borassus) dont on extrait une boisson couramment appelée "bangui".

- d'autre part, elle doit permettre à son auteur de se familiariser avec les méthodes et techniques utilisées en recherches de Pédologie appliquée dans les régions tropicales semi-humides.

Les sols étudiés présentent une grande hétérogénéité géographique. Cette hétérogénéité du terrain pouvant être parfois plus importante que les variations à mettre en évidence a conduit à adopter une méthode d'emplacement de profils et de prélèvement des échantillons, à distinguer profils pédologiques et profils culturaux aussi appelés indifféremment agropédiques. Cette méthode essaie ainsi de concilier cette hétérogénéité d'une part, avec le point de vue pratique et les moyens limités dont on a disposé d'autre part. Elle est loin d'être très précise et est à parfaire pour la suite des travaux. La courte durée d'exploitation de ces sols interdit de conclure définitivement quant à leur évolution dans un sens ou dans un autre. Ce rapport doit être considéré comme un bilan provisoire des études d'évolution des sols de Bérégadougou, soumis à la culture de canne à sucre, études qui seront poursuivies et développées.

Cette étude comporte trois parties principales :

- I. MILIEU DE CULTURE ET TECHNIQUES CULTURALES DE LA CANNE A SUCRE
- II. METHODOLOGIE
- III. RESULTATS ET DISCUSSION; CONCLUSIONS GENERALES.

Les fiches descriptives des profils et d'analyses de laboratoire sont groupées respectivement en annexes I et III à la fin du rapport.

R E S U M E

L'introduction de la culture industrielle de la canne à sucre en Afrique occidentale est relativement récente. A BEREGADOUGOU (Haute-Volta) où elle est pratiquée depuis seulement 1972, les sols occupés, sols ferrugineux tropicaux lessivés et appauvris, sols peu évolués complexes, intergrades vers les sols ferrugineux tropicaux et sols hydromorphes peu humifères et à pseudogley, étaient traditionnellement cultivés en mil, sorgho, fonio, maïs....etc, avec des jachères plus ou moins longues. Dans cette région tropicale à climat soudano-guinéen à deux saisons sèche et humide bien tranchées, le facteur limitant pour toute culture pérenne de type graminéen comme la canne à sucre est le manque d'eau. Une irrigation est par conséquent primordiale.

Les techniques culturales qui y sont appliquées permettent dans l'ensemble de maintenir la fertilité de ces sols à un niveau relativement satisfaisant. Cependant on constate la dégradation de certains caractères physiques (structure notamment) des horizons de surface des sols ferrugineux tropicaux, malgré les apports annuels importants de matières organique fraîche par les racines et les feuilles de canne.

L'étude quantitative et qualitative de l'évolution à court terme de cette matière organique montre qu'elle se décompose plus rapidement sous parcelles cultivées et irriguées que sous savane. La biodégradation de l'humine et la dépolymérisation des acides humiques y sont plus poussées et corrélativement le taux des acides fulviques augmente, ces derniers particulièrement agressifs vis à vis des colloïdes du sol destabilisent la structure des sols ferrugineux tropicaux.

Dans les deux autres types de sols la structure (horizons de surface) s'est au contraire sensiblement améliorée.

La combinaison de l'irrigation, du travail du sol, des apports d'engrais chimiques et de matière organique fraîche permettra d'assurer la conservation de ces sols d'où la nécessité d'un contrôle continue de leur évolution.

Chapitre Premier

LE MILIEUCULTURAL

1. SITUATION GEOGRAPHIQUE.

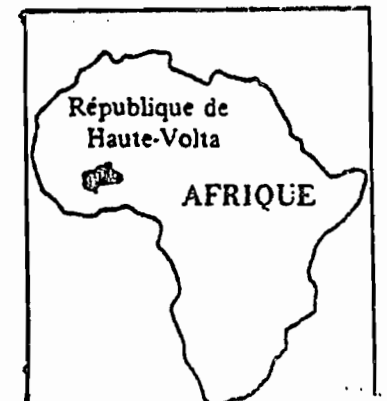
Située dans la boucle du NIGER, au centre de l'Afrique Occidentale, la HAUTE VOLTA est un pays continental d'une superficie de 274.000 Km2.

Les sols étudiés sont situés dans sa partie Ouest-Sud, c'est-à-dire toute la zone délimitée par le parallèle 11° et les frontières ma-lienne, ivoirienne et ghanéenne (CARTE DE SITUATION N° 1), plus précisément dans le périmètre sucrier de BANFORA entre 10°41' et 10°47' de latitude Nord et 4°38' et 4°39' de longitude Ouest, soit approximativement une surface d'une dizaine de milliers d'hectares (CARTE N° 5). Ce périmètre est limité au nord par la falaise de BANFORA, au sud par les basses plaines inondées, à l'ouest par la route BANFORA, cascade de KARFIGUELA et à l'est par une colline de formations birrimiennes schisteuses affleurantes. Les limites précises sont indiquées sur le plan parcellaire à 1/50.000ème (CARTE N° 5).

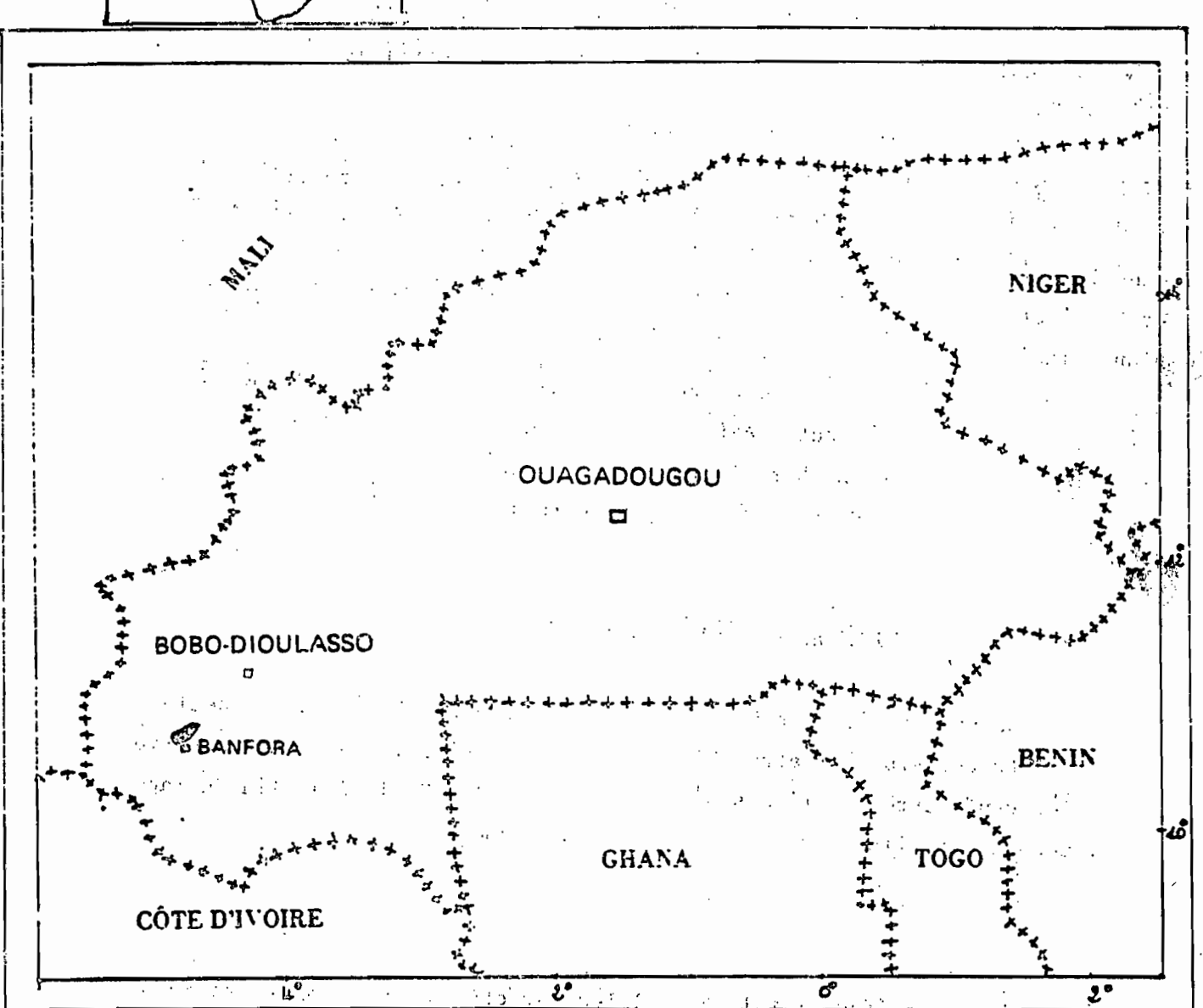
2. LES SOLS, " DESCRIPTION DE PROFILS TYPES :

Quinze profils ont été étudiés sur place et analysés. Six seulement ont été choisis pour être décrits dans ce chapitre. Les fiches descriptives des neuf autres profils sont regroupées en ANNEXE 1, à la fin du rapport. Ces six profils se répartissent en deux groupes :

Voir en ANNEXE I (feuilles 1, 2) les caractères généraux de ces sols.



CARTE DE SITUATION



CARTE N° 1

SITUATION GEOGRAPHIQUE DE LA ZONE ÉTUDIÉE

non

3 en parcelles cultivées (jachères) et 3 en parcelles cultivées en canne à sucre depuis 5, 4 et 3 ans, à raison d'un couple de profils "cultivénon cultivé" pour chacun des trois types de sol à savoir :

- .les sols ferrugineux tropicaux lessivés ou appauvris;
- .les sols complexes, peu évolués intergrade sols ferrugineux tropicaux;
- .les sols hydromorphes peu humifères à pseudogley.

Dans la suite du texte, ces sols seront désignés respectivement par : sols ferrugineux tropicaux, sols peu évolués et sols hydromorphes. Dans les fiches descriptives des profils, X 38, E 9 et H 61 désignet aussi, dans le même ordre, les mêmes types de sol.

2.1. Les sols ferrugineux tropicaux.

2.1.1. Profil N° 10 (parcelle non cultivée : jachère ancienne).

Ces sols présentent, dans leurs horizons de surface, une grande ressemblance morphologique. Ce qui frappe à première vue est l'absence quasi totale de la litière. Ceci tient au fait que la périôde à laquelle les observations ont été faites (octobre), correspond à un moment où la litière de l'année précédente est déjà décomposée et que la végétation de l'année en cours (principalement graminéenne) est à son plein développement.

Dans la plupart des profils étudiés, on observe un horizon humifère (HORIZON 1), brun-sombre à brun-clair, peu épais, 10 à 20 cm maximum,
suivi d'un horizon (HORIZON 2), sous-jacent, appelé horizon humifère de pénétration. Il est également peu épais, 15 à 20 cm, généralement plus clair
que le premier. C'est dans ces deux horizons (appumites) que 1'on rencontre
la quasi totalité des racines de graminées. De texture sablo-argileuse et
de structure souvent particulaire fine à particulaire grossière, ces horizons qui sont les plus riches en matière organique, contrastent avec ceux
de profondeur où la morphologie varie d'un profil à l'autre et où les ra-

cines sont généralement absentes (HORIZONS 3 et 4), de couleur jaune rouge (5YR 5/6). La description détaillée des horizons figure à la page 9.

2.1.2. Profil n° 1 (parcelle cultivée 5 ans).

L'horizon humifère de pénétration, détruit par le travail du sol, n'existe plus. On n'observe plus que l'horizon de labour de 30 à 50 cm d'épaisseur en moyenne (HORIZON 1).

Il est de couleur rouge-brun (5 YR 4/4), à sable fin, reposant sur un horizon très épais (HORIZON 2), à structure massive, de couleur jaune-rouge (5YR 4/8), lequel surmonte un troisième horizon également jaune-rouge.

En surface, on peut observer, sur une mince épaisseur (1 à 2 cm), une litière en état de décomposition avancée. Il n'est pas rare de voir des feuilles basales des cannes en partie décomposées, alors qu'elles sont encore attachées à la tige. Ici, la vitesse de décomposition est plus élevée qu'en jachère, compte tenu des conditions microclimatiques particulières : humidité créée par l'irrigation et températures élevées dues à un couvert végétal très épais.

Du point de vue morphologique, les horizons de profondeur (HORIZONS 2 et 3), varient peu ou pas par rapport à leurs homologues restés sous jachère. Ces variations, quand elles existent, sont plutôt imputables à l'hétérogénéité du terrain qu'à des effets de mise en culture. Description détaillée du profil à la page !O.

Dans l'ensemble, on observe pour ces sols ferrugineux tropicaux, un accroissement du taux des éléments fins de haut en bas du profil.

Ces sols étaient exploités par les paysans qui y pratiquaient des cultures
traditionnelles : mil, sorgho, maïs, arachide, etc... Leur horizon de surface, plus ou moins appauvri, présente une structure tendant à devenir
particulaire.

The state of the s

PROFIL Nº 10

PROFIL/NO 1640/CJB010 MR. SOURABIE 285M. EXPOSITION EST. SECTEUR DE KARFIGUELA, PLAINES DE BANFORA, AU PIED DE LA FALAISE DE BANFORA. JACHERE DE 6 A 10 ANS. SUR MATERIAUX ARGILO-SARLEUX. LA VEGETATION NATURELLE EST ESSENTIELLEMENT CONSTITUEE PAR DE HAUTES GRAMINEES/ORSTOM.10N.43,N.4W.48,W.0CT.1977.X38./

- HORIZON/HRZ 1/DE 0 A 20CM//

HUMIDE.

5YR.3.5/.4HUMIDE.7.5YR-.4,5/-.4SEC.SANS TACHES.A MATIERE ORGANIQUE NON DIRECTEMENT DECELABLE.

TENEUR APPROXIMATIVE EN ELEMENTS GROSSIERS 5PC.TEXTURE ARGILO-SABLEUSE.A SABLE FIN.QUARTZEUX.

STRUCTURE PARTICULAIRE. TRES NETTE. ET GENERALISEE.

MEUBLE.PAS DE FENTES.

MATERIAU A CONSISTANCE MALLEABLE.NON CIMENTE.NON PLASTIQUE. NON COLLANT.

RACINES.FINES ET MOYENNES.

FICHE 1640 TRANSITION NETTE . REGULIERE.

- HORIZON/HRZ 2/DE 20 A 40CM//

THES HUMIDE.

SYR.4/.7HUMIDE.5YR-.5,5/-.8SEC.GUELQUES TACHES.PEU ETENDUES.ASSOCIEES AUX ELEMENTS GROSSIERS.IRREGULIERES.A LIMITES PEU NETTES.PEU CONTRASTEES.PLUS COHERENTES.AUCUNE AUTRE TACHE.A MATIERE ORGANIQUE NON DIRECTEMENT DECELABLE. ELEMENTS FERRO-MANGANESIFERES.DE FORME NODULAIRE. TENEUR APPROXIMATIVE EN ELEMENTS GROSSIERS 10PC.GRAVIERS PEU ABONDANTS.TEXTURE ARGILO-SABLEUSE.A SABLE FIN. QUARTZEUX.

STRUCTURE PARTICULAIRE.TRES NETTE.ET GENERALISEE. MEUBLE.PAS DE FENTES.

MATERIAU A CONSISTANCE SEMI-RIGIDE.PEU CIMENTE.NON PLASTIQUE.NON COLLANT.

QUELQUES RACINES.FINES.

FICHE 1640. TRANSITION DISTINCTE. INTERROMPUE.

- HOPIZON/HRZ 3/DE 40 A 60CM//

TRES HUMIDE.

5YR.5/.6HUMIDE.5YR-.5/-.8SEC.SANS TACHES.APPAREMMENT NON ORGANIQUE.

SANS ELEMENTS GROSSIERS. TEXTURE ARGILEUSE.

STRUCTURE MASSIVE.PEU NETTE.ET GENERALISEE.

BOULANT . PAS DE FENTES .

MATERIAU A CONSISTANCE ELASTIQUE.PEU CIMENTE.PLASTIQUE. COLLANT.

PAS DE RACINES.

FICHE 1640. TRANSITION DISTINCTE . PEGULIERE.

- HORIZON/HRZ 4/DE 60 A 80CM//

NOYE.

5YR.5/.6HUMIDE.7,5YR-.6/-.6SEC.SANS TACHES.4PPAREMMENT NON ORGANIQUE.

SANS ELEMENTS GROSSIERS. TEXTURE ARGILEUSE.

STRUCTURE MASSIVE.PEU NETTE.ET GENERALISEE.

BOULANT.PAS DE FENTES.

MATERIAU A CONSISTANCE ELASTIQUE.PEU CIMENTE.PLASTIQUE.

PAS DE RACINES.....

FICHE 1640.

PROFIL Nº 1

PROFIL/NO 1641/CJB111 MR. SOURABIE 285M. EXPOSITION NORD. SECTEUR DE KARFIGUELA. PLAINES DE BANFORA AU PIED DE LA FALAISE DE BANFORA. PARCELLE CULTIVEE EN CANNE A SUCRE DEPUIS 1972 DE DIVERSES VARIETES, SERVANT DE JARDIN DE BOUTURE ET COUVRANT UNE SUPERFICIE DE 143 HA. TRAVAIL DU SOL PAR DEFRICHEMENT MECANIQUE. MISE EN TAS ET BRULIS DE LA VEGETATION PREEXISTANTE MANUELLE, SOUS SOLAGE MECANIQUE, PAMASSAGE ET BRULIS DES RACINES MANUEL, LABOUR ET RAYONNAGE/ORSTOM.10N.43,N.4W.48.W.OCT.1977.X38./

- HORIZON/HRZ 1/DE 0 A 30CM//

HUMIDE.

5YR.4/.4HUMIDE.7,5YR+.5/-.6SEC.SANS TACHES.A MATIERE ORGANIQUE NON DIRECTEMENT DECELABLE.

SANS ELEMENTS GROSSIERS. TEXTURE SABLEUSE. A SABLE GROSSIER. QUARTZEUX.

STRUCTURE PARTICULAIRE.NETTE.ET GENERALISEE.GRENUE. GROSSIERE.

MEUBLE.PAS DE FENTES.

MATERIAU A CONSISTANCE MALLEABLE.NON PLASTIQUE. NUMBREUSES RACINES.FINES ET MOYENNES.ENTRE LES AGREGATS. FICHE 1641.TRANSITION DISTINCTE.IRREGULIERE.

- HOPIZON/HRZ 2/DE 30 A 90CM//

LEGEPEMENT HUMIDE.

5YR.4/.8HUMIDE.5YR-.4/-.6SEC.SANS TACHES.APPAREMMENT NON ORGANIQUE.

SANS ELEMENTS GROSSIERS. TEXTURE ARGILO-SABLEUSE. A SABLE FIN. QUARTZEUX.

STRUCTURE MASSIVE.NETTE.ET GENERALISEE.A ECLATS ANGULEUX.
POLYEDRIQUE.MOYENNE ET FINE.

COHERENT. PAS DE FENTES.

NON PLASTIQUE. PEU FRIABLE. PEU FRAGILE.

QUELQUES RACINES.FINES.PENETRANT LES AGREGATS.

FICHE 1641. TRANSITION NETTE. REGULIERE.

- HORIZON/HRZ 3/DE 90 A 125CM// SEC. -

SYR.4/.8HUMIDE.5YR-.5/-.6SEC.NOMBREUSES TACHES.PEU ETENDUES.SANS RELATIONS VISIBLES AVEC LES AUTRES CARACTERES.ARRONDIES.A LIMITES PEU NETTES.PEU CONTPASTEES.PLUS COHERENTES.AUCUNE AUTRE TACHE.APPAREMMENT NON ORGANIQUE.ELEMENTS FERRO-MANGANESIFERES.EN CONCRETIONS.TENEUR APPROXIMATIVE EN ELEMENTS GROSSIERS 1PC.TRES PEU DE GRAVIERS.TEXTURE APGILO-SABLEUSE.A SABLE FIN.QUARTZEUX.STRUCTURE MASSIVE.PEU NETTE.ET GENERALISEE.A ECLATS

EMOUSSES.GRUMELEUSE.MOYENNE.

COHERENT.PAS DE FENTES.

MATEPIAU A CONSISTANCE SEMI-RIGIDE.NON PLASTIQUE.NON
FRIARLE.NON FRAGILE.

PAS DE RÁCINES.

FICHE 1641.

2.2. Les sols peu évolués

2.2.1. <u>Profil n° 15</u> (parcelle non cultivée : jachère ancienne).

Ces sols sont souvent gravillonnaires des la surface, à l'exception du Profil n° 15 (HORIZON 1). Cet horizon humifère est de couleur rouge mat (7,5 YR 5/4). D'une façon générale, les gravillons sont lisses, brillants, de petite taille (diamètre inférieur ou égal à 1 cm), à cassure rouge-sombre (10 YR 4/2). Quand ils ne sont pas cultivés (jachères), ces sols présentent, comme les précédents, un horizon humifère de pénétration (HORIZON 2), ici sommet de l'HORIZON 2), lequel est très peu individualisé comparativement à ceux des sols ferrugineux tropicaux.

La litière est presque inexistante. La matière organique est non directement décelable à l'oeil et les fines racines graminéennes se cantonnent dans l'horizon humifère (0-20 cm). Les horizons les plus profonds sont gorgés d'eau, très argileux et ne comportent pas de racines (HORIZONS 3 et 4). La description détaillée du profil n° 15 figure à la page 12.

2.2.2. Profil n° 2 (Parcelle cultivée 4 ans).

Là aussi, l'horizon humifère de pénétration disparaît avec la culture. L'horizon cultural (HORIZON 1) est brun sombre, visiblement plus riche en matière organique que son homologue (en fait les deux premiers horizons) resté sous jachère. On y observe de nombreuses racines de canne. On peut encore observer, dans la partie inférieure de cet horizon, quelques racines mortes de rôniers (Borassus flabellifer), reconnaissables à leur morphologie (semblables à des ressorts) et à leur couleur grisnoire et pénétrant l'HORIZON 2 qui, comme ceux qui lui sont sous-jacents (3 et 4) est plus riche en éléments fins que l'horizon de surface (5 % d'argile en surface et 30 % en profondeur).

La description détaillée de ce profil est en pages 13 et 14.

PROFIL Nº 15

PROFILING 1631/ALEGII MR. SOURABIE 278M. EXPOSITION EST. SECTEUR DE LEMOUROUDOUGOU-EST, PLAINES DE BANFORA, SUR MATERIAUX GRAVELO-GRAVILLONNAIRES ET RECOUVREMENTS SABLEUX. JACHERE ANCIENNE DOMINEE PAR DES GRAMINEES. GENRE LOUDETIA/ U-STOM.10N.42, N.4h.46. w. OCT.1977.E9./

- HOPIZON/HRZ 1/DE 0 4 20CM// LEGEPEMENT HUMIDE. 7.5YP.5/.4HUM1DE.10YH-.6/-.3SEC.SANS TACHES.A MATIEPE UNGANTQUE NON DIRECTEMENT DECELABLE. TENEUR APPROXIMATIVE EN ELEMENTS GROSSIERS SPC.TEXTURE SAALEUSE.A SABLE FIN. QUARTZEUX. ST-UCTURE PARTICULAIRE.NETTE.ET GENERALISEE. MEURLE.PAS DE FENTES. MATERIAU A CONSISTANCE MALLEABLE . MON CIMENTE . NON PLASTIQUE. MUN COLLANT. FACINES. FINES. FIGHE 1631. TRANSITION NETTE-REGULIERE.

- -0F170N/HR7 2/DE 20 A 50CM//

HUNIDF. 1048.6/.4HUMIDE.1048-.8/-.6SEC.QUFLQUES TACHES.PEH ETEMBLIES. SANS FELATIONS VISIALES AVEC LES AUTAES CARACTERES. IPHEGULIERES. A LIMITES PEU NETTES. PLU CONTRASTERS.AUSSI COMERENTES.AUCUNE AUTRE TACHE.APPAREMMENT NUM OPGANIQUE. SANS FLEMENTS GHUSSIFPS.TEXTURE APGILO-SARLEUSE.A SABLE Fim.OUA-TZEUX. STANCTHE MAPTICULAIRE. NETTE. ET GENERALISEE. COHEFFIT. PAS DE FENTES.

PATERIAU A CONSISTANCE MALLEAGLE PRU CIMENTE . NON PLASTIQUE. NUN COLLANT.

PAS DE HACINES.

FICHE 1031. TRANSITION DISTINCTE. HEGULIEPE.

- HORIZON/HFZ 3/DE 50 4 100CM// HUNIOF. 1042.5.5/.4HUMIDE.1048-.4/-.45EC.SANS TACHES.APPAREMMENT NOW MUSSALITULE. TEWFOR APPROXIMATIVE EN ELEMENTS GROSSIERS GOPC.GRAVIERS ARONDANTS.TEXTURE AMOTLEUSE. STRUCTURE MASSIVE. PEU NETTE. ET GEMERALISFE. & ECLATS EMOUSSES. EDULANT. PAS DE FENTES. MATERIAU A CONSISTANCE SEMI-PIGIDF. PEU CIMENTE. NON PLASTIQUE . NON COLLANT. PAS DE MACINES. FICHE 1631. TRANSITION TRES NETTE. PERULIEPE.

- HOPIZUN/HPZ 4/DE 100 A 120CM// TRES HUMIDE. 2.5Y.7/.4HUMIDE.2.5Y-.H/-.45EC.SANS TACHES.APPAREMMENT NON ORGANIQUE. SANS FLEMENTS GROSSIEPS. TEXTURE ARGILEUSF. STRUCTURE MASSIVE. PEU NETTE. ET GENERALISEE. A ECLATS EMOUSSES. POULANT. PAS DE FENTES. MATERIAU A CONSISTA CE ELASTIQUE FORTEMENT CIMENTE. PLASTIQUE.CULLANT. PAS DE RACINES.

FICHE 1631.

PROFIL N° 2

PROFIL/NO 1632/ALE521 MR. SOURABIE 286M. EXPOSITION SUD-EST. SECTEUR DE LEMOUROUDOUGOU, PLAINES DE BANFORA. AU PIED DE LA FALAISE DE BANFORA. PARCELLE CULTIVEE EN CANNE A SUCPE DEPUIS 1973, VARIETE NCO 376. SUPERFICIE DE 25 HA. MATERIAUX GRAVELO-GRAVILLONNAIRES ET RECOUVREMENTS SABLEUX. TRAVAIL DU SOL PAR DEFRICHEMENT MECANIQUE, MISE EN TAS ET BEJLIS DE LA VEGETATION PREEXISTANTE MANUELLE, SOUS SOLAGE MECANIQUE, RAMASSAGE ET BRULIS DES RACINES MANUEL. LABOUR ET PAYONNAGE/ORSTOM.10N.43,N.4W.47.W.OCT.1977.E9./

- HORIZON/HRZ 1/DE 0 A 30CM//

HUMIDE.

5YR.4/.2HUMIDE.7.5YR-.5/-.4SEC.SANS TACHES.A MATIERE ORGANIQUE NON DIRECTEMENT DECELABLE.

TENEUR APPROXIMATIVE EN ELEMENTS GROSSIERS 30PC.GPAVIEPS PEU APUNDANTS.DE ROCHE SEDIMENTAIRE DETRITIQUE.TEXTURE SABLEUSE.A SABLE GROSSIER.QUARTZEUX.

STRUCTURE PARTICULAIRE. TRES NETTE. ET GENERALISEE. GRENUE. GROSSIERE.

MEUBLE.PAS DE FENTES.

"ATERIAU A CONSISTANCE MALLEABLE.NON CIMENTE.NON PLASTIQUE.

NOMBREUSES RACINES.FINES.

FICHE 1632. TRANSITION DISTINCTE. ONDULEE.

- HORIZON/HRZ 2/DE 30 A 70CM//

5YR.4/.6HUMIDE.7,5YR-.6/-.4SEC.TACHES.ETENDUES.ASSOCIEES
AUX ELEMENTS GPOSSIERS.IRREGULIERES.A LIMITES PEU NETTES.
PEU CONTRASTEES.PLUS COHERENTES.AUCUNE AUTRE TACHE.
APPAREMMENT NON ORGANIQUE.ELEMENTS FERRUGINEUX.EN TACHES
FERRUGINEUSES.ET EN CONCRETIONS.

TENEUR APPROXIMATIVE EN ELEMENTS GROSSIERS 5PC.TRES PEU DE GRAVIERS.DE ROCHE SEDIMENTAIRE ARGILEUSE.TEXTURE

ARGILO-SABLEUSE.A SABLE FIN.FERRUGINEUX.

STRUCTURE MASSIVE.TRES NETTE.ET GENERALISEE.

PAS DE FENTES.AGREGATS A PORES PEU NOMBREUX.VACUOLAIRES. SANS ORIENTATION DOMINANTE.

MATERIAU A CONSISTANCE SEMI-RIGIDE.PEU CIMENTE.NON PLASTIQUE.NON COLLANT.

QUELOUES RACINES.FINES ET MOYENNES.

FICHE-1632. TRANSITION DIFFUSE. INTERROMPUE.

- HOPIZON/HRZ 3/DE 70 A 100CM// . HUMIDE. 5YR.4/.4HUMIDE.7,5YR-.6/-.4SEC.TACHES.ETENDUES.ASSOCIEFS AUX ELEMENTS GROSSIERS. IRREGULIERES. A LIMITES PEU NETTES. PEU CONTRASTEES. PLUS COHEPENTES. AUCUNE AUTRE TACHE. APPAREMMENT NON ORGANIQUE. ELEMENTS FERRUGINEUX. EN TACHES FERRUGINEUSES.ET EN CONCRETIONS. TENEUR APPROXIMATIVE EN ELEMENTS GROSSIERS 50PC.GRAVIERS ABONDANTS.DE ROCHE SEDIMENTAIRE APGILEUSE.TEXTURE ARGILO-SABLEUSE.A SABLE FIN.FERRUGINEUX. STRUCTURE MASSIVE. TRES NETTE. ET GENERALISEE. PAS DE FENTES.AGREGATS A PORES PEU NOMBREUX.VACUOLAIRES. SANS ORIENTATION DOMINANTE. MATERIAÙ A CONSISTANCE SEMI-RIGIDE.PEU CIMENTE.NON PLASTIQUE.NON COLLANT. QUELQUES PACINES.FINES ET MOYENNES. FICHE 1632. TRANSITION NETTE. REGULIERE.

- HOPIZON/HRZ 4/DE 100 A 160CM//
TRES HUMIDE.
7,5YR.6/.6HUMIDE.7,5YR-.7/-.4SEC.QUELQUES TACHES.PEU
ETENDUES.SANS RELATIONS VISIBLES AVEC LES AUTRES

CARACTERES.EN TRAINEES SANS ORIENTATION PREFERENTIELLE.A LIMITES NETTES.CONTRASTEES.MOINS COMERENTES.AUCUNE AUTRE TACHE.APPAREMMENT NON ORGANIQUE.

SANS ELEMENTS GROSSIERS. DE ROCHE SEDIMENTAIRE ARGILEUSE. TEXTURE ARGILEUSE.

STRUCTURE MASSIVE.NETTE.ET GENERALISEE.

COHERENT.PAS DE FENTES.

MATERIAU A CONSISTANCE ELASTIQUE.NON CIMENTE.PLASTIQUE. COLLANT.

PAS DE RACINES.

FICHE 1632.

Comme dans toutes les zones de coluvionnement, l'hétérogénéité est de règle et les variations inter-profils, quant à l'épaisseur des différents matériaux, sont parfois importantes. Les éléments ferrugineux, quand ils existent, sont très irréguliers et de différentes tailles.

2.3. Les sols hydromorphes.

2.3.1. Profil H° 12 (Parcelle non cultivée : jachère récente).

Les sols hydromorphes cultivés en canne ne couvrent qu'une sur face très réduite, le long du cours d'eau YANNON, dans le secteur Est du périmètre sucrier. Ces sols sont développés sur des matériaux colluvio-alluvionnaires.

L'horizon humifère (HGRIZON 1), de couleur rouge-sombre (7,5 YR 3,5/2 humide) peu épais (15 cm), est relativement riche en matière organique (* 4 %) par rapport à la moyenne des sols de la région (3 %). L'horizon & pénétration (HORIZON 2), brun sombre (10 YR 4/3 humide), 15 cm d'épaisseur, est peu distinct du premier. Il . est suivi d'un HORIZON (3) très particulier qui n'a été rencontré que dans ce type de sols. De couleur rouge-mat (7,5 YR 5/4 humide), il est presque aussi sombre que le premier et se présente sous forme d'une bande horizontale, très contrastée, épaisse de 20 cm. Cette bande pourrait correspondre à la limite supérieure de remontée de la nappe d'eau libre. On retrouve en effet celle-ci dans le profil n° 5, à la même profondeur, alors qu'elle aurait dû disparaître avec la mise en culture. Geci laisse à penser qu'elle pourrait s'être reconstituée après le labour (PLAISANCE, 1953), probablement à la faveur des oscillations verticales de la nappe d'eau libre qui provoquent des alternances de réductions et d'oxydations et créent des conditions d'activité microbiologique particulière à ce niveau.

L'horizon (4) de profondeur est très argileux et gorgé d'eau. La nappe d'eau a été rencontrée à 70 cm.

2.3.3. Profil n° 5 (Parcelle cultivée 3 ans).

L'horizon cultural (HORIZON 1), rouge-marron foncé (5 YR 4/2/humide) a remplacé les deux horizons humifères supérieurs du milieu naturel (jachère), mais le troisième (ici HORIZON 2) y est toujours. Les racines de canne sont localisées principalement dans l'horizon cultural.

Limono-argileuse en surface, la texture devient nettement argileuse puis sableuse en profondeur. L'HORIZON (3) est gorgé d'eau. Il n'y a pas de racines visibles et la nappe d'eau libre se trouve à 70 cm.

L'appauvrissement des horizons de surface en éléments fins dans ces sols, est moins marqué que celui observé dans les deux types de sols précédents. Les descriptions des deux profils figurent aux pages 17 et 18.

Dans l'ensemble , l'étude morphologique des quinze profils de sols montre qu'ils sont assez différents les uns des autres. On n'a pas observé de profils de sols identiques, même pour un type de sol donné. Ceci souligne l'extrême hétérogénéité de ces sols.

Les techniques culturales appliquées ont entraîné la création d'un horizon cultural. Dans les sols ferrugineux tropicaux, cet horizon est appauvri en argile. On peut penser que ces derniers, développés sur des matériaux sableux, meubles, faciles à travailler, aient eu la préférence des paysans qui, par les cultures traditionnelles : mil, sorgho, arachide, etc..., leur ont imprimé des contraintes élevées (cultures avec exportation sans fumure ni amendement), ce qui a contribué à la dégradation de leur structure en surface. Ces sols, bien représentés dans le secteur Est du périmètre sucrier, le sont très peu à l'Ouest et à son Centre. Ils sont par ailleurs les plus difficiles à caractériser.

Leurs matériaux polyphasés, sont d'origine essentiellement colluviale. Les éléments les plus variables d'un profil à l'autre sont l'épaisseur du matériau sableux de surface, la présence éventuelle d'un horizon gravillonnaire, son épaisseur et le niveau auquel il a été rencontré,

PROFIL Nº 12

PROFIL/NO 1644/DNN116 MR. SOURABIE 313M. EXPOSITION
-SUD-EST. SECTEUR DE NIANKA-NORD, PLAINES DE BANFORA,
JACHEPE UN AN, SUR MATERIAUX ARGILO-SABLEUX
COLLUVIO-ALLUVIONNAIRES. VEGETATION DOMINEE PAR DES
GRAMINEES ET PAR QUELQUES AMARANTHACEES. DIGUE POUR
DETOUPNEMENT DES EAUX DE RUISSELLEMENT/
ORSTOM.10N.46,N.4W.41,W.OCT.1977.H61./

- HORIZON/HRZ 1/DE 0 A 15CM// HUMIDE.

7.5YR.3,5/.2HUMIDE.10YR-.5/-.3SEC.SANS TACHES.A MATIERE ORGANIQUE DIRECTEMENT DECELABLE.

SANS ELEMENTS GROSSIERS.TEXTURE ARGILO-SARLEUSE.A SABLE FIN. QUARTZEUX.

STRUCTURE FRAGMENTAIRE.NETTE.ET GENERALISEE.GRENUE.FINE. BOULANT.PAS DE FENTES.

MATERIAU A CONSISTANCE PATEUSE.PEU CIMENTE.NON PLASTIQUE. NON COLLANT.

QUELQUES RACINES.FINES.

FICHE 1644. TPANSITION NETTE. REGULIERE.

- HORIZON/HRZ 2/DE 15 A 30CM//

HUMIDE.

10YR.4/.3HUMIDE.10YR-.6/-.4SEC.SANS TACHES.A MATIERE ORGANIQUE NON DIRECTEMENT DECELABLE.

SANS ELEMENTS GROSSIERS. TEXTURE ARGILEUSE.

STRUCTURE MASSIVE.PEU NETTE.ET GENERALISEE.

BOULANT.PAS DE FENTES.

MATERIAU A CONSISTANCE PATEUSE.PEU CIMENTE.NON PLASTIQUE. NON COLLANT.

QUELQUES RACINES.FINES.

FICHE 1644. TPANSITION DISTINCTE. REGULIERE.

- HOPIZON/HRZ 3/DE 30 A 50CM//

TRES HUMIDE.

7.5YR.5/.4HUMIDE.10YR-.7.5/-.4SEC.NOMBREUSES TACHES. ETENDUES.SANS RELATIONS VISIBLES AVEC LES AUTRES

CARACTERES.EN TRAINEES VERTICALES.A LIMITES PEU NETTES. CONTRASTEES.MOINS COHERENTES.AUCUNE AUTRE TACHE.A MATIERE

ORGANIQUE NON DIRECTEMENT DÉCELABLE.

SANS ELEMENTS GROSSIERS. TEXTURE ARGILEUSE.

STRUCTURE MASSIVE.PEU NETTE.ET GENERALISEE.

BOULANT . PAS DE FENTES .

MATERIAU A CONSISTANCE PATEUSE, PEU CIMENTE, NON PLASTIQUE, NUN COLLANT.

- HOPIZON/HRZ 4/DE 50 4,70CM//

NOYE

7,5YR.5/.4HUMIDE.10YR-.7/-.4SEC.SANS TACHES.APPAREMMENT NON ORGANIQUE.

SANS ELEMENTS GROSSIERS. TEXTURE APGILEUSE.

STRUCTURE MASSIVE. PEU NETTE. ET GENERALISFE.

BOULANT.PAS DE FENTES.

MATERIAU & CONSISTANCE ELASTIQUE.PEU CIMENTE.PLASTIQUE.NON COLLANT.

FICHE 1644.

PROFIL Nº 5:

PROFIL/NO 1645/DNS617 MR. SOURABIE 302M. EXPOSITION SUD-EST. SECTEUR NIANKA-SUD, PLAINES DE BANFORA AU PIED FALAISE DE BANFORA. PARCELLE CULTIVEE EN CANNE A SUCRE DEPUIS 1974, VARIETE NCO 376, SUPERFICIE 22.2 HA. SUR MATERIAUX ARGILO-SABLEUX COLLUVIO-ALLUVIONNAIRES. TRAVAIL DU SOL PAR DEFRICHEMENT MECANIQUE. MISE EN TAS MANUELLE ET BRULIS DE LA VEGETATION PREEXISTANTE, SOUS SOLAGE MECANIQUE, RAMASSAGE MANUEL ET BRULIS DES RACINES, LABOUR ET PAYONNAGE/ORSTOM.10N.45,N.4W.41,W.OCT.1977.H61./

- HOPIZON/HRZ 1/DE 0 A 30CM//
LEGEREMENT HUMIDE.
5YR.4/.2HUMIDE.7.5YR-.4/-.4SEC.SANS TACHES.A MATIEPE
ORGANIQUE DIRECTEMENT DECELABLE.
SANS ELEMENTS GROSSIERS.TEXTURE LIMONO-ARGILEUSE.
STRUCTURE FRAGMENTAIRE.PEU NETTE.ET LOCALISEE.GRENUE.
MOYENNE ET FINE.
COHERENT.PAS DE FENTES.
MATEPIAU A CONSISTANCE MALLEABLE.PEU CIMENTE.NON PLASTIQUE.
CULLANT.
PACINES.FINES.
FICHE 1645.TPANSITION TRES NETTE.REGULIERE.

- HOFIZON/HRZ 2/DE 30 A 40CM//

MUMINE.

10YR.3/.2HUMIDE.10YR-.5/-.4SEC.SANS TACHES.A MATIERE ORGANIQUE DIPECTEMENT DECELABLE.
SANS ELEMENTS GROSSIERS.TFXTURE ARGILO-LIMONEUSE.
STRUCTURE FRAGMENTAIRE.PEU NETTE.ET LOCALISEE.GRENUE.
MOYENNE ET FINE.

VOLUME DES VIDES ASSEZ IMPORTANT ENTRE AGREGATS.COHERENT. PAS DE FENTES.AGREGATS À PORES PEU NOMBREUX.FINS ET MOYENS. MATERIAU À CONSISTANCE MALLEABLE.PEU CIMENTE.NON PLASTIQUE. NON COLLANT.

GUELQUES PACINES.FINES.

FICHE 1645. TRANSITION TRES NETTE. REGULIERE.

- HORIZON/HRZ 3/DE 40 A 70CM//
TRES HUMIDE.
10YP.4/.4HUMIDE.10YR-.7/-.4SEC.TACHES.ETENDUES.SANS
RELATIONS VISIBLES AVEC LES AUTRES CARACTERES.EN TRAINEES
SANS ORIENTATION PREFERENTIELLE.A LIMITES NETTES.
CONTRASTEES.MOINS COHERENTES.AUCUNE AUTRE TACHE.A MATIERE
ORGANIQUE NON DIRECTEMENT DECELABLE.
SANS ELEMENTS GROSSIERS.TEXTURE ARGILEUSE.
STRUCTURE MASSIVE.NETTE.ET GENERALISEE.FINE.

BOULANT . PAS DE FENTES .

MATERIAU A CONSISTANCE ELASTIQUE.PEU CIMENTE.PLASTIQUE. COLLANT.

PAS DE RACINES.

FICHE 1645.

la présence ou l'absence de taches, de concrétions plus ou moins indurées.

Les sols peu évolués sont développés sur des matériaux essentiellement gravelo-gravillonnaires. Ces sols ont été en surface remaniés par des apports colluviaux toujours plus sableux que les horizons profonds. Ils sont, cependant, dans l'ensemble, peu évolués et déjà intergrades vers les sols ferrugineux tropicaux. Ils occupent des surfaces assez importantes dans le secteur Centre du périmètre sucrier, surfaces qui étaient plantées de nombreux rôniers.

Quant aux sols hydromorphes, ils sont développés sur des matériaux colluvio-alluvionnaires et occupent des surfaces réduites le long du YANNON. C'est très probablement ce cours d'eau qui, ayant creuse son lit dans des colluvions a, par ses apports d'alluvions, favorisé leur formation.

3. GEOLOGIE ET GEOMORPHOLOGIE.

3.1. La Géologie

Les données de base géologiques sont extraites des travaux de M. ARNOULD (1961), P. JONQUET (1962), P. JONQUET et J.C. SERRE (1964), R. MOREAU (1967), J. MARCELIN et J.C. SERRE (1971), G. HOTTIN et al. (1975).

G. HOTTIN et al., en 1975, écrivaient : "Les formations les plus anciennes identifiées en HAUTE VOLTA, sont d'age précambrien D ou Archéen. Elles ont été plissées ou métamorphisées lors de l'Orogénie libérienne autour de 2.700 M.A. - 2.600 M.A.".

C'est dans la région de BANFORA et précisément dans le secteur étudié que le contact entre le socle précambrien et la couverture primaire s'établit. Ce contact, qui se réalise sur une superficie limitée, avec de nombreuses formations, contribuant à l'hétérogénéité de l'ensemble, en constitue le caractère géologique essentiel.

La CARTE N° 2 présente les grands ensembles géologiques de la région. A cette échelle, !/5.000.000ème, la structure apparaît fort simple. On peut observer au nord une importante série transgressive des grès subhorizontaux qui, dans sa partie sud, est en contact avec des formations birrimiennes et des granites alternant d'ouest en est :

- . Massif de KORHOGO, Série du Haut BANDAMA;
- . Massif de FERKESSEDOUGOU, Série du Haut N'ZI;
 - . Massif de DABAKALA, etc...

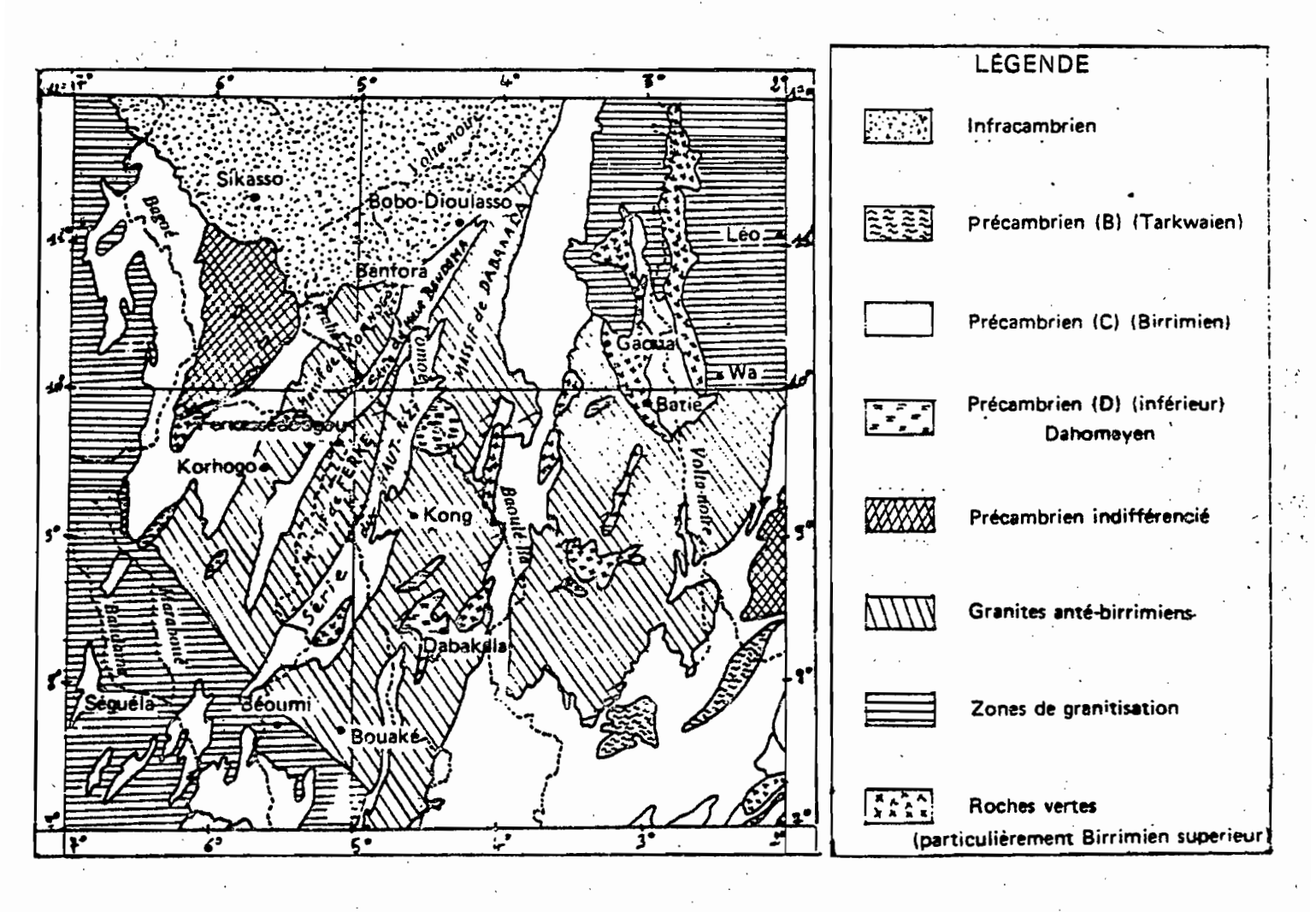
Pour la région étudiée, seules les deux premières formations sont à retenir. Les Séries du Haut BANDAMA et du Haut N'ZI, distinction faite par ARNOULD (1961), sont en fait une même série séparée par le Massif de FERKESSEDOUGOU (CARTE N° 2), que MARCELIN (1971) a appelée Série de TIEFORA.

La CARTE N° 3 représente, à une échelle plus grande, cette zone de contact Série transgressive de grès subhorizontaux d'une part, et formations birrimiennes Massif de KORHOGO et Série de TIEFORA d'autre part.Les profils étudiés ici se rattachent aux sols couvrant les substrats de cette zone. Pour plus de clarté, ces substrats ont été classés selon leur âge géologique, des plus récents aux plus anciens.

3.1.1. Les formations superficielles.

Les formations superficielles apparaissent sous forme d'alluvions, couvrant les basses zones au sud et à l'ouest du périmètre sucrier puis, d'est au sud, le long du cours d'eau YANNON. Ces alluvions récentes mais inactuelles, ont une épaisseur pouvant atteindre 2 mètres et sont aujourd'hui creusées par des cours d'eau dont les lits sont tapissés par des bancs de graviers, de gravillons et de sables. C'est sur de telles formations que sont formés les sols hydromorphes à pseudogleys étudiés. Les formations superficielles peuvent être aussi des cuirasses, formations indurées très diverses qui apparaissent dans le nord de la zone étudiée (CARTE N° 3).

CARTE N° 2
LES GRANDS ENSEMBLES GEOLOGIQUES



(d'après la carte géologique de l'AFRIQUE au 1/5 000 000 Feuille n° 4) ASGA – UNESCO - 1963

3.1.2. Les formations du substratum.

. Le Précambrien supérieur ou Protérozoïque.

Le Précambrien Supérieur est la période à laquelle s'est mise en place la quasi totalité des roches de la zone étudiée. On peut y distinguer deux grands ensembles :

- Le Complexe "inférieur".

Le complexe inférieur est cette formation de grès inférieurs (CARTE N° 3), se détachant en bande large d'environ 7 km dans le Secteur Est du périmètre sucrier, au niveau de TAKALEDOUGOU et qui se poursuit vers BANFORA au sud, en se rétrécissant. On rencontre aussi ces grès formant une bande étroite du sud de FABEDOUGOU à l'est de NYANKADOUGOU, laquelle constitue la limite sud de la formation de grès de "base". Cet énsemble de grès inférieurs serait recouvert en discordance par les formations sus-jacentes, MARCELIN (1971), et les témoins qui subsistent sont plus ou moins tronqués par l'érosion.

- Le Complexe "supérieur".

Le complexe "supérieur", avec ses grès de Sotuba et de base" constitue la masse principale de la falaise de BANFORA (CARTE N° 3). Les premiers n'affleurent pas dans la zone étudiée mais en constituent la limite nord. Ces grès sont à grains très fins, et à ciment siliceux, de couleur rose.

Quant aux seconds, le terme de "base" vient du fait que leur découverte est antérieure à celle des grès inférieurs. Il sont à grains grossiers, blancs, hétérogènes, à ciment parfois kaolineux. On peut y observer localement des élements de feldspaths et de quartz.

. The warmage of general variation of the contract of the cont

Service TWO SPYA

L E G E N D E (J. MARCELIN et J.C. SERRE)

: FORMATIONS SUPERFICIELLES

Alluvions des fonds de vallées



Cuirasses indifférenciées (décelées par étude photogéologique, partiellement vérifiées sur le terrain)

. FORMATIONS DU SUBSTRATUM

A. Magmatisme Tholéitique permien (+ 260 M.A.)



Sills, laccolites, necks doléritiques

B. Précambrien supérieur ou Protérozoique (+ 1.000 M.A. ?)



Crès à galets de quartz



Grès de Sotuba



Grès "de base"



Grès inférieurs

- C · Précambrien Moyen 2.400 à 2.100 M.A.)

 1 · Granitisation éburnéenne.
 - 2 Système birrimien.



Schistes épizonaux.

D Granites d'age indéterminé.



Granodiorites.

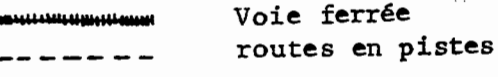
E. Précambrien Inférieur ou Antébirrimien (--2.700 M.A.)

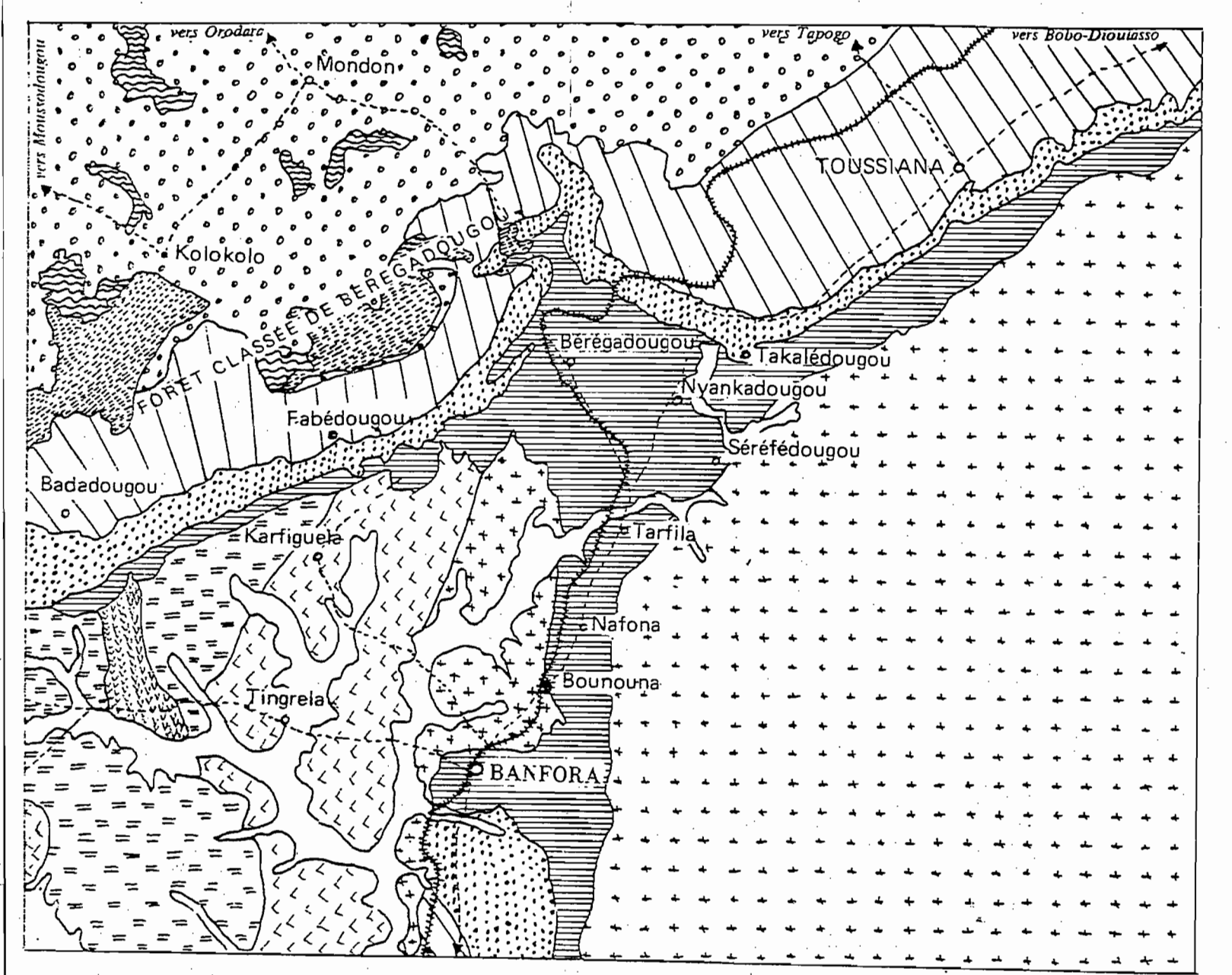


Gneiss à biotite, gneiss granitisés, migmatites.



Zones granito-gneissitiques à prédominance d'Antébirrimien.





CARTE N° 3

ESQUISSE GÉOLOGIQUE (d'après la carte géologique au 1/200 000 BANFORA—SINDOU—MANGODARA)

Par J. MARCELIN, J.-C. SERRE et al. 1971 - B.R.G.M.*

voir légende

* Bureau de Recherches Géologiques et Minières

Le Précambrien moyen (2.400 à 2.100 M.A.)

La série de TIEFORA avec ses schistes birrimiens constitue la principale formation du Précambrien moyen dans la région étudiée. Les affleurements sont rares et généralement altérés.

. Les granites d'"âge indéterminé".

Les formations granitiques existent vers KARFIGUELA, à l'ouest du périmètre sucrier. Ce sont des granodiorites du type "Léraba", terme introduit par ARNOULD (1961), que cet auteur avait attribuées à l'Antébirrimien.

Une datation par la méthode Pb/U sur le zircon, LEDENT et al. (1969), donne à ces granodiorites un âge de 2.100 M.A. ± 25 M.A., donc du birrimien, d'où cette appellation de "granites d'âge indéterminé" par MARCELIN et al. (1971).

Ces granodiorites occupent une bande large de 5 km environ, commerçant au sud de MANON et se prolongeant vers le sud (CARTE N° 3). Ce sont des granites gris ou roses, grenus, à grain assez fin.

3.2. La géomorphologie.

Lorsqu'on débouche au sommet de la falaise en venant de BOBO-DIOULASSO par train ou par la route BOBO-BANFORA, la monotonie du plateau gréseux cesse brusquement. On a l'impression d'une surface plane, s'étendant à perte de vue vers le sud et on pense à une étendue d'eau, surtout quand la canne a fleuri. En réalité aucune surface n'est rigoureusement plane si l'on excepte les basses zones inondables, et ce sont ces aspects qui caractérisent la géomorphologie de la région.

3.2.1. Les basses plaines inondables.

Les basses plaines sont en fait la zone de convergence des eaux qui constitue les limites sud et sud-ouest du périmètre sucrier, la COMOE étant dans la région l'artère principale du réseau hydrographique. Ces vastes plaines constituent d'importantes rizières où l'on cultive le riz par repiquage (culture traditionnelle) ou culture moderne avec irrigation (Station pilote de KARFIGUELA).

3.2.2. La zone comprise entre la falaise au nord et les basses plaines au sud.

- Dans la partie sud de cette zone, quand on s'arrête au niveau de la parcelle LE 12 (CARTE N° 5), on peut observer vers le sud-ouest de nombreuses croupes de collines en dos d'âne, très arrondies et vers l'ouest, la falaise qui se dresse comme une muraille. Vers les basses plaines, les croupes finissent brusquement ou en pente douce.
- Au centre, les affleurements et les cuirassements constituent les sommets des pentes du bas-relief de la région.
- Enfin, <u>un peu partout</u>, les zones de glacis prennent toujours appui sur les zones d'affleurements rocheux plus élevées.

3.2.3. La falaise de BANFORA.

Cette falaise est continue et orientée SW-NE jusqu'au nord de BEREGADOUGOU où, disparaissant sous un épais manteau argileux rouge, elle va s'orienter Ouest-Est. À l'ouest comme à l'est du périmètre sucrier, l'escarpement entre le sommet de la falaise et la pénéplaine monotone, mollement ondulée, est important. MOREAU (1967), indique qu'il dépasse souvent les cent mètres.

4. LA VEGETATION.

ng mengrapagan penterbanan beragai pagai berandak beranda. Apanggan kabupat di Salah Salah Salah Salah Bandaran Salah Salah Salah Salah Salah Salah Salah Salah Salah Sal

Au nord de BEREGADOUGOU, on peut encore observer, sur des zones non mises en culture, une végétation arbustive associant quelques grands arbres, vestige d'une savane arborée qui occupait autrefois la région. Le paysage actuel est dominé par une végétation largement influencée par l'homme. Selon MOREAU (1967), il existait, avant la culture de la canne à sucre, trois types de formations végétales correspondant à une différenciation dans la nature des sols, différenciation où la géomorphologie joue un rôle important.

Sur les basses plaines temporairement inondées, à sols hydromorphes, il n'existe ni arbuste ni arbre. Ce sont de vastes étendues situées au sud du périmètre sucrier où la végétation est essentiellement herbacée avec une prédominance de Graminées (culture de riz). Vers les zones marécageuses, on voit apparaître des Cypéracées puis des Nympheacées, en bordure des mares permanentes dans la partie sud du périmètre sucrier, et en bordure du lac de LEMOUROUDOUGOU dans la partie ouest.

Sur les zones d'affleurements ou sur les sommets généralement gravillonnaires, on observe une formation végétale de type savane arbustive,
très clairsemée avec une strate herbacée dense (surtout en cette période
de l'année - fin octobre) et quelques grands arbres comme le karité
(Butyrospermum parkii), bien connu pour son beurre, le néré (Parkia
biglobosa) dont les graines très riches en protéines, servent à la
préparation du "Soumbala" consommé dans tout l'ouest africain.

Ce type de formation occupe une surface importante dans le secteur central du périmètre sucrier, impropre à la culture de la canne à sucre.

Enfin, les glacis aujourd'hui cultivés en canne étaient couverts de rôneraies. Le rônier (Borassus flabellifer) est un palmier très important pour les peuples de la région. Ses racines font de lui une plante officinale, son stipe pouvant atteindre 10 mètres de long et 50 à 80 cm de diamètre, est utilisé dans la construction de ponts; de charpentes

de maison, de clôtures ou peut servir de bois de chauffe comme ses pétioles. Le limbe est utilisé pour tresser des nattes, paniers, etc... Ses fruits sont comestibles et sa sève "le bangui" ou "vin de palme" est une boisson très recherchée. Dans cette zone, on observait aussi quelques néré et karité et de grandes jachères envahies par les Graminées et quelques arbustes. Avec le défrichement, toute cette végétation a disparu, modifiant ainsi très profondément la physionomie du paysage. Le canne à sucre s'étend à perte de vue et seuls peuvent encore s'observer quelques rôneraies au pied de la falaise gréseuse.

Les strates herbacée et arbustive (cf. tableau ci-dessous), qui constituaient l'essentiel de la végétation des jachères, étaient annuellement détruites par les feux de brousse. Celà constituait une grande perte de matériel organique frais. Par ailleurs, ces feux de brousse exposaient les sols à l'érosion. Une étude faite par ROOSE (1971), a montré qu'en savane, l'érosion est en moyenne de 50 kg/ha/an de sol en milieu naturel et de 3 tonnes/ha/an sous culture annuelle. Les observations faites à BERECADOUGOU indiquent qu'une culture de canne à sucre bien menée permet une meilleure protection des sols contre l'érosion.

La végétation naturelle d'origine étant différente, il a paru intéressant de tenter une première approche sommaire de son actuelle composition dans les trois stations ayant fait l'objet de prélèvements des sols. Le tableau comparatif a été dressé avec les conventions indiquées en tête du tableau. Plusieurs espèces n'ont pu être déterminées par des Chercheurs au C.N.R.S.T. (+), département de botanique, leur identification posant des problèmes difficiles. Qu'il nous soit permis de remercier ici publiquement ces chercheurs pour leur aimable collaboration.

⁽⁺⁾ Centre National de la Recherche Scientifique et Technologique de HAUTE-VOLTA.

TABLEAU COMPARATIF DE L'ABONDANCE DES ESPECES VEGETALES RELEVEES AUTOUR DES PROFILS DE SOL (PROFILS TEMOINS SOUS JACHERES)

Les conventions suivantes ont été adoptées :

A Section of the State of the Section of the Sectio

العجامي والمراجعي ويحممهم مسابيات والمعاج والهاب للسلسان

1 : espèce très rare

2 : espèce rare

3 : espèce peu abondante

4 : espèce abondante

5 : espèce très abondante

FAMILLE	•		Secteurs d	lu périmètre	sucrier
	Genre	. 🛉		. 1	· · · · ·
	Espèce	:	Est	Centre	Ouest
GRAMINEES				· . :	· · · · · · · · · · · · · · · · · · ·
	SETARIA sphacelata		5	x	x \(\frac{1}{2}\)
. ,	DIGITARIA' sp	1	5	x	X
:	LOUDETIA togoensis	1	3	x	X
:	LOUDETIA hordeiformis		· X	5	X
•	LOUDETIA sp		х	3	X
:	LOUDETIA simplex		X :	3	X
•	ANDROPOGON gayanus	ļ	3	2	. X
1 .	ANDROPOGON Pseudapricus	l	X	2	X
	ANDROPOGON sp	.	X	3	X
:	DIHEROPOGON heteropii	ł	1	X	X
	PENNISETUM pedicellatum	ł	X	X	4
: ·	IMPERATA cylindrica		X	X	2
PAPILIONA					
	URARIA picta	ť	Х.	1	X
	INDIGOFERA sp		1 .	` → 2	X
•	TEPHROSIA sp		X	3	X
CAESALPIN				_	
:	DANIELA oliveri		2	X	X
	CASIA mimosoïdes		X	1	X
	CASIA tora		X X	X 2	2 X
•	ISOBERLINIA sp			2	^
	`		,	ļ	
					ł
			1	1	1

FAMILLE	Cootoura		·
Genre	Secteurs	du périmètre	sucrier
Espèce	Est	Centre	Ouest
ANONACEES			
ANONA senegalensis	1	x	х
OXALIDACEES			
BIPHYTUM pertersianum	2	x	Х
COCHLOSPERMACEES		·	
COCHLOSPERMUM planchonii COCHLOSPERMUM tentorium	I :	X X	X X
		Λ.	_ ^
COMBRETACEES GUIERA senegalensis	1	X	х
PTELIOPSIS suberosa	Х	2	X
STERCULIACEES			
WALTERIA americana	1	X 🔻	1
OCHACEES			
LOPHIRA alata	1 .	X	Х
AMARANTHACEES			
PANDIAKA heudelotii	2	1	Х
RUBIACEES GARDENIA ternifolia	v		
NAUCLEA latifolia	X X	1	X X
BORRERIA sp			
ROSACEES			
PARINARI curatelifolia	X	2	Х
CELASTRACEES MAYTENIIS consocions:			
MAYTENUS senegalensis	X . ;	I	Х
MIMOSACEES ACACIA dudgeoni	х	1	
	Λ	18.715.06	Х
POLYGALACEES SECURIDACA longipedunculata	X	7	x
	A	•	A
ANACARDIACEES LANNEA acida	w .	1	X
			. 4

FAMILLE Genre	Secteurs du périmètre sucrier						
Espèce	Est	Centre	Ouest				
APOCYNACEES		:	14.1 1 1 1				
SABA Senegalensis	х	1	x				
EUPHORBIACEES BRIDELIA ferruginea	X	i i	х				
ACATHACEES		1					
LEPIDAGATHIS anobrya	X	X	1				
BARLERIA asterotricha	X	X	1				
TILIACEES CORCHORUS sp	X	X .	1				
		,	. , ,				
	1.						

- X = espèce non rencontrée dans un rayon de (50 mètres environ) autour du profil de sol étudié.
- N.B. Quelques grands arbres (karité) <u>Butyrospermum parkii</u>, (néré), <u>Parkia biglobosa</u>, représentés seulement par un petit nombre d'individus, ne figurent pas dans ce tableau.

5. LE CLIMA!

La région étudiée appartient au domaine d'influence du climat soudano-guinéen, AUBREVILLE (1949), régnant sur une immense bande de territoire traversant l'Afrique d'Ouest à l'Est, depuis la GUINEE jusqu'à l'ETHIOPIE.

Cependant, la zone étudiée jouit d'un microclimat particulier engendré par la brutale variation d'altitude de plus de 150 mètres, MOREAU (1967), due à l'émergence de la falaise et par la présence d'importantes surfaces d'eau permanentes (basses plaines inondées).

Les données climatiques portées ci-après, tableaux 1 à III, ont été relevées aux stations de BANFORA (10°37'N, 4°46'W 270 m) pour laquelle il n'existe pas de relevés des températures, BOBO-DIOULASSO (11°10'N 4°18'W 482 m) située à 80 km au Nord de NIANGOLOKO (10°16'N 4°55'W 320 m) à 45 km au sud et dont les relevés ont été fournis par 1'ASECNA (+). Ces trois stations existent depuis 1921, 1920 et 1951, respectivement. La station de la SO.SU.HV. (++) installée depuis seulement 1971 à BERE-ADOUGOU (10°45'N 4°44'W 325 m) à proximité de 1'usine et à une quinzaine de kilomètres au nord-ouest de BANDORA, fournit de précieux renseignements sur le climat local actuel.

5.1. La pluviométrie

La zone étudiée est comprise entre les isohyètes moyennes de 1.300 mm au sud et 1.200 mm au nord (CARTE N° 4). C'est la région la plus arrosée du pays et la période humide y est relativement longue, débutant en Avril ou Mars et s'arrêtant brutalement en Octobre ou Novembre, soit une saison humide de 6 à 7 mois. La plus grande partie des pluie tombe aux mois de Juillet, Août et Septembre.

⁽⁺⁾ ASECNA : Agence pour la Sécurité de la Navigation Aérienne

⁽⁺⁺⁾ SO.SU.HV. : Société Sucrière de HAUTE-VOLTA.

5.1.1. Variations avec la la litude.

La carte N° / montre des isohyètes moyennes établies de 100 mm en 100 mm. Elles dessinent entre 400 et 1.100 mm, des bandes plus ou moins parallèles entre elles et à l'équateur. C'est la conséquence du relief plat (plateau Mossi) où les variations pluviométriques sont principalement fonction de la latitude. Entre 1.100 et 1.200 mm, les variations influence sont provoquées par la brutale de la falaise qui constitue la limite sud du vaste plateau de grès s'étendant jusqu'à EOBO-DICULASSO.

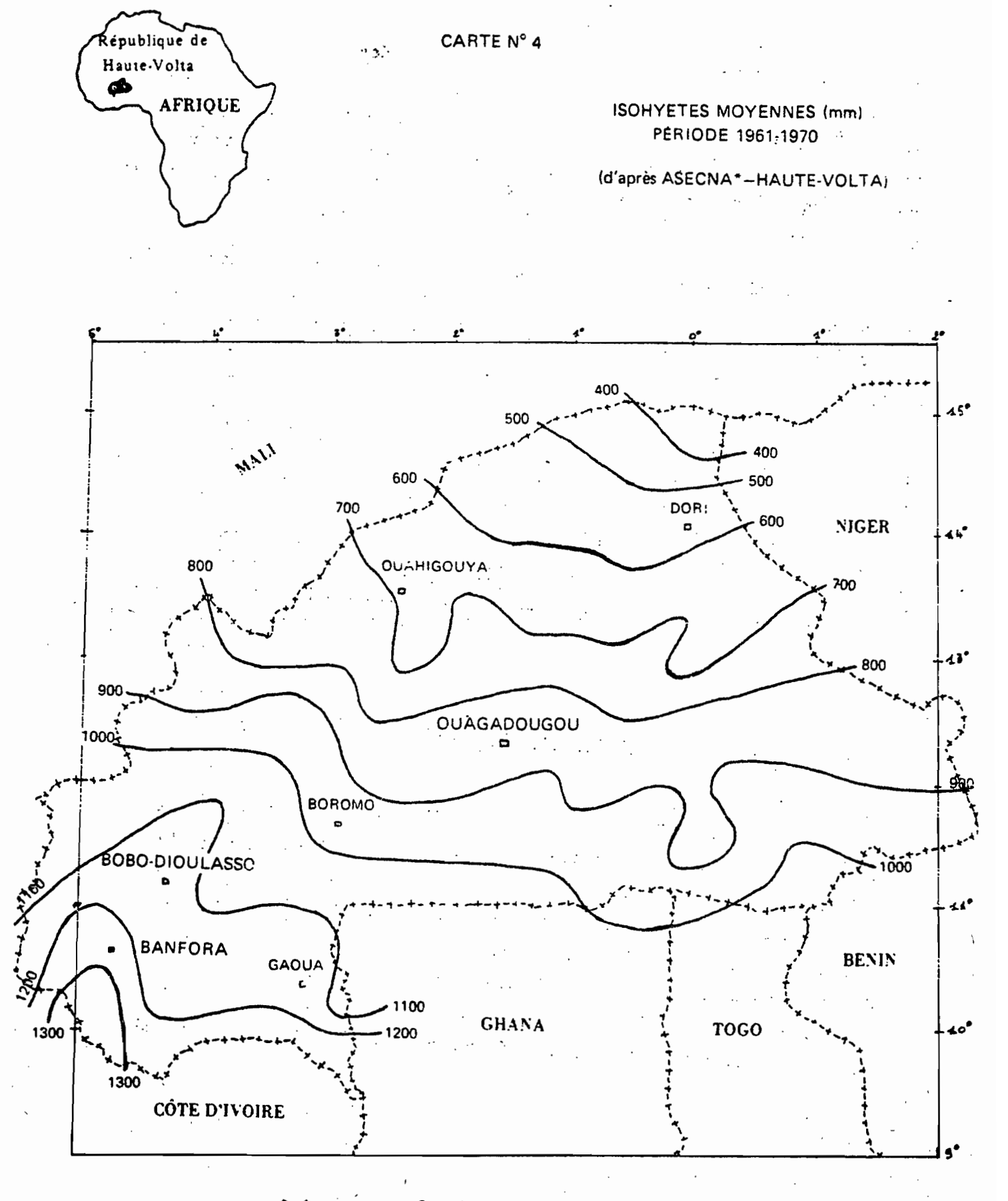
Le tableau ci-dessous qui compare les hauteurs de pluies tombées (total annuel en mm) à NIANGCLOKO, BANFORA et BCBC-DICULASSO (relevés de six années), illustre bien ces variations de la pluviométrie (voir aussi les TABLEAUX I à IV. et la FIGURE N° 1).

ANNEEC	1956	1958	1962	1965	1972	1975
NIANGOLOKO	1035,2	1299,0	1313,5	1413,7	1070,9	1197,5
PANFORA .	978,8	1090,6	1239,2	1354,4	1047,5	1074,5
BOBO-DIOULASSO	950,6	1047,0	928,6	1928,6	894,2	888,1

5.1.2. Variations avec les années.

La pluviométrie varie beaucoup d'une année à l'autre, ce qui rend très difficile la mise en place d'un système d'irrigation planifiée. A NIANGOLOKO, il est tombé plus de 2.000 mm d'eau en 1954, moins de 1.300 en 1955, moins de 1.109 en 1956, un peu plus de 1.400 en 1957, etc ... (FIGURE N° 1). De 1952 à 1932, il est tombé en moyenne 1.000 à 1.300 mm d'eau avec des années particulièrement sèches comme 1956 (949,6 mm), 1959 (802,9 mm et 1932 (928,4 mm). De 1963 à 1970; il est tombé 1.100 à 1.400 mm en moyenne. Cette quantité baisse jusqu'à 900 mm avec la "séche-

gregogie klass Constate, som klass som bli b



Agence pour la Sécurité de la Navigation Aérienne

TABLEAU 1 : NIANGOLOKO (10°16'N 4°55'W 320 m)

Station nº 200226.

Lire pour chaque année :

- Première horizontale (pluviométrie, moyennes mensuelles en mm) - Deuxième horizontale (températures, moyennes mensuelles en °C).

La température moyenne est obtenue en posant :

 $t = \frac{M + m}{2}$

Max.absolu + min.absolu

avec $t = x \pm 0,05$).

													. · · · · · · · · · · · · · · · · · · ·
ANNEES	JANV.	FEV.	MARS	AVR.	MAI	JUIN	JUILLET	AOUT	SEP.	OCT.	NOV.	DEC.	TOTAL ANNUEL
1951	15.0	12.0	42.5	112.0	102.5	180.0	180.3	209.1	255.8	268.8	47.0	3.0	1428.0
52	0.0	0.8	59.6	25.4	139.3	167.3	263.6	345.2	360.4	75.0	0.0	0.0	1436.6
	26.6	28.6	30.3	30.1	29.0	27.2	25.7	25.4	25.4	26.4	27.4	26.1	
53	0.0	105.1	1.3	118.4	206.2	400.5	389.3	367.3	179.9	123.1	12.3	38.8	1942.2
33	27.7	28.1	29.1	27.9	25.7	24.3	23.2	23.2	23.5	24.5	25.5	25.3	.
54	11.0	23.6	52.2	176.3	233.4	275.9	153.0	748.7	228.9	99.4	86.5	1.2	2090.1
54	23.4	24.0	27.4	27.9	27.0	26.2	25.3	24.9	26.1	27.0	27.7	26.9	
55	0.0	15.2	31.4	19.1	134.2	145.2	210.3	282.1	288.0	114.9	0.0	40.3	1280.7
33	27.7	28.8	29.2	29.5	28.8	26.2	24.7	24.7	24.9	26.2	27.0	25.2	
56	0.0	9.3	62.4	93.3	94.2	143.9	167.7	306.6	133.9	18.1	17.5	18.3	1065.2
50	28.5	28.5	28.6	28.3	26.9	25.7	24.4	24.6	25.3	26.9	27.3	25.9	
57	0.0	1.5	42.0	110.6	153.0	107.2	348.9	342.1	305.6	73.5	21.7	0.0	1506.1
٠,	25.5	26.9	28.3	28.9	27.5	26.4	25.5	29.4	25.4	26.4	27.4	26.9	
58	1.8	70.8	64.8	91.0	91.1	181.6	174.9	215.9	225.1	98.9	83.1	0.0	1299.0
50	27.7	27.7	29.5	29.0	28.2	26.2	25.2	25.1	25.8	26.8	26.8	25.9	
59	1.4	6.3	21.9	34.5	162.4	144.7	95.3	256.9	327.3	5.4	45.2	0.0	1101.3
3,9	26.3	28.5	29.9	30.1	28.5	27.0	26.0	24.8	24.9	27.7	27.2	25.8	1.02.15
60	0.2	0.0	26.5	70.7	134.0	168.9	226.9	327.8	209.4	70.8	35.7	33.8	1304.7
00	26.5	28.4	29.0	29.3	28.3	26.3	25.5	25.2	25.5	26.6	26.8	25.8	, ,,,,,,,,,,,,,,,,,,,,,,,,,,,,,,,,,,,,,
1961	0.0	0.0	7.3	74.1	105.6	199.7	127.1	266.1	207.1	19.2	0.0	0.0	1006.2
1901	25.2	26.9	28.9	29.5	29.0	26.4	25.2	25.4	25.9	27.7	27.7	26.1	100012
62	0.0	0.0	0.0	188.4	122.7	236.1	148.4	245.8	241.4	55.7	75.0	0.0	1313.5
02	25.9	27.3	29.5	28.5	27.8	25.8	25.7	25.2	25.2	26.6	26.9	25.0	
63	0.0	19.3	13.0	64.7	113.2	159.2	207.6	444.2	205.2	196.1	0.0	0.0	1422.5
03	27.1	29.0	29.3	29.4	28.9	27.2	26.3	25.4	26.2	26.5	26.7	25.9	
61.	0.0	0.0	70.1	86.8	67.6	193.9	263.1	375.7	307.4	72.1	3.2	38.3	1478.2
64 .	26.4	28.4	29.7	29.3	28.2	26.2	25.5	24.6	25.0	26.8	26.4	26.3	147012
65	7.1	0.8	1.8	19.9	136.6	184.1	210.8	512.7	256.3	83.6	0.0	0.0	1413.7
33	25.8	28.9	30.0	30.0	28.9	27.5	26.5	25.5	26.7	28.0	27.7	26.1	1413.7
66	0.0	0.0	. 96.7	99.4	102.3	156.1	134.4	7.1	326.6	389.5	92.7	1.8	1299.5
00	26.7	27.3	29.7	29.0	28.4	26.5	26.0	25.1	25.2	26.1	26.6	25.5	
47	0.0	14.0	5.0	48.9	103.9	84.3	156.3	295.8	294.1	21.6	24.5	0.0	1048.4
67	25.0	28.3	28.6	29.2	28.6	26.9	25.1	24.9	24.9	26.7	26.9	25.3	1040.4
6.0		1.4		165.7	39.6	158.3	267.3	364.9	252.1	126.4	5.9	0.0	1484.7
68	0.0		103.1 28.8	27.4	27.5	26.5	25.3	25.3	25.0	26.2	26.8	26.7	1404.7
	25.7	28.6 0.0	49.7	84.1	22.0	361.1	242.1	336.1	193.4	90.7	40.6	0.0	1419.8
69	0.0	29.2	30.2	29.4	29.6	26.8	25.5	25.4	25.6	25.9	26.7	26.6	
70	26.6	0.0	5.8	145.9	141.3	137.8	208.9	484.9	198.2	50.5	31.0	0.0	1404.3
70	27.5	28.7	30.0	29.3	27.5	26.6	25.4	25.0	25.1	27.1	26.6	25.6	1404.3
1971	0.0	15.0	. 44.3	35.5	77.4	123.8	209.6	310.0	95.1	23.4	0.0	8.4	943.4
19/1	25.6	28.7	29.4	29.5	28.9	26.4	25.3	24.6	25.4	26.9	27.5	26.1	,45.4
70		26.2	40.8	55.3	122.2	180.5	185.5	181.3	212.0	67.1	0.0	0.0	1070.9
72	0.0		29.2	28.0	27.9	25.9	25.5	25.6	26.0	26.9	26.9	26.8	
72	26.6	28.6	38.6	69.3	46.2	120.0	192.8	265.1	163.7	47.1	0.0	29.1	972.4
73	0.0	0.5	29.6	30.5	29.2	27.4	26.1	25.2	25.8	26.9	26.7	25.3	7/2.4
74	26.6	29.8			54.5	138.2	181.8	273.0	138.0	80.0	5.9	0.0	953.0
74	0.0	0.0	25.8	55.0 29.5	28.5	26.7	25.1	24.6	25.0	26.6	26.4	25.2	333.0
7.5	24.8	28.0	29.7										1107 5
75	0.0	0.0	127.4	7.3 29.9	125.9 27.7	104.2 26.7	302.5 24.7	263.9 25.0	170.8 25.2	75.6 26.8	3.5 26.3	17.2 23.8	1197.5
76	24.6 0.0	28.1	28.9 21.8	54.4	152.7	90.0	202.0	82.4	110.2	225.0	24.2	0.0	992.7
76	1 20.0	1 20.0	21.0	20.2	27 9	26.0	202.0	25 4	25 0	25.0	24.2	1 25.6	772.7

ABLEAU II: BANFORA (10°37'N 4°46'W 270 m)

Station n° 200016.

Pluviométrie (en mm), (X = Mesures non relevées).

ANNEES	JAN.	FEV.	MARS	AVR.	MAI	JUIN	JUILLET	AOUT	SEP.	ост.	NOV.	DEC.	TOTAL ANNUEL
1921 22 23 24 25 26 27 28 29 30	XX 6.0 0.0 0.0 0.0 0.0 0.0 0.0 0.0	XX 0.0 0.0 11.5 0.0 0.0 0.0 3.1 X	XX 13.0 15.5 4.7 62.0 15.0 0.0 6.4 X 62.2	XX 176.6 51.5 117.9 91.0 28.0 33.0 20.7 26.5 15.0	XX 78.2 177.2 183.0 134.0 22.0 144.0 50.0 73.0 211.2	XX 83.7 155.9 248.1 143.0 146.0 249.1 125.0 270.5 218.6	XX 363.7 150.7 321.2 247.0 219.5 72.0 173.6 281.5 133.7	XX 181.2 509.4 377.2 296.0 259.5 429.0 406.0 310.5 246.2	XX 334.0 218.6 319.0 278.0 118.0 251.2 180.7 272.5 201.7	60.0 108.2 94.7 66.0 46.0 22.5 157.4 37.3 161.5 80.8	9.0 13.0 33.4 45.0 30.0 5.5 42.5 27.0 34.0 0.0	10.0 0.0 0.0 0.0 0.0 0.0 0.0 XX XX 5.0	XX 1357.6 1346.9 1693.6 1327.0 836.0 1378.2 XX XX 1174.4
1931 32 33 34 35 36 37 38 39	0.0 0.0 0.0 0.0 0.0 0.0 0.0 0.0	7.0 12.5 26.4 2.5 0.0 15.0 0.0 0.0 0.0	16.0 72.7 29.3 16.0 43.8 1.0 0.0 37.5 22.2	79.2 116.5 50.1 43.7 31.5 88.5 49.7 28.5 38.6 93.3	152.4 127.8 223.1 104.8 194.2 116.2 68.2 164.5 59.6 93.5	261.0 104.0 223.1 109.2 190.0 107.6 97.1 76.7 97.1 173.1	229.5 236.0 212.6 330.3 214.4 250.3 150.0 257.9 245.4 136.5	192.4 161.0 529.6 457.5 648.9 363.6 425.0 296.8 243.2 212.5	342.0 369.6 175.9 184.5 176.8 231.2 207.9 241.5 244.6 237.2	15.7 77.7 15.7 73.2 36.5 58.5 27.2 111.6 92.2 82.5	58.6 0.0 89.5 0.0 0.0 42.1 11.2 0.0 6.0	0.3 0.0 0.0 0.0 0.0 12.3 0.0 0.0 0.0	1354.1 1277.8 1575.3 1321.7 1536.1 1286.3 1036.3 1215.0 1048.9 1045.6
1941 42 43 44 45 46 47 48 49 50	0.0 0.0 0.0 0.0 0.0 10.5 1.5 0.0 0.0	0.0 0.0 5.0 0.0 12.5 0.0 2.0 0.0 0.0	27.0 30.5 0.0 75.0 0.0 6.5 0.0 0.0 68.5	49.9 39.5 48.5 44.0 23.0 28.5 18.0 133.0 63.0 20.0	105.5 81.5 107.0 65.5 94.3 207.0 43.0 36.5 139.0 133.0	179.5 166.5 169.0 57.0 40.8 66.5 146.5 202.5 89.0 198.5	175.5 120.0 139.5 148.5 274.8 188.0 121.5 231.0 223.0 159.0	267.3 242.0 199.0 214.5 408.0 133.0 369.3 341.0 302.0 281.7	166.0 107.0 125.5 207.0 263.5 139.0 148.0 76.0 155.5 334.3	53.0 89.0 239.5 33.5 154.0 99.0 30.0 64.0 61.0 84.6	79.5 31.0 12.5 43.3 0.0 5.0 5.0 0.0 65.5	0.0 6.0 16.5 2.0 0.0 0.0 0.0 0.0 0.0	1103.2 913.0 1062.0 890.3 1270.9 883.0 884.8 1084.0 1165.5 1230.6
1951 52 53 54 55 56 57 58 59	34.5 0.0 0.0 0.0 0.0 0.0 0.0 0.0 1.2	10.5 0.0 36.5 0.0 1.6 22.5 0.0 8.2 0.0	6.0 4.5 0.0 4.7 14.1 45.9 40.6 4.2 0.0 4.7	101.1 37.7 99.1 120.1 43.6 56.4 34.9 66.8 61.4 192.2	156.9 163.9 185.2 137.8 114.7 87.6 72.7 38.3 177.7 50.2	151.5 173.6 214.2 95.3 144.2 116.3 164.4 68.9 99.4 168.1	197.7 279.0 178.5 237.3 246.8 194.8 251.2 293.5 122.8 188.4	372.7 370.8 249.7 577.8 254.0 299.6 389.3 227.1 317.0 231.1	182.4 432.3 129.7 163.9 202.4 106.2 162.1 242.1 274.5 194.2	189.2 120.2 89.1 57.1 88.7 42.3 107.1 45.6 84.8 22.2	8.8 0.0 34.0 38.8 0.0 7.2 31.6 95.9 19.5 78.8	28.5 0.0 17.0 0.0 37.3 0.0 0.0 0.0 0.0	1439.8 1582.0 1233.0 1432.8 1147.4 978.8 1253.9 1090.6 1158.3 1133.5
1961 62 63 64 65 66 67 68 69	0.0 0.0 0.0 0.0 20.9 0.0 0.0 0.0	0.0 0.0 32.4 0.0 0.0 0.0 33.0 9.4 0.0 0.0	80.6 0.0 9.8 23.7 0.0 15.0 16.9 83.4 8.8 65.7	68.2 156.2 21.3 60.1 20.5 113.0 36.9 83.6 71.1 65.6	18.8 173.0 109.3 169.8 71.2 71.6 75.2 196.2 58.2 159.0	129.6 257.2 107.0 163.4 339.3 68.4 135.6 142.9 152.0 94.1	254.5 83.5 288.7 237.7 245.9 220.7 142.5 261.6 100.7 281.9	246.3 341.8 514.0 217.8 297.7 324.6 419.8 352.8 364.7 380.6	91.4 171.6 235.4 339.3 209.0 296.7 285.8 183.6 179.4 143.9	18.8 36.3 95.9 56.0 69.9 178.7 34.8 26.2 34.0 20.7	45.2 19.6 4.8 3.0 0.0 2.5 13.0 0.0 34.5 7.3	0.0 0.0 0.0 15.1 0.0 0.0 0.0 20.6 0.0	953.4 1239.2 1418.6 1285.9 1364.4 1291.2 1193.6 1360.3 1003.4 1158.8
1971 72 73 74 75 76	0.0 0.0 0.0 0.0 0.0 1.8	0.0 93.8 0.0 0.0 0.0	9.3 11.3 5.0 70.6 29.5 14.2	75.4 91.9 79.7 61.4 8.1 41.4	114.4 246.6 87.9 46.7 89.1 133.8	96.8 76.9 91.9 98.3 104.6 84.3	163.9 162.4 274.7 254.8 309.3 204.7	429.5 134.0 234.9 297.6 189.3 164.0	147.1 129.4 130.5 147.3 303.5 101.6	28.5 101.2 33.7 47.4 23.5 182.1	0.0 0.0 1.5 0.0 3.0 0.0	5.7 0.0 4.5 0.0 1.5 0.0	1070.6 1047.5 944.2 1024.1 1074.9 927.9

(11°10'N TABLEAU III : BOBO-DIOULASSO

432 m)

AOUT SEP. DEC. TOTAL ANNUEL ANNEES JAN. FEV. MARS AVR. MAI JUIN JUILLET OCT. NOV. 115.1 2.0 68.5 96.4 76.1 410.7 176.3 9.9 8.3 0.0 963.3 1920 0.0 0.0 XXX.X 21 0.0 0.0 0.0 14.0 x.x 102.5 152.3 238.6 77.8 97.4 11.6 0.0 22 0.0 18.9 136.8 137.4 77.2 152.2 272.8 314.8 104.1 27.6 0.0 1242.8 0.0 23 34.9 110.4 108.4 146.1 219.2 277.4 61.6 4.2 5.5 977.4 0.0 9.7 0.0 220.2 205.4 1099.5 24 19.5 13.8 65.6 180.4 327.7 36.3 13.0 0.3 0.5 16.8 1398.4 25 36.5 16.2 147.6 111.3 141.2 360.5 342.6 246.5 0.0 0.0 0.0 0.0 218.1 . 151.4 19.3 0.0 886.4 26 28.4 22.9 68.4 130.4 180.4 59.5 0.0 7.6 1119.2 119.5 155.0 52.0 0.0 27 0.0 0.0 67.3 173.4 180.3 87.7 277.5 6.5 28 142.0 111.0 200.3 227.0 339.0 225.0 72.0 0.0 0.0 1321.0 0.0 0.0 5.0 29 1.0 16.0 62.8 191.0 276.0 225.5 173.5 133.1 17.5 0.0 1095.6 0.0 0.0 200.8 288.3 258.9 327.4 169.7 65.0 3.5 0.0 1350.2 1930 17.1 20.5 0.0 0.0 230.0 291.4 19.6 110.8 0.0 1295.5 135.4 70.6 189.4 300.3 31 0.0 8.0 0.0 1157.1 32.6 177.3 68.2 302.0 312.0 64.9 0.0 0.0 32 0.0 31.7 72.3 96.1 1217.1 33 0.0 0.0 16.0 37.5 137.5 158.0 317.0 336.0 163.5 50.7 0.0 0.0 34 14.5 0.0 41.5 113.5 235.7 418.6 196.9 62.7 0.0 0.0 1083.4 0.0 0.0 35 0.0 137.2 15.4 168.2 124.8 418.9 335.7 190.3 61.9 0.0 0.0 1452.4 0.0 1068.4 36 0.0 0.0 0.0 50.0 69.9 100.9 230.5 341.8 160.9 94.5 19.9 0.0 37 92.8 211.6 161.5 190.1 266.5 XXX.X XX.X 4.4 0.0 XXXX.X 0.0 0.0 6.6 45.3 182.0 348.5 166.4 32.4 0.0 1113.7 38 0.0 0.0 12.0 72.8 250.2 4.1 202.2 348.4 205.7 . 1.7 0.0 1161.4 39 0.0 0.0 12.4 52.1 95.2 131.6 112.1 266.2 63.5 95.7 146.4 230.6 102.6 962.0 1940 20.3 0.0 4.1 32.6 0.0 0.0 0.0 0.0 6.8 26.2 42.8 153.0 170.0 258.3 92.7 68.6 30.4 0.0 853.8 41 92.8 1.3 13.8 64.5 120.1 195.7 41.5 199.3 50.8 8.6 12.2 805.1 42 4.5 277.0 43 0.0 0.0 24.1 25.7 143.7 110.7 160.4 305.5 122.5 0.8 0,2 1170.6 44 0.0 26.1 46.4 36.4 194.7 203.7 265.2 207.6 130.7 4.4 0.9 1116.1 0.0 45 7.0 87.8 105.0 408.3 460.2 135.3 65.8 0.6 0.0 1270.0 0.0 0.0 0.0 46 1.2 13.6 31.6 95.5 86.2 233.3 450.8 212.6 87.0 4.8 0.0 1217.6 1.0 0.0 36.5 24.6 169.3 173.3 467.4 265.6 28.9 3.4 33.0 1202.0 47 0.0 0.0 1118.2 48 9.8 133.0 99.3 129.6 148.3 336.0 148.6 109.1 4.5 0.0 0.0 0.0 1227.2 49 17.2 23.9 76.1 68.2 135.3 332.2 340.5 174.8 35.7 23.3 0.0 0.0 94.7 194.6 177.7 161.5 844.5 1950 0.0 3.3 0.0 23.5 113.0 72.8 3.4 0.0 1484.2 51 0.2 1.9 45.5 38.7 177.5 133.6 175.9 493.1 263.5 128.3 2.0 24.0 52 0.0 0.0 3.7 55.0 203.5 98.5 397.3 418.5 333.9 34.9 6.3 0.0 1551.6 262.8 239.8 11.6 1296.5 53 1.8 0.0 58.1 183.7 206.8 245.3 86.2 0.4 0.0 1439.6 54 1.2 9.4 55.2 138.4 118.6 246.7 608.5 155.4 104.1 2.1 0.0 0.0 62.8 142.1 121.9 272.6 356.1 401.8 129.6 1548.0 55 0.0 6.6 54.5 0.0 0.0 29.8 320.2 97.5 104.9 969.6 56 15.4 30.6 96.6 88.6 167.9 18.1 0.0 0.0 209.2 489.0 275.5 55.3 137.5 147.2 74.2 48.8 1470.9 57 0.0 0.0 34.2 0.0 104.9 209.3 202.4 316.3 1047.0 70.7 85.1 30.8 17.9 58 0.0 0.0 9.6 0.0 134.2 102.3 164.7 802.9 59 1.3 0.0 0.0 29.7 - 58.3 293.4 6.2 12.8 0.0 1960 75.0 71.9 175.1 437.3 163.4 174.6 129.0 15.8 1243.4 0.0 0.0 1.3 0.0 296.5 306.8 233.4 1103.4 0.0 7.2 50.0 60.0 121.0 28.5 0.0 0.0 61 0.0 250.9 182.8 62 0.0 0.0 0.0 47.3 52.7 151.2 142.1 74.6 26.8 0.0 928.4 0.0 45.8 118.8 111.1 238.0 449.6 148.4 108.4 0.0 1236.7 63 0.0 16.6 0.0 64 0.0 8.0 68.6 101.1 154.2 331.7 352.0 222.1 99.8 0.0 19.9 1359.0 1.6 90.0 162.6 194.1 288.6 235.4 1028.6 65 15.8 0.0 11.2 5.7 25.2 0.0 0.0 221.5 243.0 279.2 144.2 7.3 1149.7 66 0.0 0.0 27.5 38.4 80.0 108.6 0.0 420.0 197.5 1087.0 67 0.0 25.0 46.0 34.1 26.1 122.0 183.9 31.2 1.2 0.0 6.3 94.5 63.7 206.5 101.2 331.7 311.7 241.3 39.3 3.8 14.7 1414.7 68 0.0 0.0 43.3 173.9 338.8 180.9 121.2 14.2 0.0 1078.0 69 0.0 5.8 56.4 143.5 112.8 460.4 273.2 1404.3 0.0 0.0 6.4 28.3 180.1 316.2 13.6 13.3 0.0 1970 32.9 229.3 291.8 102.3 963.6 36.2 44.6 75.9 135.4 15.2 0.0 0.0 71 0.0 72 44.2 250.4 150.0 161.1 116.1 101.7 60.2 0.0 894.2 0.0 0.8 9.7 0.0 74.0 95.1 244.4 184.2 23.9 888.5 73 0.0 0.8 10.5 37.8 217.8 0.0 0.0 222.5 1084.0 74 0.0 0.0 45.1 52.7 55.9 116.0 227.8 320.0 44.0 0.0 0.0 75 21.9 60.4 138.9 18.4 2.4 0.0 0.0 31.0 140.7 258.6 203.6 6.2 888.1

292.4

135.3

139.4

0.0

996.1

161.5

Station nº 200040.

Pluviométrie (en mm).

32.9

76

11.2

0.0

28.3

97.9

91.9

4°18'W

(X = Valeurs non relevées).

BEREGADOUGOU (10°45'N 4°44'W Station de la SOSU-HV.

Lire pour chaque mois et horizontalement :

1°) La pluviométrie (mm)
2°) Températures (Moyenne mensuelle = M+m/2)
3°) Humidité relative de l'air (%)
4°) Evaporation bac "A" (mm)
5°) E.T.M. (mm)

	*					•
MOIS / ANNEES	1971	1972	1973	. 1974	1975	1976
JANVIER	0,0	0,0	0,0	0,0	0,0	1,6
	23,2	24,1	25,7	25,6	25,4	25,7
	31	45	35	37	17	29
	282	242	294	291	332	257
	141	121	147	146	166	129
FEVRIER	10,9	10,0	0,0	0,0	0,0	0,0
	26,8	27,1	28,2	28,3	27,6	28,1
	44	39	32	30	17	27
	230	258	274	319	300	278
	184	206	219	255	240	223
MARS	25,7	5,8	0,0	90,6	20,1	6,0
	29,2	29,2	29,5	29,2	25,5	29,3
	55	42	42	46	38	34
	232	288	301	239	291	304
	232	288	301	239	291	304
AVRIL	91,0	55,1	25,4	88,8	8,1	71,5
	29,6	27,8	30,9	29,7	30,3	29,4
	61	67	53	59	55	54
	231	189	261	204	237	243
	231	189	261	204	237	243
MAI	114,5	272,5	74,4	75,9	103,9	89,2
	29,1	27,8	26,6	29,0	28,5	28,3
	71	78	66	61	71	71
	211	164	195	198	174	205
	211	164	195	198	174	205
JUIN	111,0	131,6	54,9	116,0	105,0	129,6
	26,5	26,3	28,3	27,1	26,9	26,0
	80	83	71	75	74	79
	144	126	168	147	165	156
	144	126	168	147	165	156
JUILLET	201,6	174,9	235,9	345,2	232,9	145,1
	25,5	25,8	26,3	25,2	25,0	25,6
	82	82	80	85	84	82
	170	105	112	84	102	146
	170	105	112	84	102	146
TUOA	491,6	100,2	177,7	263,9	131,7	155,5
	24,8	25,8	25,6	24,8	25,4	25,2
	87	85	85	86	84	88
	62	96	77	77	121	127
	62	96	77	77	121	127
SEPTEMBRE	244,8 25,4 86 96	133,4 26,0 87 96	110,3 26,2 85 96	144,3 25,2 85 93	253,3 25,5 86 129 129	168,3 25,7 89 129 129
OCTOBRE	13,3	101,1	15,5	38,2	42,2	196,6
	26,4	26,7	27,4	26,9	27,0	25,8
	81	87	87	80	80	90
	155	118	161	133	167	121
	140	106	145	120	151	109
NOVEMBRE	12,0	0,0	2,0	9,7	6,3	8,6
	25,8	24,8	27,2	26,1	25,9	26,1
	72	73	52	55	55	70
	171	153	213	207	201	165
	154	138	192	186	181	- 148
DECEMBRE	5,5	0,0	14,2	0,0	4,2	0,0
	24,2	25,7	25,9	25,3	26,1	25,7
	59	39	42	29	37	41
	198	229	248	273	217	245
	59	69	74	82	65	73
Total annuel Moyenne annuelle	1321,9	984,6 26,4	710,3	1172,6	907,7 26,6	972,0 26,7
Total annuel Total annuel	2182	2064	2400	2265	2436	2376
	1824	1704	1987	1831	2022	1992

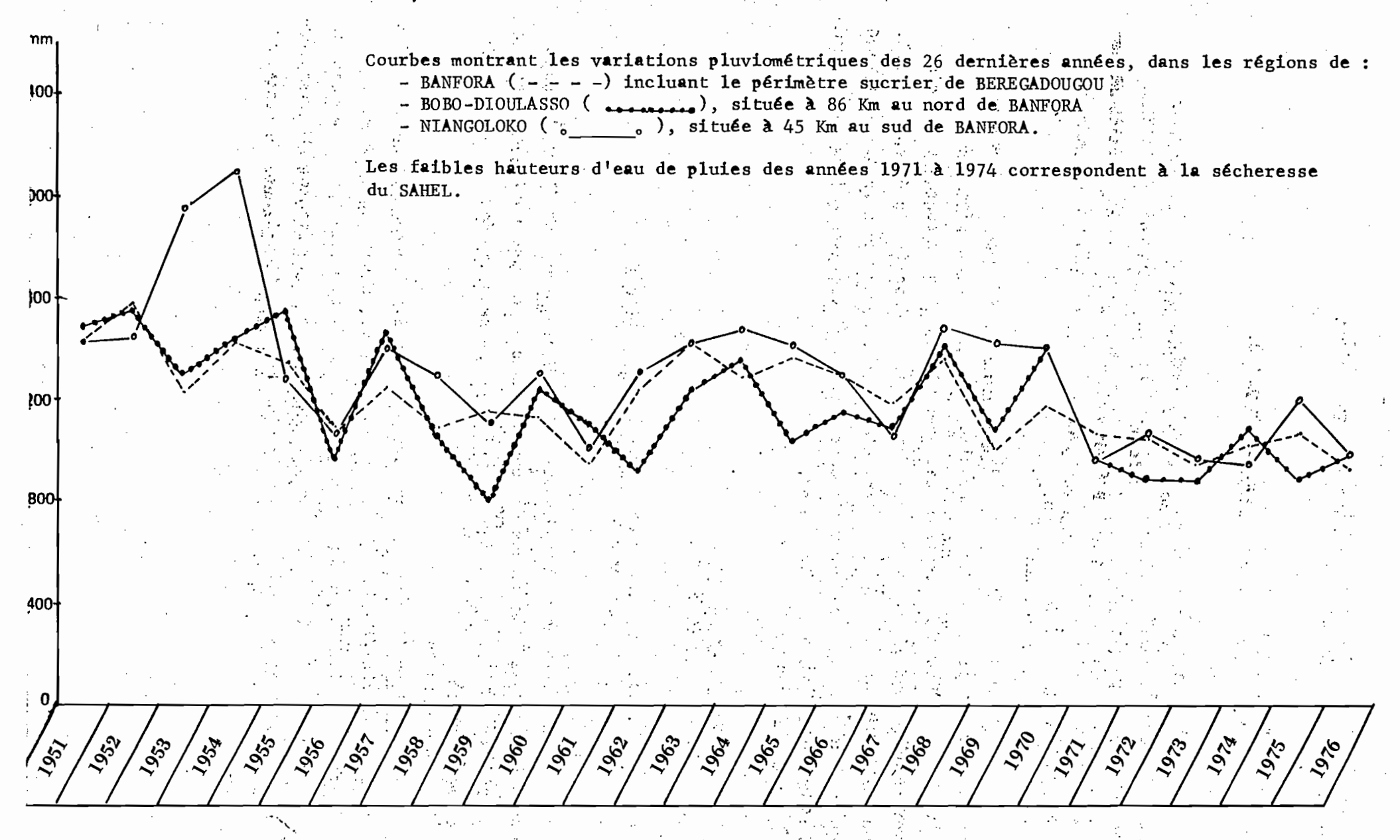


Figure n° 1

resse du SAHEL" intervenue en 1971, 1972 et 1973.

5.1.3. Intensité et durée des pluies.

Les pluies sont de courte durée (très souvent moins de deux heures) surtout vers le début et la fin de la saison pluvieuse. Selon ROOSE (1972), l'intensité des précipitations en régions tropicales sèches est en moyenne de : 100 mm/heure, pendant 10 mm; 60 mm/heure pendant 30 mm; 40 mm/heure pendant 50 mm.

Le nombre de jours de pluies mensuel varie dans le même sens que la moyenne pluviométrique mensuelle. Très souvent précédées de souffles violents d'air frais et sec, ces pluies tombent sous forme d'averses orageuses et exercent de ce fait un effet érosif très élevé du sol. Le ruissellement est très important d'où le ravinement du terrain très fréquent dans ces régions. Les vents sont parfois si violents qu'ils font tomber des arbres notarment le rônier.

5.2. Le: températures.

5.2.1. Maximums et minimums absolus mensuels.

Les courbes de température (TABLEAU ci-dessous et FIGURE 2) sont caractérisées par l'existence de deux minimums et de deux maximums mettant en évidence un régime thermique annuel à quatre saisons, dont deux fraîches et deux chaudes.

- Une saison fraîche (15 Novembre - 15 Février) correspond au minimum absolu. Le taux d'humidité relative de l'air est à ses plus faibles valeurs, 20 à 40 % et parfois en dessous de 20 %, comme ce fut le cas en 1975 (FIGURE N° 3 (b)). Les températures restent élevées dans la journée, 30 à 35 °C en Janvier, mois le plus froid de l'année, et relative-

MAXIMULO ET MINIMUMS ABSOLUS MENSUELS LE DRUX ANNEES CONSECUTIVES "STATION DE BENEGALOUGOU"

Service of the Control of the Contro

tige thereby to expect the thing a so to enco

					·					·			
•. :	• •	JANV	FEV.	IL'RC	AVR.	IAI	JUIN	JUIL	AOUT	SEPT	CCT.	NOV.	DEC.
9	Min.	12,5	17,2	21,2	23,1	23,3	21,5	20,9	20,8	20,6	19,3	16,7	1/.,8
7	Max.	33,9	36,3	37,1	36,1	35,3	31,5	30,0	28,8	30,1	33,5	34,9	23,5
9	Min.	13,8	18,0	21,4	22,9	23,1	21,5	21,1	21,5	20,9	20,8	15,5	17,2
7 2	Max.	34,4	36,1	57,0	34,3	32,4	30,8	30,4	30Ç1	31,1	32,5	34,1	34,2

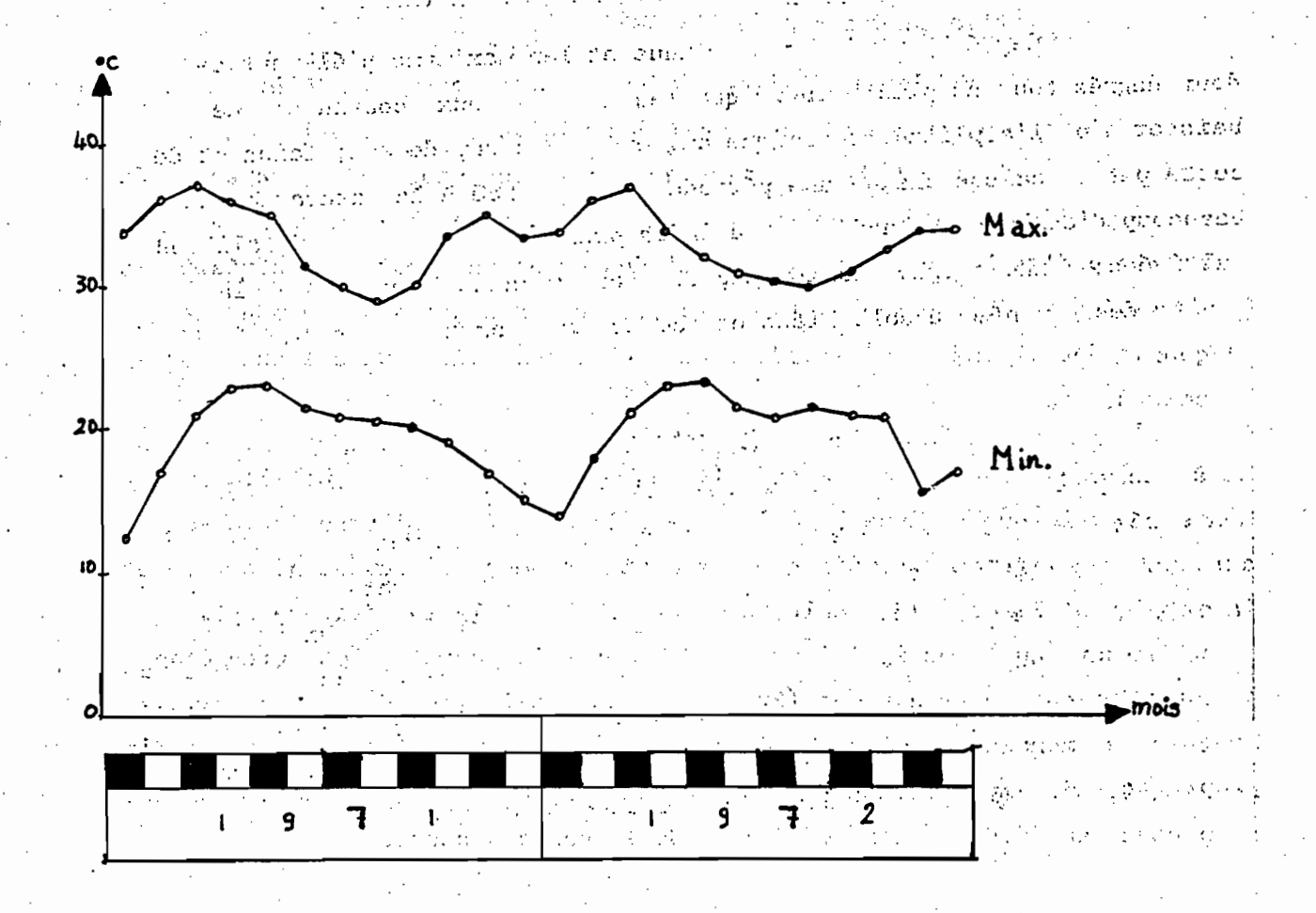


FIGURE 2: Courbes de températures: variations saisonnières des maximus et des minimus absolus mensuels (années 1971 et 1972). Station de BEREGADOUGOU.

ment basses dans la nuit 7 à 9 °C pour le même nois, créant ainsi de grands écarts de températures entre le jour et la nuit. C'est la période de l'Harmattan (voir § 5.3.2.).

- Une autre saison fraîche (un peu moins que la précédente) (15
JUIN - 15 SEPTEMBRE), correspond aux mois les plus pluvieux de l'année.
Le taux d'humidité relative est à ses plus fortes valeurs (80 à 90 %).
Les températures restent généralement inférieures à 30 °C dans la journée au mois d'AOUT - mois le plus humide de l'année - et ne descendent pas en dessous de 19 °C dans la nuit, pour le même mois. Selon AUBRE-VILLE cité par EIEFFEL et al (1969), cette période correspondrait à une action prépondérante des influences marines, atlantiques notamment, s'exerçant par le régime des lioussons (voir § 5.3.1.).

. Une petite saison chaude (15 SEPTEMBRE - 15 NOVEMBRE).

Le degré hygrométrique diminue et les maximums s'élèvent de deux degrés tout au plus, tandis que les minimums eux, continuent de baisser d'où l'amplitude thermique augmente très rapidement, faisa nt de cette petite saison chaude une période très propice à la maturation de beaucoup d'espèces herbacées « Graminées principalement » et céréalières cultivées » mil, sorgho, fonio, etc ..., et la canne à sucre pour laquelle des journées ensoleillées et tèches sont particulièrement nécessaires.

. Une grande saison chaude (15 FEVRIER - 15 JUIN) s'installe au fur et à mesure que diminue l'influence de l'Harmattan. L'hygrométrie augmente régulièrement tandis que les maximums, eux, s'élèvent plus vite et atteignent le maximum absolu en MARS - AVRIL où la température est pour la plupart du temps inférieure à 40 ° dans la journée, les nuits étant relativement moins chaudes (20 à 25 °C). Vers la fin AVRIL, ces températures commencent à baisser, alors que le taux hygrométrique continue d'augmenter. Ceci crée une situation particulière d'humidité et de température propice au développement végétatif de la canne à sucre.

5.2.2. La température moyenne annuelle.

La température moyenne annuelle varie très peu d'une localité à l'autre. Elle est de 26°9 à BOBO-DIOULASSO, 26°7 à BEREGADOUGOU et de 26°6 à NIANGOLOKO. Elle reste cependant relativement élevée. Les moyennes quant à elles, varient de 24 °C à 30 °C en moyenne, cet intervalle variant faiblement d'une station à l'autre.

5.3. Les Vents.

Un anémomètre cinomographe installé à la station de EEREGADOUGOU permet de mesurer la force et d'indiquer la direction des vents soufflant sur la région. La région est traversée par deux principaux courants aériens de sens opposés.

5.3.1. La Mousson.

La mousson est un vent bien connu en Afrique occidentale. Il la traverse d'Ouest en Est pendant cinq mois environ, MAI à SEPTEMBRE, et soufflant, le reste de l'année, en très haute altitude. C'est un vent faible, tiède et humide, qui apporte d'abord l'humidité, puis les pluies à l'intérieur du continent. Il favorise l'élévation du degré hygrométrique et a une grande influence sur le régime thermique.

5.3.2. L'Harmattan.

L'Harmattan est un vent très sec, un peu plus fort que le précédent, chaud la journée, mais froid la nuit, soufflant sur toute l'Afrique occidentale, trois mois sur douze (DECEMBRE - FEVRIER), qu'il traverse d'Est en Ouest. C'est un puissant agent climatique. Il accentue en desséchant le sol, la dessiccation provoquée par la "petite saison chaude" (§ 5.2.1.). Son action sur les arbres est nuisible car la chaleur et le fort abaissement du taux d'humidité relative (moins de 20 %
en JANVIER - FEVRIER 1975 à BEREGADOUGOU - FIGURE n° 3 (b) provoquent
en eux une intense transpiration qui se traduit par la chute des feuilles.
C'est aussi l'Harmattan qui provoque le dessèchement très rapide de la
strate herbacée, augmentant ainsi les risques de feux de brousse, fréquents dans la région et néfastes à la végétation et au sol. En fait,
l'Harmattan souffle toute l'année AUBREVILLE (1949), mais lorsque la
mousson chargée d'humidité s'installe, elle oblige l'Harmattan à circuler en altitude (il s'élève parfois à 10.000 m.). C'est ce conflit permanent entre les deux courants qui est à l'origine des vents très violents
qui précèdent certaines pluies.

of the Cartinative section of the cartinative and the cartinative section of

Buck Buckeye

5.4. L'évaporacion.

L'évaporation est la vaporisation de l'eau à partir d'une surface d'eau libre ou de sol nu humide. La notion d'évapotranspiration a été introduite par THCENTWAITE (1948). Cette notion a depuis évolué. Le concept de l'évapotranspiration potentielle (ETP) en découle.

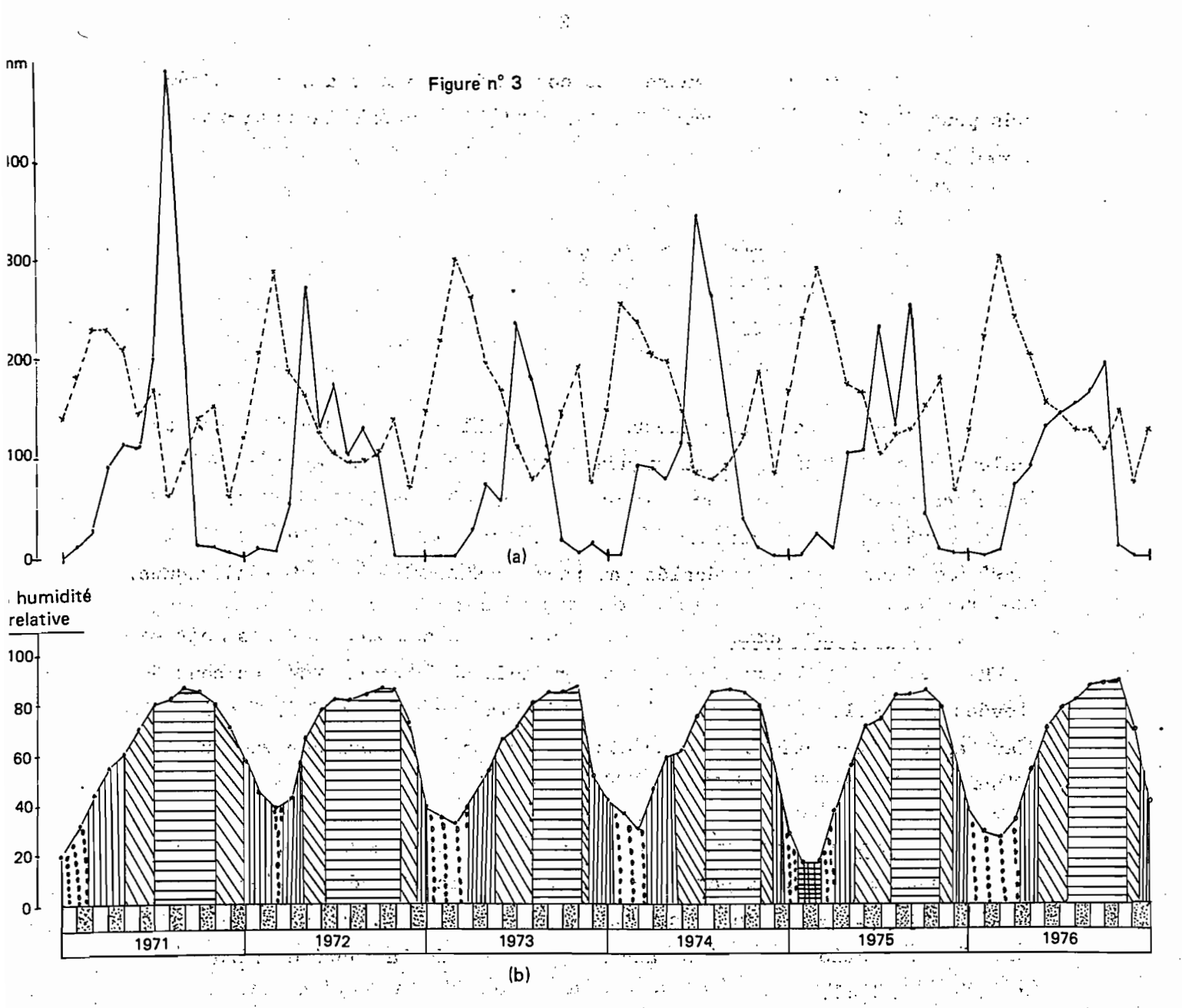
Le bac d'évaporation "Classe A" mesure à partir d'une nappe d'eau libre les effets du rayonnement du vent, de la température et de l'humidité, sur l'évaporation. Il est d'un emploi assez sûr pour déterminer les besoins en eau de la culture sur de courtes périodes (décadaires par exemple). Les besoins estimés variant avec le degré de couverture du sol par la plante cultivée, on applique un coefficient k à l'évaporation de la nappe d'eau libre du bac "A".

On pose : E.T.M. (culture) = k. Ey. Bac "A".

avec E.T.M. = Evapotranspiration maximale in the market

Ev. Bac "A" = Evaporation Bac "Classe A"

. ... k = Coefficient cultural.



a. Variations de la pluviométrie et de l'évapotranspiration maximale, de 1971 à 1976. Station de BEREGADOUGOU.

——→, Pluie

x Evapotranspiration maximale (ETM)

b Variations saisonnières de l'humidité relative. Station de BEREGADOUGOU

	Très humide	>	80	%	. :	: /***
	Humide		60	à	80	%
	Moyen		40	à	60	%
0 0 0 0	Sec		20	à	40	%
	Très sec	<	20	%		

Pour la canne à sucre, les coefficients culturaux sont déterminés pour différentes coupes. A BERRGIPOUGOU, ces coefficients varient comme suit :

- 1,0 FEVRIER à ACUT
- 0,9 CESTEMBRE à OCTORRE
- 0.3 NOVERDRE
- 0.5 DECEMBEE
- 0.8 JAIWEE

Connaissant les valeurs de k et celles de Ev. Bec "A", on peut calculer l'ETM théorique. La figure 3 (a) montre les variations de l'ETM ainsi calculée (données fournies par la Station de BEPEGADOUGCU). Sette figure présente deux maximums et deux minimums par année, les premiers maximums étant toujours décalés par rapport aux maximums pluviométriques.

- Le premier maximum. (le plus grand), est atteint vers les mois de FEVRIER et MARS. Il correspond à une période où les températures sont élevées (§ 5.2.1.) et le taux d'humidité relative très faible. A celà, il faut ajouter les effets d'oasis dûs à l'irrigation. Tous ces facteurs influencent directement l'ETM.
- Le deuxième maximum est observé vers OCTORGE-NOVEMBRE. Il intervient juste avant la campagne de coupe. G'est la période de fléchage à laquelle la canne a atteint sa hauteur maximale. L'Harmattan accroît les effets d'advection (4). G'est aussi la période de la "petite saison chaude" (§ 5.2.1.).

On sait d'autre part, ABDEL PASCOL (1975), qu'avec l'irrigation, l'humidité du sol est maintenue à un taux élevé, ce qui accroît celui de l'évapotranspiration et particulièrement pendant les périodes chaudes.

- Deux minimums très voisins, dont le premier s'observe en ACUT, mois le plus humide de l'année. L'eau est abondante dans le sol, l'humidité de

⁽⁺⁾ Effets d'évapotranspiration causés par un vent se déplaçant horizontalement, au contact de la plante.

l'air est très élevée (supérieure à 80 %) et les températures sont relativement basses.

- Le deuxième minimum intervient au mois de DECEMBRE. Cette chute brutale de l'ETM est liée aux effets de la coupe. Les feuilles de canne abandonnées après la récolte, recouvrent le sol à 100 %, limitant considérablement l'évaporation du sol. La surface foliaire est à sa plus faible valeur.

5.5. Conclusion.

En conclusion, on peut dire que le climat de la région de BERE-GADOUGOU est caractérisé par 5 mois où la pluviométrie est supérieure ou égale à 100 mm, 2 mois où elle est comprise entre 100 et 30 mm et 5 mois écologiquement secs où elle reste inférieure à 30 mm, soit un indice pluviométrique 5-2-5. Le facteur limitant pour toute mise en valeur des sols reste l'eau, mais on peut y remédier par irrigation, la région étant traversée par de nombreux cours d'eau permanents (BEREGA, YANNON, etc ...) dont deux fleuves la LERABA et la COMOE. Des chutes d'eau importantes comme celle de la cascade de BANFORA peuvent aussi servir à la production d'énergie hydroélectrique.

Les températures sont relativement élevées, la moyenne du mois le plus froid (JANVIER), étant supérieure à 20 °C et celle du mois le plus chaud (AVRIL) dépasse les 30 °C. Le régime thermique avec ses deux saisons chaudes et la forte intensité du rayonnement solaire y créent des conditions favorables au développement et à la maturation de la canne à sucre. La coupe intervenant à un moment où 1'ETM serait très accrue par l'action de l'Harmattan (effets d'advection), la couverture du sol par les feuilles de canne (récolte par épaillement), permettent de limiter considérablement les pertes d'eau. Ainsi cette région, malgré son climat thermoxérochiménique soudano-guinéen, à deux saisons sèche et humide bien marquées, se prête assez bien à la culture de la canne à sucre. Le choix de techniques culturales appropriées reste cependant primordial.

电电流电路 医性性皮肤 化二氯甲酚 医神经性 使用的 经收益 经营销额

1000 (1) (1) (1) (1) (1) (1)

para tanàna dia kaominina dia

Chapitre Deuxième

TECHNIQUES CULTURALES DE LA CANNE A SUCRE

1. LA CANNE A SUCRE.

Lattice 196

La canne à sucre Saccharum robustum dont l'origine probable est la NOUVELLE GUINEE, est une plante de régions chaudes. C'est un monocotylédone appartenant à la famille des Graminées dont il existe aujourd'hui un grand nombre de variétés. Pour la seule cannaie étudiée, plus d'une dizaine de variétés sont cultivées. Elles sont sélectionnées en fonction de plusieurs critères d'adaptabilité, de résistance aux maladies, de rendement, etc ... La variété la plus cultivée à BEREGADOU-GOU (HAUTE-VOLTA) au 30.7.1977 était la NCO 376, suivie de très loin par les B 54 142, B 37 172, NCO 310, B 46 364, puis, par la B 41 227 très peu utilisée et la M 31 45 en pépinière uniquement. Une fois plantée par bouturage, la canne à sucre passe par plusieurs phases de développement. FAUCONNIER (1970) dont les plus importantes peuvent se résumer comme suit :

- <u>la levée</u> qui consiste à la germination des bourgeons de tiges primaires et à la naissance des radicelles à partir des primordia;
- le tallage pendant lequel se constitue un stock de bourgeons souterrains dont certains germeron pour donner des tiges secondaires desquelles partiront des tiges tertiaires et ainsi de suite jusqu'à la formation d'une touffe de plusieurs cannes;
 - le développement racinaire qui se traduit par la mort des racines

de bouture et la naissance des racines de tiges;

- la croissance des tiges;
- le fléchage ou floraison;
- la maturation de la canne qui correspond à une accumulation de saccharose dans la tige dont le maximum est atteint en moyenne trois à quatre semaines après la floraison. La maturation est fonction de la variété de canne (précoce ou tardive) et est favorisée, à BEREGADOUGOU, par l'alternance de nuits froides et de jours très ensolaillés et secs I.R.A.T. (+) (1975).

C'est glors qu'intervient la récolte et le cycle recommence par des repousses ou rejets. Le développement entre deux coupes successives (cycle de culture), dure en moyenne 12 mois.

Le cycle entre deux plantations d'une même parcelle dure quatre à six années et comporte une culture de vierges en première année, suivie de celles de repousses. La durée de ce cycle est plus fonction des facteurs édaphiques que de la canne elle-même.

Comme la plupart des Graminées, la canne à sucre développe 90 % de ses racines entre 0 et 60 cm de profondeur, EVANS cité par FAUCONNIER (1970) et GERARD (1978). Le labour doit donc être profond pour permettre un développement optimum du système racinaire.

2. LA PREPARATION DU SOL.

La culture de la canne à sucre à BEREGADOUGOU est semi-mécanisée. Sont mécanisés les gros travaux (labour, pulvérisage), la plantation, le sarclage et la récolte étant manuels.

⁽⁺⁾ Institut de Recherche Agronomique Tropicale et des Cultures Vivrières.

Dans le présent travail, la préparation du sol constitue l'un des principaux facteurs intervenant dans les modifications morphologiques des profils pédologiques. Elle est le point de départ du comportement ultérieur du sol. Cette préparation du sol comporte deux phases distinctes.

2.1. Les opérations de défrichement.

Le défrichement est motorisé et consiste, dans un premier temps, à l'abattage de la végétation au moyen d'un bulldozer puis, dans un deuxième temps, à l'extirpation des racines par sous-solage au moyen du CAMECO 305, tracteur à roues d'une puissance de 165 CV pour les sols formés sur matériaux sableux et argilo-sableux, et du tracteur à chenilles pour ceux formés sur matériaux gravelo-gravillonnaires. Dans les deux cas, les dents ont une longueur de 70 cm et sont espacées d'un nètre. Les débris de racines sont rassemblés et brûlés sur place, ce qui est une perte considérable du matériel frais organique qui pourrait être utilisé après broyage et compostage à des enrichissements du sol ou autres travaux.

Ces opérations de défrichement perturbent beaucoup moins le sol en savane que sous forêt où le désouchage des arbres et le grand nombre de passages d'engins bouleversent de façon considérable l'horizon de surface.

2.2. Le sillonage.

やり かんしかは 投げ さない メップさん

On fait passer le Rome-plough, lourd pulvériseur tiré par un CAMECO et on effectue un sillonnage à l'écartement 1,50 m.

Le sol ainsi préparé est remué, ameubli dans sa partie supérieure sur une profondeur variable 20 à 30 cm, selon que la couche travaillée est plus ou moins dure. La période favorable pour de tels travaux est la fin de la saison pluvieuse (SEPTEMBRE - OCTOBRE).

Ce système, qui prépare profondément le sol à la première plantation, convient tout à fait à la culture de la canne dans cette région de BANFORA. Il présente néanmoins l'inconvénient, non moins négligeable, de perdre une importante masse de matériel frais organique surtout quand on sait que ces sols sont très pauvres au départ (le taux de carbone total variant autour de 3 °/00.)

La fumure de redressement apporte au sol :

- . Azote et soufre sous forme de sulfate d'armoniaque (700 Kg/ha) en deux temps, une première moitié pendant le sillonnage, et l'autre deux mois après la plantation;
- . Phosphore sous forme de super phosphate triple (300 kg/ha) et 100 kg/ha après la plantation.

3. LA PLANTATION.

La variété sélectionnée pour être plantée est transportée de la pépinière au champ de culture - parcelle labourée - . L'épaillement est fait à la main pour ne pas détruire les bourgeons, puis les tiges de canne sont placées dans les sillons et tronçonnées en boutures de trois yeux, soit environ 30 cm. La coupe doit être franche et se faire au milieu de l'entre-noeud. Il est conseillé de tremper le couteau dans un désinfectant à chaque nouvelle tige de canne.

Trois mois après la plantation, on procède à l'opération de "nivelage" qui consiste à niveler la parcelle en comblant les sillons dans lesquels la canne a été plantée.

Le désherbage est chimique (désherbants), et mécanique, quand les cannes ne sont pas encore hautes. Quand elles le sont, il est pratiqué manuellement par sarclage à la "daba".

Une funure d'entretien des cultures qui est fonction des sols

est assurée grâce au contrôle de l'état nutritif par diagnostic foliaire et par des essais de fertilisation.

Cette fumure est appliquée après la récolte.

4. L'IRRIGATION.

Un barrage a été construit sur la COMOE. L'eau pompée est conduite sous forte pression aux points d'utilisation où l'irrigation proprement dite se fait par aspersion. On ne dispose pas de résultats analytiques de cette eau qui permettent de juger de sa qualité. Les rampes d'irrigation sont déplacées d'une parcelle à l'autre par une importante équipe répartie dans quatre "villages d'irrigation". C'est une irrigation de complément qui permet de pourvoir la plante en eau durant la saison sèche. Les besoins en eau de la canne sont estimés en fonction de l'évaporation au Bac Classe A ou de l'E.T.M. (voir § 5.4.).

5. LA RECOLTE.

La récolte est entièrement menuelle. La tige débarrassée de ses feuilles par épaillement est sectionnée à sa base, au niveau du sol. La partie apicale est aussi éliminée. Les cannes ainsi récoltées sont chargées dans des canne-loaders pour leur transport à l'usine. Une fois commencée, la récolte se poursuit de jour comme de nuit, sans interruption jusqu'à la fin de la campagne. Cette campagne de coupe est fixée en saison sèche et couvre la période allant de NOVEMBRE à AVRIL. Ce mode de récolte nécessite l'embauche d'une main-d'oeuvre supplémentaire temporaire. Si, du point-de-vue du coût, de procédé s'avère relativement cher, il présente néanmoins, par opposition au brûlis, des avantages certains. Les feuilles sont en effet laissées sur le sol, ce qui assure à ce dernier un apport important de matière organique fraîche et permet d'éviter l'évaporation de l'eau du sol qui serait alors maximale (voir CHAPITRE Deuxième paragraphe 5.4.). On économiserait ainsi, suivant les chiffres fournis

par le Service d'Irrigation de la SO.SU.HV. (+), 20 à 30 % d'eau/an.

Ces techniques, employées à BEREGADOUGOU, exigent certes de grands moyens, mais il ne faut pas aussi perdre de vue qu'elles s'appliquent dans un milieu sommairement défini par :

- -: un relief plat, ce qui simplifie beaucoup le problème d'infrastructure;
- des conditions écologiques difficiles : sols pauvres et peu fertiles, longue saison sèche;
- une densité humaine élevée (45 habitants au Km2) qui fournit une maind'oeuvre abondante et par ailleurs relativement peu onéreuse car souspayée.

⁽⁺⁾ Société Sucrière de Haute-Volta.

Chapitre Troisième

METHODES DE TRAVAIL

1. SUR LE TERRAIN.

Une étude pédologique faite par R. MOREAU en 1967, avait distingué selon la classification française des sols, AUBERT (1965), quatre classes de sols:

- . les sols minéraux bruts;
- . les sols peu évolués;
- . Les sols ferrugineux tropicaux;
- . les sols hydromorphes.

Les premiers sont impropres à la culture de la canne à sucre et la cannaie de BEREGADOUGOU couvre aujourd'hui trois grandes classes de sols. Face à l'extrême hétérogénéité du milieu, on a procédé d'une part par couple de profils (témoin-cultivé) et d'autre part comparé des profils observés dans des parcelles d' "âge différent". Le nombre d'échantillons de sol à expédier aux Laboratoires de 1'O.R.S.T.O.M. à BONDY a été réduit en constituant des échantillons composites.

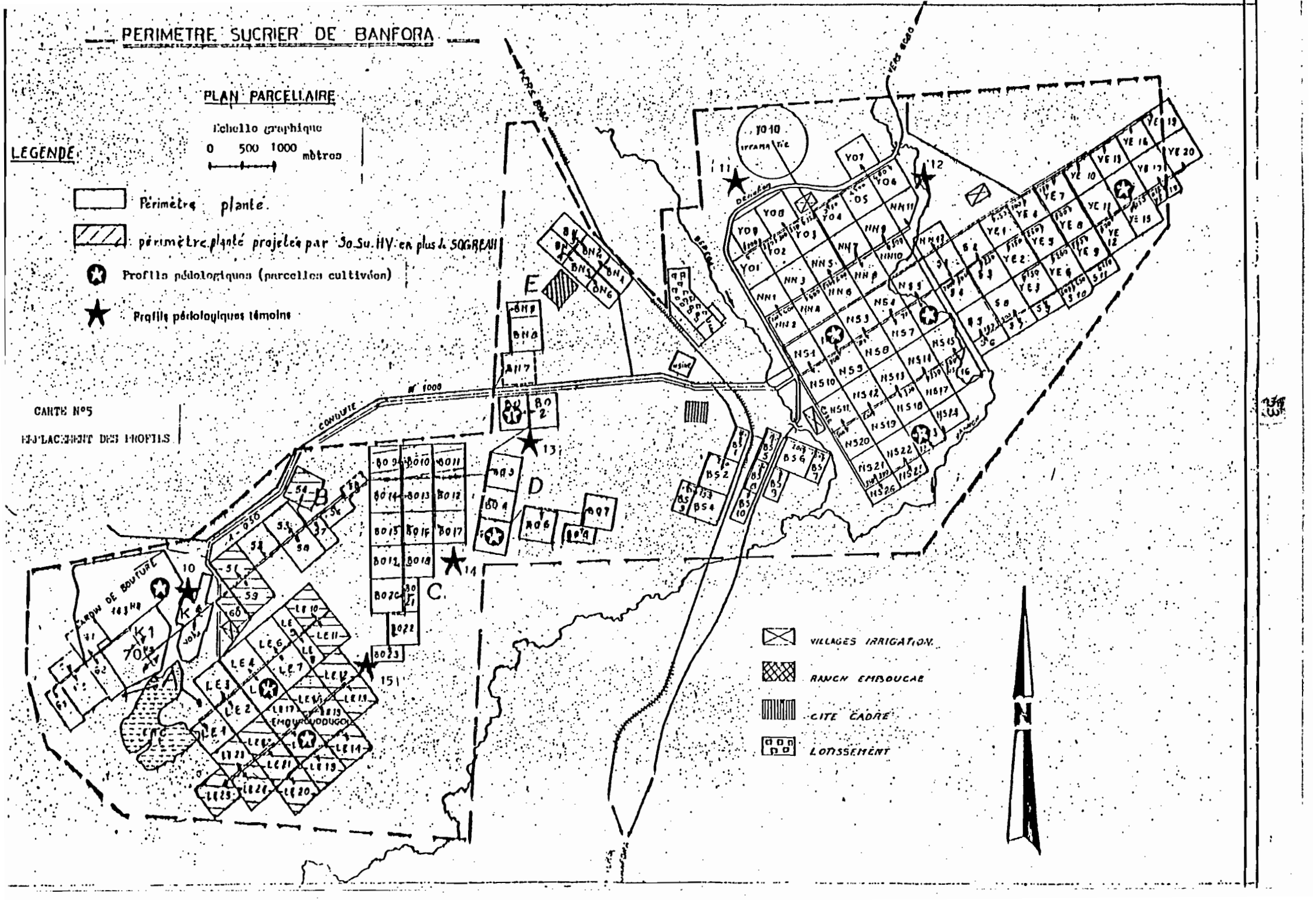
Cette méthode, qui s'imposait d'elle-même, compte tenu des limites ainsi fixées, est insuffisante et est à parfaire pour des travaux à venir.

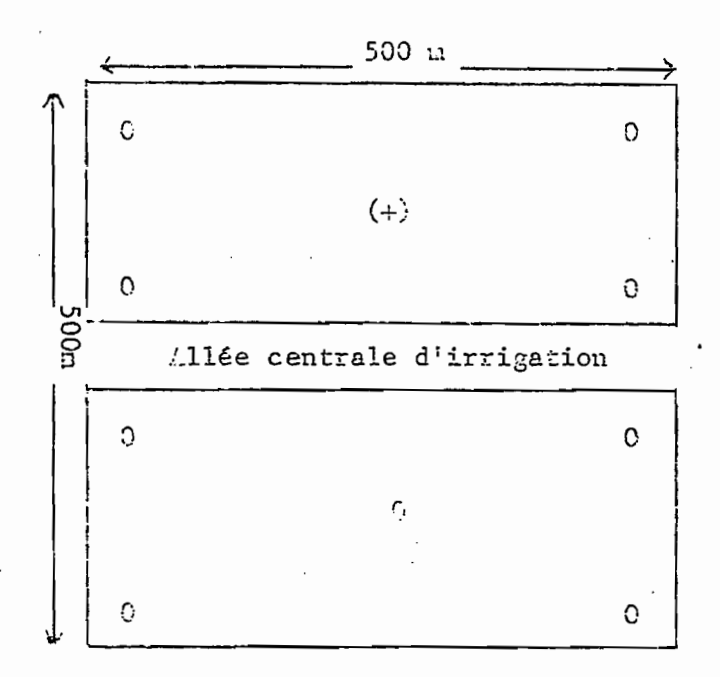
1.1 . Emplacement des profils.

Il faut distinguer deux groupes de profils : d'une part les profils pédologiques des parcelles cultivées couplés avec les profils témoins du milieu "naturel" - jachères plus ou moins récentes - d'autre part les profils agropédiques peu profonds (50 à 20 cm) intéressant uniquement les parcelles cultivées. Le premier type de computation (témoin cultivé), permet de mettre en évidence les modifications morphologiques apparaissant des l'ouverture des sols (défrichement, pour le culture de la canne à sucre. Le second type de comparaison entre profils de parcelles cultivées d'âge différent, met en évidence les transformations morphologiques engendrées par la culture continue de la canne à sucre.

Pour les parcelles cultivées, les prélèvements ont été faits approximativement au centre de l'une des demi-parcelles délimitées par l'allée centrale d'irrigation. Le choix de cette dernière est fait au hasard (voir schéma ci-dessous), et le profil témoin localisé non loin, dans la mesure où les conditions de terrain le permettaient (CARTE N° 5). En outre, six à neuf profils agropédiques ont été étudiés dans châque parcelle, suivant la surface de celles-ci. Leur emplacement géométrique (schéma ci-dessous) est facilité par l'existence des allées principale et secondaires d'irrigation.

⁽⁺⁾ Terme employé pour désigner des profils pédologiques, peu profonds, permettant d'observer l'horizon cultural et d'y effectuer des prélèvements d'échantillons de sols. Le concept de "profil cultural" de HENIN, tel qu'il est défini par ce dernier, ne pouvait donc pas arre utilisé.





- (+) Profil pédologique
- O Profils agropédiques

Schéma d'emplacement des profils dans une percelle de 25 ha.

1.2. Les prélèvements.

Les fosses pédologiques ont pour dimensions 150 cm sur 100 cm et sont de profondeur variable d'un profil à l'autre.

Tous les prélèvements ont été effectués en COTOERE 1977, donc en fin de saison de pluies. La localisation des parcelles et des profils étudiés figure sur le plan parcellaire à 1/50.000ème (C/RTE N° 5).

L'échantillon de l'horizon humifère superficiel est prélevé à l'aide d'une machetté qui permet de séparer et de soulever facilement une tranche de cet horizon. Les autres échantillons (horizons sous-jacents et de profondeur) proféréeur sont prélevés au piochon en évitant la contamination de l'horizon superficiel.

Les prélèvements des échantillons dans les profils agropédiques ont été faits systématiquement à 0 - 20 et 20 - 40 cm (FIGURE 4 (c) et (d)). Pour chaque parcelle cultivée, les prélèvements de chacun des deux niveaux, dont le nombre est égal à celui des profils agropédiques, permettront de constituer, après séchage et tamisage (tamis 2 mm.), deux échantillons composites. Ainsi, on aura au total 18 échantillons composites pour les 9 parcelles cultivées (voir plus loin liste des profils étudiés).

Les profils agropédiques (50 cm de côté et environ 60 cm de profondeur) sont surtout destinés à l'étude d'un horizon de sol qui a été principalement individualisé par l'intervention des instruments de culture.

Four les profils pédologiques, chaque prélèvement constitue un échantillon simple. A l'exception des horizons très épais (80 à 100 cm), pour lesquels on a effectué deux prélèvements, l'un dans la partie supérieure et l'autre dans la partie inférieure, chaque horizon du profil fait l'objet d'un prélèvement. Ainsi, on a obtenu au total 62 échantillons simples pour les 15 profils pédologiques dont 5 témoins (voir plus loin liste des profils étudiés). La méthode de prélèvement (FITTEL 4 (a) et (b)), est la même que celle décrite pour les profils agropédiques.

Tinelement, le nombre total d'échantillons retenu pour les analyses au laboratoire est de 60, soit (18 échantillons composites et 52 échantillons cimples).

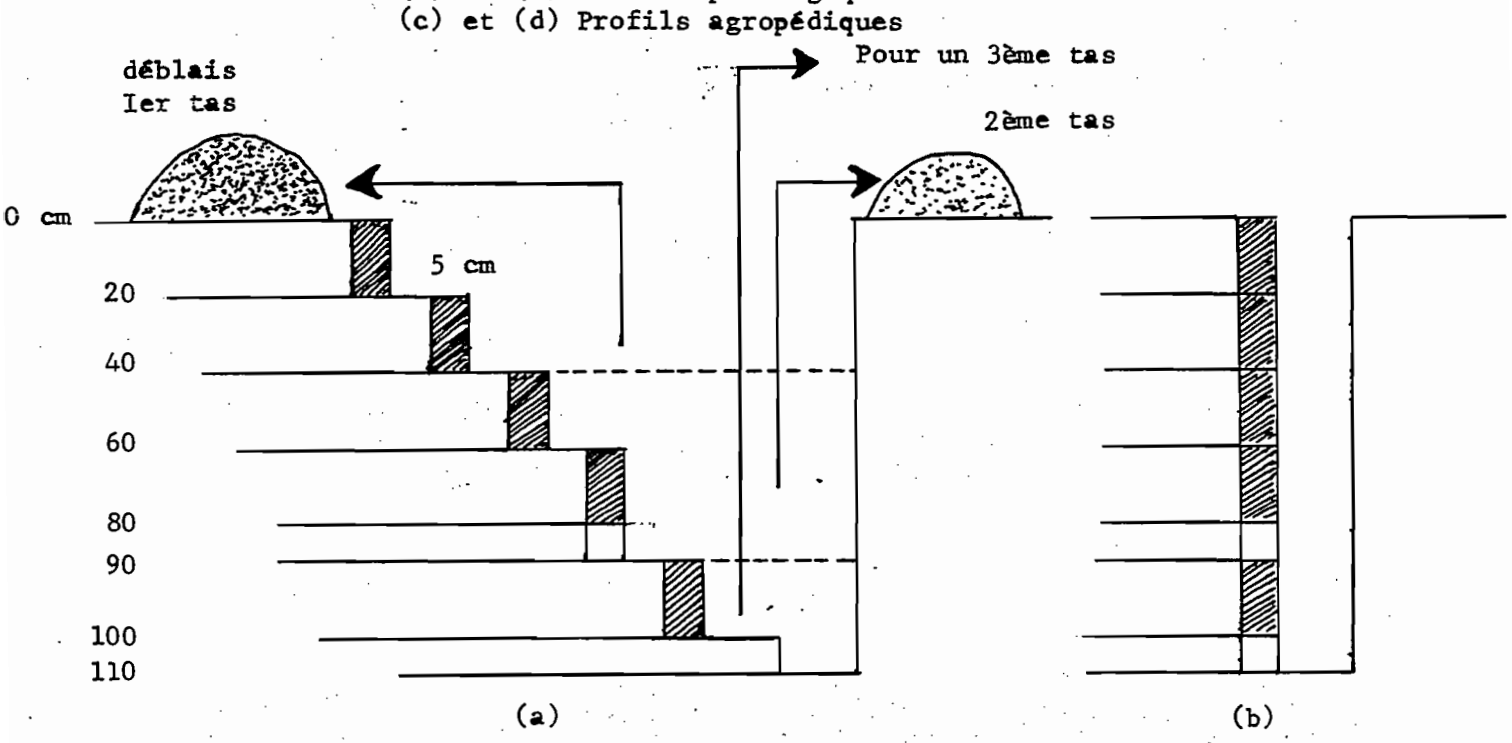
Afin de ne pas trop bouleverser les sols, lors du creusement des fosses, les déblais ont été répartis en trois tas - partie superficielle, partie médiane et partie inférieure - pour les profils pédologiques et seulement danx tas pour les profils agropédiques (FIGUE 4). Après toutes les observations et prélèvements, les fosses ont été rebouchées en commençant par y mettre-la terre du dernier tas constitué.

Toutes les observations de terrain ont été portées sur deux fiches de terrain (voir exemplaires en ANNEXE I), en vue d'un traite-

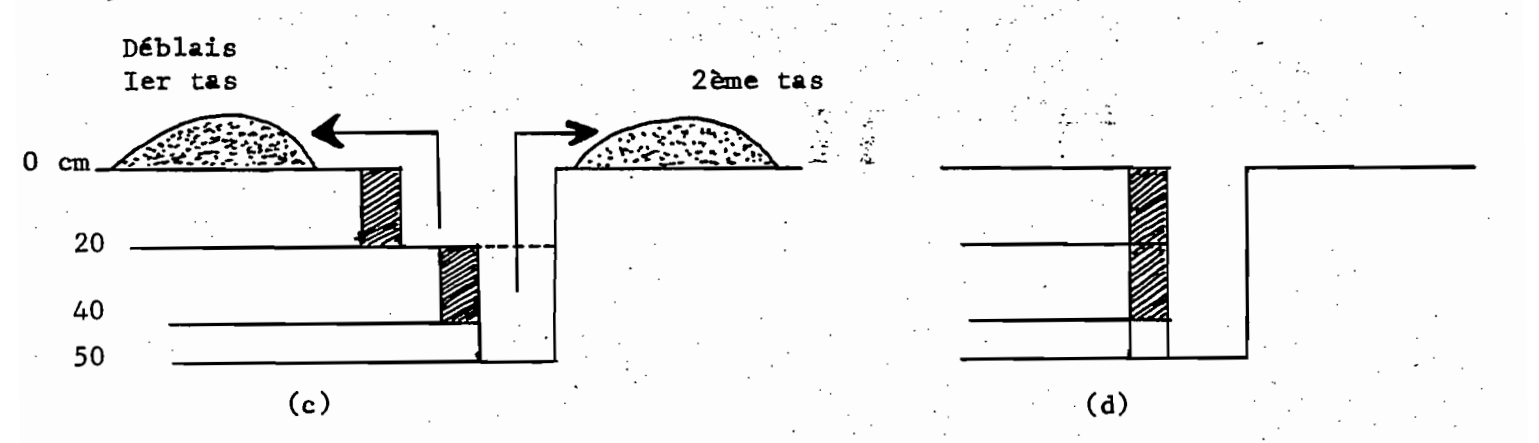
i _.

FIGURE 4 - Prélèvement des échantillons.

(a) et (b) Profils pédologiques.



Schémas montrant la méthode de prélèvement. L'aspect escalier (a) est voulu pour bien indiquer le procédé. En réalité, tout se passe comme si l'on avait de bas en haut une tranche verticale de 5 cm d'épaisseur, subdivisée en tranches de 20 cm de hauteur (b).



LISTE DES PROFILS ETUDIES

, 			 	,
Désignation de la parcelle	du	N° d'enregis- trement au Laboratoire	N°.d!identi-	(ORSTOM)
Jachère témoin ancienne (LE)	15	77. 70 77.	ALE 011	1631
		9.		
Cultivée 4 ans LE 5	2	 8 9 10	ALE 521	1632
	E.G.	11 12	ALE 522	9901
Jachère témoin ancienne (BOj)	14	73 74 75 76	ABW 031	_1633
Cultivée 1 an (BO 5)	8	43 44 45 46	ABW 541	1634
	E.C.			9902
Cultivée 1 an (LE 18)	9	49 50 51	ALE 151	1635
	. E.J.	52 53	ALE 152	9903
Jachère témoin récente (YO)	11	58 59 60 61 62 63	BYW 061	1636

-				
Désignation de la parcelle	N° du profil	N° d'enregis- trament au Laboratoire	tification	N° B.D.P. (ORSTOM
Cultivée 2 ans (YE 14)	7	87 33 35 43	BYE 171	1637
		71 42	BYE 172	9904
Cultivée 4 ans (NS ₂)	3	13 14 15 ···· 16	BNS 281	1638
	E.C.	17 18	BNC 282	9905
Cultivée 3 ans (NS 23)	Z.	10 20 21 22	ENS 201	1 639
. Prima no mia 	E.C.	23 24	BNS 292	9906
Jachère témoin ancienne (JBK)	1 0	54 55 56 57	CJB 010	1640
Cultivée 5 ans (JBK	1	1 2 3 : 4	СЈВ 111	. 1641
:	E.C.	5 6	СЈВ 112	9907

Désignation de la parcelle	N° N° d'enregis- du trement au profil Laboratoire		N° d'iden- tification	
Jachère témoin encienne (BOi)	1.3	08 65 70 71 72	≎3W 013	1642
Cultivée 3 ans	6	31 32 33 34	CBW 114	1643
	E.C.	35 36	CBW 115	9908
Jachère témoin récente (NN)	12	64 65 66 67	DNN 116	1644
Cultivée 3 ans (NS 6)	5	25 26 27 28	DNS 617	1645
	E.C.	29 · 30	DNS 618	9909

N.B. E.C. = Echantillons composites

Les lettres alphabétiques commençant les numéros d'identification des profils décignent :

A profils de sol peu évolués
B et C profils de sols ferrugineux tropica ux

⁼ profils de sols hydromorphes.

ment informatique des données. Ces fiches sont établies selon des termes retenus pour la description du profil et de l'environnement et publiés par le groupe "Informatique pédologique" dans le Glossaire de Pédologie (1969, 1971).

2. AU LABORATOIRE.

Les méthodes appliquées cont des méthodes courantes d'analyses physiques et chimiques des sols actuallement utilisées dans les Laboratoires des Services Scientifiques Centraux S.S.C. de 1'O.R.S.T.O.M. à BONDY. Aussi n'indiquera-t-on que les références et si besoin est le principe et les raisons qui militent en faveur du choix de la méthode considérée.

2.1. Les analyses physiques.

Granulométrie.

Détermination de la texture du sol selon le système international.

Attaque systématique de 20 g de terre fine par $\mathrm{H_2}$ $\mathrm{O_2}$ à froid puis à chaud.

Dispersion par le pyrophosphate de sodium.

Détermination des argiles et argiles + limon fin par la pipette Robinson; limon fin par différence.

Isolement des fractions "grossières" (3 < 20%) par siphonnage des fractions "fines" (3 < 20%).

Séparation, par tamisage, des sables fins et sables grossiers puis des limons grossiers obtenus par différence.

NB. Certains échantillons comportaient des pseudo-particules et ont nécessité le passage aux ultra-sons

Stabilité structurale.

Détermination de l'indice d'instabilité structurale (Is) de HENIN, uniquement sur des échantillons d'horizons de surface.

- Détermination agrégats stables à l'alcool (Aga en %);
- Détermination agrégats stables à l'eau (Age en %);
- Détermination agrégats stables au benzène (Agb en %);
- Détermination (Argile + Limon) particules en suspension.

Calcul de Is selon le rapport :

Is =
$$\frac{\% \text{ (Farticules } < 20 \text{ µ) max.}}{\% \text{ (Aga + Age + Agb)} - 0,9 Sg}$$

avec Sg = % de sable grossier

0,9 = facteur de correction.

2.2. Les analyses chimiques.

pH. Mesure électrométrique sur suspension agitée en permanence avec agitateur électromagnétique.

Mesures sur échantillons doubles, le résultat obtenu étant la moyenne des deux mesures.

Carbone total.

Dosage du carbone par coulométrie (voie sèche).

Mesure directe du carbone total sur sol broyé et tamisé à 0,2 mm par coulométrie. L'appareil utilisé est le carmographe. Cette méthode a l'avantage d'être rapide et précise et est parfaitement adaptée à des sols non calcaires, pauvres en matière organique comme ceux étudiés.

Azote total

Méthode Kjeldhal classique modifiée par l'emploi du Technicon.

DABIN (1961).

Attaque Kjeldhal sur sol broyé et tamisé à 0,2 mm, puis colorimétrie automatique (Technicon) des ions NH $_{L}^{+}$ par réaction de Berthelot.

Fractionnement de la matière organique - Méthode DABIN (1971).

Extraits successifs - 200 ml de réactif par extraction - jusqu'à épuisement, en partant de 40 g de sol broys et temisé à 0,5 mm.

- A. PO, H₃ 2 M dissout les acides organiques solubles (il est convenu de les considérer comme les acides fulviques libres : AFL) et sépare la matière organique légère (MOL) par densité. L'acide phosphorique présente l'avantage de ne pas gener le dosage sulfochromique et en séparant les MOL, il évite la formation des produits de néo-synthèse, sous l'action de la soude.
- B. P_2 0_7 Na, 0.1 M à pH # 9.8 extrait à la fois les acides fulviques et les acides humiques liés (AFP : acides fulviques extraits par le Pyrophosphate 0.1 M et AHP = acides humiques extraits par la même opération).

Les AFP ont une composition proche des AHP mais leur PM est beaucoup plus faible et leur oxydation est très forte. Les deux types d'acides sont séparés par précipitation des AHP par l'acide sulfurique à pH #71.

C. Na OH 0,1N pH # 12 extrait les produits humiques fortement liés à la matière minérale. Cn distingue les acides fulviques soude (AFS) et les acides humiques soude (AHS) qui sont séparés par précipitation des seconds

Photography and the second

comme précédemment. Ces produits ont des propriétés un peu différences des extraits pyrophosphate et sont réputés constituer un stade intermédiaire dans la transformation des matières végétales.

Le fractionnement des AHP et AHS par électrophorèse sur papier permet de distinguer :

Acides humiques gris (AHG) immobiles;

Acides humiques intermédiaires (AHI) peu mobiles;

Acides humiques bruns (AHR) très mobiles - DUCHAUFOUR Ph. (1970)

Acides humiques bruns (AHB) très mobiles - DUCHAUFOUR, Ph. (1970); B. DABIN et Ch. THGMANN (1976).

Le carbone des différentes fractions de composés humiques : AFL, AFP + AHP, AHP; AFS + AHS, AHS est dosé par attaque sulfochromique et dosage en retour des ions chromiques en excès par ${\rm Fe}^{2+}$. Les résultats sont exprimés en C °/ $_{\circ\circ}$.

Le carbone de la MOL et de l'humine (H) - résidu de sol obtenu après extraction des composés humiques " est dosé par coulométrie.

Cations échangeables - Méthode BONDY - PELLOUX (1971).

Percolation du sol tamisé (tamis 2 mm) par l'acétate d'ammonium normal pH 7 (20 g de sol/150 ml de percolat) et dosage de :

- Ca + et Mg + par complexométrie semi-automatique. Les ions

Fe + et Al + sont préalablement bloqués par un agent complexant puissant (le cyanure de potassium). Pour complexer Ca + et Mg +, on utilise
le Complexon III qui est le sel disodique de l'Acide éthylène - diamine tétra-acétique (E.D.T.A.) de P.M. = 372,2.

Na 00 C
$$_{\text{CH}_2}$$
 $_{\text{CH}_2}$ $_{\text{CH}_2}$ $_{\text{CH}_2}$ $_{\text{CH}_2}$ $_{\text{CH}_2}$ $_{\text{COOH}}$ $_{\text{CH}_2}$ $_{\text{COOH}}$ $_{\text{CH}_2}$ $_{\text{COOH}}$

La réaction du métal avec l'E.D.T.A., une molécule de complexon bloquant un atome de métal et ce, quelle que soit la valence de ce

dernier, libère des protons H⁺ qui acidifient le milieu réactionnel, propriété utilisée pour le dosage titrimétrique.

On dose d'abord le Ca⁺⁺ seul, puis la somme Ca⁺⁺ + Mg⁺⁺ et on obtient Mg⁺⁺ par différence.

_K et Na par photométrie de flamme ou photométrie d'émission dont le principe est basé sur le rayonnement des métaux.

Bases totales "réserves agronomiques".

Attaque du sol broyé et tamisé à 0,2 mm par NO₃H concentré bouillant pendant cinq heures; précipitation, en vue de leur élimination, des sesquioxydes et du phosphore - car provoquant des interférences à l'analyse spectrophotométrique - par NH₄ OH au 1/2. Après avoir amené le filtrat à sec, on détruit les sels ammoniacaux à l'eau régale car eux aussi sont gênants.

Catt et Mg to sont déterminés par absorption atomique, K et Na par photométrie d'émission.

Capacité totale d'échange (T).

Saturation de 20 g de sol tamisé (temis 2 mm) par ${\rm Cl}_2$ Ca normal tamponné à pH 7.

Désaturation par NO3K normal.

Dosage à l'auto-analyseur (Technicon)

- du calcium.

Les ions Fe et Al sont complexés et donc masqués par le cyanure de potassium. La crésolphtaléine complexon en solution chlorhydrique donne, avec le calcium, un complexe coloré bleu violet que l'on colorimètre à 590 m/.

- chlore.

On obtient un complexe de chlorure mercurique, avec libération de thiocyanate, lorsqu'on met une solution de thiocyanate mercurique en présence de chlore. Le thiocyanate libéré forme avec l'alun de fer, un complexe rouge orange de thiocyanate ferrique, dont l'intensité de coloration est fonction de la quantité de chlore à doser.

T exprimée en m.é. pour 100 g de sol, est la différence des quantités trouvées (calcium) - (chlore).

Phosphore total.

Attaque du sol broyé et tamisé à 0,2 mm par NO3II concentré. La réduction à chaud du complexe phospho-molybdique par un excès d'acide ascorbique développe une coloration bleue; colorimétrie automatique à l'auto-analyseur.

Phosphore assimilable.

Méthode OLSEN modifiée, DABIN (1967), par l'emploi d'un réactif combiné: fluorure d'ammonium + bicarbonate de soude FN H₄ 0,5 N + CO₃ Na H 0,5 N, pH 8,5). Le dosage est effectué avec l'auto-analyseur comme précédemment (dosage du phosphore total).

Fer total Méthode O.R.S.T.O.M. S.S.C. BONDY, dosage par l'auto-analyseur, DABIN (1966).

Attaque du sol broyé et tamisé à 0,2 mm, par HCl concentré, à chaud. Le dosage se fait à l'orthophénantroline, colorimétrie à 480 m/, avec l'auto-analyseur (Technicon).

Fer libre - Méthode DEB (1950) modifiée par l'emploi du Technicon.

Extraction par une solution mixte (acétate de sodium normal et

tartrate de sodium 0,2 N) en présence d'hydrosulfite de sodium en partant d'un gramme de sol broyé et tamisé à 0,2 mm. Colorimétrie au T.P.T.Z. (2. 4.6. Tripyridyl 5. Triazine) à 0,5 °/00 dans HCl à 1 %. Dosage avec l'auto-analyseur (Technicon).

Dosage des différentes formes d'azote.

Property of the second

entitle of the second second

Hydrolyse par HCl 6N pendant 12 heures d'une prise d'essai de sol broyé et tamisé à 0,2 mm et d'une prise d'essai d'humine (obtenue par fractionnement de la matière organique) - voir plus haut - La méthode appliquée est celle de BREMNER (1965). Les différentes formes d'azote : azote non hydrolysable et azote hydrolysable (azote aminé, azote amidé et azote ammoniacal) sont dosées par distillation.

2.3. Les méthodes de traitement informatique et de calculs statistiques.

Quatre vingt et une variables ont été mesurées ou calculées pour chacun des 80 échantillons de sol analysés (voir liste des variables ci-après :

the control of the same of the same of the

A STATE OF THE STA

LISTE DES VARIABLES

N° / TITRE

	· · ·		
+	1/	ÁRGILE	- Argile (%)
+	2/	LIMONFIN	= limon fin (%)
+	3/	LIMONGRO	= limon grossier (%)
+	4/	SABLEFIN	= sable fin (%)
,+	5/	SABLEGRO	= sable grossier (%)
	6/	PCEAU	= humidité (% eau à 105 °C) (%)
	7/	LFSURA	- rapport limon fin sur argile
+ .	8/	PHEAU	pH eau (1/2,5) (unités pH)
+	9/ -	PHKCL	= pH KCl (1/2,5) (unités pH)
	10/	MOT.	** Matière organique totale (%)
+	11/	CTOTAL	= Carbone total (°/°)
+	12/	NTOTAL	Azote total (°/°°)
+	13/	CSURN	= Rapport carbone total sur azote total
+	14/	CAECH	= Ca ⁺⁺ échangeable (m.é./100 g de sol)
+	15/	MGECH	= Mg + 6changeable (m.é./100 g de sol)
+	16/	KECH	K échangeable (m.é./100 g de sol)
+ ·	17/	NAECH	Na + échangeable (m.é./100 g de sol)
+	18/	SIGNAECH = S	= Somme des bases échangeables (m.é./100 g
			de sol)
+	19/	TECH = T	≅ Capacité totale d'échange (m.é./100 g
		20 July 1 1 1 1 1 1 1 1 1 1 1 1 1 1 1 1 1 1 1	de sol)
+	20/	V. = V	= Taux de saturation = 100 S/T (%)
+	21/ .	CARES : Section	≈ Ca de réserve (m.é./100 g de sol)
4-	22/	MGRES	= Mg de réserve (m.é./100 g de sol)
+	23/	KRES	K de réserve (m.é./100 g de sol)
.+	24/	NARES	" Na de réserve (m.é./100 g de sol)
+	25/	SIGMARES	Somme des cations de réserve (m.é./
			100 g de sol)
+	26/	PTOTAL	Phosphore total (°/00)

+ 27/	POLSEN	= Phosphore assimilable (°/00)
+ 28/	FE203TOT	= Fer total (Fe ₂ 0 ₃ %)
+ 29/	FE203LIB	= Fer libre (Fe ₂ 0 ₃ %)
+ 30/	IS	= Indice d'instabilité structurale
+ 31/	AGREGALC	= Agregats stables à l'alcool (%)
+ 32/	AGREGEAU	= Agrégats stables à l'eau (%)
33/	AGREGBEN	= Agrégats stables au benzène (%)
+ 34/	PF42	= PF 4,2
+ 35/	PF25	= PF 2,5
+ 36/	CDEMOL = M.O.L.	= Carbone des matières organiques légères
		(c °/)
+ 37/	CAFLIBRE = Λ .F.L.	- Carbone des acides fulviques libres (C°/00)
+ 38/	CAFPYRO = Λ .F.P.	- Carbone des acides fulviques extraits
		au Pyrophosphate de sodium 0,1 M
+ 39/	CAFSOUDE $\sim L.F.S.$	- Carbone des acides fulviques extraits
		par la soude 0,1 N
÷ 40/	AFPETAFS = AFP+AFS	≕ Somme des acides fulviques pyro et des
		acides fulviques soude
+ 41/	SIGMAAF ≕ AF	- Acides fulviques totaux (AFL + AFP +
• •		AFS)
+ 42/	AFSURCT = AF/C	= rapport AF sur carbone total
43/	AFSURAHT == AF/AHT	= rapport AF sur somme des acides tuniques
		pyro et soude
+ 44/	AFSURMHT = AF/MHT	= rapport AF sur (AHT + AF)
+ 45/	CDEAHP = AHP	= carbone des acides humiques extraits par
		le pyrophosphate de sodium 0,1 N
+ 46/	CAHSOUDE = AHS	= carbone des acides humiques extraits par
		la soude 0,1 N
+ 47/	SIGMAAH = AHT	= AHP + AHS (acides humiques totaux)
+ 48/	AHTSURCT = AHT/C	■ Rapport somme des acides humiques pyro
		et soude sur carbone total
49/	MHTOTALES = 11HT	= Matières humiques totales (AF+AHT)
+ 50/	MHTSURCT = MIT/C	= Rapport matières humiques totales sur
	• • • •	carbone total

		•	
,	51/	AHTSURMHT = AHT/MHT	= Rappurt somme des acides humiques to-
			taux sur MHT
+	52/	CHUMINE = CH	= Carbone humine
+	53/	NHUMINE = NH	= Azote humine
+	54/	CSURNHU = CH/NH	= Rapport C/N de l'Humine
+	55/	CHUSURCT = CH/C	= Rapport carbone de l'humine sur carbone
		,	tota1
+	56/	AFSURHU :: AF/CH	= Rapport carhone des acides fulviques to-
			taux sur carbone humima
+	57/	AHTSURHU : AHT/CH	≅ Rapport carbone des acides humiques to-
			taux sur carbone humine
	58/ :	MOH - VA	≕ Matières organiques humifiées (AF + AHT +
	,	And the second s	н)
	59/	HUSURMOH = CH/MOH	- Rapport carbone humine sur carbone ma-
			tières organiques humifiées
+	60/ 7	AFSURMOH == AF/NOH	= Rapport carbone acides fulviques totaux
			sur carbone des NOH
+	61/	AHTSURMOH = AHT/MOH	= Rapport carbone des acides humiques to-
		į į	taux sur carbone des MOH
+	62/	MOHSURC = MOH/C	= Rapport carbone des MOH sur carbone
			tôtal
	63/	MOLAFAHH = MOL + AF	
	61.1	AHT + H	= MOL + MOH MOT
	64/	AHGPSOL	= Acides humiques gris (Pyro.) (C°/ du sol)
	65/	AUCDDCAU	
	637	AHGPPCAH	= Acides humiques gris (Pyro.) (% des
	56 <i>l</i>	AHCD at	= Acides humiques gris (Pyro.) Rapport
		AHGP R/V	
			des densités optiques mesurées à 625 ma (rouge) et 512 ma (vert)
	 67/	AUCROTO	
	67/	MIGIFLO	Acides humiques gris (Pyro.), rapport
		eta	d/D avec d = migration des AHG (pic)
			et D = distance totale de migration

the Alberta

of and the property

68/	AHIPSOL	- Acides humiques intermédiaires (Pyro.)
		(C°/ _{oo} du sol)
69/	AHIPPCAH	- Acides humiques intermédiaires (Pyro.)
		(% des AHP)
70/	AHBPSOL	.= Acides humiques bruns (Pyro.) (C°/)
	1. M. 1. 1. 1. 1. 1. 1. 1. 1. 1. 1. 1. 1. 1.	du sol
71/ :	AHBPPCAH	- Acides humiques bruns (Pyro.) (% des
	7.4	: AHP)
72/	AHBPR/V	e Acides humiques bruns (Pyro.). Rap-
		port des densités optiques.
73/	AHGSSCL	- Acides humiques gris (Soude) (C°/
	the state of the state of	du sol)
74/	AHGSPCAH	Acides humiques gris (soude) (% des
·		AH S).
75/	AHGER/V	= Acides humiques gris (soude). Rapport
		des densités optiques
76/	AHGSPIC BALL	= Acides humiques gris (soude).
	3 .	Rapport d/D
77/	AHISSOL	- Acides humiques intermédiaires (Soude)
	· · ·	(C°/oo) du sol
78/	AHISPCAH C	= Acides humiques intermédiaires (Soude)
	•	(% des Allic).
79/	AHBCSOL	= Acides humiques bruns (Soude) (C°/00
		du sol)
80/	AHBSPCAH	= Acides humiques bruns (Soude) (% des
		•
81/		- Acides humiques bruns, soude, rapport
		des densités optiques.

Les variables précédées d'un astérique (+) ont été sélectionnées pour les calculs statistiques de corrélations, soit un total de 50 variables.

On désigne par variable, un ensemble de données observables, de même nature, exprimées dans la même unité ou vocable normalisé, VAN

DEN DRIESSCHE et GARCIA COMEZ (1972), et la donnée donc il ne peut exister qu'une seule à la fois, exprime l'état d'une variable dans un échantillon. Les données sont exprimées en langage naturel VAN DEN DRIESSCHE (1975) ou en code et peuvent être des résultats de laboratoire ou des caractéristiques de terrain. L'ensemble des données des variables d'un échantillon constitue ce que l'on a appelé un "enregistrement" et les enregistrements, au nombre de quatre par profil, constituent un "fichier" qui est identifié par un code à trois lettres et trois chiffres (ex. ALE 011) et par un numéro de la Banque de Données Pédologiques (B.D.P.) de l'O.R.S.T.O.M., N° 1631 pour l'exemple cité. Lorsque des données manquent dans un enregistrement, elles sont représentées par le code - 1 MARTIN et AUBRY (1975).

Le choix des méthodes a été guidé par le fait que l'on voulait rendre compte des relations d'interdépendance existant entre les variables retenues pour caractériser les horizons humifères des trois types de sols étudiés, et pour mettre en évidence les variations dans l'espace et dans le temps de ces variables, variations dues à une évolution "naturelle" d'une part, et à une évolution influencée par l'intervention de l'homme d'autre part.

La méthode de calculs statistiques appliquée est celle des coefficients de corrélation des rangs de SPEARMAN (1904). Elle est non paramétrique et multivariable, c'est-à-dire permettant d'utiliser simultanément plusieurs variables. Le programme pour ordinateur BMDP3S de l'Université de Californie, LOS ANGELES, version 1978, a permis de faire subir ces tests statistiques à 50 variables sélectionnées parmi les 81.

Ce programme n'accepte pas de "manquants". Il faut donc choisir des variables dont aucune donnée n'est représentée par le Code - 1.

Une autre méthode de traitement informatique des données de laboratoires est celle utilisant le programme BMDP6D de l'Université de Californie, LOS ANGELES, U.S.A., qui a été aussi révisé en Novembre 1978.

Une des variables est utilisée en abscisses (ex. le carbone

total) et les autres sont prises comme ordonnées, une à une. On obtient au total autant de graphiques qu'il y a de variables moins une. Ce programme accepte le Code - 1. Le matériel utilisé est l'ordinateur IBM 370-168 du CIRCE du Centre National de la Recherche Scientifique (C.N.R.S.) de FRANCE. Les graphes obtenus représentent des nuages de points (voir plus loin figures 7 à 11, chapitre granulométrie) où chaque point est indiqué par une lettre alphabétique ayant une signification précise : exemple A. B. C. Det E représentent respectivement des âges différents de parcelles cultivées de 1 à 5 années et la lettre F pour des parcelles-témoin non cultivées. Ici, les données de laboratoire utilisées sont celles de l'horizon de surface seulement, mais on peut, au lieu de l'âge des parcelles, utiliser les différents horizons.

Un tel système permet, dans un premier temps, de détecter les données aberrantes et de retenir, dans un deuxième temps, les variables qui présentent le plus de variations entre les profils de sol. Il facilite, dans une certaine mesure, le choix des variables pour calculs statistiques.

Pour le détail des méthodes, on pourra se reporter aux travaux de VAN DEN DRIESSCHE (1973, 1974), ainsi qu'à ceux cités dans le texte.

化乳基 医乳腺 医电影 医高量管 医红色病 化二苯基甲基二苯

fugnils regisse state in the explanation of the edition

Exemple de calculs des coefficients de corrélations des rangs de SPEARMAN.

Les 50 variables choisies ont 626 soumises à (50, tests statistiques en vue de déterminer les corrélations existant entre elles.

Soit deux variables i et j prises dans l'ensemble des 50 variables retenues.

Pour tester la corrélation existent entre elles, on remplace les m données xh_i de l'une et xh_j de l'autre de la matrice X (1 $\langle h \rangle \langle m \rangle$, 1 $\langle i \rangle \langle v \rangle$, $i \neq j \rangle$, par des rangs r_{hi} et r_{hj} d'une matrice R de

mêmes dimensions, de 1 à m, mais deux ou plusieurs données d'une même variable peuvent être identiques.

Pour chaque variable, on calcule un facteur de pondération \mathbf{I}_{i} , pour la première et \mathbf{I}_{i} pour la seconde.

$$I_{\mathbf{i}} = \begin{bmatrix} \mathbf{m}_{\mathbf{i}\mathbf{j}} & \mathbf{m}_{\mathbf{i}\mathbf{j}} & \frac{\mathbf{e}_{\mathbf{i}}}{\hat{\mathbf{q}_{\mathbf{i}}} = 1} & (\mathbf{t}_{\mathbf{q}\mathbf{i}}^{3} - \mathbf{t}_{\mathbf{q}\mathbf{i}}) \end{bmatrix} / 12$$

$$I_{\mathbf{j}} = \begin{bmatrix} \mathbf{m}_{\mathbf{i}\mathbf{j}} & \mathbf{m}_{\mathbf{i}\mathbf{j}} & \frac{\mathbf{e}_{\mathbf{j}}}{\hat{\mathbf{q}_{\mathbf{j}}} = 1} & (\mathbf{t}_{\mathbf{q}\mathbf{j}}^{3} - \mathbf{t}_{\mathbf{q}\mathbf{j}}) \end{bmatrix} / 12$$

avec m; : effectif commun aux deux variables,

e, : nombre de lots d'identiques pour la variable i,

e; : nombre de lots d'identiques pour la variable j,

t : nombre d'identiques dans le lot q, de la variable i,

 t_{qj} : nombre d'identiques dans le lot q_j de la variable j.

m_{ij} = m - données manquantes et données non retenues.

Tenant compte de ces facteurs de pondération, le coefficient de corrélation entre les variables i et j est donné par la formule :

$$R_{ij} = \left[I_{i} + I_{j} - \sum_{h=1}^{m} (r_{hi} - r_{hj})^{2}\right] / 2 / \sqrt{I_{i} I_{J}}$$

$$r_{hi} \neq -1$$

$$r_{hj} \neq -1$$

R_{ii} varie entre - 1 et 1.

Les différents coefficients ainsi calculés sont comparés à des valeurs critiques prises sur des tables de valeurs BEYER (1966), de tests de corrélation au risque de 1 % et de 5 %.

Exemple: Soit T (capacité d'échange) et pH eau, les variables i et j.

 $\phi_{i,j}$

T . T		рН еач	1
x _{hi}	r _{hi}	r _{hj}	x _{nj}
5,7 3 1,5 1,7 2,7 4 2,5 2 3 1,7	11,5 8 1 2,5 5 10 5 4 8 2,5 8	11,5 6 2,5 9,5 8 4 1 11,5 6 2,5 6	6,5 5,5 5,2 5,8 5,7 5,3 4,9 3,5 5,5 5,5 5,8

$$e_i = 3$$

$$t(2,5) = 2$$

$$t(8)$$

$$t(11,5) = 2$$

$$t(9,5) = 2$$

$$t(11,5) = 2$$

On a : m = m ij = 12

On peut alors calculer les facteurs de pondération

$$I_{i} = \left[m_{ij}^{3} - m_{ij} - \frac{e_{i}}{q_{i}} \right] + \left[(e_{qi}^{3} - e_{qi}) \right] / 12$$

$$I_{i} = \frac{12^{3} - 12 - \left[(2^{3} - 2) + (3^{3} - 3) + (2^{3} - 2) \right]}{12}$$

$$I_{i} = 141,5$$

De même, on calcule I.

$$I_{j} = 141$$

On calcule la somme $\frac{m}{h=1}$ $(r_{hi} - r_{hj})^2$. Elle est égale à 179,5.

Dioù:

$$R_{ij} = \frac{(141,5 + 141) - 179,5}{2 \sqrt{141,5 \times 141}}$$

$$R_{ij} = 0,3647$$

La table de Beyer indique que pour un effectif de 12 données, au risque de 1 %, la corrélation entre deux variables n'est significative que lorsque le coefficient de corrélation (r) est supérieur ou égal à 0,64 (en valeur absolue).

Le tableau V ci-dessous fait la synthèse des résultats de corrélations de rang de SPEARMAN, testées sur les 50 variables retenues.

correlations significatives pour r > 10,36

Quatre cas peuvent se présenter

- + 1 (r (0,36 corrélations négatives significatives, représentées par dans le tableau.
- 0,36 < r <+ 0,36 correlations non significatives.

Enfin les cases vides du tableau correspondent aux corrélations illusoires, c'est à dire des corrélations évidentes qui n'auraient pas dû être mais que le programme ne permet pas de délaisser (exemple la corrélation entre C et C/N).

```
Résultats du test statistique
                                                                                    TABLEAU V
Argile
                                                                                                de corrélation des rangs de
+ Limon fin
                                                                                                 SPEARMAN, appliqué à 50 variables.
+ + Limon grossier
                                                                                                   m = 52
                                                                                                                  w = 50
- - w Sable fin
                                                                                    + corrélations positives significatives
N N - N Sable grossier
          oll caw .
                                                                                                  négatives
                                                                                                    800
              C total
              N total
                                                                                                  illusoires
                      Ca+ Ech.
                         K+ Ech.
                            Ne+ Ech.
                              Somme des bases éch. (S)
                               Capacité d'Ech: (T)
                                  Taux de saturation (V)
                                  Cat+ de Rés.
                                   'Hg de Réa.
                       +++++ N Nay-Nat de Rés.
                                         P2 05 total
                                                P2 05 assimilable
                                                re2 03 total
                                                .... Fe2 03 libre
                                                       PF 4.2
                                                     PF 2,5
                                                                AFS
                                                                        AF/C
                                                                          AF/MOH
                                                                                  HHT/C
                                                                                       Carbone de l'Humine (CH)
                                                                                        Azote de l'Ilumine (NH)
                                                                                          CH / NH
                                                                                            cn / c
                                                                                              AF/CH
                                                                                                MAT/CH
                                                                                                  AF/HOH
                                                                                                     MHT/HOU
                                                                                                       MOU/c -
```

Chapitre Quatrième

RESULTATS ET DISCUSSION

1. INTRODUCTION.

L'étude de l'évolution du sol fait intervenir des facteurs externes - climat, topographie, nature de la roche-mère, type de végétation, homme, etc ...et des facteurs internes - nature des matériaux issus de l'altération de la roche, facteurs hydriques, faune et micro-organismes du sol, etc ... - qui déterminent ou influencent les principaux caractères du sol.

L'interprétation des résultats obtenus dans l'analyse des échantillons de sol au laboratoire et les observations faites sur le terrain, nécessitent une connaissance suffisante de ces facteurs. Les données les concernant ont été obtenues soit sur le terrain, soit dans les documents cités dans la bibliographie à la fin du rapport.

Les données de laboratoire sont rassemblées dans les fiches analytiques classées en ANNEXE III. Leur exploitation a fait l'objet d'un traitement informatique pour les calculs statistiques dont les méthodes sont indiquées dans le chapitre précédent.

Les résultats sont exposés et discutés dans l'ordre suivant :

- les caractères morphologiques;
 - les caractères physiques;
 - - les caractères chimiques of biochimiques.

Une place particulière a été accordée à la matière organique, compte-tenu du rôle prépondérant que joue cette dernière dans l'évolution du profil pédologique et dans la fertilité.

A chaque fois qu'étaient étudiés les effets de culture continue sur les sols, les mêmes types de profils ont été comparés en conditions naturelles et sous culture. Pour se placer dans les conditions de comparaison les plus rationnelles, au vu des résultats analytiques et tenant compte de leur emplacement et des observations faites sur le terrain, on a retenu les profils suivants:

Sols ferrugineux tropicaux.

CJB (10 (témoin), BYE 171 (parcelle cultivée 2 ans), CBW 114 (3 ans), BNS 281 (4 ans) et CJB 111 (5 ans).

Sols peu évolués.

ABW 031 (témoin), ABW 541 (1 an) et ALE 521 (4 ans).

Sols hydromorphes à pseudogley.

DNN 116 (témoin) et DNS 617 (3 ans).

41. Z.N.

Pour l'étude qualitative de la matière organique qui n'a porté que sur les échantillons d'horizons de surface (0 - 20 cm, 20 - 40 cm), on n'a retenu que les échantillons composites et les résultats obtenus peuvent être considérés comme des moyennes de parcelle.

Employed the companies of

Cette méthode de travail est imparfaite dans la mesure où elle compare des profils qui, dès le départ, sont assez différents compte tenu de l'hétérogénéité du terrain et met en jeu un nombre restreint de profils. Mais il n'est pas possible de faire autrement dans notre situation actuelle, toute autre méthode nécessitant des moyens importants qui n'étaient pas à notre disposition et une longue durée (environ 10 ans au minimum).

2. EVOLUTION DES CARACTERES MORPHOLOGIQUES.

2.1. Modifications dues à la mise en culture.

Toute exploitation du sol se traduit pour ce dernier par une somme de contraintes imposées. Elles varient selon les techniques culturales employées, la plante cultivée (herbacée annuelle ou pérenne, arbustes, etc...), la durée de culture, etc... Pour la culture de la canne à sucre, celà se traduit par des réorganisations structurales dans les horizons labourés. Il faut entendre par structure tout ce qui a trait à l'agencement, la taille, la forme des éléments constituant le matériau pédologique. Ces modifications apparaissent avec l'ouverture du sol et évoluent dans le temps avec la réaction du sol aux contraintes qu'il subit. Les plus importantes d'entre elles peuvent être mises en évidence en faisant deux types de comparaisons:

- témoins parcelles cultivées récentes;
- parcelles cultivées récentes et anciennes.

2.1.1. Comparaison entre profils-témoins et profils de sol cultivé.

Ce premier type de comparaison fait ressortir les effets du défrichement et du labour. Le labour crée un horizon perturbé, horizon A_p , de couleur plus sombre que celle de l'horizon sur lequel il repose.

Du point-de-vue de l'épaisseur, cet horizon A est soit aussi épais que les horizons humifères réunis du profil témoin (profils DNN 116 et DNS 617), soit plus épais, auquel cas il intègre la partie supérieure de l'horizon sous-jacent (profils BYE 061, BYE 171, BNS 281, et BNS 291) et (profils ABWO31 et ALE 151).(tableau ci-dessous).

	Profils-	témaina		Pa	celle	es c	ultivées
	1101113-comolita			rofils logiq	_	Profils agro- pédiques	
	Ep a isseur (zons humifè		Epais zon l	sseur de abouré	1 ho	ori-	Epaisseur moyenne de l'horizon A p
Sols peu évolués	ABW 031 (0-20 cm 0-50 cm 0-10 cm 10-30cm	ABW	521 541 151	0-30 0-50 0-15	cm	Parcelle LE (4 ans) 0-30 cm Parcelle BO (1 an) 0-40 cm Parcelle LE 18 (1 an) 0-30 cm
Sols ferrugineux tropicaux	CJB 010 CBW013	0-20cm 20-30cm 0-20cm 20-40cm 0-15cm 15-30cm	BYE BNS BNS CJB	281 291 111	0-60 0-40 0-20 0-30	cm cm cm	Parcelle YE ₁₄ (2 ans) 0-60 cm Parcelle NS ₂ (4 ans) 0-50 cm Parcelle NS ₂ (3 ans) 0-40 cm Parcelle JBK ₄ (5 ans) 0-30 cm Parcelle BO ₁ (3 ans) 0-50 cm
Sols hydro- morphes	DNN 116	0-15 cm 15-30 cm	DNS	617	0-30	cm	Parcelle NS (3 ans) 0-38 cm

Ce tableau appelle le commentaire suivant : l'épaisseur de l'horizon labouré varie selon la nature des matériaux sur lesquels est développé le sol, donc de la résistance de ce dernier à la pénétration de la dent de labour. Elle est en moyenne de 50 cm sur matériaux sableux et argilosableux et de 30 cm sur matériaux gravelo-gravillonnaires. L'irrégularité de l'épaisseur de cet horizon a été observée dans plusieurs parcelles où elle peut varier du simple au double dans une même parcelle. La limite culturale est généralement bien tranchée. On n'a observé aucun effet de tassement du sol, les méthodes appliquées ici avec notamment un nombre très réduit de labours (un tous les trois ou quatre ans) favorisent au contraire la pénétration des racines. En effet, les profils-témoins montrent tous un chevelu de fines racines graminéennes peu dense à dense,

localisé principalement dans les 20 premiers centimètres. Par contre, dans les parcelles cultivées, la préparation du sol ameublit ce dernier plus profondément, permettant ainsi une meilleure dispersion et un plus grand développement des racines de canne.

Dans le cas des cultures annuelles, de nombreux auteurs ont montré que 1'on pouvait provoquer, selon les techniques culturales appliquées, un tassement du sol. Cette susceptibilité de compaction des matériaux pédologiques sous culture mécanisée a été étudiée par de BLIC (1973, 1975, 1976) dans la région de BOUAKE en COTE D'IVOIRE. Cet auteur a montré que le phénomène de tassement est surtout engendré par un nombre répété de passages d'engins agricoles lourds, les tracteurs à roues notamment. Le piétinement humain fréquent peut avoir les mêmes conséquences. Le sol durcit, la porosité totale diminue, l'imperméabilité du sol augmente, entraînant un mauvais développement des plantes.

2.1.2. Comparaison entre parcelles cultivées d' "age" différent.

Il s'agit, par ce deuxième type de comparaison, de faire apparaître les effets du facteur durée de culture qui se traduisent par des modifications morphologiques des profils.

L'horizon humifère des profils témoins est de couleur plus sombre que celle de l'horizon de labour des première et deuxième années de culture. Cet éclaircissement est en liaison avec la chute du taux de matières organiques observée durant cette période. En effet, un processus inverse est amorcé les années suivantes. L'enrichissement en matières organiques de l'horizon labouré entraîne un assombrissement de sa couleur. Celà apparaît quand on compare les profils : témoin CJB 010, 0,8 % de matières organiques, de couleur 5 YR 3,5/4 humide (rouge brun sombre) et 7,5 YR 4,5/4 sec (gris rougeâtre légèrement sombre), et CJB 111 de la parcelle cultivée JBK, Après deux années de culture, le taux de matières organiques est en moyenne de 0,2 % et 5 années après,

il est remonté à 0,5 % avec comme couleur de l'horizon labouré, 5 YR 4/4 humide (gris sombre) et 7,5 YR 5/6 sec (gris rougeatre). En même temps, il semble s'amorcer pour les sols ferrugineux tropicaux et les sols peu évolués, une subdivision de A_p en A_{11p} et A_{12p} d'après la couleur.

Enfin, dans les sols ferrugineux tropicaux(voir plus loin, Granulométrie) une baisse de l'appauvrissement en éléments fins des horizons de surface est observée après trois années de culture.

2.2. Conclusions de l'étude morphologique.

angaran 15 at

Il ressort, de cette étude comparée des profils, que le travail profond du sol dans les zones tropicales sèches tout comme dans les pays tempérés, est le moyen le plus efficace pour créer le profil agropédique. Dès l'ouverture du sol, on observe cependant un effet dépressif allant dans le sens d'une péjoration de certains caractères pédologiques

- modification de la morphologie des horizons humifères par la création d'un horizon cultural;
- accroissement, au cours des premières années de culture, de l'appauvrissement des horizons de surface du sol, qui diminue les années suivantes;
- éclaircissement de l'horizon cultural en liaison avec la baisse du taux de matières organiques au cours des premières années.

Dans l'ensemble, cet horizon de labour ainsi créé peut être facilement conservé sous culture de la canne à sucre (végétation pérenne).

TOURTE et al. (1967) ont montré qu'un tel profil peut même s'améliorer sensiblement si les plantes cultivées sont des graminées vivaces, comme c'est
le cas avec la canne à sucre. A BEREGADOUGOU, l'enrichissement de cet horizon en matières organiques par les apports importants dûs aux racines
de canne lors de leur renouvellement et aux feuilles au moment de la récolte,
la sensible amélioration de la structure (sols peu évolués) (voir plus
loin) etc ..., permettent de conclure dans le même sens. C'est aussi la
preuve qu'un nombre minimum de labours est préférable à un nombre répété

de labours qui rend très aléatoire la conservation du profil cultural par la dégradation rapide de la structure du sol, MARTIN (1961) dans la Vallée du NIARI au CONGO. FAUCK et al. (1967) en MOYENNE CASAMANCE au SENEGAL, DEKADJEVI (1974) au TOGO, GLENN et al. (1978) dans le COLORADO aux U.S.A. L'interprétation des observations ainsi faites doit aussi tenir compte des autres caractères du sol. Ce sera l'objet des prochains chapitres.

3. EVOLUTION DES PRINCIPAUX CARACTERES PHYSICO-CHIMIQUES.

3.1. Caractères physiques.

L'un des facteurs les plus importants influençant le développement racinaire est la porosité du sol. Cette dernière est étroitement liée à la granulométrie, à la stabilité structurale et aux propriétés hydriques. NICOU (1974), étudiant la porosité des sols sableux et
sablo-argileux de la zone tropicale sèche (SENEGAL) a montré que le
labour transforme complètement l'état structural du sol et peut augmenter la porosité à tous les niveaux (porosités texturale et structurale). Il indique d'autre part qu'un tel état est très fragile et
recommande la combinaison travail du sol au facteur matière organique,
l'effet de cette dernière sur la conservation de la structure étant
bien connu et significatif - COMBEAU et QUANTIN (1964), MONNIER (1965),
GUCKERT (1973).

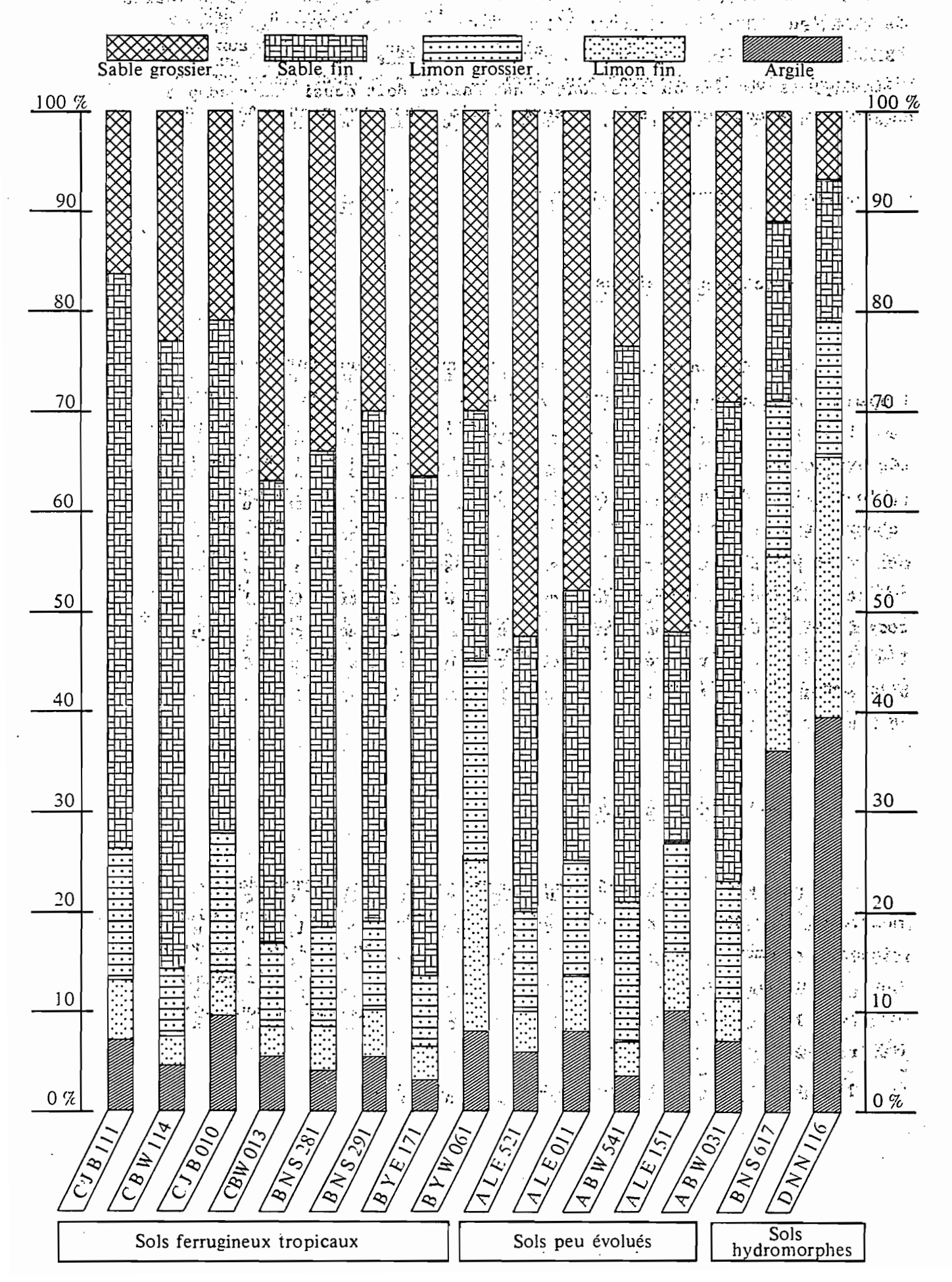
3.1.1. Granulométrie.

Une étude granulométrique comparée des trois types de sol montre que les sols peu évolués, excepté le profil ABW 541, sont plus riches en éléments grossiers de la fraction de terre fine que les sols ferrugineux tropicaux et les sols hydromorphes. Par contre, du point-de-vue de la teneur en éléments fins, les sols hydromorphes sont les plus riches (FIGURE 5).

⁽⁺⁾ Il s'agit de l'apport de la matière organique.

GRANULOMETRIE

Fig. 5 : Résultats comparés des mesures effectuées sur la terre fine des horizons de surface des 15 profils étudiés:



Les sols ferrugineux tropicaux.

Les résultats analytiques de l'étude granulométrique des huit profils figurent dans les TABLEAUX VI (a) etVI (b) (en ANNEXE II).

Les tableaux de chiffres ainsi que leur expression graphique, FIGURES ((a) et 6 (b) montrent que :

- d'une manière générale, on observe une augmentation des éléments fins, argile et limon fin, des horizons de surface vers ceux de profondeur. Cette différence texturale entre horizons supérieurs et inférieurs est bien naturelle. Il semble cependant qu'avec la mise en culture, l'appauvrissement de l'horizon de surface en expile est important de l'horizon de surface en expile est limon fin (A + LF) de l'horizon de surface (O - 20 cm) est passée de 13 % sous jachère (CJB 010), à 6, 7 et 8 % respectivement la deuxième (BYE 171), la troisième (CBW 114) et la quatrième (BNS 281) année de culture, puis à 13 % (CJB 111) après 5 ans (TABLEAU ci-dessous).

		Témo	in		Cuil	Cultivée 2 ans				Cultivee 3 ans			
Parcelle	C	IB O	LO		37	BYE 171			CBW 114				
Profondeur	0 20	20 40	40 60	60 80	0 20	20 40	70 90	90 11 0	0 20	20 40	50 ⁻	120 140	
Argile	9,4	24	37,2	3 1	2,9	5,7.	27,5	30,8	4,6	9,1	20,1	15,9	
Limon fin	4	6,2	16,7	17	3,4	5,0	615	7,8		3,4		-	
Argile+ Timon fin	13,4	30,2	53,9	48	6,3	10,7	34,0	38,6	7,1	12,5	22,7	18,5	

(Voir suite du TABLEAU page 86)

	: Cultivée 4 ans					Cultivée 5 ans				
Parcelle	:	BNS	281.			ci	В 111		.:	
Profondeur		: 20		:120			: : 70 : 90			
Argile	: 4	5,5	:40,8	:28,	7: 7,	1:43,	6: 3 4	: 31	;	
Limon fin	:4,2	4,1	:4,7	8,6	5,	9 8	11,3	3:13,8	: : : :	
Argile+limon fin	:8,2	9,6	45,5	: : :37,	3:13,	0:51,	• • • • • • •	:44,8		

Si l'on considère les profils séparément, on observe dans les horizons inférieurs, vers 60 cm, la présence d'un ventre d'argile et de l'imon fin (TABLEAU ci-dessus et FIGURES 6(a), 5 (b), ce qui laisse à penser qu'il se manifeste un phénomène d'entraînement des éléments fins. On peut ainsi constater (FIGURE 7) que, dès les premières années de mise en culture, le pourcentage d'argile a baissé de 9 % (sousjachère) à 3 % (parcelle cultivée 2 ans). Vers les troisième et quatrième années, on observerait, par contre, une augmentation de ce taux qui passe de 4 % à 7 % (cinquième année). Le taux de limon fin varie dans le même sens (FIGURE 8). Ce réaccroissement de la teneur en éléments fins pourrait provenir de la désagrégation des pseudo-particules en surface (voir plus loin), l'humidité permanente créée par l'irrigation jouant en faveur de cette hypothèse qui reste à vérifier.

- Les éléments : Limon grossier, sable fin et sable grossier évoluent différemment (FIGURES 9, 10 et 11). Le taux de sable fin, après une baisse pendant les trois premières années de culture, augmente vers la quatrième année et après cinq ans, il est supérieur à celui du témoin sous jachère : 51 % (témoin CJB 010) et 57 % (CJB 111, cultivé 5 ans). Le taux de sable grossier a évolué en sens inverse. Après un accroissement rapide les premières années, 36 % (BYE 171, cultivé 2 ans), il tombe à 16 % (CJB 111, cultivé 5 ans), pourcentage inférieur à celui du témoin 20 % (CJB 010). Le limon grossier suit une évolution semblable à celle de l'ar-

Fig. 6 (a) Analyse granulometrique Sols ferrugineux tropicaux

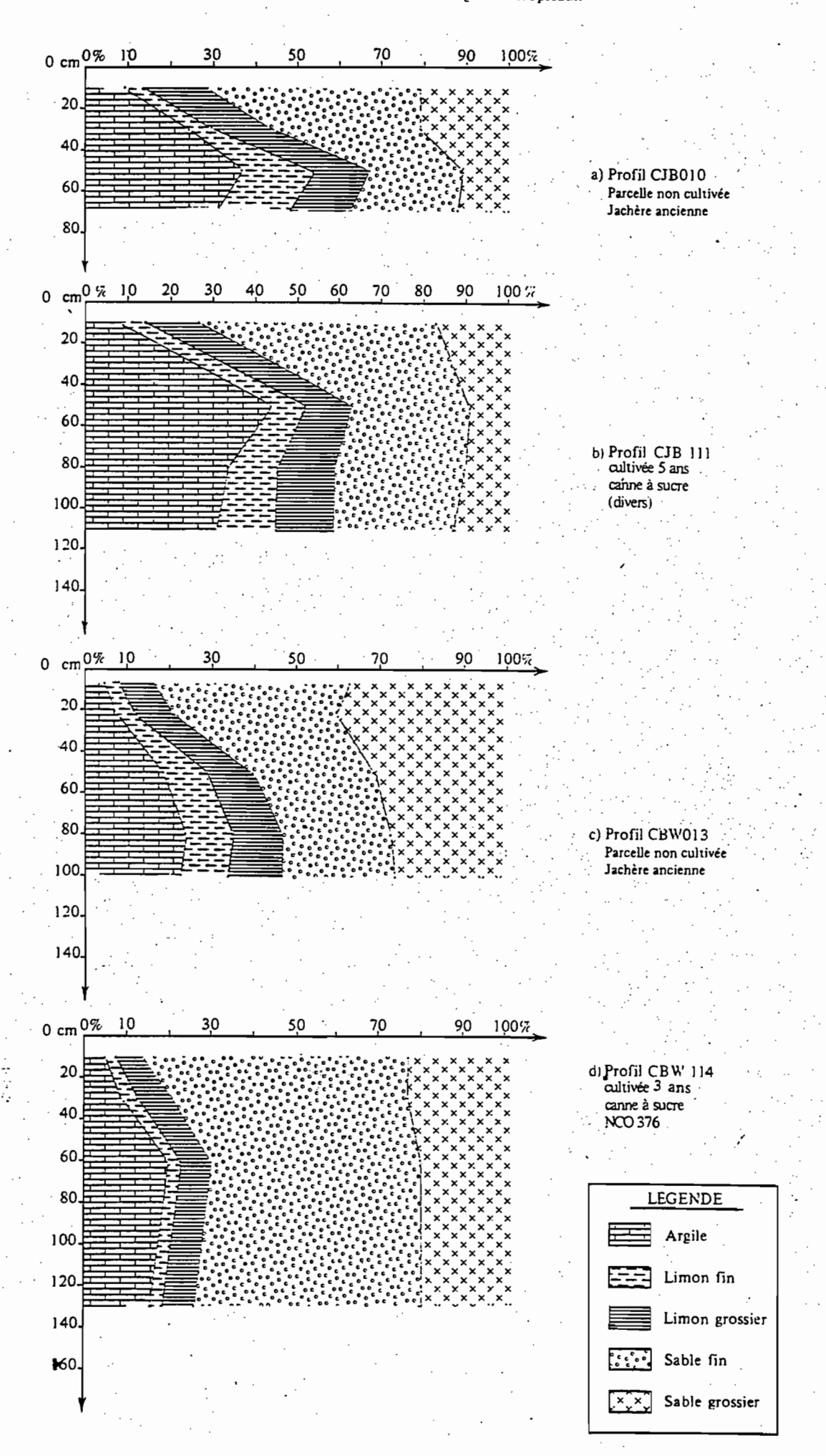
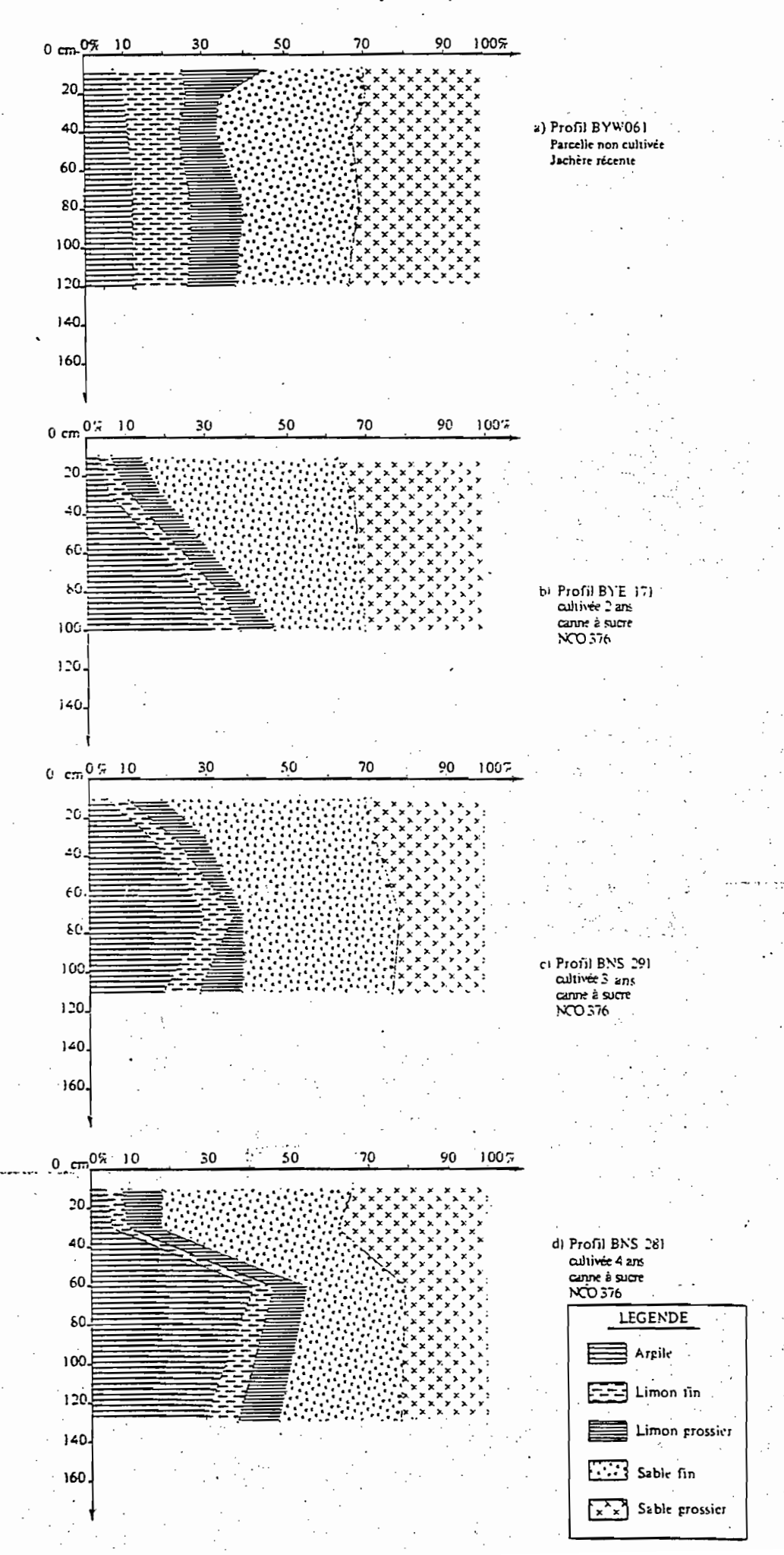


Fig. 6 (b) Analyse granulométnque Sols ferrugineux tropicaux



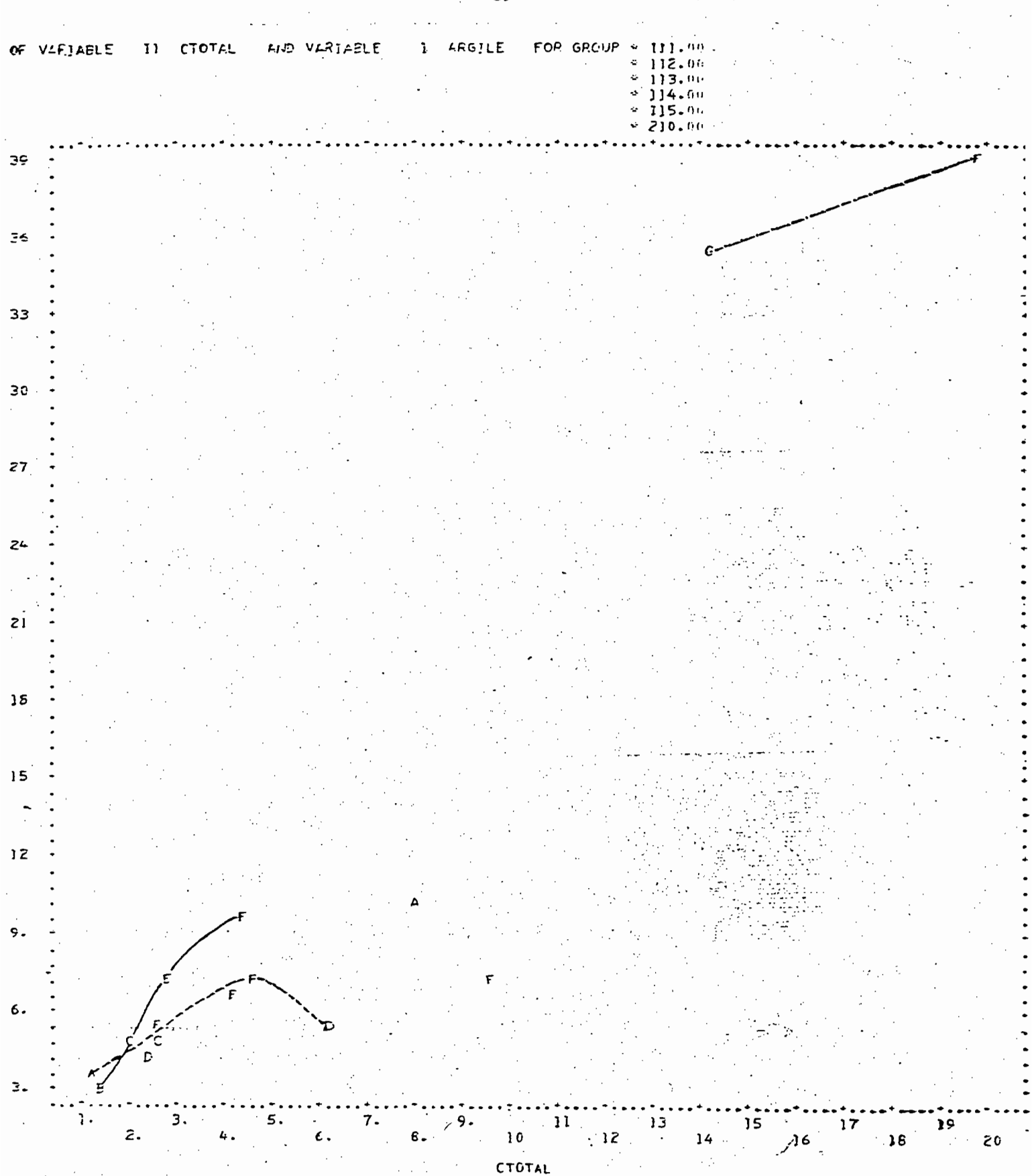


Fig.7: Variation du taux d'argile en fonction du taux de carbone organique total (horizon de surface).

Les lettres représentent à la fois l'"âge" de la parcelle et le profil étudié: A= cultivée l'an; B (2 ans); C (3 ans); D (4 ans); E (5 ans) et F = Témoin.

Les courbes tracées passent par les points correspondants aux profils comparables entre eux; les points hors courbes correspondant à des profils non comparables.

sols ferrugineux tropicaux sols peu évolués

sols hydromorphes

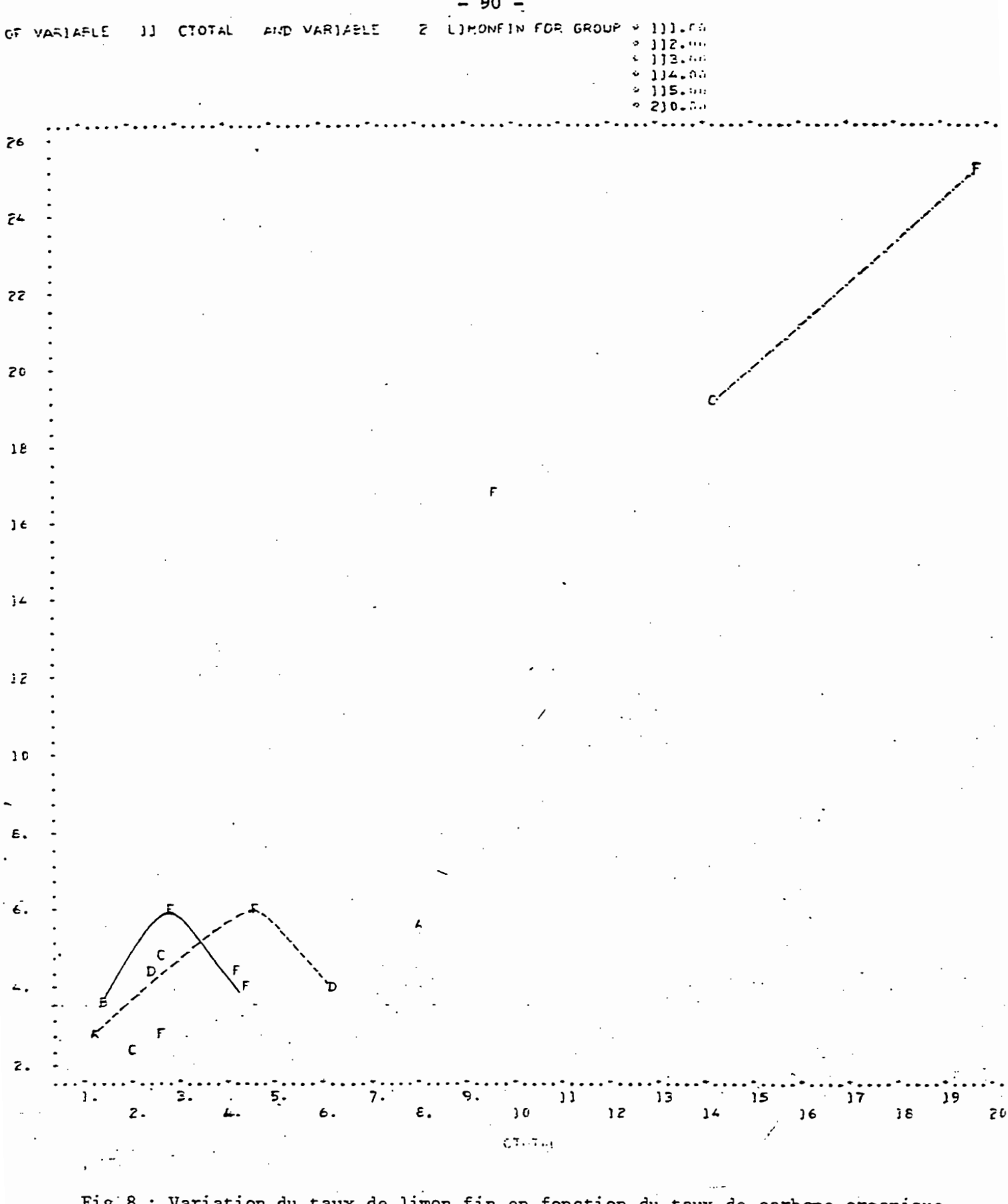


Fig.8: Variation du taux de <u>limon fin</u> en fonction du taux de carbone organique total, (horizon de surface).

sols ferrugineux tropicaux sols peu évolués

- · - · - · sols hydromorphes

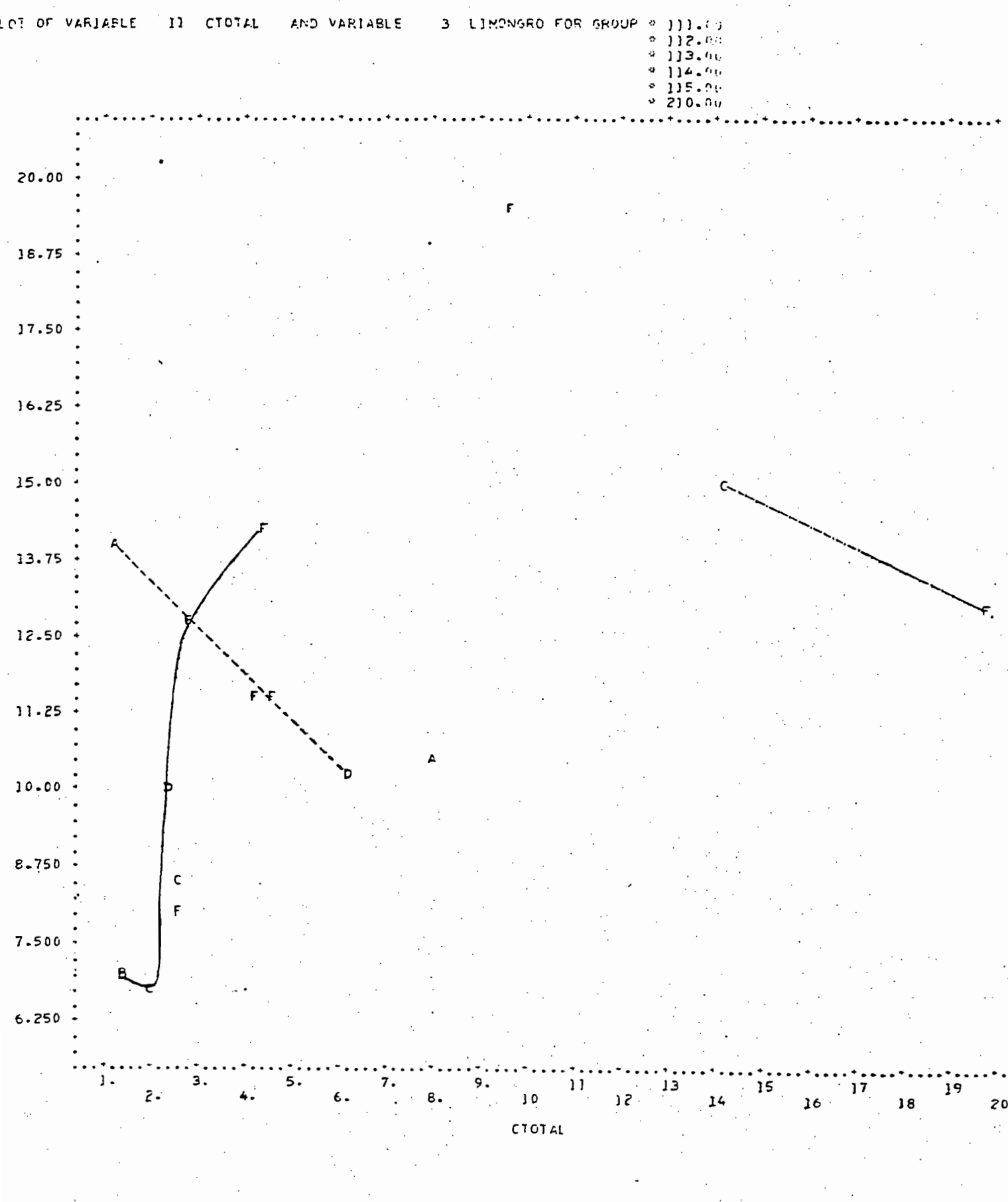


Fig. 9 : Variation du taux de $\frac{1 \text{imon}}{\text{organique}}$ grossier en fonction du taux de carbone organique total, (horizon de surface).

____ sols ferrugineux tropicaux

----- sols peu évolués

- · - · - · sols hydromorphes

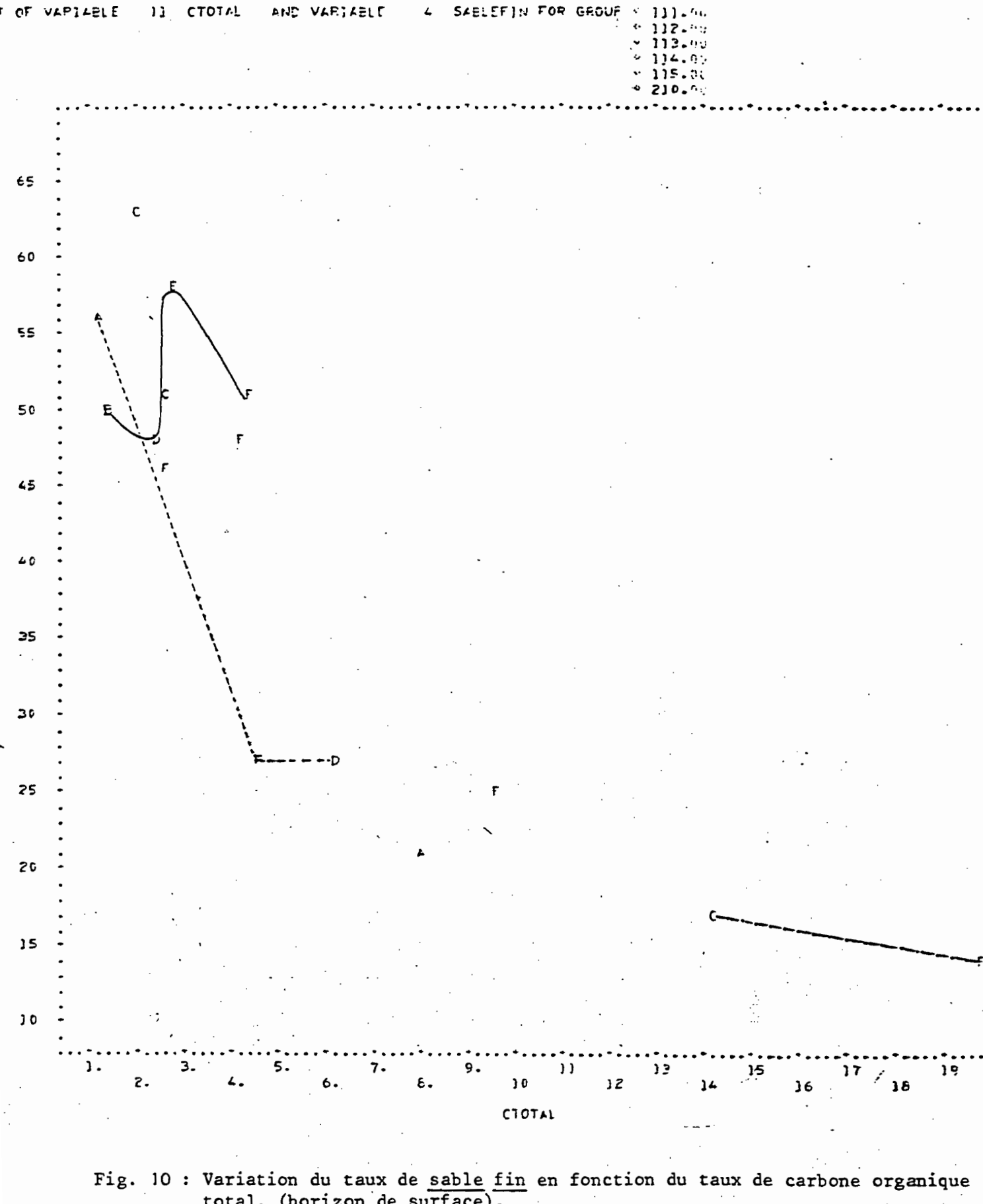


Fig. 10: Variation du taux de <u>sable fin</u> en fonction du taux de carbone organique total, (horizon de surface).

sols ferrugineux tropicaux
---- sols peu évolúés

sols hydromorphes.

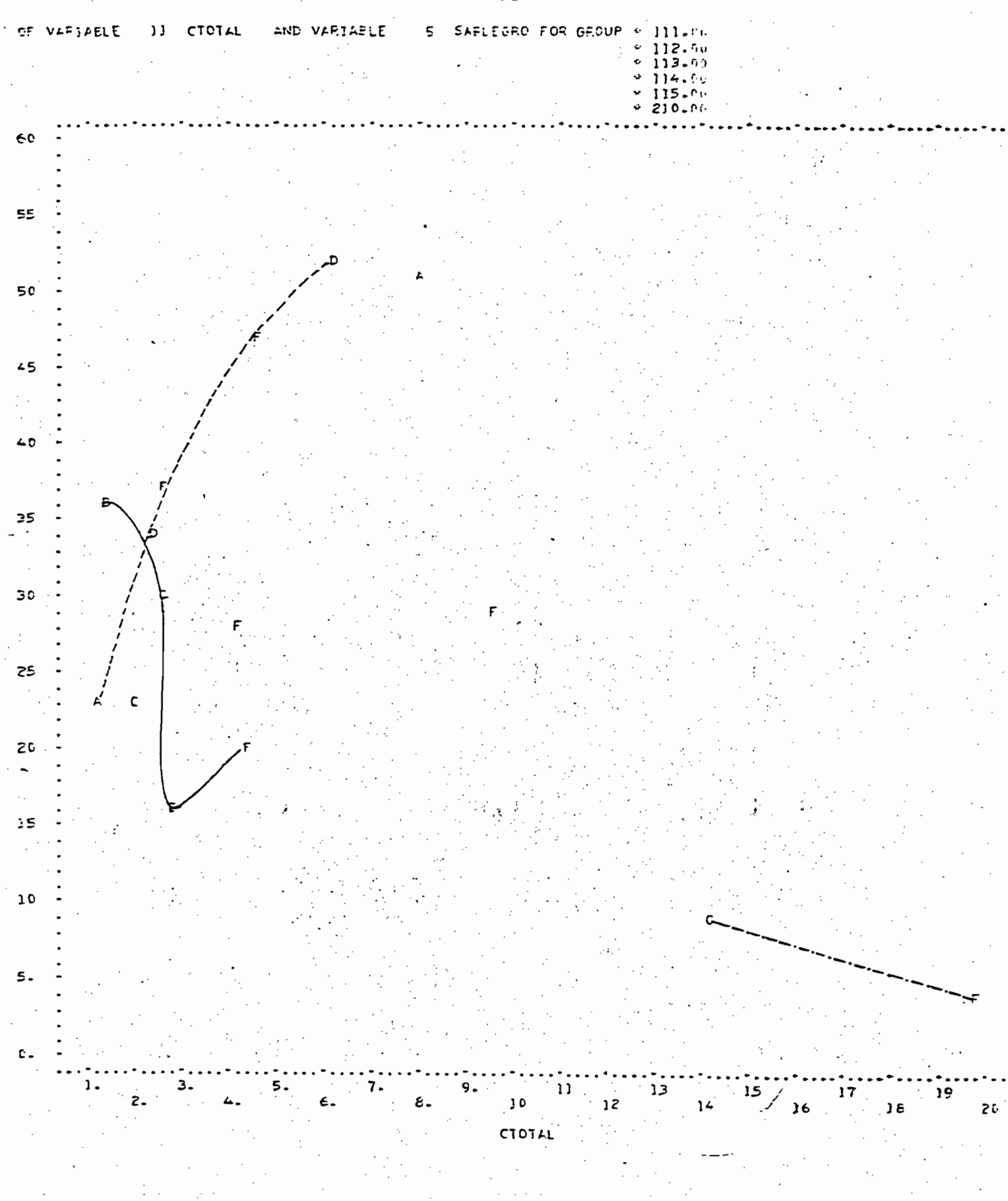


Fig. 11: Variation du taux de <u>sable grossier</u> en fonction du taux de carbone organique total, (horizon de surface).

_____ sols ferrugineux tropicaux

sols peu évolués
sols hydromorphes.

gile. En profondeur, le taux des éléments grossiers est en général très variable d'un profil à l'autre. La présence d'un horizon gravillonnaire peut être à l'origine de ces variations.

Les sols peu évolués.

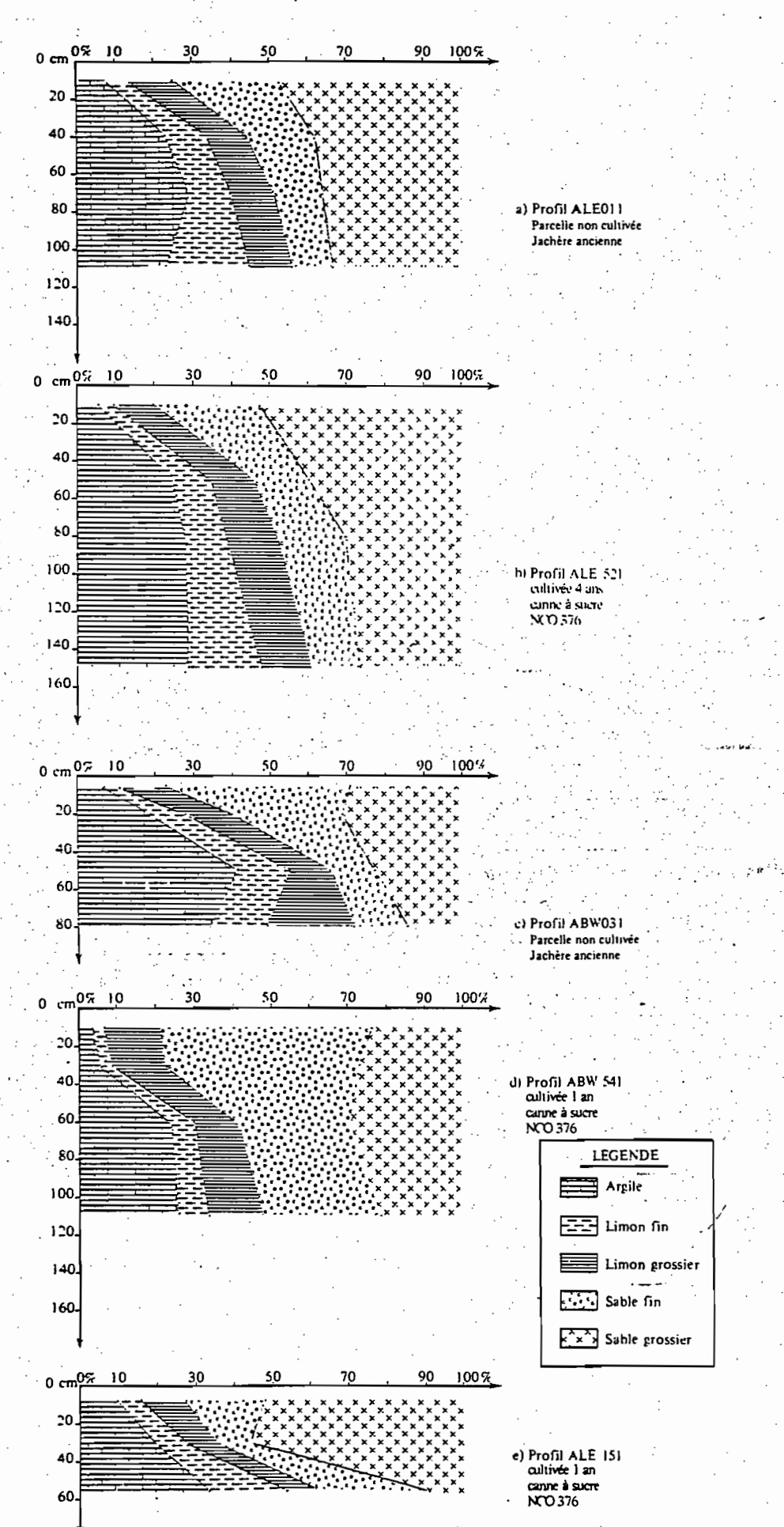
Le TABLEAU VII (ANNEXE II) et la FICURE 12 montrent que :

- les taux d'éléments fins argile et limon fin varient comme il a été observé pour les sols ferrugineux tropicaux, avec ceci de particulier qu'ils présentent, dans l'ensemble, des taux plus faibles que ceux obtenus dans les sols précédents, excepté le profil ALE 151 qui est assez différent des autres. Se dernier est plus argileux en surface, la somme A + LF est de 15,6 %. Per contre, dans ces sols, la présence de matériaux gravelo-gravillonnaires fait que le pourcentage de refus (éléments de diamètre supérieur à 2mm) y est élevé, TABLEAU ci-dessous.

Profils	ALE Oll Tépoin			Alja 521 (// ans)				ABW 031 Témoin				
Profondeur	0 20	30 50	66 68	100	0 20		70 1.00			10 30		
Argile	7,4	23,1	20,7	22,3	5,5	25,1	27,7	28,7	6,8	19,2	41,0	33,3
Limon fin	5,8	10,5	10,9	21,9	4,0	9,7	11,4	19,7	4,3	8,7	13,5	15,2
A + LF	13,2	33,6	35,0	1.1.,7	9,5	34,8	30,1	1.8,4	11,1	27,9	56,5	4C,8
Refus (%)	5	_	37	_	40	10	60	7	57	82.	5C 1	22

Profils	./.397	541	(I an	
Profondeur	0 20		50 70	
Argile	3,6	5,6	24,1	26,4
Limon fin	2,9	3,6	5,0	7,4
A + LF	5, ک	9,2	30,0	
Refus (%	-	-	~	10

Fig. 12 Analyse granulométrique Sols peu évolués



Dans les parcelles cultivées, on note ainsi une baisse de A + LF de l'horizon de surface par rapport au témoin, ALE 011 et ALE 521, AEW 031 et ABW 541, TARLEAU ci-dessus.

Les éléments, limon grossier, sable fin et sable grossier varient comme suit : le taux des premiers s'accroît au cours des premières années de mise en culture, très faiblement, puis diminue les années suivantes. Ainsi, il est passé de 11 % témoin (AEM 031) à 14 puis à 10 % respectivement après une et quatre années de culture (FIGURE 9).

Une évolution semblable est observée pour le sable fin (FIGURE 10), 27 % (témoin) puis 52 % et 27 % respectivement après une et quatre années de culture. Le taux de sable grossier varie en sens inverse. Après une perte en ces éléments texturaux, dès la première année de mise en culture, 46 % (témoin) et 25 % (après un an), on observe une remontée de leur taux qui atteint 50 % après quatre années de culture (FIGURE 11).

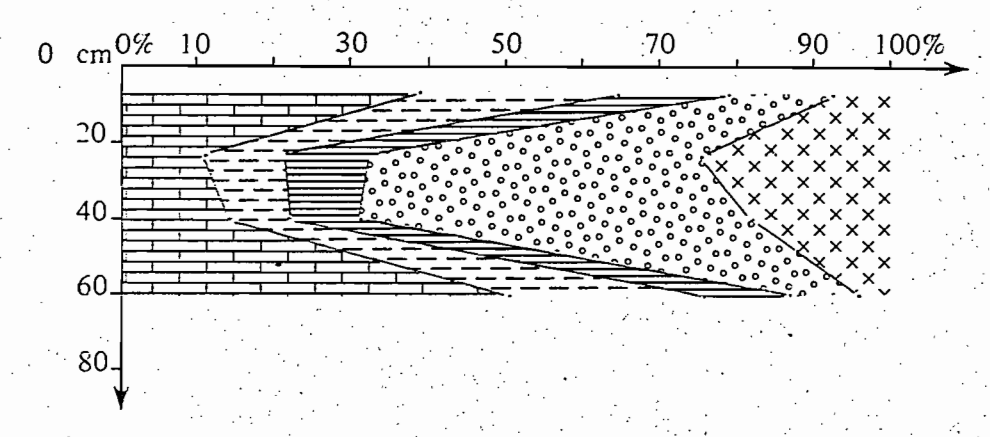
Les sols hydromorphes.

Pour les sols hydromorphes, l'étude granulométrique dont les résultats - difficiles à comparer du fait de différences originelles - sont regroupés dans le TABLEAU VIII (ANNEXE II) et représentés graphiquement (FIGURE 13), montre que :

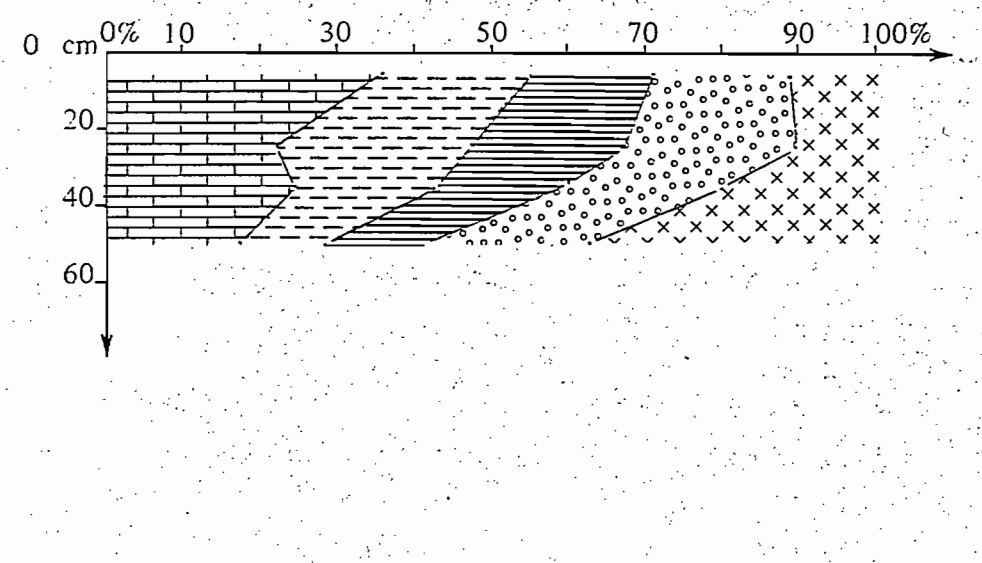
- les taux des éléments fins, argile et limon fin diminuent de la surface en profondeur jusqu'à 30 cm, puis augmentent dans les horizons sous-jacents. Dans le profil témoin (DNN 115), le taux d'argile passe de 39 % (0-15 cm) à 11 % (15-30 cm), puis s'accroît 14 % (30-50 cm) et 50 % (50-70 cm). Les taux en limon fin varient dans le même sens, passant respectivement de 25 % à 10, 7 et 25 %. La mise en culture de ces sols tend à faire dispararaître le différence texturale entre les horizons de surface (0-15 cm) et sous-jacent (15-30 cm).

Après trois années de culture continue de canne à sucre, le taux d'argile est passé à 35 % (0-15 cm), 21 % (15-30 cm), 24 % (30-40 cm) et 17 % (40-30 cm), et celui du limon fin respectivement à 19,

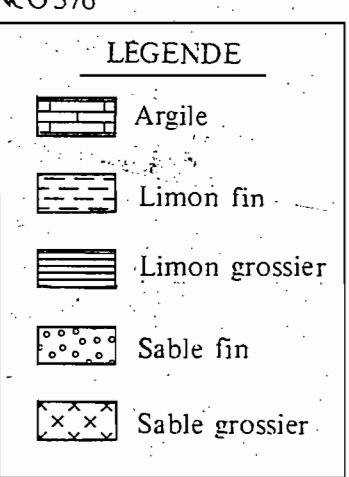
Fig. 13 Analyse granulométrique Sols hydromorphes



a) Profil DNN116
 Parcelle non cultivée
 Jachère récente



b) Profil DNS 617 cultivée 3 ans canne à sucre NCO 376



25, 18 et 10 % (Profil DNS 617). C'est l'horizon sous-jacent à celui de surface qui s'est enrichi en éléments fins.

- Les éléments grossiers de l'horizon de surface après trois années de culturé, ont des taux plus élevés que ceux du profil-témoin. Ils sont passés de 12,5 % à 15,1 %, de 13,8 % à 17,2 % et de 4 % à 8,6 %, respectivement pour le limon grossier, le sable fin et le sable grossier. Jes taux sont très variables dans les horizons de profondeur.

L'interprétation de l'ensemble des résultats granulométriques des trois types de sol, horizons de surface notamment, fait apparaître deux phénomènes fondamentaux à savoir :

- d'une part, dans les sols ferrugineux tropicaux, l'accroissement du taux de sable fin se fait au détriment des sables grossiers, phénomène qui semble être lis aux effets de mise en culture et apparaissant quand on compare les profils CEW 013 (témoin) et CEW 114 (cultivé 4 ans), CJB 010 (témoin) et CJB 111 (cultivé 5 ans), puis CEW 013 et CJE 111 (FIGURE 6 (a) et 6 (b)).
- D'autre part, dans les sols peu évolués, les phénomènes sont moins net; mais on assiste plutôt, semble-t-il, à un accroissement du taux de sable grossier au détriment du sable fin, ainsi que des éléments fins (FIGURE 12, a et b).

Quant aux sols hydromorphes, aucun des deux phénomènes n'y est observé. Les variations sont dans l'ensemble très faibles, la plus significative étant l'augmentation du limon grossier.

A priori, les deux phénomènes paraissent être induits par la nise en culture de ces sols, mais en réalité, ils dépendent beaucoup plus des variations du taux d'hydroxydes de fer, comme l'a révélé le test statistique des corrélations de rangs de Spearman, appliquée à 50 variables.

Si l'on considère par exemple les profils de sol ferrugineux tropicaux, horizons (0-20 cm), on peut en effet constater (tableau ci-

dessous), une diminution du taux de fer total (Fe 03) et du fer libre qui s'accompagne d'une baisse du taux de sable grossier mais d'une augmentation de celui du sable fin ;

		Parcelle cultivée	Parcelle Témoin	Parcelle : cultivée : 3 ans :
	CJB 010			
Fer total	4,5	2,5		1
Sable gros-	20		and our seal.	end war y
Sable fin	51	58	46	63 :

Le fer contribue, avec les composés organiques, à l'agrégation des particules minérales du sol. Les travaux de LOSSAINT (1959) lui avaient permis d'établir une corrélation hautement significative entre le taux des matières hydrosolubles et la quantité de fer solubilisé. Des travaux récents, BRUCKERT (1970), ont montré le rôle des composés organiques solubles émanant des litières dans les processus de complexation des cations lourds, le fer et l'aluminium notamment. Il à, par ailleurs, indiqué que la formation des complexes organo-minéraux, est quasi immédiate dans les horizons A des sols à mull.

Dans les sols étudiés, la présence d'hydroxydes de fer, et en particulier du fer libre en quantité appréciable, favorise l'agrégation des particules de petite taille pour former des éléments grossiers (pseudo-particules); la diminution de cette teneur entraîne, au contraire, un accroissement du taux de sable fin.

Le test de SPEARMAN a montré que l'argile est en corrélation positive plus significative, au risque 1 %, avec le fer total (r = 0,79) et le fer libre (r = 0,78), que les limons fin et grossier ne le sont avec les acides fulviques (acides fulviques soude notamment), les coefficients de corrélation respectifs étant 0,56 et 0,52. Des études faites par FAUCK (1974) ont montré que dans des conditions de bon drainage interne, les solutions du sol qui contiennent les acides fulviques peuvent migrer en profondeur. Ce mouvement provoque une désaturation poussée des horizons superficiels par entraînement des cations absorbés et aussi des hydroxydes de fer, ce qui diminue la stabilité des micro-particules et de certains agrégats, et favorise la migration de l'argile. Ainsi, la déferrification des horizons de surface des sols ferrugineux tropicaux et leur appauvrissement en argile peuvent s'expliquer par le fait que le fer, complexé par les acides fulviques, est entraîné en profondeur grâce à la grande mobilité de ces derniers. Dans ces sols, on a alors une augmentation de la teneur en fer, avec la profondeur.

Dans les sols peu évolués, par contre, ces variations sont dans l'ensemble peu significatives et on peut penser qu'il y a formation de quelques pseudo-particules. Ces dernières, malgré leur fragilité, confèrent au sol une bonne structure, FAUCK (1971).

Dans certains cas, l'élimination de l'argile de l'horizon de surface peut être simplement le fait d'érosion, BOUYER (1959). Dans ces conditions, on peut constater que le taux d'argile dans les horizons inférieurs, est pratiquement invariable.

State of the second of the second second

Dans le cas de la culture de la canne à sucre à BEREGADOUGOU, l'érosion est quasi nulle pour deux raisons essentielles; premièrement les pentes naturelles sont très faibles et la préparation du sol les réduit pratiquement à zéro; deuxièmement, la période à laquelle on pourrait craindre une érosion (hervernage), la canne couvre le sol à 100 %. Par conséquent, la transformation des composés organiques émanant de la litière ou issus de la décomposition de cette dernière (activité biologique intense et pédoclimat favorable), leur migration ainsi que leur interaction avec les divers cations du sol, sont les principaux facteurs influençant l'évolution de ces sols soumis à la culture de la canne à sucre.

3.1.2. Stabilité structurale.

But the transfer of a state of the contract of

rangal tha fit figures to the Commission of the process of the property of the contract of the particles.

the common of the second and the common of the first of the

L'indice d'instabilité de la structure ou Is a été déterminé par la méthode HENIN. Plus Is est bas, plus la stabilité du sol est bonne. Le tableau ci-dessous regroupe les valeurs de Is des horizons de surface des 15 profils étudiés.

Sols ferrugine tropicaux	u x	Cols peu évolu	és .	Sols hydromorph	es
Profil	Is	Profil	Is	Profil	Is
BYW0 51 (jachère)	0,8	ALE 011 (jachère)	0,6	DNN 116 (jachère)	0,8
BYE 171 (cult.2 ans)	0,7	ABW 031 (jachère)	୦,6	DNS 617 (cult.3 ans)	0,3
BNS 291 (cult.3 ans)	1,2	ABW 541 (cult.1 an)	0,6		
CBW 114 (cult.3 ans)	1,3	ALE 151 (cult.1 an	1,3		,
CBW 013 (jachère)	0,5	ALE 521 (cult.4 ans)	0,3		- 144 - 141 1
BNS 281 (cult.4 ans)	0,9	gentle sien. In die nicht der Leine sien von dem plat in gelegenseus wedelbeitet.	1		
CJB 010 (jachère)	1,1				
CJB 111 (cult.5 ans)	2,6				· · ·

L'examen de ce tableau montre que la structure des sols ferrugineux tropicaux, déjà pau stable, après sa dégradation par les cultures
traditionnelles (Profils BYW 061 Is = 0,8 et AJE 010 Is = 1,1), continue
de se dégrader sous culture de la canne à sucre (Profils CBW 114
Is = 1,3 et CJB 111 Is = 2,6). Les sols peu évolués présentent au départ
une structure meilleure (Is = 0,6 en moyenne). Leur structure, après une
dégradation rapide liée à une baisse générale de tous les facteurs l'influençant plus ou moins (matière organique, activité biologique, etc ...) effet dépressif - , semble se reconstruire assez facilement. Il y a même
une tendance à l'amélioration, la culture de la canne et les techniques

qui sont appliquées, permettant un apport important de matière organique (racines et feuilles de canne) et un regain d'activité microbienne par la création de conditions favorables (fertilisation, humidité et température optimales).

Sous climat tropical, le maintien de la fertilité totale (physique et chimique) des sols sous culture est difficile :

Dans le cas de cultures traditionnelles, SIBAND (1974), les sols ne reçoivent aucune forme de fumure ou d'amendement, évoluent très rapidement dès leur ouverture (déforestation), par suite de la rupture des apports de matières organiques, puis cette dégradation va s'atténuer et tendre vers un nouvel équilibre, généralement long à atteindre.

Dans le cas de cultures annuelles (mais, arachide, coton, etc...), utilisant de plus en plus des techniques modernes (labours, fertilisation chimique, fumures, amendements, atc...), on assiste malgré tout à une baisse plus ou moins importante des principaux caractères physiques du sol, FAUCK et al. (1967) au SENEGAL, MARTIN (1967) au CONGO, BOUCHARD (1967) à MADAGASCAR. D'après des travaux récents, GLENN (1978), cette dégradation de la structure est engendrée par un nombre répété de labours. En effet, dans les horizons humifères, ce sont les polymères organiques naturels qui jouent le rôle d'agents de cimentation entre les particules minérales, KONONOVA (1961), DECAU (1968). Un ameublissement fréquent de la couche superficielle du sol par les instruments agricoles, augmente la circulation de l'air dans le sol et intensifie la vitesse d'oxydation de ces polymères BRADFIELD et al. (1954).

Dans le cas de cultures pluriannuelles (caféiers, palmiers à huile, bananiers, graminées pérennes, etc ...), le nombre de labours est très réduit. LUNCU (1956) et TRANDAFIRESCU (1956) ont expérimenté, sous des climats bien différents, des cultures de graminées pérennes. Ils ont montré que ces plantes améliorent la structure des sols mis en culture depuis longtemps (vieux champs).

Ainsi, TRANDAFIRES W indique qu'en deux ans, le pourcentage d'a-

grégats stables de l'horizon 0-20 cm est passé de 8,6 % à 22,7 %.

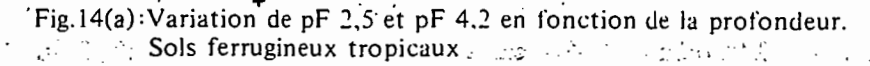
A BEREGADOUGOU, après cinq années de culture de canne à sucre (graminée pérenne), la structure des sols tend à s'améliorer dans l'ensemble, bien que l'Is des sols ferrugineux tropicaux soit encore élevé (1,3 en moyenne).

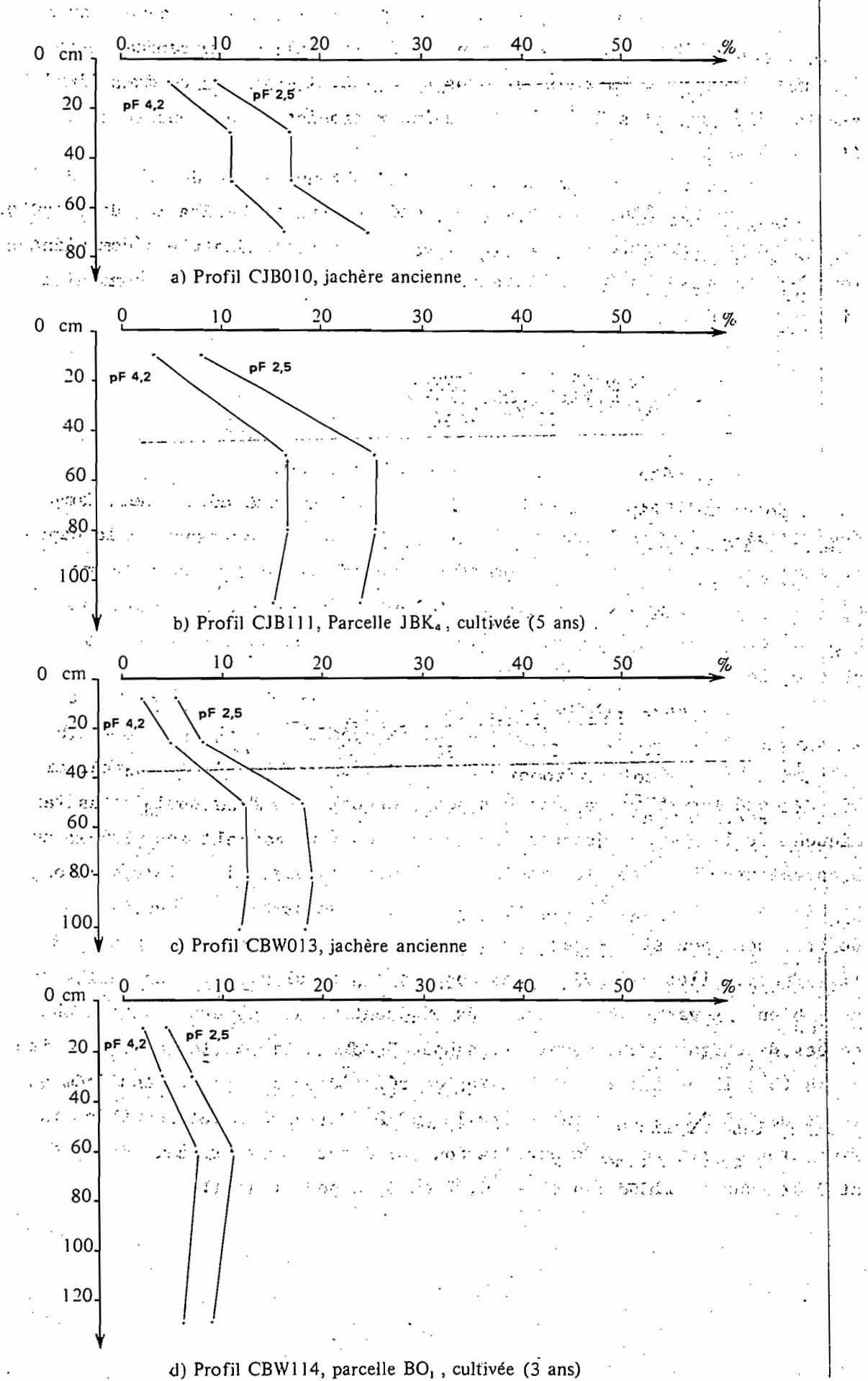
Des résultats analogues ont été obtenus en BASSE COTE D'IVOIRE par l'équipe agronomique de l'O.R.S.T.O.M., dans l'utilisation des plantes fourragères sur sols ferrallitiques sablo-argileux désaturés (communication personnelle).

3.1.3. Propriétés hydriques.

Pour étudier le comportement de ces sols vis-à-vis de l'eau, deux potentiels capillaires pF 2,5 et pF 4,2 ont été déterminés. Comptetenu de leur nature sableuse, on admet que pF 2,5 correspond à la capacité au champ et que pF 4,2 traduit le point de flétrissement permanent. On peut ainsi déterminer, par différence entre les humidités pF 2,5 et pF 4,2, la valeur d'eau utile (Eu).

Le point de flétrissement et la capacité au champ augmentent avec la profondeur dans tous les sols étudiés, FIGURES 14 (a), 14 (b), 15, excepté les sols hydromorphes pour lesquels les deux humidités diminuent de la surface jusqu'à (15-30 cm), où (Eu) atteint ses plus faibles valeurs, 5 % pour le témoin et 9 % pour la parcelle cultivée 3 ans, FIGURE 16 et TABLEAU VIII (ANNEXE II). Dans l'ensemble, les variations de (Eu) sont peu significatives quand on compare profils-témoin et profils de parcelles cultivées. Par contre, les résultats obtenus reflètent bien les variations texturales (éléments fins) apparaissant de haut en bas de chaque profil (voir plus haut FIGURE 6 (a) et 14 (a); 6 (b) et 14 (b); 12 et 15; 13 et 16. Des corrélations positives très étroites (test de SPEARMAN) existent entre les pF 2,5 et pF 4,2, et les éléments fins, les coefficients de corrélation (r) étant respectivement de 0,85 et 0,82 pour le limon fin et de 0,92 et 0,96 pour l'argile.





Il s'agit de la variation des humidités correspondant aux deux pF.

Fig. 14(b): Variation de pF 2.5 et pF 4.2 en fonction de la profondeur. Sols ferrugineux tropicaux.

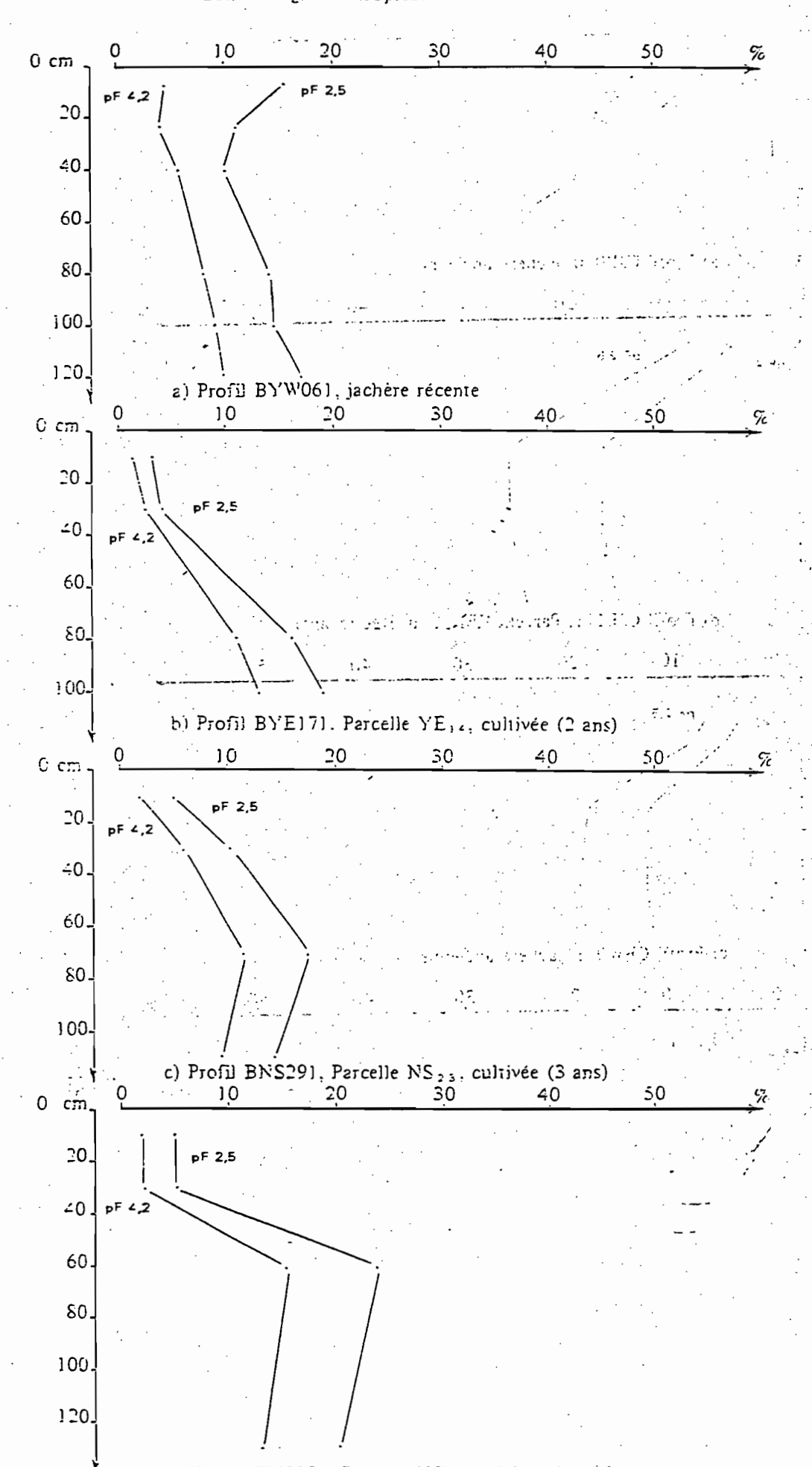
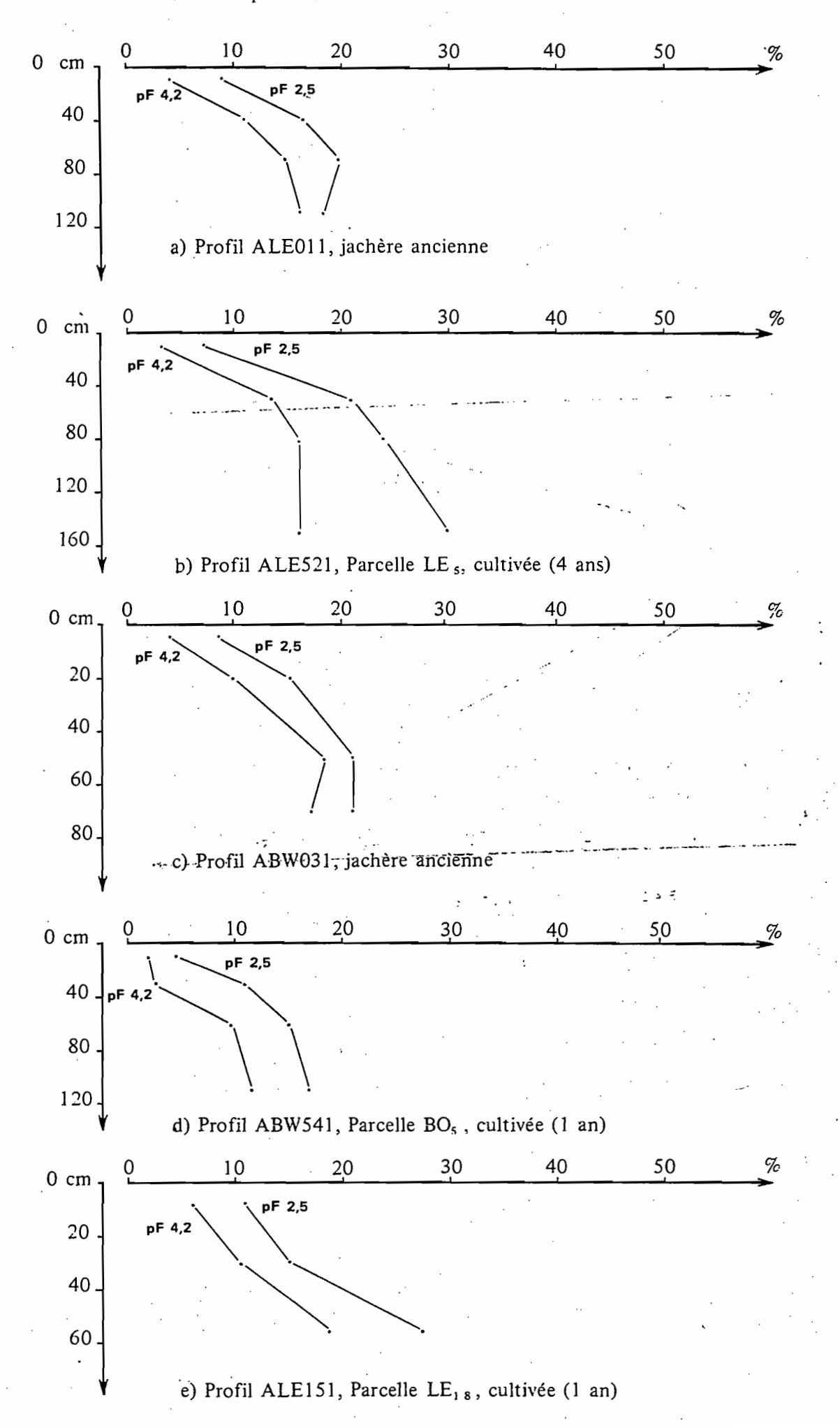


Fig. 15: Variation de pF 2,5 et pF 4,2 en fonction de la profondeur. Sols peu évolués.



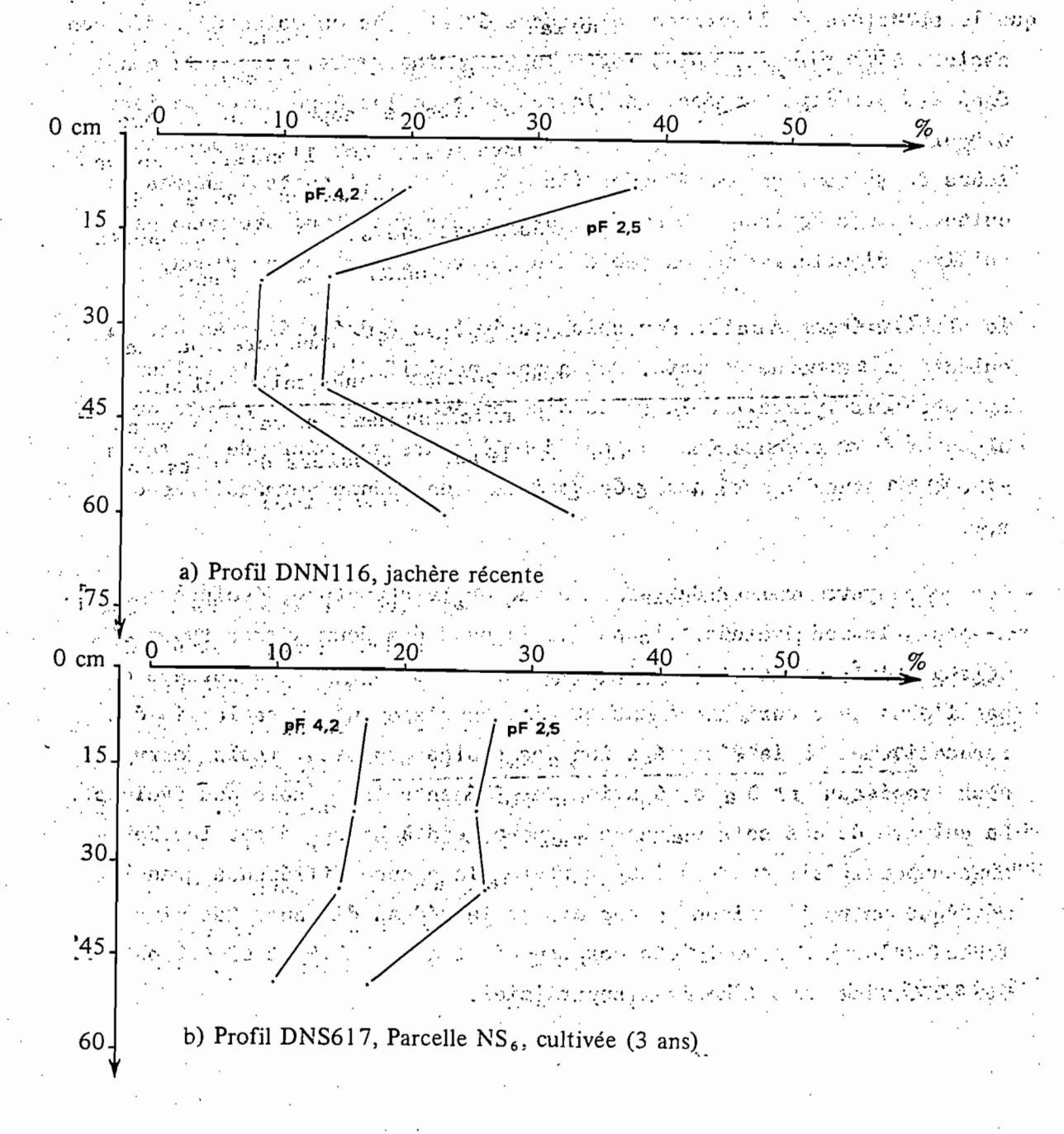
residence quelquiame

Fig. 16: Variation de pF 2,5 et pF 4,2 en fonction de la profondeur.

Sols hydromorphes

文字 (1966) (1967) (1968) (1967) (1967) (1967) (1967) (1967) (1967) (1967) (1967) (1967) (1967) (1967)

anguna ing ng kalagonia, ni kagilig **k**ing garanggan langgan nalab kina kini na ing manangang



3.2. Conclusions partielles.

L'étude de l'évolution des caractères physiqués (texture et structure) et des propriétés hydriques des sols de BEREGADOUGOU soumis à la culture de la canne à sucre, montre que :

- les sols ferrugineux tropicaux, longtemps et diversement soumis aux cultures traditionnelles, out différemment réagi à celle de la canne. Selon que la structure de l'horizon de surface était plus ou moins dégradée, on assiste à une plus ou moins forte augmentation de Is, notamment pendant les premières années. Par la suite, avec les apports de matière organique, cette baisse tend à se réduire, mais dans l'ensemble les valeurs de Is sont encore élevées (Is = 2,6, CJB 111 après 5 années de culture). Les horizons de surface présentent une structure mono-particulaire, s'enrichissent en sable fin, et retiennent moins d'eau.
- la stabilité structurale des sols peu évolués a été améliorée par la culture de la canne à sucre. Cet aspect positif d'une telle culture sur ces sols apparaît à la suite d'un enrichissement en matière organique et à l'augmentation du taux des éléments grossiers de la terre fine (formation d'agrégats) nécessaires à une bonne perméabilité du sol.
- les sols hydromorphes, du point-de-vue de la structure, évoluent comme les sols peu évolués. Ils se distinguent des deux autres types de sols par la texture argilo-limoneuse de leurs horizons de surface et par l'absence d'enrichissement et d'appauvrissement en sable fin dûs respectivement à la désagrégation des sables grossiers (sols ferrugineux tropicaux) et à l'agrégation des éléments fins (sols peu évolués). La culture de ces sols en canne à sucre tend à homogénéiser les horizons superficiels quant à leur texture, la grande différence granulo-métrique entre l'horizon de surface et le médian diminue. Les plus fortes valeurs des humidités correspondant aux pF 2,5 et pF 4,2 ont été observées dans l'horizon superficiel.

3.3. Caractères chimiques.

De nombreux travaux ont été consacrés à l'étude de l'évolution des principaux caractères des sols sous influence de la déforestation et de la mise en culture. C'est un sujet qui est au centre des préoccupations des agronomes et des pédologues. Tous sont unanimes à reconnaître que, au moins sous clima: tropical humide, dès les premières années de culture, on assiste à un abaissement de la ferciliéé du sol. Cet abaissement est d'autant plus grand que le potentiel de départ est plus élevé. On observe toujours une diminution de la teneur en carbone organique, baisse à laquelle sont liées en particulier celles de la stabilité structurale et de la capacité totale d'échange. Dans tous les cas, il a toujours été constaté que la matière organique occupait la place centrale dans les processus d'évolution des sols à court terme. Différents facteurs de la fertilité chimique, eux aussi liés plus ou moins à l'évolution de la matière organique, ont été considérés dans notre travail.

3.3.1. le pH et le complexe absorbant.

L'étude du complexe absorbant a comporté la détermination de :

- les principaux cations échangeables (Ca +, Mg +, K et Na);
- leur somme (S) exprimée en m.é./100 g de sol, comme la tenour de chacun des cations précédents;
- la capacité totale d'échange (T) exprimée en m.é./100 g. de sol;
- le rapport S/T = V exprimé en % est le taux de saturation du complexe absorbant.

Le pH est mesuré dans l'eau et dans une solution normale de chlorure de potassium. Dans le premier cas, on mesure l'acidité totale tendis que dans le second, on assiste à un abaissement du pH (par rapport au pH dans l'eau), par effet de l'acidité d'échange.

C'est ainsi que la différence pH (eau) - pH (KC1) est fonction du déficit de saturation du sol en bases. Il est donc très important de connaître l'évolution du pH dans la succession des cycles culturaux. Tous les facteurs de fertilité sont étroitement liés entre eux, et le pH et ses variations sont le reflet de l'évolution de certains d'entre eux.

Les sols ferrugineux tropicaux.

Les résultats analytiques des principales caractéristiques du complexe absorbant et de mesure des pH eau et KCl, sont regroupés dans les TABLEAUX VI (a) et VI (b) en ANNEXE II.

Les pH sous jachères (profils témoins, voir TABLEAUX ci-dessous) sont neutres à faiblement acides pour les horizons de surface et acides pour ceux de profondeur. Dans les couches supérieures (0-10 cm, 0-20 cm), le pH KCl est supérieur d'au moins une unité pH, à la valeur 4,4, seuil au-dessous duquel de l'aluminium échangeable peut être libérré par le complexe absorbant, PIERI (1974). Cet auteur a montré que ce phénomène, selon son intensité, pouvait provoquer des effets de toxicité sur l'arachide (le nanisme jaune). BAUDIN (1978), estime ce seuil à 5,5 (pH eau) et à 4,6 (pH KCl).

La mise en culture de ces sols entraîne une baisse continue du pH (eau) dans les horizons de surface. Il passe de 7,1 (CJB 010) à 4,8 (CJB 111) après 5 années de culture (TABLEAU ci-dessous),(soit une baisse de plus de 2 unités pH). On remarque que cette baisse rapide les deux premières années est ralentie les années suivantes.

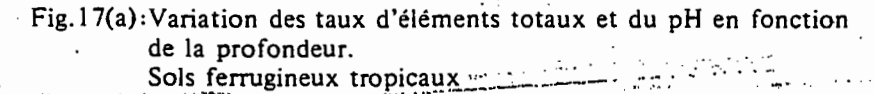
Cette chute peut être très importante. MARTIN (1967) a constaté, dans les sols sous culture de canne de la Vallée du NIARI au CONGO, une baisse d'une unité pH en deux ans. Sous cultures annuelles (arachide, coton, etc...), elle est encore plus forte et peut dépasser 2 unités pH en un ou deux ans.

Profils	C	JB 010		C	CBW 013			BYW 061		
Profondeur	0 20	20 40	60 80	0 1 5	15 30	90 110	0 1 5	15 30	110 130	
pH (eau)	7,1	6,0	5,3	6,2	5,4	5,1	6,5	5,5	5,0	
pH (KC1)	6,1	5,1	4,8	5,3	4,5	4,4	5,6	4,3	4,3	

Quant au pH KCl, il baisse de manière plus importante, même sous culture de canne à sucre. Si l'on considère l'horizon de surface, on peut constater, TABLEAU ci-dessous, que le pH KCl passe de 6,1 sous savane (CJB 010) à 4,3 (EYE 171, 2 ans), 4,4 (CBW 114, 3 ans), 4,1 (BNS 281, 4 ans) et 4,0 (CJB 111, 5 ans) sous culture.

Profils	Ténoin CJB 010				Cı	Cultivé (2 ans) BYE 171				Cultivé (3 ans) CBW 114			
Profondeur	0 20	20 40	40 60	60 80	0 20	20 40	70 90	90 110	0 20	20 40	50 70	120 140	
pH eau	7,1	6,0	5,2	5,3	5,2	5,8	5,1	5,2	5,2	5,2	5,5	5,7	
pH KC1	6,1	5,1	4,2	4,8	4,3	4,9	4,5	4,6	4,4	4,4	4,8	5,1	
c ^{†+}	1,5	1,05	1,8	2,25	0,3	0,9	0,75	0,9	0,6	0,6	1,5	1,2	
S	3,09	2,8	3,62	3,93	0,5	1,26	1,51	1,86	0,96	0,97	2,33	1,58	
T	4,5	5,5	7,0	7,0	1,5	1,75	4,75	5,5	2,25	2,5	3,75	3,0	
V	69	51	52	56	33	72	32	34	43	39	62	53	

rofils	1	ivá (BNS 28	(4 on:	3)	Cultivé (5 ans) CJB 111			
Profondeur	0 20	20 40	50 70	120 140	0 20	40 60	70 90	100 120
pH eau	.4,9	6,0	5,4	5,2	4,8	5,7	5,8	5,9
pli KCl	4,1	5,2	4,6 1,95	4,5	4,0 1,05	5,2 2,94	5,5 3,0	5,6 3,0
S T	$\frac{0,9}{1,28}$	$\frac{1,2}{1,59}$	$\frac{1,95}{3,44}$		$\frac{1,03}{1,57}$	4,16 7,5	4,15	$\frac{3,0}{4,14}$
v	51.	79	57	30	57	55	57	64



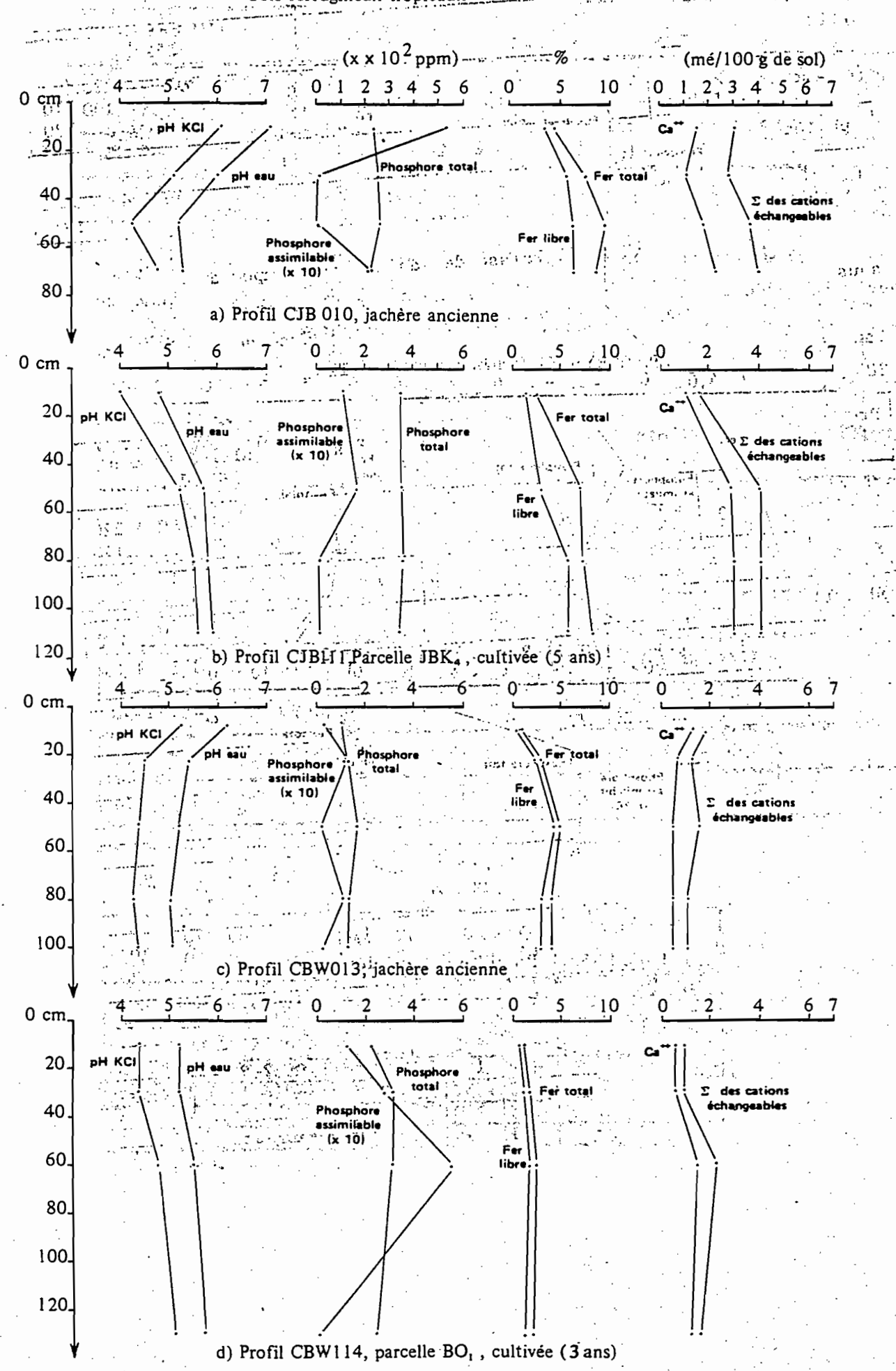
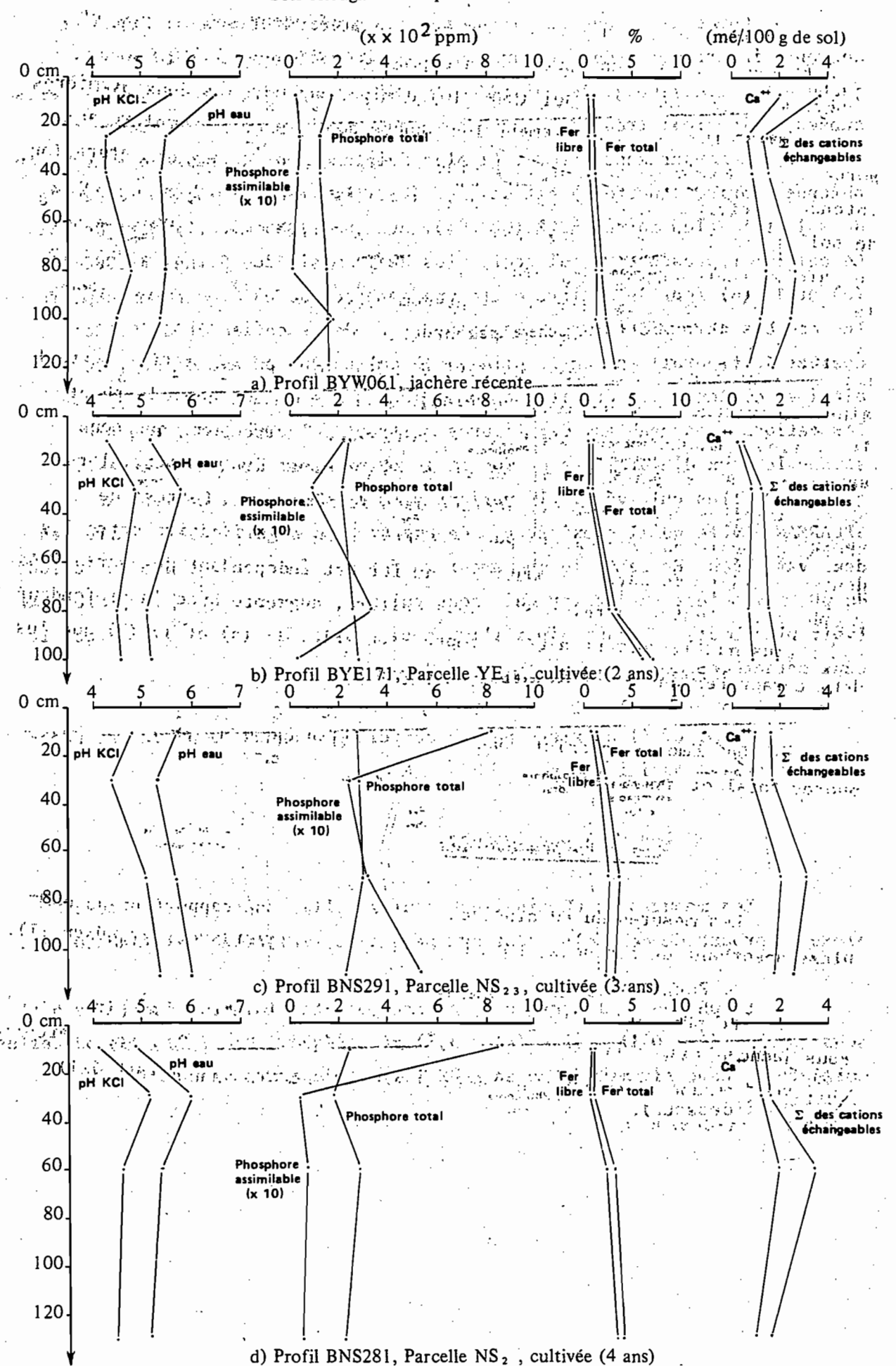


Fig.17(b): Variation des taux d'éléments totaux et du pH en fonction de la profondeur.

Sols ferrugineux tropicaux.



Comme le pH eau, il diminue avec la profondeur sous savane et augmente inversement sous culture. La capacité d'échange, faible sousjachère 4,5 m.é./100 g. de sol (CJB 010) diminue pendant les deux premières années, mais croît très faiblement les années suivantes. Le complexe absorbant est moyennement saturé. La plus faible valeur du taux de saturation obtenue (horizon humifère) est de 33 % (BYE 171) avec S = 0,5 m. é./100 g de sol et la plus forte, 82 % (CBW 013) avec S = 1,85 m. é. /100 g de sol. Le calcium représente, à lui seul, plus de la moitié de S. Les FIGURES 17 (a) et 17 (b) font apparaître cette prédominance de Ca²⁺ quand on compare les courbes de variation (avec la profondeur) de ce cation et de S. Ces courbes sont parallèles entre elles et à celles des pH eau et KCI, mettant ainsi en évidence les étroites corrélations qui existent entre le pH et les cations échangeables. Ces figures montrent, d'autre part, que sous savane le taux d'hydrox les de fer et le pH évoluent inversément, alors qu'un parcelles cultivées, ils varient dans le même sens. Le test de SPEARMAN révèle qu'il n'existe pas de corrélation significative entre les deux variables. En fait, le mouvement du fer est indépendant des variations du pH, mais c'est ce dernier qui, sous culture, augmente avec la profondeur (voir plus haut), donnant ainsi l'impression (FIG. 17 (a) et 17 (b) que les deux caractères du sol sont interdépendants.

De même, il n'existe pas de corrélation entre le pH et les phosphores total et assimilables.

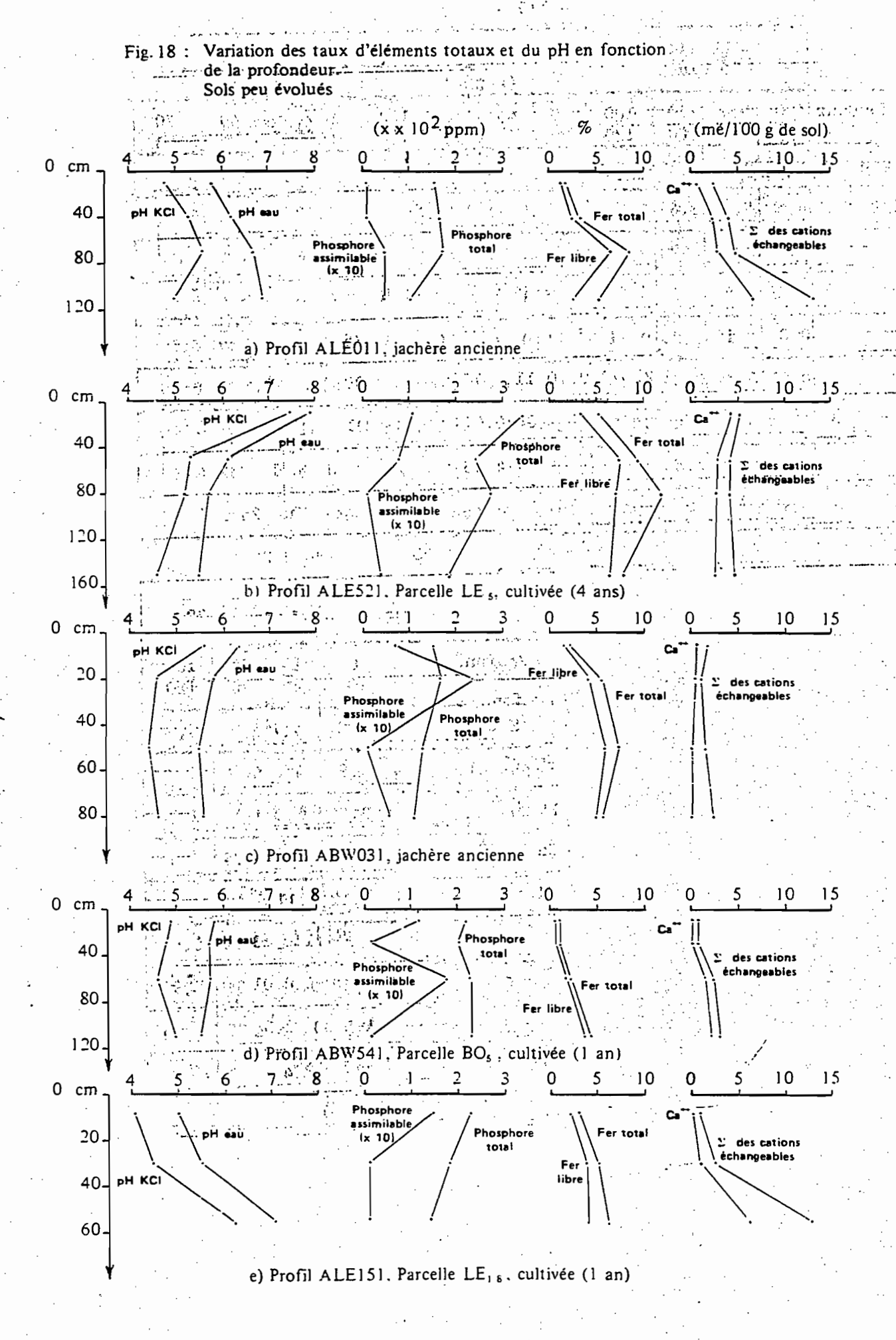
Les sols peu évolués.

Les mesures du pH ainsi que toutes celles se rapportant au complexe absorbant de ces sols, sont groupées dans le TABLEAU VII (ANNEXE II).

Le pH eau de l'horizon de surface est faiblement acide (pH = 6,4) sous jachère (ABW 031), acide (pH = 5,8) et basique (pH = 7,9) sous parcelles cultivées, respectivement d'un an (ABW 541) et de quatre ans (ALE 521) (TABLEAU ci-dessous).

e V		ALE T e no	011. oin				52 1			ABW		
Profondeur	0 20	30 50	60 80	100 120	0 20	40 60	70 90	140 160	0 10	10 30	40 60	70 90
pH eau	5,8	6,2	6,7	6,9	7,9	6,1	5,7	5,5	6,4	5,8	5,5	5,6
pH KC1	4,8	5,3	5,6	5,0	7,5	5,3	5,2	4,5	5,6	4,6	4,4	4,6
Catt	0,9	2,25	2,8	6,75	4,5	2,85	2,8	2,55	0,75	0,6	0,3	0,3
Mg ⁺⁺	1,35	1,5	1,5	6,0	0,75	1,35	1,35	1,35	0,75	0,45	0,9	1,95
Κ̈́+	0,07	0,19	0,26	0,21	0,06	0,11	0,19	0,36	0,09	0,27	9,28	0,15
Ņa ⁺	0,01	0,02	0,04	0,24	0,04	0,04	0,04	0,05	0,01	0,04	0,15	0,09
Š	2,33	3,96	4,6	13,2	5,35	4,35	4,43	4,61	1,6	1,36	1,63	2,49
Ť	2,75	4,75	6,5	14,0	5,25	6,25	6,75	7,25	2,5	3,75	6,25	5,5
ų.	85	83	71	94	101	70	66	63	64	36	26	45

	ABW 541 (1 an)								
Profondeur	0 20	20 40	50 70	100 120					
pH eau	5,8	5,7	5,7	5,5					
pH KC1	4,9	4,8	4,6	5,0					
Ca ⁺⁺	0,3	0,3	1,5	2,25					
Mg ⁺⁺	0,15	0,3	0,75	0,6					
K ⁺	0,12	0;11	0,13	0,07					
Na ⁺	0,01	0,01	0,01	0,02					
S	0,58	0,72	2,39	2,94					
T	1,5	1,75	4,25	4,75					
V	39	41	5 5	62					



Quant au pH KCl, il passe respectivement de 5,6 à 4,9 puis à 7,5. Les valeurs de ces deux pH sont anormalement élevées (parcelles LE 5, ALE 521).

Cette augmentation du pH à ce point de la parcelle peut avoir été le fait d'un brûlis (passé cultural) où d'une activité animale (termites par exemple).

Contrairement aux sols ferrugineux tropicaux, et excepté le profil ALE 151 (culture 1 an), les sols peu évolués présentent sous culture un pH plus élevé en surface qu'en profondeur et sous savane, on peut avoir aussi bien une baisse qu'une augmentation avec la profondeur. Ces variations du pH de haut en bas des profils sont dans l'ensemble très faibles mais significatives.

Le Complexe absorbant est moyennement saturé sous jachères (savane), et sous culture il est saturé. Le taux de saturation est parfois supérieur à 100 (ALE 521) où V = 101 % (TABLEAU ci-dessus). Ces sols présentent des teneurs en Mg²⁺ échangeable plus élevées que celles des précédents. Les taux des bases échangeables peuvent être rangés dans l'ordre croissant suivant :

La FIGURE 18 montre, comme dans le cas précédent, que le pH et les bases échangeables sont étroitement liés, et qu'avec les autres caractères du sol considérés, (teneurs en P₂O₅ total et assimilable, teneurs en hydroxydes de fer libre et total), il n'existe pas de relations directes.

Les sols hydromorphes.

Les résultats analytiques sont présentés dans le TABLEAU VIII (en ANNEXE II), Ces sols sont acides dès l'horizon 0-15 cm sous jachère (pH eau = 4,9 et pH KCl = 4,0) profil DNN 116. Leur mise en culture

fieles, P. & B 8, 8 ab anomoraboussus misagell [40] by ve theug 7,5. Les valeirs de ded divir eff con conominant élavées logreelites LE S. ALE S2U.

Cotta anymentor for the off hace pure do the parcelle per aret. strates there are no clearly as bearing bearing alless and other of the

Fig. 19: Variation des taux d'éléments totaux et du pH en fonction au constitutes? de la profondeur.

Sols hydromorphes a pseudo-gley. Constantine out the Control of Control -Lar name gentinaedra element and a est plan element of the little of the color of ture we plighus flowe en murface qu'es procéséeuns pt acte acua dissant, en constitute of the constitution of the constitu 4 - 5 6 1 0 - 2 - 4 - 6 - 8 - 0 - 1 2 3 4 5 6 16 0 2 - 4 1 2 pH KCI 19 1 . J. 41 assimilable 15. (x 10) total Fer total commether use 1/5 year of `orda Fer C . 11 30. 45. Jana Barto ్ అంద్నాలో ఓ చిబ్రిట్ 60. a) Profil DNN116, jachère récente tig al . In lange der gebar interiorische der proprint 5% das in an 4 পাছ 5 : জ 6 : পাঁ 0 বুলি 2 কে 4 বিষ্টা । এল প্রতিপ্রতি হুল উঠি এই বিষয়ে ০ পরিষ্ঠা বাংলা ৰ জ 0 cm. Percentional terms straight the ago, Phosphore 3 Phosphore (1911) Fer total 15. (x 10) 🖟 échangeables . Fer libre 30. grand the fifther 45. Lear profilially analymiquel of our groupe Mane 12 foot b) Profil DNS617, Parcelle NS6, cultivée (3 ans) 60.

rand on the deale good field WMI labely (0,0 o IOM Higher A.A o don High.

induit une faible augmentation de leur pH. Il est passé à 5,0 (pH eau) et 4,3 (pH KCl), après 3 années de culture, profil DNS 617 (TABLEAU cidessous).

			in 116	naphat.	that exis		e 3 ans	
Profondeur	0-15	15-30	•	† ;	####15" 7 0~1 5"	27 5 97		40-60
pH eau	4,9	4,8	4,6	4,7	5,0	5,0	5,6	5,5
pH KCl or only	4,0	4,0	4,1	4,0	74°, 3 ⁻⁰	×4,3	4,7	4,6
Ca	Ö,45	0,45	0,6	1,20	2,55	2,55	3,30	1,05
S (0.25%) with 1	0,95	1,12	0,96	2,02		3,27	4,20	1,94
T	12,0	4,5	4,25	10,75	1	11,0	10,0	5,0
v	8	25	22	19	30	30`.	42	39

Le complexe absorbant est caractérisé par S faible, T élevé (en surface) et un taux de saturation bas, 8 % sous jachère et 30 % sous culture. V a presque triplé en trois ans. La variation du pH en fonction de la profondeur est aussi très faible dans chacun des deux profils, TABLEAU ci-dessus-et FIGURE 19:

Pour le témoin (DNN 116), on aurait une baisse avec la profondeur, alors que sous parcelle cultivée ce serait plutôt l'inverse.

Il ressort de tous ces résultats portant sur le pH et le complexe absorbant des trois types de sols étudiés les constatations suivantes:

- Sols ferrugineux tropicaux.

La dégradation de la structure des sols ferrugineux tropicaux sous culture à pu s'accompagner de pertes en bases échangeables par les-

sivage d'où une acidification du sol en surface et une augmentation du pH en profondeur. cette acidification semble avoir atteint un palier à pH 4,9 après 4 années de culture. Cette évolution du pH est mise en évidence dans le TABLEAU ci-dessous, en faisant la différence entre la valeur de pH la plus élevée dans les horizons cous-jacents et celle de l'horizon de surface.

Témoin CJB 010	Après 2 ans BYE 171	Après 3 ans CBW 114		Après 5 ans CJB 111
	(5,2) - (5,2)	(5,7)-(5,2)	pH pH (6,0)-(4,9)	
= -1,8	= 0	= 0,5	= 1,1	= 1,14 (e)

Les pertes en calcium et en magnésium sont les plus importantes. Le test statistique de corrélation de rangs de SPEARMAN montre que le pH est en corrélation significative avec plusieurs variables dont V, S et la matière organique (TABLEAU V - CHAPITRE III).

- Sols peu évolués at hydromorphus.

......

Par contre, mis à part l'effet dépressif irrémédiable intervenant dès les premières années d'ouverture du sol, la culture continue de la canne à sucre sur les sols peu évolués et sur les sols hydromorphes, telle qu'elle est menée à BEREGADOUGOU, tend à améliorer leur structure en surface (baisse de Is). Après quatre années de culture pour les premiers et trois pour les seconds, le pH a augmenté sensiblement, le complexe absorbant s'est plus saturé, V passant du simple au triple (sols hydromorphes) et de 65 à 100 % (sols peu évolués,

3.3.2. "Bases totales" : réserves agronomiques.

Salter Control of Later Control of the Control of Contr

They describe that they arrest the Killer of the they resemble the fi

Il s'agit des réserves agronomiques du sol en cations Ca++,

Mg++, K+ et Na+, nommées improprement "bases totales" (B.T.). Leur extraction est faite à l'acide nitrique concentré et bouillant en maintenant l'ébullition pendant cinq heures (Voir Méthodologie). Ces cations, très stables dans les sols, sont susceptibles de passer à long terme à l'état assimilable par les plantes. Les résultats d'analyse, TABLEAUX (VI (a), VI (b), VII et VIII), montrent que dans les sols étudiés, K+ et Mg++existent sous la forme de cations de réserves essentiellement. Les rapports K+ échangeables/K+ de réserve et Mg++ échangeable/Mg++ de réserve sont dans la plupart des 15 profils (horizons de surface), inférieurs à 0,10 et à 0,20 respectivement.

Inversement, le calcium existe principalement sous la forme échangeable. La valeur 27,8 m.é. de Ca²⁺ pour 100 g. de sol (TABLEAU VII profil ABW 541, 0-20 cm) est anormale (pollution de l'échantillon d'analyse).

Les teneurs en Mg²⁺ de réserve sont relativement élevées dans les horizons de profondeur et notamment dans les sols peu évolués où elles sont souvent supérieures à 10 m. é./100 g. de sol. Dans les sols ferrugineux tropicaux, elles sont inférieures à cette valeur.

Dans l'ensemble, on observe une variation brutale de la teneur en ce cation entre l'horizon de surface et les horizons sous-jacents, sous savane et sous culture.

Dans le sol hydromorphe, le phénomène d'hydromorphie fait que la teneur en Mg⁺⁺ est plus élevée dans l'horizon de surface que dans ce-lui consécutivement sous-jacent.

Les teneurs en Ca²⁺ de réserve varient très peu de haut en bas des 15 profils de sol étudiés. Quant au Na⁺ de réserve, les teneurs mesurées sont souvent inférieures à 2 m.é./100 g. de sol.

Dans l'ensemble, les réserves agronomiques en bases n'ont quantitativement pas varié sous culture de canne à sucre, comparativement aux témoins sous jachères. On peut en déduire que la fertilisation (fumure d'entretien) et la matière organique fraîche (racines et feuilles de canne) couvrent les besoins de bases des plantes cultivées. D'après BASSEREAU (1978), les essais réalisés à BEREGADOUGOU ont montré que la canne exporte jusqu'à 1,5 kg de K₂0/tc (+), ce qui est énorme. On admet généralement que pour la canne à sucre, DABIN (1970), le seuil absolu au-dessous duquel il existe un besoin intense pour le potassium est de 0,1 m.é. pour 100 g. et moins de 2 % de (S) - sorme des bases échangeables - en valeur relative. Les essais réalisés avec des engrais

cette dernière renferme en moyenne 4 % de K₂0, BASSEREAU (1977) - n'ont pas été suivies d'effet. Comme l'ont montré COLMET DAAGE et al. (1966/a), la canne à sucre peut présenter une consommation de luxe pour le potassium, la potasse exportée se retrouvant en effet dans les jus en fortes quantités. Ceci pourrait expliquer en partie que les essais de fertilisation potassique réalisés jusqu'ici, soient sans réponse.

^(+) Tonne de canne.

⁽⁺⁺⁾ résidu, sirupeux, cristallisé de sucre.

.3.3.3. Azote total.

Les sols sont très souvent carencés en azote. Pourtant, cet élément est primordial dans l'alimentation de la plante. Sa principale source dans le sol est la décomposition de la matière organique. De plus, le sol ne le fixe pas. Il faut donc en apporter directement à la plante sous forme d'engrais minéraux. Il n'est donc pas étonnant que le problème de fertilisation azotée soit l'une des préoccupations essentielles de l'agronome. De très nombreux travaux ont été consacrés à l'étude de la fertilisation azotée. Que ce soit en milieu tempéré ou sous climat tropical, on a abouti aux conclusions générales selon lesquelles, dans un sol cultivé, le taux d'azote total est fonction de la texture, des apports d'azote organique (fumier, amendements, etc...) et minéral (engrais chimiques), et du taux de minéralisation de la matière organique LIBOIS (1968), DECAU (1968), MAGDOFF (1978).

Pour les cultures annuelles, on peut inclure dans la rotation le Stylosanthes gracilis, légumineuse qui permet, par ses nodosités, de fixer l'azote atmosphérique. Des essais ont prouvé qu'un précédent de Stylosanthes gracilis apporte au sol l'équivalence de 100 Kg N/ha. COLMET DAAGE et al . (1966/a et b) ont montré l'importance de l'azote dans la production de la canne à sucre. Ils ont étudié notamment les effets d'une fumure azotée croissante sur les éléments minéraux (phosphore, potassium, magnésium et calcium) en concentration dans les jus de canne.

Les essais de fertilisation azotée réalisés à BEREGADOUGOU ont montré BASSEREAU (1975, 1977, 1978) qu'une fumure d'entretien de 160 Kg N/ha est nécessaire. Cette dose doit être apportée aux repousses aussitôt après la coupe, en une seule fois, car l'on a constaté quelquefois un effet dépressif sur le rendement lorsque cet apport est fractionné.

Dans tous les profils étudiés, la variation du taux d'azote total avec la profondeur est parallèle à celle du carbone total (voir plus loin FIGURES 23 (a), 23 (b), 24 et 25).

La fumure d'entretien, 160 Kg N/ha/an en moyenne, permet de maintenir un taux plus élevé d'azote en parcelles cultivées que sous jachères, tableaux VI (a), VI (b), VII et VIII. Cette différence est très faible parfois et il arrive que dans l'horizon (0-10 cm) ou (0-20 cm) sous jachères, le taux de l'azote soit supérieur à celui de l'horizon correspondant sous parcelles cultivées (PROFILS DNN 116 1,54 °/oc témoin, et DNS 617 1,08 °/oc cultivée 3 ans) puis CJB 010 témoin 0,35 °/oc et CJB 111 cultivée 5 ans 0,23 °/oc. Dans cette dernière parcelle, la plus ancienne de toutes, la teneur en azote est plus élevée à moyenne profondeur (40-60 cm) 0,39 °/oc qu'en surface 0,23 °/oc. Il est possible qu'une partie de l'azote apportée par la fumure soit entraînée en profondeur.

3.3.4. Phosphore total et Phosphore assimilable.

Le phosphore a une grande importance en tant qu'élément nutritif des plantes. Sa fréquente carence sous forme assimilable dans les pays tropicaux fait qu'il est l'un des principaux éléments de base de la fertilisation.

Il est prélevé par les racines sous forme d'ions phosphatés PO₄³⁻ (en sols acides) et (P O₄²⁻) (en sols alcalins). Le phosphore peut être dissout dans la solution du sol (il est alors immédiatement disponible); il peut être absorbé sur le complexe absorbant (réserve "échangeable"); il peut être lié à la matière organique (dans ce cas il est réintroduit dans le pool alimentaire par minéralisation progressive de la matière organique, ou bien il forme avec les acides humiques et le calcium, des composés phospho-humiques, lesquels le libèrent lentement aux végétaux.

Selon BASSEREAU (1978), l'exportation du phosphore mesurée en poids de P₂O₅ (anhydride phosphorique) par la canne à sucre à BEREGADOU-GOU est en moyenne de 0,4 à 0,6 Kg de P₂O₅/tc. A partir de ces pertes on peut estimer la quantité d'engrais à apporter comme fumure d'entretien. Cette dernière fumure est

différente de la première (CHAPITRE I) qui est appelée "fumure de redressement". Cette dernière correspond à de gros apports d'éléments pouvant être fixés .par le sol (tel le phosphore), qui constituent un véritable investissement pour accroître le potentiel de fertilité du sol. Le contrôle continu de l'état nutritif du sol permet d'apporter par la suite ce qui est juste nécessaire aux plantes. La méthode la plus répandue aujourd'hui pour l'étude des carences du sol étant celle de CHAMINADE (1964). C'est ainsi que BASSEREAU propose pour la fumure d'entretien à BEREGADOUGOU, 100 kg de P₂ 0₅, 150 kg d'azote/ha (en une seule fois) et 60 à 80 kg de k₂ 0/ha. Pour ce dernier élément, il arrive qu'il soit apporté au sol par l'eau d'irrigation en y faisant dissoudre la mélasse de canne.

Du fait de la funure de redressement et des fumures d'entretien, ces sols sont bien pourvus en Phosphore total et assimilable. Dans les parcelles cultivées, le taux moyen de P₂ 0₅ total est de 276,6 p.p.m. dans les sols ferrugineux tropicaux, 484 p.p.m. dans les sols hydromorphes et de 206 p.p.m. dans les sols peu évolués.

Sous jachère, le taux de Phosphore total dans l'horizon de surface est de 148 p.p.m. (ABW 031) sols peu évolués, 240 p.p.m. (CJB 010) sols ferrugineux tropicaux, et 618 p.p.m. (DNN 116) sols hydromorphes. La teneur élevée de cet élément dans ces derniers sols est due à la richesse en matière organique. Le Phosphore assimilable existe en traces sous jachères (1 p.p.m.) en moyenne (excepté les sols hydromorphes). Il augmente considérablement en parcelles cultivées où la plus faible teneur mesurée de l'horizon de surface est 11 p.p.m. P₂ 0₅ assimilable varie beaucoup dans le profil alors que P₂ 0₅ total l'est très peu (FIGURES 17 (a), 17 (b), 18 et 19).

Le test statistique fait apparaître que le Phosphore n'est pas en corrélations significatives avec la plupart des variables choisies. Les coefficients "r" les plus élevés ont été obtenus entre :

⁻ P_2 O_5 total et AFL r = 0.57

⁻ P_2 0 assimilable et le rapport AF/Humine r = 0.50

3.3.5. Fer total et Fer libre.

L'importance des composés du fer et de leurs formes dans les sols rouges sur sables et sur grès d'Afrique occidentale, dont ceux de la région Ouest-Sud de la HAUTE-VOLTA a été soulignée par FAUCK (1972, 1974).

Dans la fraction < 2 mm (terre fine) des sols ferrugineux tropicaux étudiés, le fer libre représente environ 70 % du fer total. Dans les
horizons de surface, les quantités de fer total (HCl) varient de 1,0 à
4,5 %. C'est dans les horizons profonds qu'elles avoisinent les 10 %, TABLEAUX VI (a), VI (b), FIGURES 17 (a), 17 (b). Dans les parcelles cultivées,
les horizons de surface sont plus appauvris en fer que leurs homologues sous
jachères. L'entraînement du fer en profondeur est facilité sous culture
(voir plus loin, étude qualitative de la matière organique). Les taux de
fer libre et total sont, dans l'ensemble, plus élevés dans les sols
peu évolués que dans les précédents et leurs variations dans le profil
sont très faibles.

Quant aux sols hydromorphes, les phénomènes d'oxydo-réduction (hydromorphie) rendent très variables ces taux.

Pour ces deux derniers types de sols, les résultats figurent aux TABLEAUX VII et VIII et sont représentés graphiquement (FIGURES 18 et 19).

Cette étude des caractères chimiques des sols cultivés de BE-REGADOUGOU montre qu'ils sont généralement pauvres au départ, mais non déséquilibrés en divers éléments de fertilité. La culture industrielle de la canne à sucre, avec une forte fumure de redressement (N, P, K) avant la plantation (vierges) et des fumures d'entretien (repousses) a accru le capital de fertilité de ces sols.

Les trois types de sols réagissent positivement d'une façon générale. Les FIGURES 20, 21 et 22 illustrent, pour chacun de ces sols, l'évolution en fonction du temps, des principaux caractères physiques, physico-chimiques et chimiques.

Fig. 20: Évolution en FONCTION DU TEMPS, de quelques caractères physico-chimiques du sol.
- culture continue de canne à sucre en SOLS FERRUGINEUX TROPICAUX.

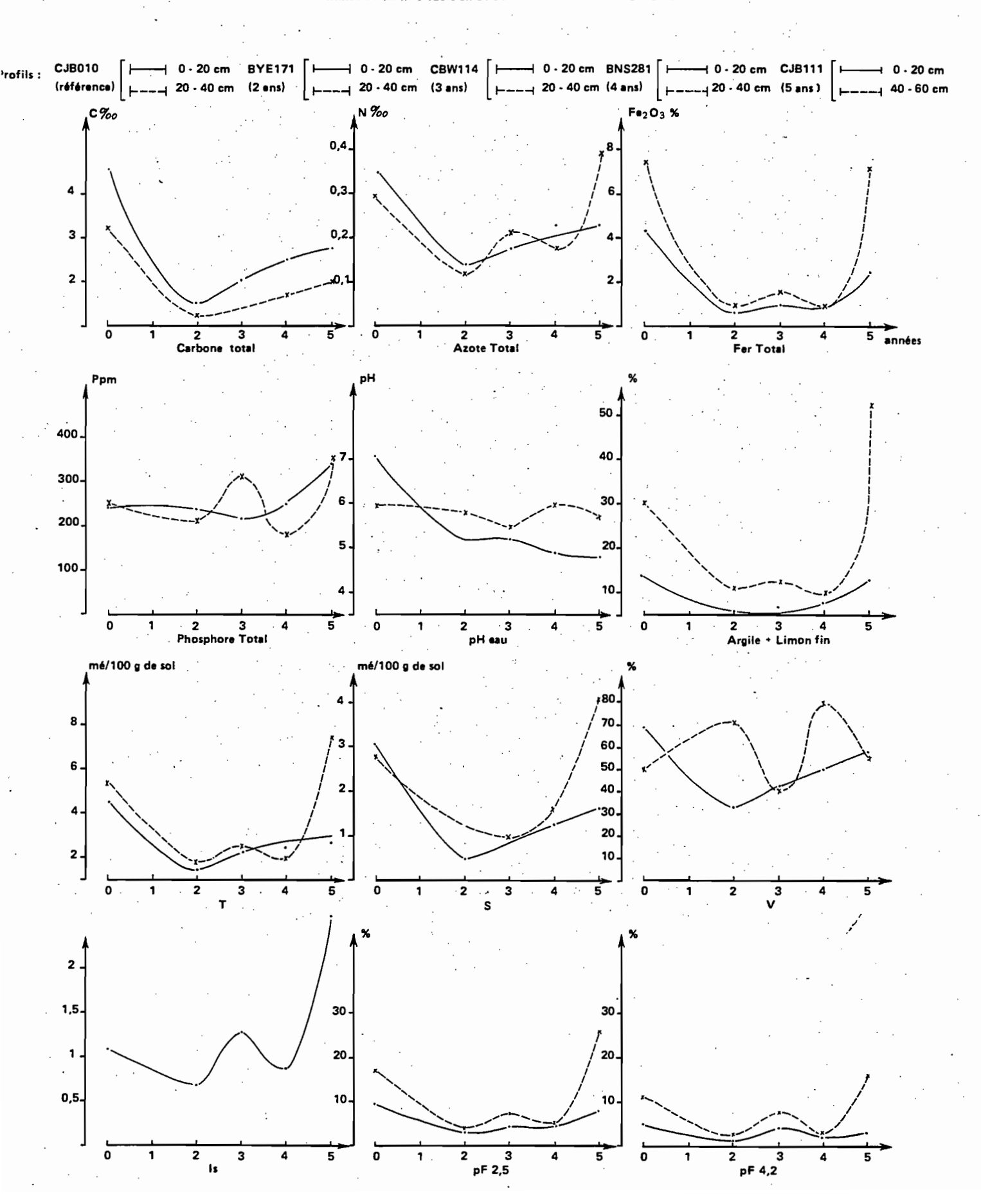


Fig. 21: Évolution en FONCTION DU TEMPS, de quelques caractères physico-chimiques du sol. - culture continue de canne à sucre en SOLS PEU ÉVOLUÉS

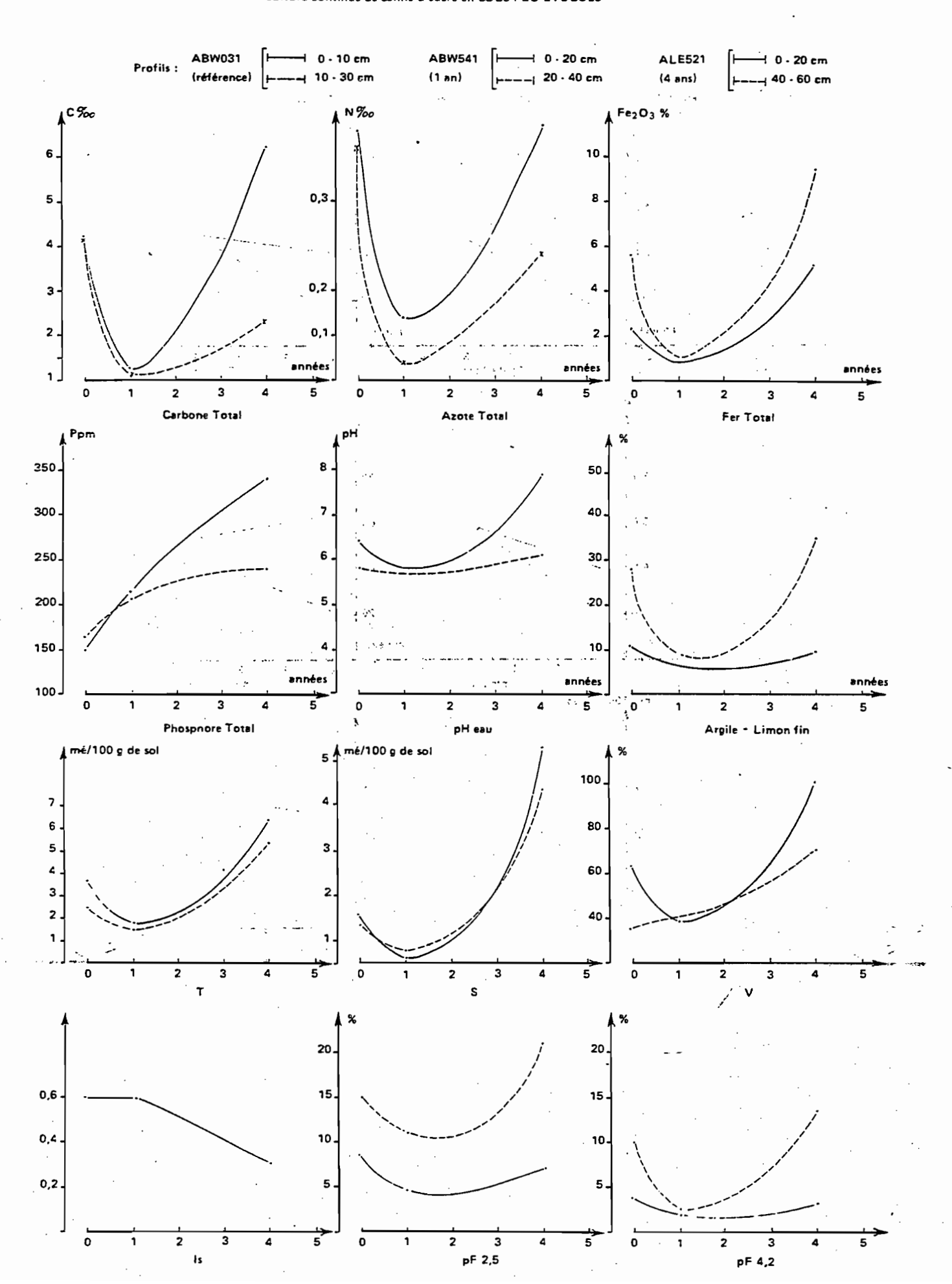
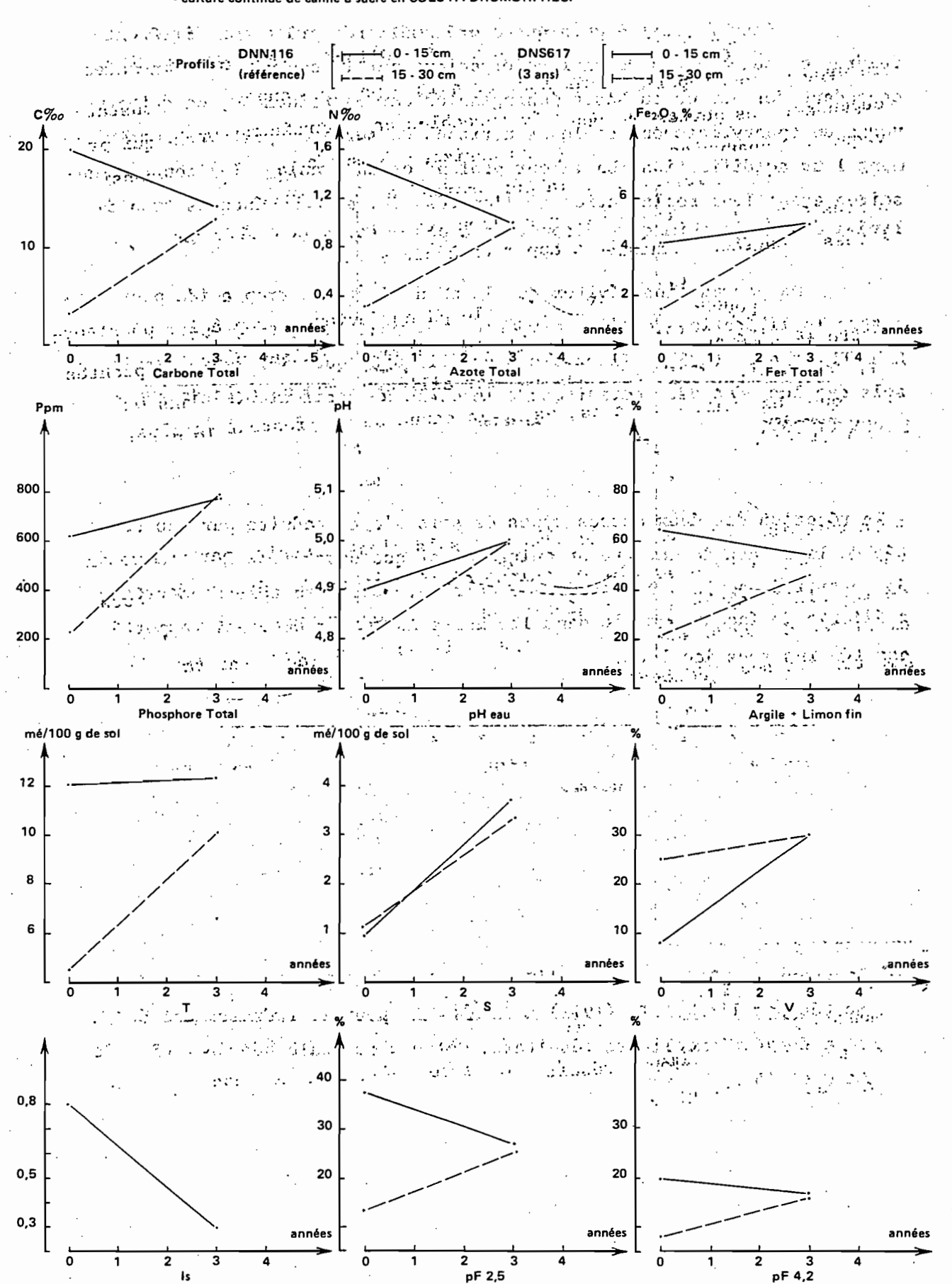


Fig. 22: Evolution en FONCTION DU TEMPS, de quelques caractères physico-chimiques du sol.
- culture continue de canne à sucre en SOLS HYDROMORPHES.



- Sols ferrugineux tropicaux.

Leur fertilité chimique a été améliorée grâce aux différentes furuires et aux apports de matière organique par la canne. On y constate cependant des pertes en bases échangeables par entraînement, ce qui provoque un appauvrissement de leurs horizons de surface, puis progressivement leur acidification. Un labour profond et un chaulage (+) sont nécessaires avant leur replantation si l'on veut éviter des dépenses trop élevées d'engrais chimiques à apporter à ces sols.

On pourra ainsi éviter que le pH ne devienne trop acide pour permettre la libération de l'ion aluminium, élément toxique pour les plantes LEMAIRE et al. (1960). Il semble, par ailleurs, que ce soit dans ces sols que les nématodes parasites de la canne se manifestent le plus, MERNY (1979).

- La réaction des deux autres types de sols s'est traduite par une remontée de leur taux de matière organique ainsi que des différents facteurs de fertilité, après 3 à 4 années de culture. L'eur structure a même été améliorée de façon sensible dans les horizons de surface, par rapport aux témoins sous jachères.

⁽⁺⁾ La chaux de TIARA (30 Km à 1'Ouest de BOBO-DIOULASSO) a été expérimentée par 1'I.R.A.T. (1972) à FARAKO-BA, pour le redressement de pH et a donné d'excellents résultats. Cette chaux calcinée dose 45 % de Ca O et 45 % de Mg O.

4. EVOLUTION DE LA MATIERE ORGANIQUE.

4.1. Généralités.

On désigne généralement par matière organique du sol, l'ensemble des débris végétaux (principalement) et animaux, frais ou plus ou moins décomposés, ayant contracté plus ou moins des liaisons avec la fraction minérale de ce sol. Sous l'action des microorganismes, la matière organique est transformée et une partie libère des produits minéraux solubles ou gazeux (CO₂, NH₄, NO₃) au cours d'un ensemble de phénomènes appelé "LA MINERALISATION". L'autre partie va donner des produits colloidaux organiques complexes, de teinte brune ou noire, qui minéralisent plus lentement que les premiers. Ces produits organiques sont habituellement comus sous le vocable d'HUMUS et l'ensemble des processus de biodégradation et de biosynthèse conduisant à son obtention, constitue l'HUMIFICATION. L'humus peut à son tour se minéraliser et donner des produits minéraux solubles ou gazeux. DUCHAUFOUR et al. (1975) définissent l'humification comme étant la transformation biochimique de la matière organique.

On ne désire pas faire un historique complet des études concernant l'humification, mais se limiter à celles qui traitent d'un sujet comparable à celui de l'étude considérée, à savoir l'évolution de la matière organique dans les sols tropicaux sous culture.

Plusieurs travaux ont été consacrés à ce sujet. On peut citer entre autres ceux de DE BOISSEZON (1962) et MARTIN (1970) dans la Vallée du NIARI au CONGO, GODEFROY (1974) en COTE D'IVOIRE, DOMMERGUES (1956), FAUCK et al. (1969), SIBAND (1974) et DIATTA (1975) en CASAMANCE puis FELLER et al. (1977) dans la région des Terres Neuves, au SENEGAL ORIENTAL.

Parmi les résultats des différentes études, un fait se dégage d'une manière générale, à savoir qu'on assiste, au cours des premières années de mise en culture, à une plus ou moins forte baisse du stock de carbone organique, quels que soient les sols envisagés. Par contre, les années suivantes cette évolution dépend essentiellement des techniques culturales.

4.2. Etude quantitative de la matière organique

Land Control of the C

Carbone total, Azote total et C/N

Les trois caractéristiques de la matière organique : carbone organique total, azote total et le rapport C/N ont été déterminées suivant la méthode coulométrique pour C et la méthode Kjeldahl pour N (CHAPITRE III).

Les résultats figurent aux TABLEAUX VI (a), VI (b), VII et VIII en ANNEXE II. Leurs variations quantitatives dans le profil sont représentées graphiquement (FIGURES 23 (a), 23 (b), 24 et 25.

On a voulu aussi montrer, par cette représentation graphique, les variations de ces caractéristiques sous les influences nouvelles dues à la culture, en comparant profils témoins et profils de parcelles d'âge différent, comme indiqué dans l'introduction du CHAPITRE IV.

Excepté le profil DNN 116 - sols hydromorphes - (voir plus loin), les taux de carbone organique et d'azote total diminuent avec la profondeur et avec eux le rapport C/N. On observe cependant un ventre peu important mais non négligeable de C et N vers 15-30 cm dans les profils témoins (FIGURE 23 (a), CBW 013; FIGURE 24, ABW 031).

Par contre, dans certains profils de sol cultivé, ce ventre apparaît très nettement vers 60 cm (FIGURE 23 (b), BNS 281; FIGURE 23 (a), CJB 111; FIGURE 24, ABM 541). Ces variations de C et N sont liées à celles

Fig. 23(a): Variation des taux de C, N et du rapport C/N en fonction de la profondeur

Sols ferrugineux tropicaux

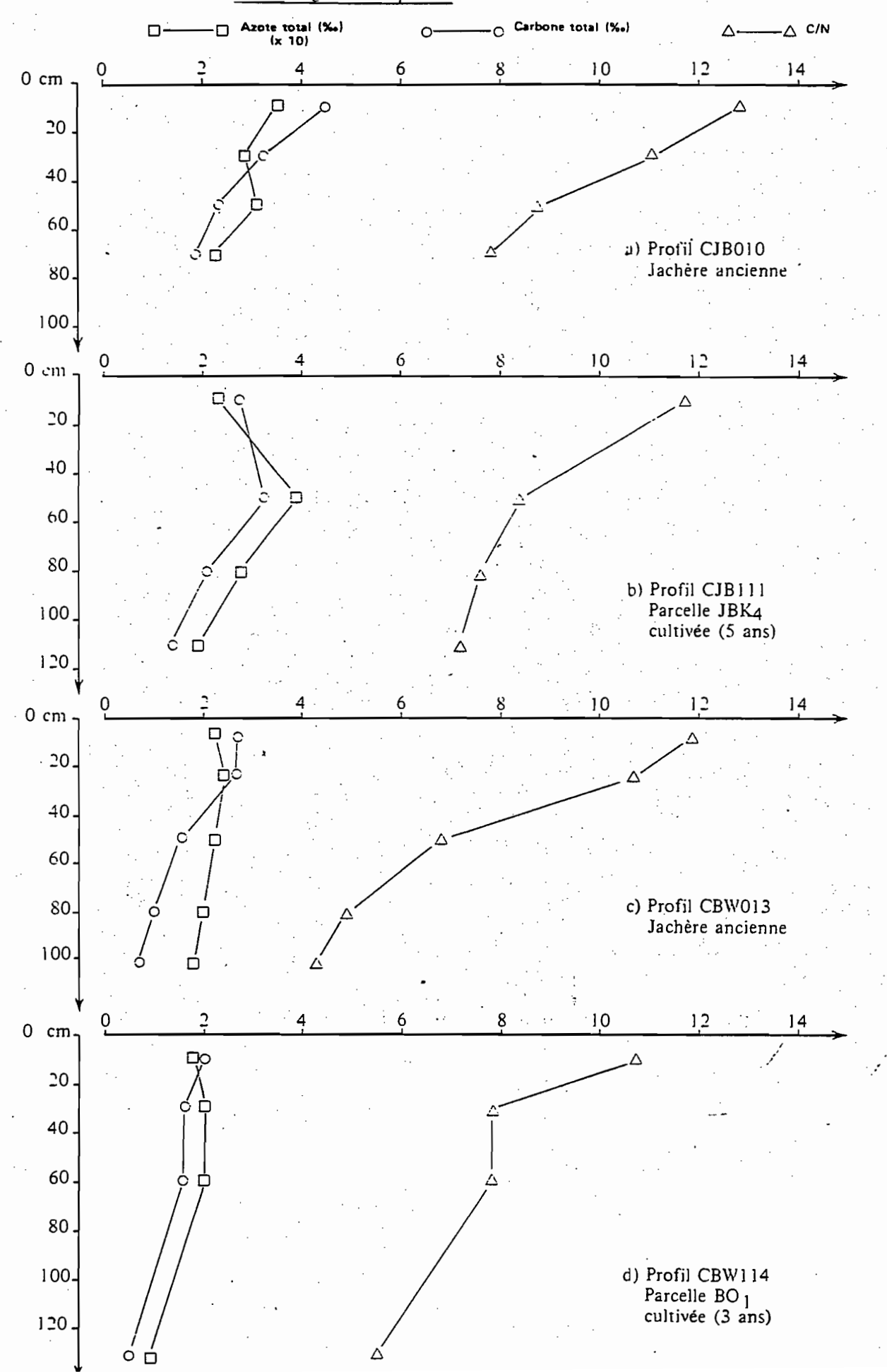


Fig.23(b): Variation des taux de C, N et du rapport C/N en fonction de la profondeur.

<u>Sols ferrugineux tropicaux</u>

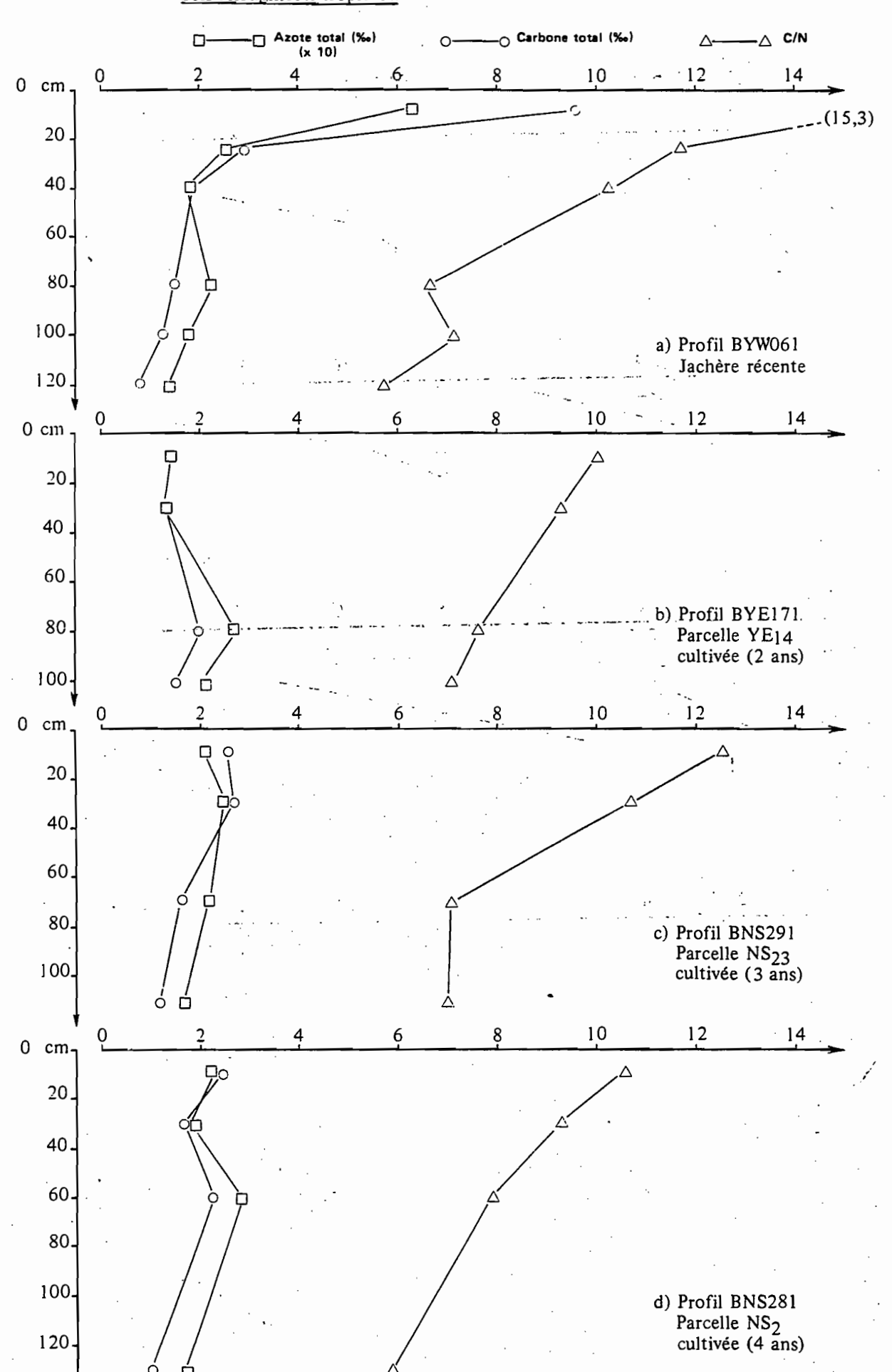
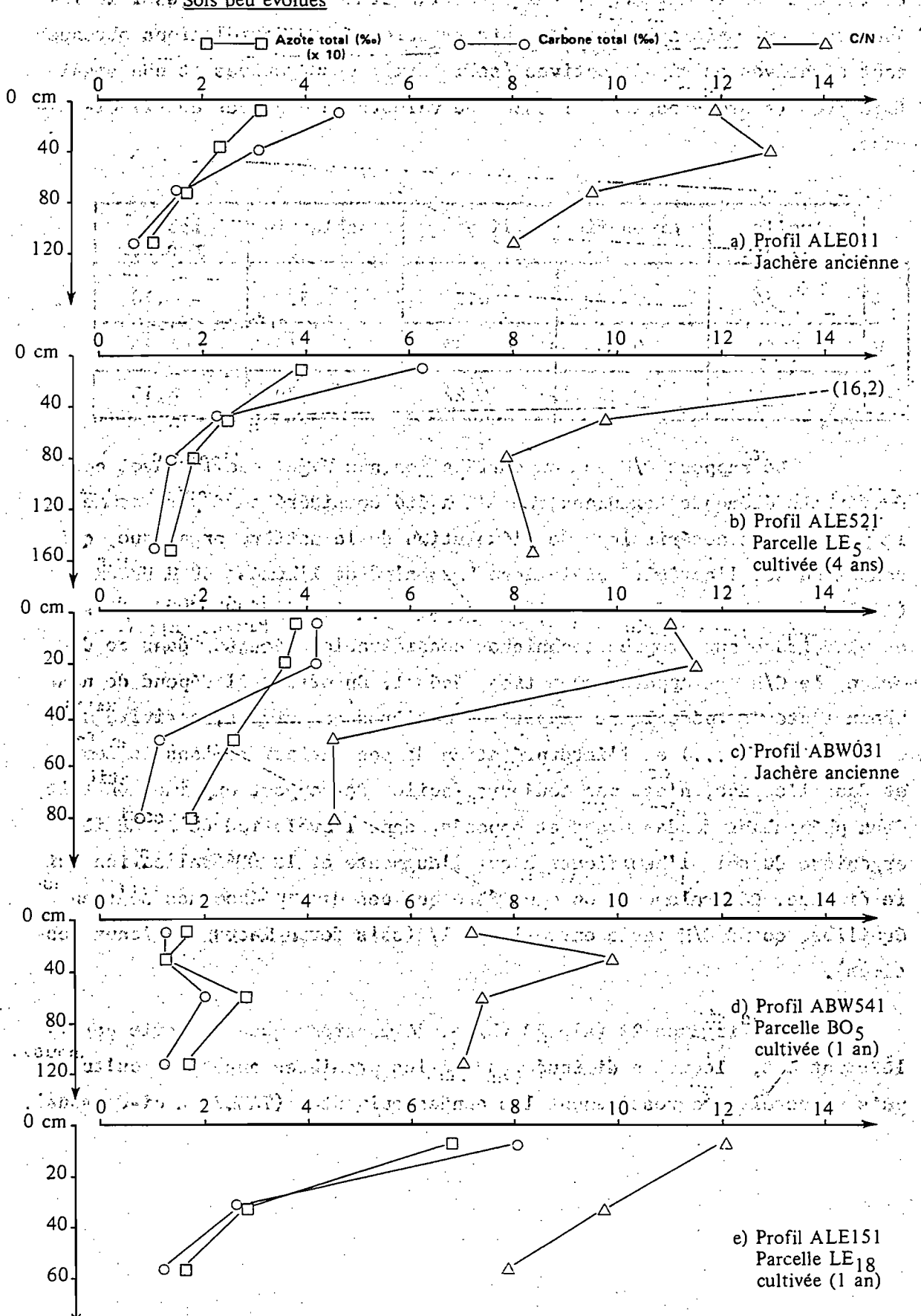


Fig. 24: Variation des taux de C, N et du rapport C/N en fonction de la profondeur Sols peu évolués

an en en en fill greit de la comparie de la compari



de la texture et les résultats du test de SPEARMAN sont très significatifs : il existe des corrélations positives significatives entre ces deux caractéristiques de la matière organique et les éléments fins et aussi le limon grossier; mais avec les éléments grossiers, les corrélations obtenues sont négatives et significatives (sable fin), et négatives et non significatives (sable grossier), TABLEAU de valeurs respectives de (r) ci-dessous.

	Argile	Argile Limon fin		sable fin	sable grossier	
С	· 0,5‡	0,63	0,56	- 0,59	- 0,18	
N	0,65	0,73	0,58	- 0,61	- 0,25	
C/N	0,02	0,26	0,22	- 0,29	0,10	

Le rapport C/N est en corrélation non significative avec ces différents éléments texturaux. Le C/N a été considéré au départ comme la première caractéristique de l'évolution de la matière organique, qui renseigne sur l'activité biologique "globale" de l'humus, DUCHAUFOUR (1960). Avec les études de matière organique qui se précisent de plus en plus grâce aux progrès techniques considérables réalisés dans ce domaine, le C/N est apparu comme trop général. En effet, il dépend de nombreux facteurs (pédoclimat, apport de matières organiques, activité microbienne, etc ...) et l'interprétation de ses variations dans le temps et dans l'espace, n'est pas toujours facile. Ce rapport exprime, en fait, deux phénomènes fondamentaux et opposés, dans l'évolution de la matière organique du sol, l'humification qui l'augmente et la minéralisation qui le diminue. Généralement, on considère que ces deux phénomènes sont en équilibre quand C/N varie entre 15 et 17 (sols ferrugineux tropicaux lessivés).

Les figures 23 (a), 23 (b) et 24 montrent que C/N varie parallelement à C, lequel a diminué pendant les premières années de culture, puis s'accroît progressivement les années suivantes (TABLEAUX ci-dessous). Le taux d'azote varie dans le même sens.

Sols ferrugineux tropicaux

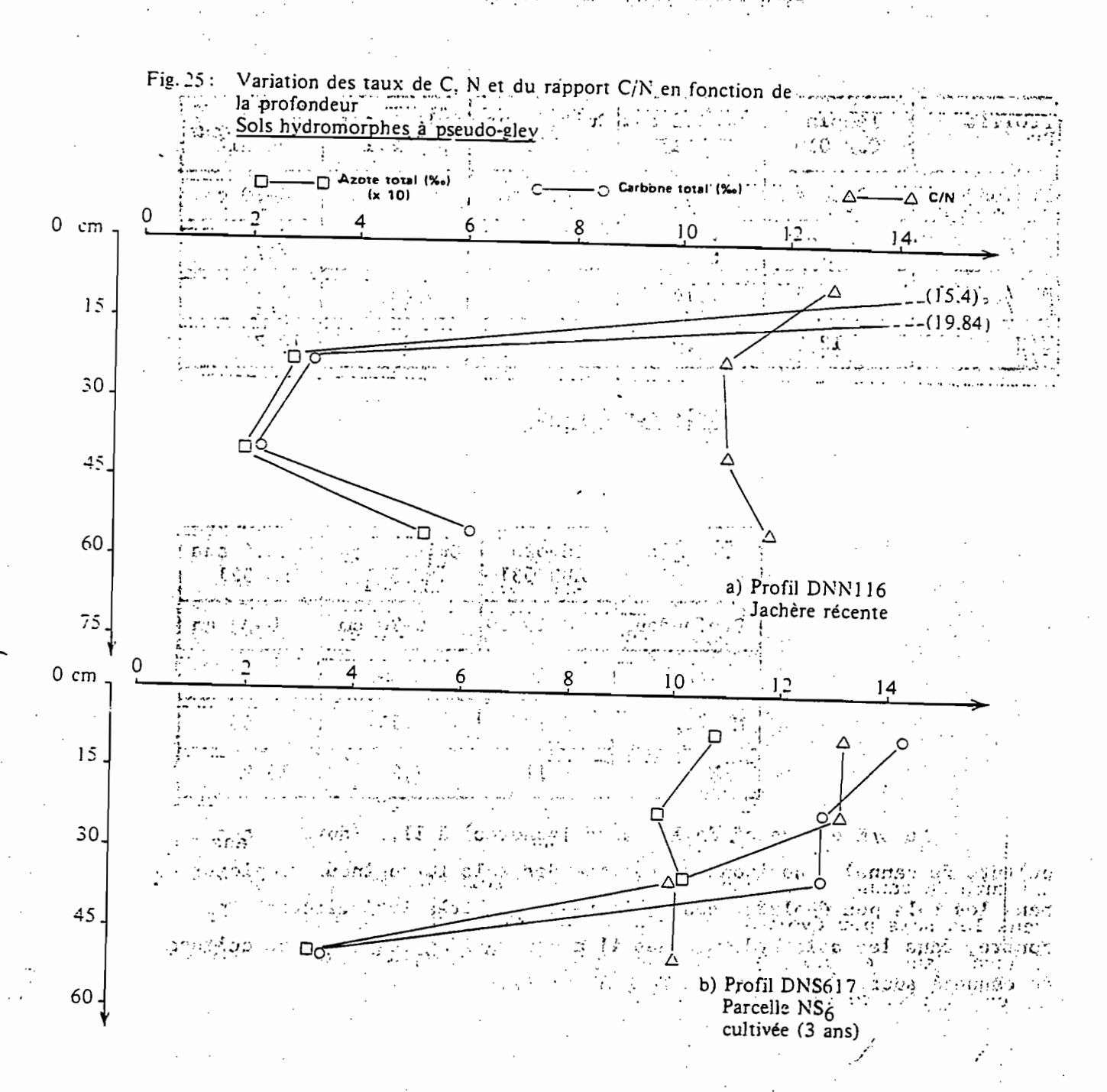
Profils	Témoin CJB 010	Cult.2 ens BYE 171	Cult.3 ans CBW 114	Cult.4 ans BNS 281	Cult.5 ans
Profondeur	0-20 cm	0-20 cm	0-20 cm	0-20 cm	0-20 cm
c °/	4,48	1,43	1,99	2,45	2,76
N /	0,35	0,14	0,18	0,23	0,23
C/N	12,8	10	10,7	10,5	11,7

Sols peu évolués

Profils	Témoin ABW 031	Cult. 1 an ABW 541	Cult.4 ans ALE 521
Profondeur	0-10 cm	0-20 cm	0-20 cm
c °/	4,19	1,25	6,23
N '/	0,38	0,17	0,38
C/N	11	7,2	16,2

Le C/N est passé de 10 (sous jachères) à 11,7 (après 5 ans de culture de canne) - horizons de surface des sols ferrugineux tropicaux -. Dans les sols peu évolués, ses variations sont très irrégulières. Par contre, dans les sols hydromorphes il a peu varié après 3 ans de culture de canne à sucre (FIGURE 25 et TABLEAU VIII).

world rain of properties and relation of



4.3. Etude qualitative de la matière organique.

Dans les chapitres précédents, il est apparu que la baisse quantitative de la matière organique a entraîné une diminution de T, pH, stabilité structurale, etc ... Mais on a pu constater aussi qu'une remontée du taux de carbone organique les années suivantes ne s'est pas traduite nécessairement par une augmentation des taux des autres caractéristiques du sol. L'influence de la matière organique sur le sol, est certes fonction de sa teneur, mais elle dépend aussi, pour beaucoup, de sa constitution. Il est donc nécessaire de faire une étude qualitative de la matière organique.

4.3.1. Extraction et fractionnement de la matière organique.

Dans les Leboratoires de Chimie des sols des S.S.C. - ORSTOM de BONDY, les analyses portent très souvent sur de grandes séries de sols tropicaux (principalement); c'est pourquoi la méthode de DABIN (1971) encore connue sous le nom de méthode BONDY (voir schéma page suivante et CHAPITRE III), est basée sur la méthode de DUCHAUFOUR et JACQUIN (1966) à laquelle des simplifications et des variantes ont été apportées. La technique préconisée par ces chercheurs en 1966, consiste :

- Dans un premier temps à séparer, par densimétrie (méthode MONNIER et al. (1962), utilisant comme liquide de séparation un mélange d'alcool et de bromoforme de densité 1,8), les matières végétales peu décomposées.
- Dans un deuxième temps, à faire des extractions successives par des solutions alcalines sur la fraction légère (surnageant)
 - . à pH = 7 (pyrophosphate de soude + sulfate de soude);
 - . a pH = 9,8 (pyrophosphate de soude);

et sur la fraction lourde (culot)

. a pH = 7 (pyrophosphate de soude);

- . à pH 9,8 (pyrophosphate de soude)
- . à pH 12 (soude).

Ce qui distingue la méthode DABIN de la précédente est l'utilisation de H₃ PO₄ 2 M comme prétraitement à la place de la liqueur lourde organique. Quant aux autres opérations, elles sont très voisines (voir méthodologie et SCHEMA N° 1).

, Définitions des différentes fractions humiques.

On distingue généralement trois groupes de composés humiques, et l'humin. (H)
DUCHAUFOUR (1965): les acides fulviques (AF), les acides humiques (AH).
En 1970, le même auteur écrit, parlant des AF et des AH "... la distinction que l'on fait souvent entre eux apparaît quelque peu arbitraire.
Manifestement, ces deux composés n'ont pas de véritable unité chimique et il existe plusieurs variétés de propriétés différentes".

D'autres auteurs ont abouti à des conclusions similaires:

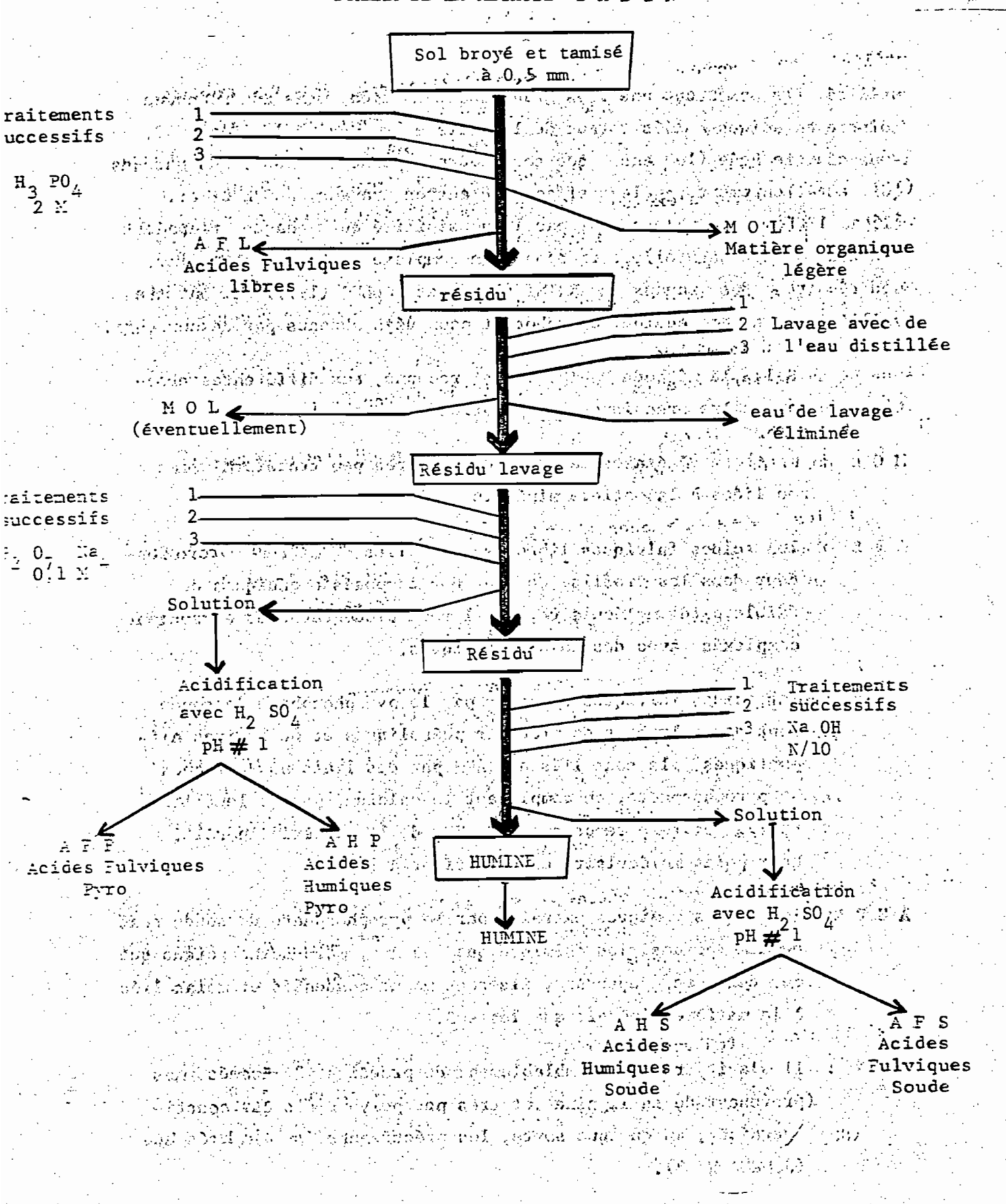
DABIN (1976) montre que selon le réactif d'extraction utilisé, pyrophosphate ou soude, les composés humiques ou fulviques extraits diffèrent quantitativement et qualitativement. Il se fonde sur le comportement différent de ces composés pour en expliquer la naturé différente.

Il indique par exemple que, dans les différents horizons d'un profil de sol, chacune des fractions obtenues par sa méthode, suit une évolution caractéristique (lessivage, dépolymérisation, polymérisation, etc ...)

qu'un appauvrissement du sol provoque une augmentation relative des

AFL et AFP et une diminution des AFS et de H.

D'autres auteurs, NEGRE et al. (1976), utilisant également le pyrophosphate et la soude comme réactifs d'extraction, effectuent sur chaque extrait (après purification), une étude biochimique poussée (détermination des amino-acides). Ils indiquent que les composés humiques extraits par la soude sont riches en tyrosine et arginine. Ils le sont en glycine et acide glutamique lorsque c'est le pyrophosphate qui est



H = Humine AF = AFL - AFP + AFS = acides fulviques totaux

<math>AHT = AHP + AHS = acides humiques totaux MHT = AF + AHT = matières humiques totales

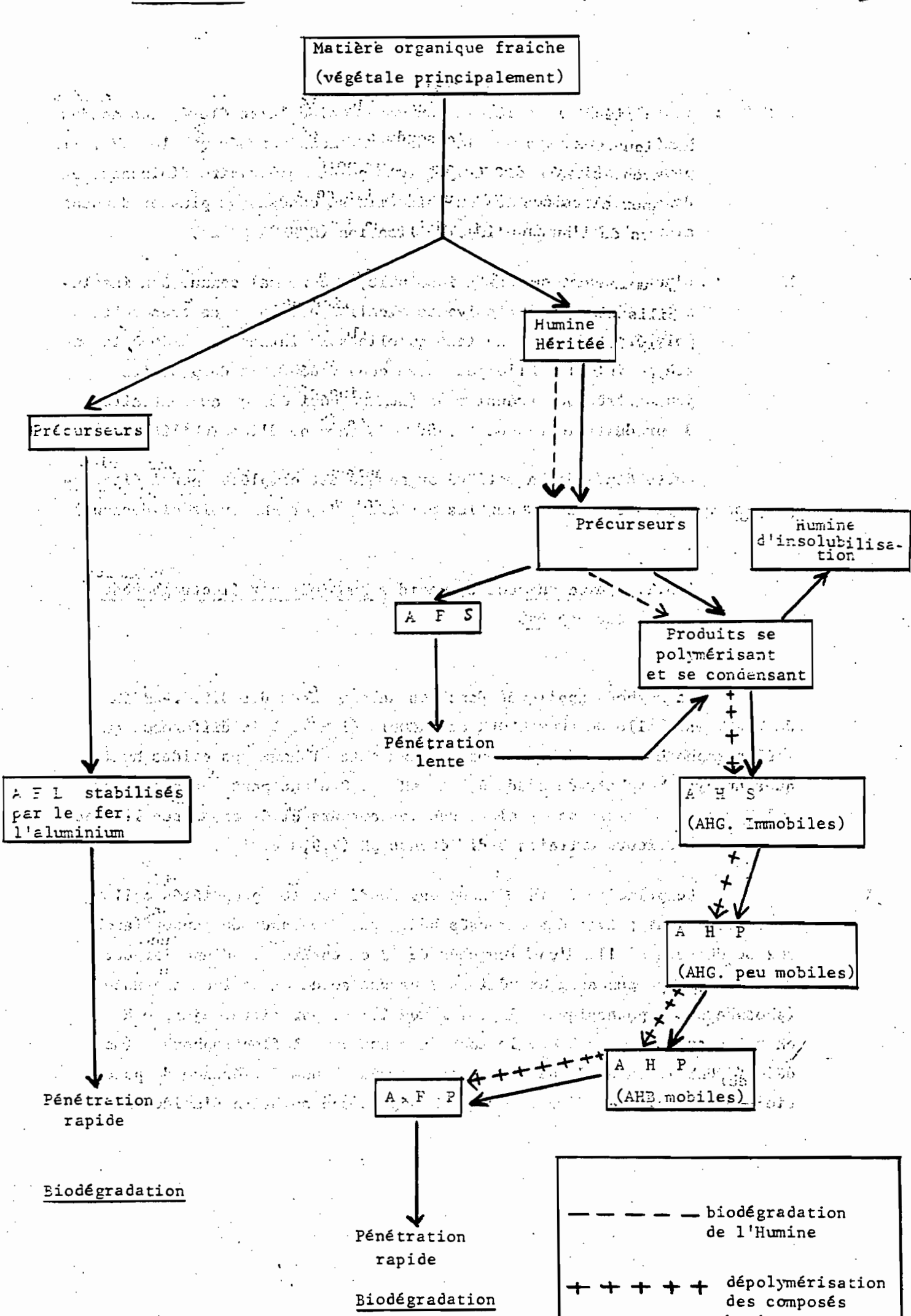
utilisé. Ils observent une plus grande condensation, mais une richesse moindre en acides aminés totaux de la matière humique de l'Horizon AC, sous cédraie âgée (100 ans), que sous cédraie jeune (30 ans). Ces auteurs qui, antérieurement, avaient effectué d'autres travaux, NEGRE et al. (1972, 1975), 1976) n'excluent pas la possibilité qu'à chaque groupement végétal (milieu naturel), corresponde un complexe humique particulier. Les résultats des travaux de ÁKRIMI (1977) et FALLEC (1977) qui ont travaillé dans la même-équipe, corroborent ceux déjà obtenus par ces auteurs.

Selon la méthode DABIN, il est reconnu, aux différentes fractions de la matière organique, les propriétés suivantes :

- MOL: matières végétales légères (d < 1) très peu transformées et non liées à la matière minérale.
- A F L : les acides fulviques libres sont mobiles et migrent en profondeur dans les profils. Ce sont des composés organiques de faible poids moléculaire, facilement biodégradables et souvent complexés evec des ions métalliques.
- A F P : les acides fulviques extraits par le pyrophosphate de soude sont des polymères de produits phénoliques et de chaînes aliphatiques. Ils sont liés aux AHP par des liaisons H lâches.

 Le pyrophosphate, en complexant le calcium, permet leur libération, en même temps que les AHP, de la matière minérale.

 Leur poids moléculaire est inférieur à 1.000.
- A H P les acides humiques extraits par le pyrophosphate de soude sont de même composition chimique que les AFP, mais moins acides que ces derniers. Cependant, ils sont moins condensés et moins liés à la matière minérale que les AHS.
- A F S : Il s'agit très vraisemblablement de produits peu transformés (provenant de la lignine) et très peu polymérisés qui constitueraient, en quelque sorte, les précurseurs des composés hu(SCHEMA N° 2).



minérale

\ ...

- A H S: Très liés à la matière et de poids moléculaire élevé, les acides humiques extraits par la soude sont moins oxydés que les AHP. Ils peuvent s'oxyder davantage, leur poids moléculaire diminuant, et donner alors des AHP; ou bien ils se condensent plus et donnent alors de l'humine d'insolubilisation (SCHEMA N° 2).
- H: L'humine est ce résidu insoluble, encore mal connu. Son insolubilisation dans les solvants alcalins est due à sa très forte polymérisation, et au fait qu'elle soit intimement liée à la matière minérale. Elle peut être constituée soit de produits jeunes très peu transformés (humine héritée) ou au contraire de produits fortement transformés (humine d'insolubilisation).

Cette étude de la matière organique est complétée par l'électrophorèse sur papier réalisée sur les extraits AHS et AHP (voir ci-dessous).

4.3.2. Fractionnement des acides humiques par électrophorèse sur papier.

La méthode appliquée dans les Laboratoires des S.S.C.-ORSTOM de BONDY est celle de DUCHAUFOUR et JACQUIN (1963), à la différence que l'électrophorèse est réalisée sur les extraits globaux des acides humiques au pyrophosphate de soude 0,1 M pH 9,8 d'une part, et à la soude 0,1 N pH 12 d'autre part, alors que les auteurs cités ci-dessus l'effectuent sur plusieurs extraits à différents pH (7,9,8 et 12).

Le principe de la méthode est fondé sur les propriétés colloidales électronégatives des composés humiques. Une bande de papier (arche 302 ou Whatman n° 1), d'une longueur de 40 cm environ et d'une largeur de 5 cm, trempe aux deux extrémités dans une solution saline tamponnée (phosphate monopotassique 6,8 g. + soude 1,5 g. par litre, ajustée à pH = 7,4 avec Na OH 0,2 N), le tout dans une cuve à électrophorèse (modèle "JOUAN"). La bande de papier est soumise à une différence de potentiel électrique (10 V/cm). Lorsqu'on dépose une solution d'acides humimiques sur cette bande, on observe une migration de l'humus de la carhode vers l'anode, les molécules d'humus jouant le rôle d'anions et la vitesse de migration dépend, dans les conditions optimales de l'expérience, de leur poids moléculaire et par conséquent de leur degré de polymérisation, et également de leur charge.

Deux taches distinctes d'acides humiques sont généralement observées, une de teinte grise près de la dépose correspond aux acides humiques gris (AHG), une autre de teinte brune correspond aux acides humiques bruns (AHB) et entre les deux, une zone d'un brun pâle correspond, par convention, aux acides humiques intermédiaires (AHI).

La densité optique (DO) de l'électrophorégramme est déterminée au densitomètre automatique D.I.4. La lecture est faite aux trois longueurs d'onde:

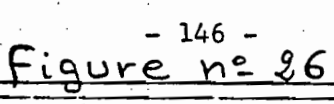
-	en	lumière	rouge	(LR)	625	nm
-	en	lumière	blanche	(TB)	610	nen
_	en	1umière	verte	(LA)	512	nm

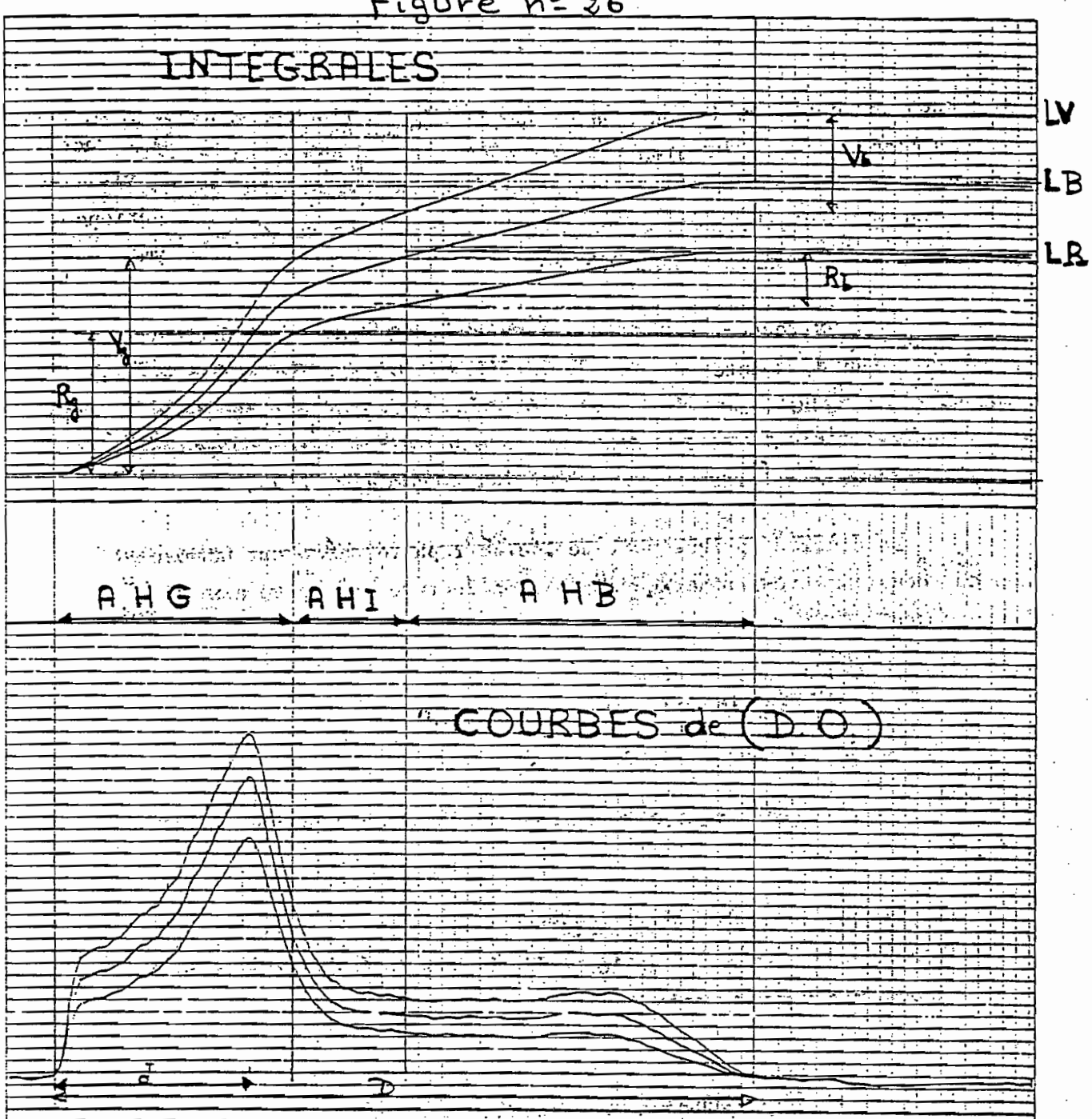
Le D.I.4 trace automatiquement deux types de courbes (FIGURE 26):

- les courbes de densité optique;
- les intégrales qui sont les courbes de l'intégration des surfaces des pics des fractions.

4.3.3. Fractionnement de l'azote de l'humine.

L'humine représente 50 à 60 % du carbone total dans les sols tropicaux de savane, DABIN (1979). Elle constitue, de ce fait, la fraction la plus importante de la matière organique. DUCHAUFOUR et al. (1975) distinguent trois types d'humine : l'humine héritée, l'humine d'insolubilisation et l'humine surévoluée.





RESULTATS:

ESULTATS:

$$R_b = 0,90$$
 $A + G = 60\%$
 $A + I = 13\%$
 $A + I = 1$

$$D = 11,2$$

Electrophorèse sur accid Pyro).

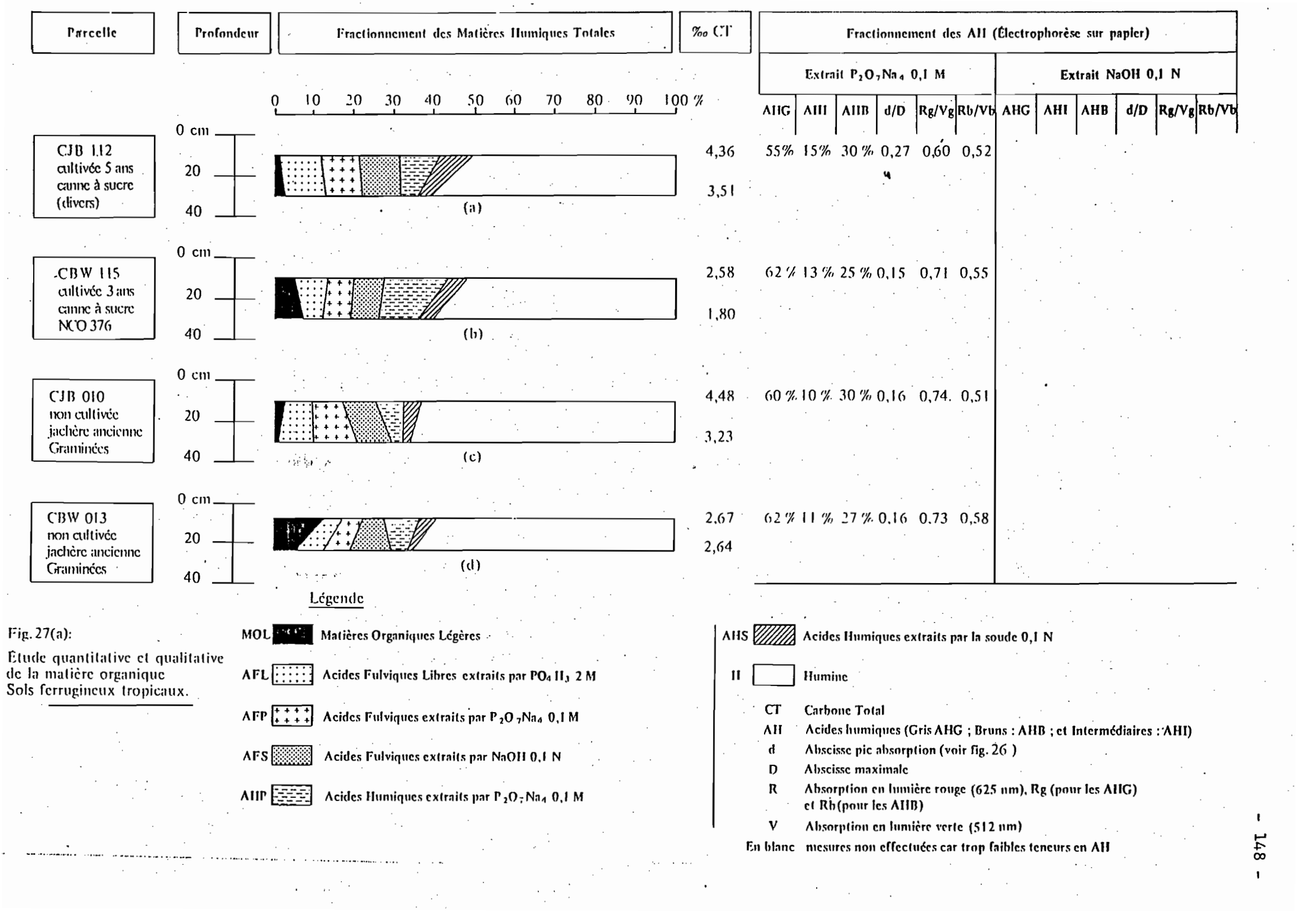
Courbes de clensité optiques et intégrales obtenues au D.I. 4.

ELECTROPHORESE

TABLEAU IX : Fractionnement de la matière organique. Echantillons composites (Profile agropédiques).,

Echantillons simples (Profile témoins). Résultats en %, (colonne de gauche) et % de C Total (colonne de droite).

Code Profil	Parcelle	n°Echantillon Profondeur	MI			FL :	A	FP	, Al	FS	٨١	IP g	٨	ıı,s ,	11		C Total
		77/ 0-20 cm	0,64	13,88	0,24	5,20	0.26	5,64	0,36	7,81	0,43	9,33	0,17	3,69	2,51	54,45	4,61
ALEOII	Témoin	78/ 30-50 cm	0,35	11,33	0,25	8,09	0,11	3,56	0,11	3,56	0,11	3,56	-				
	 			- -	<u> </u>	<u> </u>	ļ ·	├	+	 	<u> </u>		0,22	7,12 5,96	2,63	58,25 58,06	3,09 4,53
ALE522	LE ₅ (4ans)	11/ 0-20 cm 12/ 20-40 cm	0,05	1,10 6,30	0,29	6,40	0,30	6,62	0,44	7,41	0,55	6,66	0,04	1,48	1,83	67,78	2,70
	(4alis)		<u> </u>			ļ	<u> </u>	 	+ · · ·	 	<u> </u>		0.09	2,15	2,62	62,53	4,19
ABW031	Témoin	73/ C-10 cm	0,37	8,83	0,24	5,73	0,29	7,86	0,33	7,87	0,25	5,96	0,03	1,66	2,90	69,04	4,20
	PO.		<u> </u>		0,10		0,04	 		 	 	1	0,09	4,71	1,29	67,54	1,91
A8W542	80 ₅	47/ 0-20 cm 48/ 20-40 cm	0,05	2,62	0,10	5,23 7,04	0,02	2,09 1,41	0,06	4,93	0,28	16,20	0,07	,			
	-			<u> </u>				- 	-	<u> </u>	<u> </u>		0,07	10,90	0,90	63,38 36,57	5,14
ALE 152	LE ₁₈	52/ 0-20 cm 53/ 20-40 cm	0,11	2,14 7,03	0,49	9,53	0,59	11,48 5,47	0,69	4,69	0,82	6,64					
· · ·	(7811)		<u> </u>		-			<u> </u>	 	- ` -			0,71	7 70	1,77	69,14 · 55,98	2,56 9,61
BYW06 I	Témoin	58/ 0-15 cm	0,69_	7,18	0,29:	:3,01	0,53	5,51	0,72	7,49	1,29	13,42		7,38	5,38		
	· .	59/ 15-30 cm	0,12	3,95	0,02	0,66	0,53	17,43	Traces	-	0,88	28,95	traces	· • • · ·	1,48	48,68	3,04
BYE172	YE 14	41/ 0-20 cm	0,07	3,59	0,13	6,66	0,12	5,16	0,12	6,15	0,33	16,92	0,12	6,15	1,06	54,36	1,95
	(2ans)	42/ 20-40 cm	0,06	4,72	0,04	3, 15	Traces	1.	0,02	(1,57	0,16	12,60	traces	-	0,97	76,38	1,27
BNS 282	NS ₂	17/ 0-20 cm	0,09	3,53	0,22	8,63	0,15	5,88	0,21 1	8,23	0,35	13,72	0,15	5,88	1,38	54,12	2,55
	(4ans)	18/ 20-40 cm	0,07	3,02	0,29	12,50	0,12	. 5 , 17	0,22	9,48	0,22	9,48	0,10	4,31	1,30	56,03	2,32
BNS292	NS ₂₃	23/ 0-20 cm	0,09	2,53	0,32	8,99	0,19	5,'34	0,34	9,55	0,43	12,08	0,24	6,74	1,95	54,77	3,56
	(Jans)	24/ 20-40 cm	0,09	3, 26	0,33	11,96	(0,16)	5,80	0,23	8,33	0,23	8,33	0,10	3,62	1,62	58,70	2,76
CJBOIO	Témoi n	54/ 0-20 cm	0,13	2,90	0,29	6,47	0,32	7,14	0,37	8,26	0,33	7,36	0,18	4,02	2,82	62,95	4,48
		55/ 20-40 cm	0,03	0,93	0,30	9,30	0,33	10,22	0,27	8,36	0;09	2,79'';	0,05:	1,55	2,16	66,87	3,23
CJB112	JBK ₄	5/ 0-20 cm	0,06	1,35	0,46	10,55	0,39	8,95	0,45	10,32	0,47	10,78	0, 26	5,,96	2,27	52,05	4,36
	(5ans)	6/ 20-40 cm	.0,08	2,30	0,46	13,10	0,28	8,00	0,33	9,40	0,14	4,00	0,06	1,70	2,15	61,25	3,51
CRUO L 3		`68/ O-15 cm	0,34	12,73	0,12	4,49	0,13	4,87	0,14	5,24	0,25	9,36	0,11	4,12	1,58	59,18	2,67
CBW013	Témoin	69/ 15-30 cm	0,14	5,30	0,19	7,20	0,18	6,82	0,27	10,23	0,11	4,17	0, 02	0,76	1,73	. 65,53	2,64
CBW I I 5	во	35/ U-20 cm	0,13	5,04	0,21	8,14	0,15	5,80	0,22	8,53	0,38	14,73	0,15	5,80	1,34	51,94	2,58
CBWIID	(Jans)	36/ 20-40 cm	0,03	1,66	0,18	10,00	0,12	6,66	0,13	7,22	0,17	9,44	0,07	3,89	1,10	61,11	1,80
DNN 1 1 6	Táma! -	64/ 0-15 cm	0,29	t,46	2,42	12,20	1,18	5,95	2,10	10,58	2,08	10,48	1,99	10,03	9,78	49,30	19,84
DUNITO	Témoin	65/ 15-30 cm	0,01	0,31	0,50	15,72	0,39	12,26	0,31	9,75	0,55	17,30	0,22	6,92	1,20	37,73	3,18
100 () D	NS ₆	29/ 0-20 cm	0,22	2,63	0,76	9,08	0,92	11,00	0,84	10,03	1,25	14,93	0,66	7,88	3,72	44,44	8,37
DNS618	(Jans)	30/ 20-40 cm	0,07	1,60	0,65	14,91	0,50	11,47	0,44	10,09	0.44	10,09	0,23	5,27	2,03	46,56	4.36



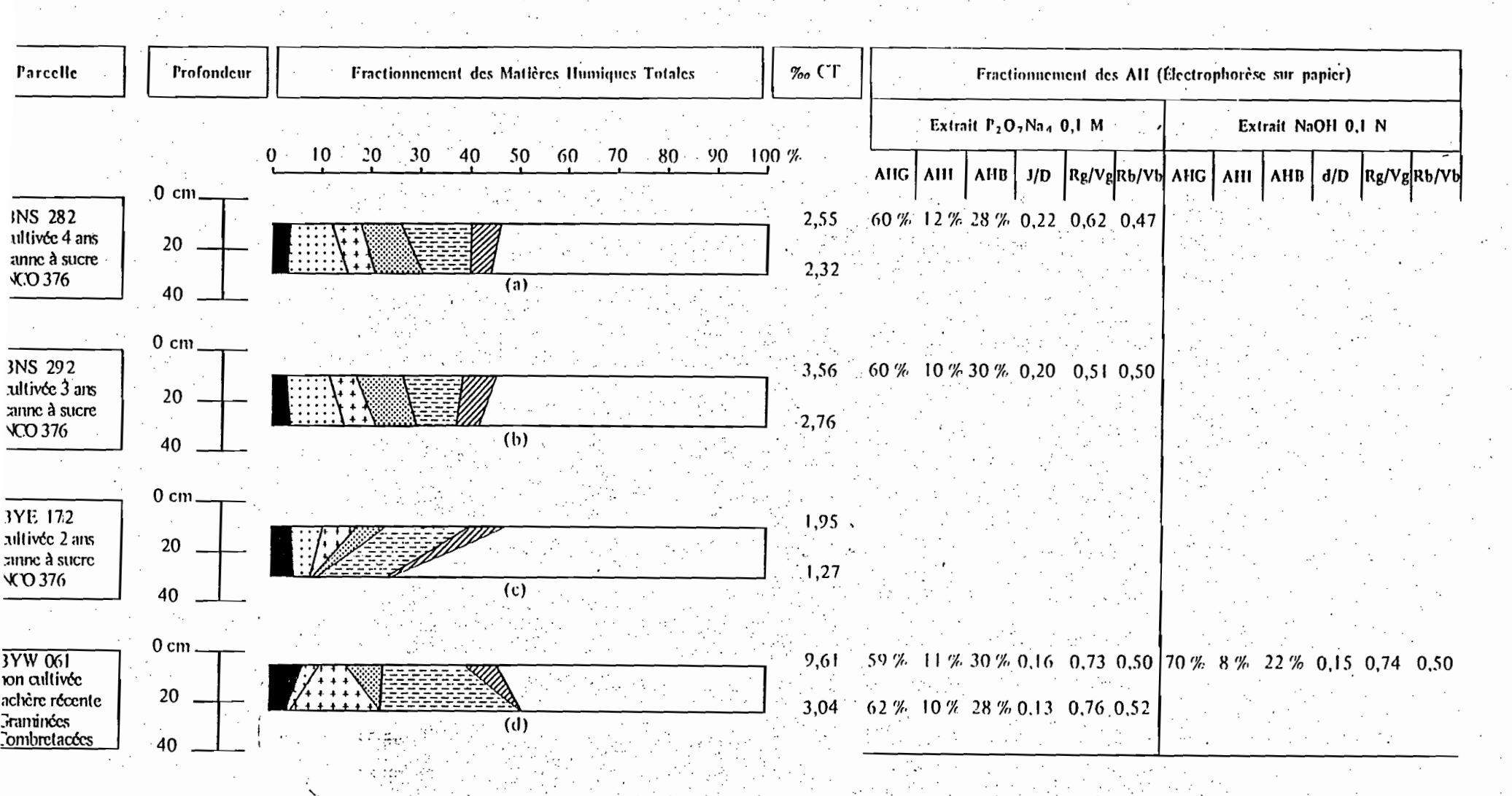


Fig. 27(b): Études quantitative et qualitative de la matière organique des horizons de surface.

Sols ferrugineux tropicaux (suite).

Pour la légende, voir fig. 27(a)

L'humine d'insolubilisation est extraite par la soude après déferrification et destruction de l'argile. L'humine héritée est séparée par densité après action des ultra-sons. Quant à l'humine surévoluée, c'est la fraction inextractible que constitue le résidu final. Son taux de carbone est déterminé par combustion (coulométrie). Un autre procédé permettant de déduire le type d'humine est celui qui consiste à déterminer les différentes formes d'azote. C'est ce dernier qui a été utilisé, la méthode appliquée étant celle de BREMNER (1965).

4.3.4. Interprétation des résultats de l'étude qualitative de la matière organique.

Les résultats complets figurent dans les fiches analytiques établies par profil de sol et groupées en ANNEXE III. Cependant, les FI-GURES 27 (a), 27 (b), 28 et 29 sont l'expression graphique des données du TABLEAU IX qui rassemble les résultats de l'étude fractionnée de la matière organique.

Sols ferrugineux tropicaux (FIGURES 27 (a) et 27 (b).

Ces figures représentent les variations quantitatives des différentes fractions de la matière organique, dont le taux de carbone est exprimé en % du carbone total. Les résultats d'électrophorèse sur papier des AHP et des AHS, sont indiqués à droite du graphique.

Dans les sols de jachères anciennes (CBW 013), les MOL représentent une part non négligeable de la matière organique (plus de 10 % du C total). Le profil CJB 010 y fait exception avec moins de 5 % du C total. Dans l'horizon de surface (0-20 cm), les fractions AFL, AFP et AFS tendent à s'égaler. Leur somme, AF, représente

plus de la moitfé des MHT. Ils augmentent faiblement avec la profondeur.

Les AHT, plus importants en surface, accusent une baisse avec la profondeur. L'humine qui représente en valeur relative plus de 60 % du C total, augmente avec la profondeur.

Par contre, sous jachère récente, les fractions de la matière organique n'évoluent pas de la même façon (BYW 061). Les AFL sont en faible quantité, en surface, qui diminue très vite avec la profondeur, de même que les AFS qui sont pourtant les plus importants des AF en surface. Le pourcentage des AFP s'accroît avec la profondeur et à 25 cm, c'est la seule fraction des AF qui est représentée. On observe cependant un accroissement de la quantité des AHP, avec la profondeur, et une baisse du taux d'humine.

Ces jachères d'age différent, correspondent à deux modes d'évolution du sol.

Pour la jachère de longue durée, on constate une diminution des AF, surtout les AFS, peu stables, et une augmentation des composés humiques plus stables (AHS et H), en % relatif de C. La décomposition de la matière organique légère en surface produit des AFS (précurseurs solubles). Ces derniers évolueraient alors vers les AHS par polymérisation et condensation. Les AFP qui constituent la fraction la plus importante des AF, peuvent par précipitation avec le fer, l'aluminium et l'argile, etc, former une humine de précipitation. On a donc un processus général par lequel le sol est en train de se "reconstruire"; c'est la "regredation". Dans le profil CJB 010, le phénomène n'est qu'à ses débuts:

Dans la jachère de courte durée, BHW 061, le taux des AFP est relativement élevé et l'humine diminue avec la profondeur. C'est un état de sol dégradé par les cultures traditionnelles, qui vient seulement de passer une année "au repos". L'apport de la matière organique fraîche

en surface a engendré une différence de 6 /00 de carbone organique (valeur absolue) entre les niveaux (0-15 cm) et (15-30 cm).

Sous parcelles cultivées, on constate une diminution de la matière organique légère (MOL), bien que la quantité de matériel organique frais qui y est apportée chaque année par la canne à sucre soit très supérieure à celle apportée par les graminées sous jachère. Ce phénomène, qui traduit une intense activité biologique des microorganismes telluriques, DOMMERGUES (1956, 1972), caractéristique de la biodégradation de la matière organique dans les sols tropicaux, DUCHAUFOUR (1956), DABIN (1968), est accru du fait de l'humidité créée par l'irrigation, LAUDE-LOUT et al. (1960), GODEFROY (1974).

En comparant les profils CJB 010 (témoin), CBW 115 (cultivée 3 ans) et CJB 112 (5 ans), on observe que les quantités des différentes fractions de la matière organique du sol, à 0-20 cm, ont varié comme suit : (voir ci-après variations en % relatif des différentes fractions humiques).

and the second of the second of the second of the

Les AFL sont particulièrement agressifs vis-à-vis des colloides minéraux du sol (argiles surtout). Ils complexent le fer et les argiles et facilitent leur entraînement.

On assiste ainsi, sous l'influence du défrichement et de la mise en culture, à une transformation des composés humiques les plus stables (H) vers les plus instables (AFL) dont l'action destructrice de la structure est bien connue. Cette apparition de composés facilement biodégradables, va de pair avec une dépolymérisation des composés humiques les plus stables.

VARIATIONS EN % RELATIF de C des DIFFERENTES FRACTIONS HUMIQUES

CJB 010 Témoin	MOL	AFL	AFP	ΛFS	АНР	AHS	H
ing State (1995) The Artifact (1995) The Artifact (1995)							
CBW 115 3 ans	MOL	AFL	AFP	AFS	АНР	AHS	H
CJB 112 5 ans	MOL	AFL	ΛFP	/.FS	ΛHP	\\\\\\\\\\\\\\\\\\\\\\\\\\\\\\\\\\\\\\	Н
Alexander (1970) Alexander (1970) Alexander (1970)		augmen- tation		augmen- tation faible		augmen- tation faible	

Lire de haut en bas :

/\ =1a quantité de la fraction considérée augmente.

=la quantité de la fraction considérée ne varie pas.

V = la quantité de la fraction considérée diminue.

La culture continue induit une diminution de l'humine, une augmentation des Af et particulièrement des AFL issus directement de la décomposition de la matière organique et une faible augmentation des AHS.

L'électrophorèse sur papier a donné les résultats suivants :

~	Rapport d'absorption	Longueur de migration
CJB 010 Temoin	Rg/Vg	d/D
CBW 115 (3 ans)	0,74	0,16
CJB 112 (5 ans)	0,71	0,15
/ /,	0,60	0,27

La diminution de R/V d'une part, et l'augmentation de d/D d'autre part des AHG (pyro.) quand on passe du témoin au cultivé (5 ans), tableau ci-desser indiquent une baisse du poids moléculaire des AHG. Ainsi, ces derniers semblent plus polymérisés et plus condensés sous jachère (CJB 010) que sous culture (CJB 112). Les variations quantitatives (% relatif des AH) des trois fractions d'acides humiques : AHG, AHI et AHB pour les trois profils CJB 010, CBW 115 et CJB 112 (fig. 27 (a)) montrent que le pourcentage de la première diminue, que celui de la deuxième augmente et que celui de la dernière est plus fluctuant, avec la durée de culture. Il semble que l'on ait sous culture, une dépolymérisation des AHG qui favorise la forme AHI, de telle sorte que dans l'ensemble, les AH y sont moins condensés que sous jachère. Il est généralement admis en effet, NGUYEN KHA et al. (1970) que des alternances saisonnières d'assèchement et de réhumectation favorisent la polycondensation des AH et TURENNE (1976) a également montré que le taux des acides humiques polycondensés est toujours supérieur en sols non irrigués qu'en sols irrigués.

Le test de SPEARMAN a révélé que les AFL, AFP et AFS sont en corrélation significative avec de nombreuses variables. Quelques exemples sont indiqués dans le tableau ci-dessous :

精密性 医海绵 医乳腺 化二甲酚 经货工工程 化二氯 医垂枝 医抗血囊疾病

way that is an area and are restricted following to be a more

HOLDER TO BE THE LINES

TABLEAU DES VALEURS de (r) ENTRE LES DIFFERENTES FRACTIONS HUMIQUES ET QUELQUES CARACTERES PHYSIQUES ET CHIMIQUES DES SOLS ETUDIES

(r = Coefficient de corrélation de rangs de SPEARMAN)

		Fra	ctions	humique	s	···	
	·AFL	AFP	^FS	AHP_	AHS	Н	
Argile	0,69	0,61	0,48	0,01	0,17	0,56	San San
Limon fin	0,75	0,77	0,56	0,36	0,42	0,61	
Limon grossier	0,52	0,51	0,52	0,34	0,43	0,57	Caractères physiques
pF 4,2	0,78	0,78	0,61	0,11	0,28	0,66	
pF 2,5	.0,73	0,70	0,58	0,18	0,31	0,66	
Fer total	0,67	0,59	0,59	-0,02	0,17	0,71	
Fer libre	0,63	0,53	0,55	-0,08	, 0,12	0,65	Caractères
P ₂ O ₅ total	0,67	0,43	`0,55	0,39	0,45	0,42	chimiques
T which was	0,80	0,78	0,75	0,37	0,50	0,80	
C 49 74. 1 2	0,78	0,92	0,91	0,61	0,71	0,94	
N	0,83	0,90	0,91	0,50	0,61	0,92	
C/N	0,33	0,57	0,51	0,65	0,67	0,57	

Ce tableau montre quelques corrélations positives et négatives existant entre les fractions humiques et quelques facteurs physiques et chimiques des sols étudiés.

Il apparaît, et celà confirme les observations faites dans les chapitres précédents, que les AFL sont les premiers responsables de l'entraînement du fer et de l'argile, suivis des AFP et des AFS.

En raison de l'acidité plus élevée des AFL, la corrélation entre T et ces derniers est plus élevée qu'avec AFP et AFS.

En ce qui concerne les corrélations entre les acides humiques

pyro. et soude AHP et AHS) et les autres facteurs du sol, elles sont non significatives avec les éléments de la texture et le fer. Quant aux caractéristiques chimiques P, O, T, C, N, C/N) elles sont en corrélations positives avec les AH, les AHS ayant une corrélation supérieure aux AHP (augmentation de C/N avec 1'humification). Il est à noter que 1'humine est en corrélations positives et significatives avec toutes les variables considérées, d'où l'importance de cette dernière dans ces sols. Il est également intéressant de noter que toutes les corrélations des AH sont plus faibles que celles des AF. Une explication possible serait que l'amélioration de certaines propriétés chimiques par la culture va de pair avec l'accroissement des AF engendré également par la culture de la canne à sucre avec irrigation. Dans ces sols ferrugineux tropicaux cultivés et irrigues, les apports annuels de matériel organique frais sont importants et parallèlement, l'activité biologique y est élevée. Cette matière organique est donc rapidement biodégradée. Ces apports permettent cependant un accroissement du taux de carbone organique total. Le tableau ci-dessous montre les variations de quelques rapports de fractions humiques en fonction du temps (horizon de surface 0-20 cm).

	AF. (° /)	(C /)	AF/AHT	MHT/C	мон/с	H (C°/)
CJB 010 T é moin	0,98	0,51	1,92	0,33	0,96	2,82
BYE 172 (2 ans)	0,37	, 0,45	0,82	0,42	0,96	1,06
CBW 115 (3 ans)	0,58	0,53	1,09	0,43	0,95	1,34
BNS 282 (4 ans)	0,58	0,50	1,16	0,42	0,96	1,38
CJB 112 (5 ans)	1,30	0,73	1,78	0,46	0,98	2,27

On peut y observer que les apports de matière organique se répercutent sur les différentes fractions humiques; AF et AHT augmentent,
alors que l'humine a diminué par rapport au témoin, bien que son taux
relatif augmente progressivement depuis la deuxième année de culture.
Le rapport MOH/C: (matière organique humifiée (MHT + H) sur le carbone
total) est très élevé (voisin de 1), et montre bien que cette matière
organique est pratiquement décomposée dans sa stabilité. Ce sont les AF
qui augmentent le plus, mais dans l'ensemble le rapport AF/AHT sous culture est inférieur à celui sous jachère.

Les sols peu évolués.

L'expression graphique des résultats de l'étude fractionnée de la matière organique des sols peu évolués (FIGURE 28), amène les interprétations suivantes :

- la biodégradation de la matière organique y est aussi acerue en parcelles cultivées;
- le phénomène de "régradation" observé sous jachères de sols ferrugineux tropicaux, se manifeste aussi sous jachères de sols peu évolués, profils ALE 011 et ABN 031.
- quand on compare a et b puis c de la figure 28, il apparaît que les AHS et AHP augmentent en % relatif de C ainsi que l'humine. Les différences originelles du profil ALE 152 (profil pédologique ALE 151) avec les autres profils, signalées plus haut, se manifestent bien entendu dans la dynamique de la matière organique où l'on constate une très forte diminution de l'humine en surface, laquelle semble favoriser une augmentation des AHS et AHP (FIGURE 28, d).

Il apparaît donc dans ces sols, comme le montre le TABLEAU cidessous, que les apports de matière organique par la canne à sucre ainsi que sa biodégradation rapide, favorisent une augmentation des AH qui est supérieure à celle des AF. Une explication possible serait que les AH formés sont plus stables que ceux formés dans les sols précédents,

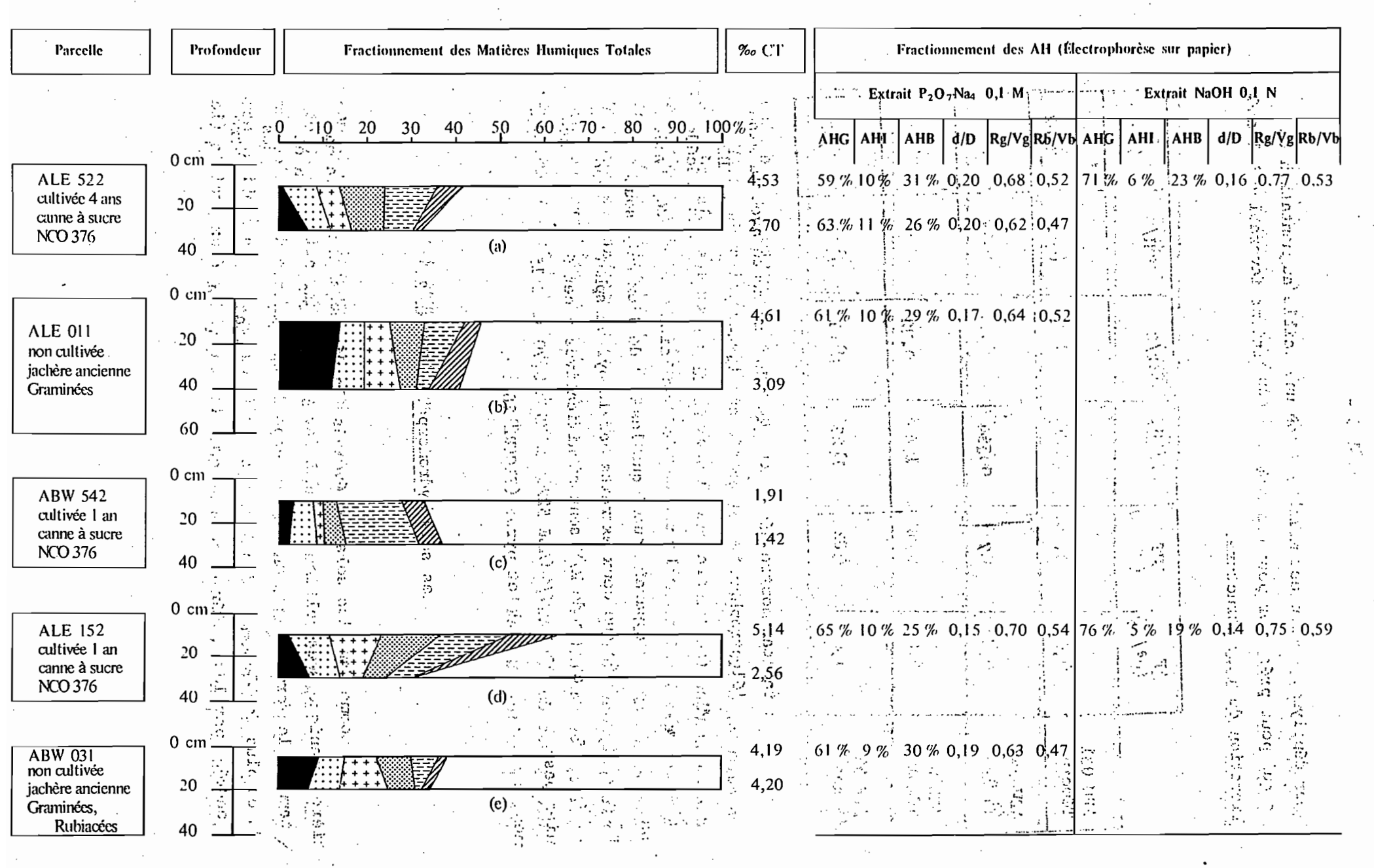


Fig. 28 : Étude quantitative et qualitative de la matière organique des horizons de surface. Sols peu évolués.

Pour la légende, voir fig.27(a)

leur dépolymérisation est moindre, d'où une faible augmentation des AF, ce qui peut présenter pour ces sols des conditions favorables à l'amélioration de leur structure.

	AF (C°/.)	AHT (C°/。)	AF/AHT	MHT/C	мон/с	H (C°/)
ABW 031 Témoin	0,86	0,34	2,53	0,29	- 0,91	2,62
ABW 542 (1 an)	0,20	0,37	0,54	0,30	0,97	1,29
ALE 011 Témoin	0,86	0,60	1,43	0,32	0,86	2,51
ALE 522 (4 ans)	1,03	0,82	1,25	0,41	0,99-	2,63

Ce tableau montre également que MOH/C augmente avec la mise en culture. L'électrophorèse effectuée sur les extraits AHS et AHP donne des résultats comparables à ceux obtenus pour les sols précédents à savoir que la mise en culture engendre une baisse et une dépolymérisation des AHG. Il apparaît aussi que les AHG de l'extrait soude sont plus polycondensés que ceux extraits par le pyrophosphate de soude. En effet, les variations de R/V sont significatives à cet égard. Ce dernier passe de 0,77 à 0,68 (ALE 522), 0,75 à 0,70 (ALE 152) respectivement pour les AHG soude et pyro. (FIGURE 28).

Les sols hydromorphes (FIGURE 29)

Comme dans les sols peu évolués, la décomposition de la matière organique sous culture tend à favoriser la formation des AH et notamment la forme AHP. On observe cependant une forte diminution des AFL et plus faiblement des AHT. Ces dernières variations semblent être engendrées par les différences originelles entre les deux profils (le

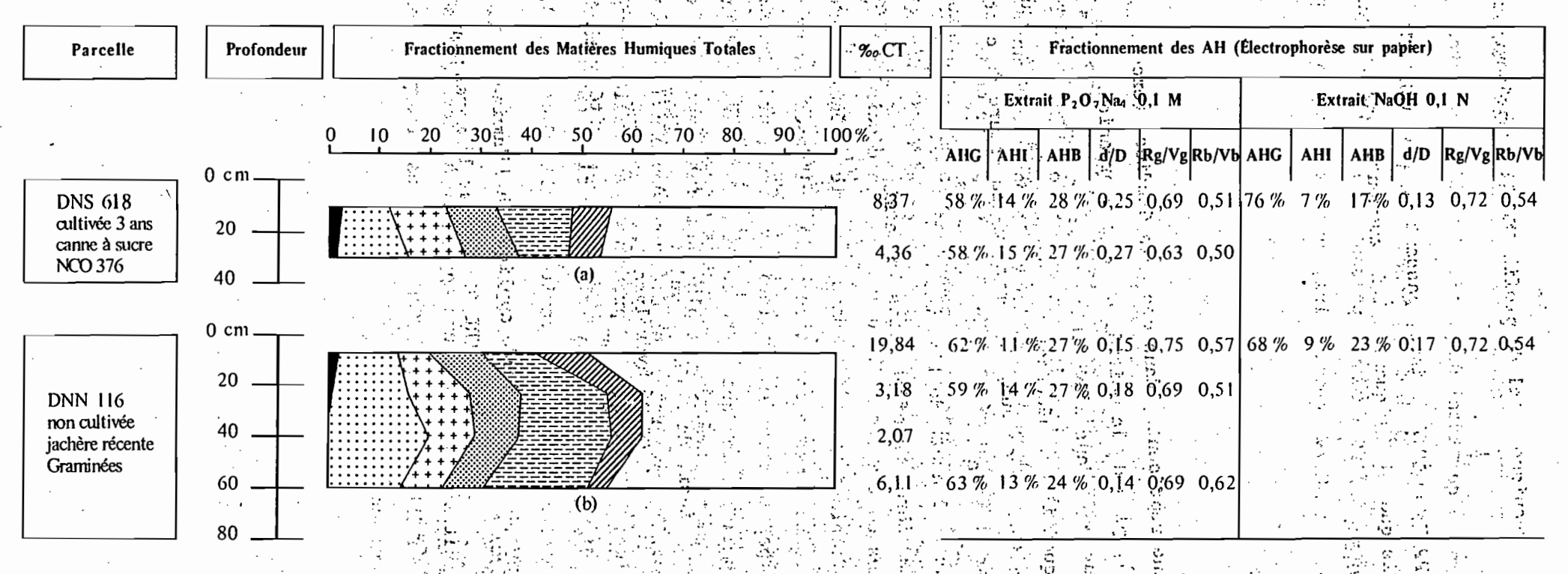


Fig. 29: Études quantitative et qualitative de la matière organique des horizons de surface Sols hydromorphes à pseudo-gley.

Pour la légende, voir fig. 27(a)

taux du carbone organique total du profil DNN 116 représentant plus du double de celui de DNS 618).

Le rapport AF/AHT diminue, passant de 1,40 (DNN 116) à 1,32 (DNS 618), tandis que MHT/C, quant à lui, augmente, passant respectivement de 0,49 à 0,53.

- L'Humine.

L'Humine représente, dans ces sols étudiés, (exception faite des hydromorphes), plus de la moitié du carbone organique total. Elle occupe une place con la dans l'évolution de la matière organique de ces sols. C'est pourquoi il est nécessaire, pour compléter cette étude qualitative de la matière organique, de connaître la nature de cette humine. Le procédé utilisé, on l'a vu, est celui qui consiste à déterminer les différentes formes de l'azote de l'humine et d'en déduire le type d'évolution de cette dernière. En effet, dans la matière végétale fraîche, la plus grande partie de l'azote est hydrolysable, l'essentiel de ce dernier étant représenté par la forme aminée (acides aminés, protéines et oses aminés). Dans l'humine, selon que cette dernière est plus ou moins évoluée, les éléments qui la constituent sont plus ou moins transformés et fortement fixés à la matière minérale. Ces éléments deviennent de moins en moins hydrolysables. Ainsi, dans les produits non humifiés, on peut obtenir plus de 60 % d'azote 🔀 aminé hydrolysable, alors que dans les produits humifiés ce taux tombe à 20 % environ (W. FLAIG cité parB. DABIN cours S.S.C. BONDY).

Les résultats de cette étude appliquée à l'humine des sols sont regroupés dans le TABLEAU X et la FIGURE 30 en est l'expression graphique de certains d'entre eux.

de trois couples de profils.

a) Sol Total.

				ta a grant to	N-11				
	Profil	Azote '	N-nii	Total	N-animé	N-amidé	N-ammoniacal	c/n	N-nH N-H
•	Promi	Total	%, % de N-Total	%, % de N-Total	% % de N-Total	%, % de N-Total	%. % de N-Total	C/ II	N-A
nc	CJB010	0,350	0,086 25	0,264 75	0,101 29	0,133 38	0,029 8	12,8	0,33
С.	CJB111	0,236	0,053 22	0,183 78	0,049 21	0,119 50	0,015 6	11,7	0,29
nc	ALEO11	0,310	0,104 . 34	0,205 66	0,043 15	0,135 43	0,025 8	14,9	0,51
С	ALE521	0,385	0,137 36	0,247 64	0,045 11	0,175 45	0,027 7.	16,2	0,55
nc	DNN116	1,540	0,525 34	1,015 66	0,702 46	0,237 15	0,075 5	12,8	0,52
С	DNS617	1,080	0,368 34	0,712 66	0,274 26	0,401 37	0,035 3	13,2	0,52

b) Humine.

СЈВО10	0,186 53	0,069 20	0,117 33	0,017 5	0,084 24	0,016 4	15,2	0,59
CJB111	0,137 58	0,037 16	0,100 42	0,008 3	0,077 32	0,013 6	. 10,7	0,37
ALEO11	0,145:47	0,034 11	0,110 35	0,027 9	0,072 / 23	0,011 3	17,3	0,31
ALE521	0,239 62	0,091 24	0,147 38	0,025 6	0,097 25	0,026 7	. 19,3	0,62
DNN116	0,687,45	0,296 19	0,390 25	0,141 9	0,194 12	0,055 4	14,2	0,76
DNS617	0,468,43	0,204 19	0,264 24	0,079 8	0,154 14	0,032 2	14,5	0,77

c) Humus.

СЈВ010	0,164 47	0,017	. 5	0,147 42	0,084 24	0,049 14	0,013 4	10,1	0,11
CJB111	0,099 42	0,016	6	0,083 36	0,041 18	0,042 18	Traces -	13	0,19
ALEO11	0,165,53	0,070	23	0,095 31	0,016: 6	0,062 20	0,014 5	12,7	0,74
ALE 521	0,146 38	0,046	. 12	0,100 26	0,020 5	0,078 20	Traces -	11	0,46
DNN116	0,853 55	0,229	15	0,625 41	0,561 . 37	0,043 3	0,020 1	11,7	0,36
DNS617	0,612,57	0,164	15	0,448 42	0,195 18	0,247 23	Traces -	12,2	0,36

nc : non cultivée

N-T : Azote Total

c : cultivée

N-nH : Azote non hydrolysable

N-H : Azote hydrolysable

Parcelles non cultivées

Fig. 30 : Les différentes formes d'azote.

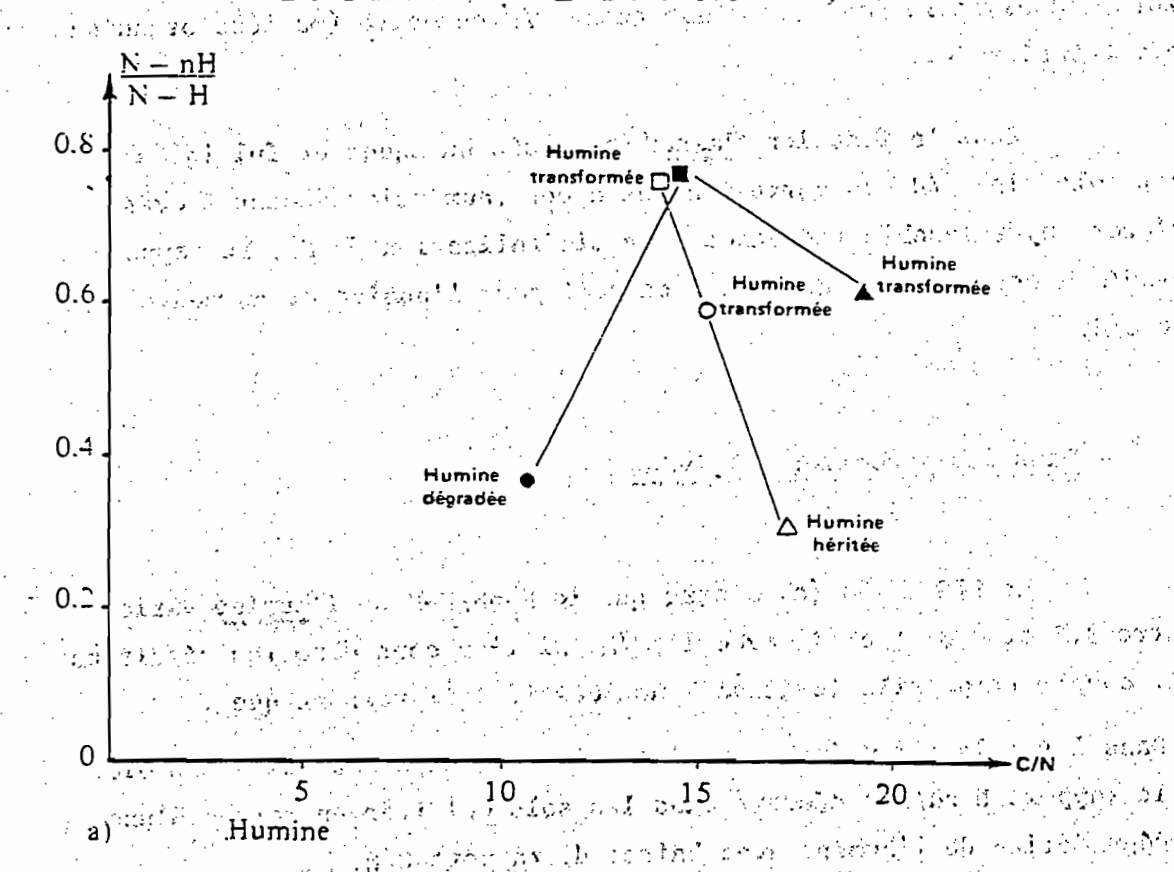
Représentation graphique de C/N en fonction du rapport azote non hydrolysable/azote hydrolysable.

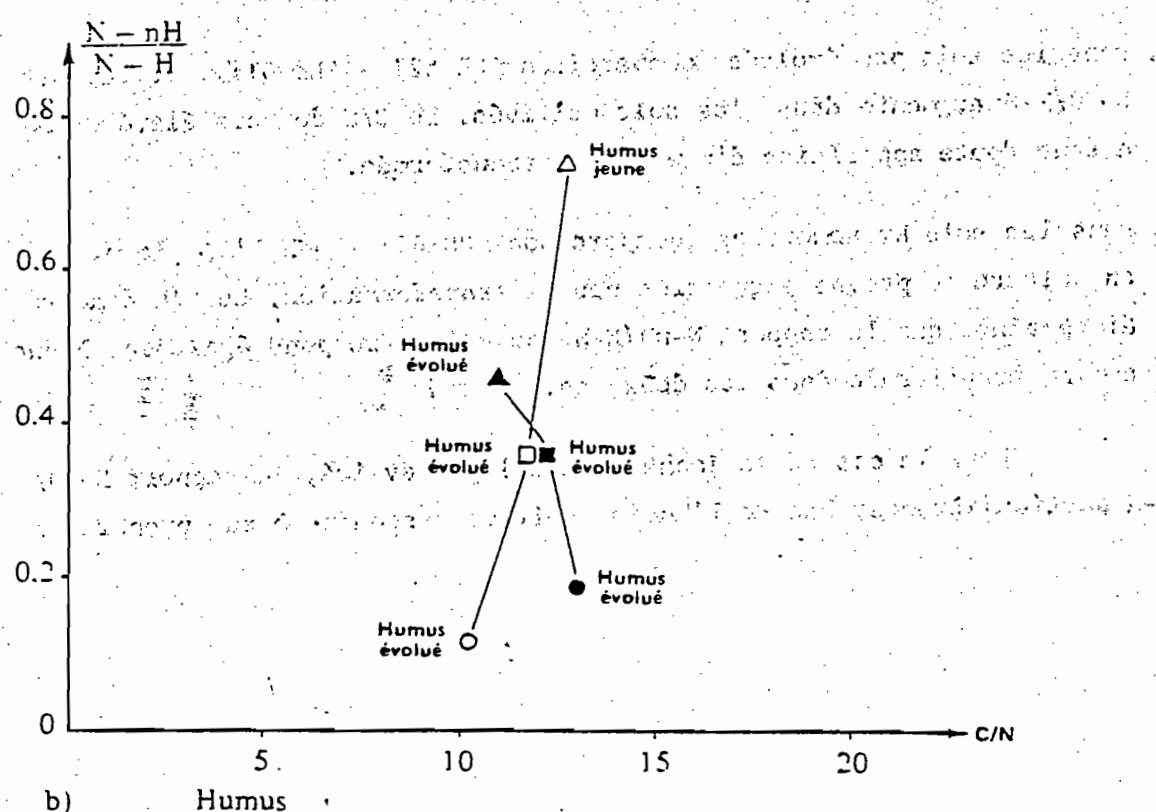
CJB111 ◆ O CJB010

ALE521 ▲ △ ALE011

DNS617 ■ □ DNN116

Parcelles cultivées





- Sous jachères.

Il apparaît que dans l'humine le C/N se maintient à un niveau relativement élevé et le rapport azote non hydrolysable (N-nH) sur azote hydrolysable (N-H), diminue quand C/N augmente (matière organique peu transformée).

Dans la fraction "humus" (composés humiques et fulviques) de ces sols, les C/N bas correspondent à des taux relativement élevés d'azote hydrolysable (tendance à la minéralisation de N). Le rapport N-nH/N-H est plus bas que celui calculé pour l'humine et augmente avec le C/N.

- Dans les parcelles cultivées.

La FIGURE 30 (a) montre que le N-nH/N-H de l'humine varie entre 0,3 et 0,8 et croît avec le C/N. Si l'on considère les résultats par couple de profils (cultivé - non cultivé) il ressort que :

- . Dans les sols ferrugineux tropicaux (comparaison CJB 111 CJB 010), le rapport N-nH/N-H décroît dans les sols cultivés en raison d'une dégradation de l'humine avec baisse du rapport C/N.
- . Dans les sols peu évolués (comparaison ALE 521 ALE 011), le rapport N-nH/N-H augmente dans les sols cultivés. Le C/N demeure élevé et on a sans doute apparition d'une humine transformée.
- . Dans les sols hydromorphes (comparaison DNS 617 DNN 116), la mise en culture ne provoque que très peu de transformation. Le C/N demeure élevé ainsi que le rapport N-nH/N-H, ce qui correspond également à une humine transformée dans les deux cas.

Dans le cas de la jachère du sol peu évolué, le rapport N-nH/ N-H particulièrement bas de l'humine doit correspondre à une proportion importante d'humine héritée. Dans la jachère du sol ferrugineux tropical, l'humine serait déjà plus transformée au départ et donnerait sous culture une humine dégradée. Quant au sol hydromorphe, on a une forme particulière d'humine transformée assez stable qui se modifie peu par la culture.

La FIGURE 30 (b) montre que dans 1' "humus", le rapport N-nH/ N-H diminue. Il est assez bas dans l'ensemble et indique une tendance à la minéralisation d'un humus déjà évolué.

En conclusion de l'étude de la matière organique de ces sols, on peut retenir que l'évolution de cette dernière est accélérée par une activité biologique élevée, favorisée par les nouvelles conditions de culture (humidité permanente par irrigation). La biodégradabilité de la matière organique augmente sous parcelles cultivées comme le montrent les variations du rapport global MOH/C, lequel tend vers l. Ceci corrobore les observations faites plus haut, à savoir que dans ces sols, on note une absence de litière, cette dernière étant décomposée dans sa quasi-totalité d'une année à l'autre. Il s'agit là d'un phénomène très important qui détermine la pédogenèse des sols sous climats tropicaux humides et semi-humides en général et ceux étudiés en particulier.

On a représenté graphiquement (FIGURE 31) les données du TABLEAU XI dans lequel sont considérés les AF (AFL + AFP + AFS), les AHT (AHS + AHP) et l'humine (H). La culture de la canne à sucre permet d'apporter chaque année, dans chacune des parcelles cultivées), des quantités de matière organique très voisines. Dans l'ensemble, le stock organique a baissé avec le défrichement et la mise en culture (les deux premières années) et augmente les années suivantes. Ces variations quantitatives de la matière organique s'accompagnent cependant d'une transformation qualitative différente. Dans les sols ferrugineux tropicaux, le taux d'humification augmente avec le temps de culture mais parallèlement, celui des AF croît plus fortement dans le même temps. La dynamique de la matière organique y est ainsi déséquilibrée vers les formes instables (petites molécules organiques facilement biodégradables). Dans les deux autres types de sol,

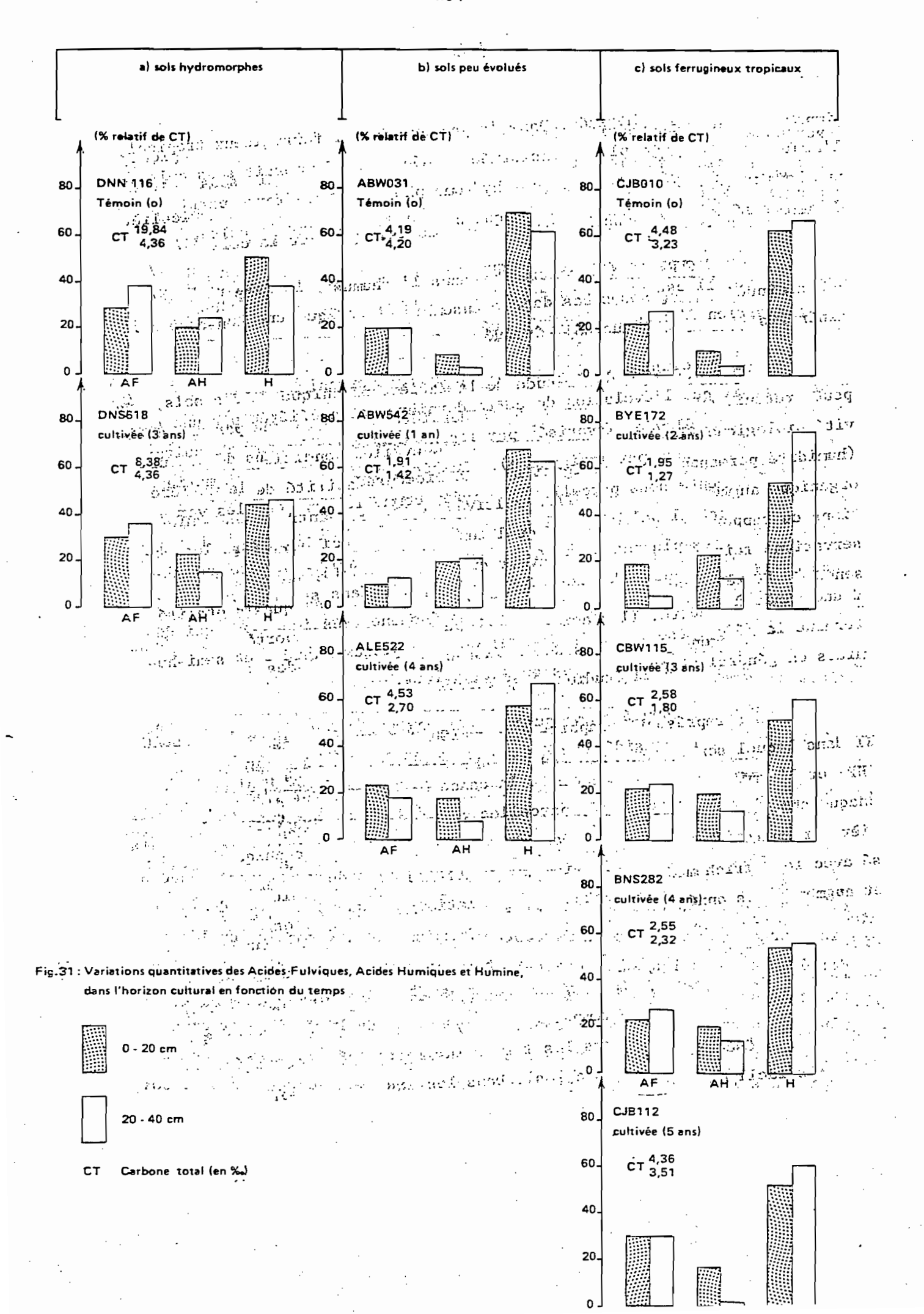


TABLEAU XI: Fractionnement de la matière organique. Echantillons composites (pour les parcelles cultivées).

Résultats exprimés en 7 du Carbone Total.

Code du profil	Parcelle/Année de mise en culture.	n°Echantillon Profondeur	ML	AF	AH	Н	• ст
ALEO11	Témoin	77/ O-20 cm	14	18,6	13	54,5	4,61
		78/ 30-50 cm	11,3	19,7	10,7	58,2	3,09
ALE522	LE ₅	11/ 0-20 cm	1,1	. 22,7	. 18,1	58	4,53
	1973	12/ 20-40 cm	.6,3	17,8	8,1	67,8	2,70
ABW031	Témoin	73/ 0-10 cm	8,8	20,5	8,1	62,5	4,19
		74/ 10-30 cm	6,9	20,7	2,8	69	4,20
ABW542	BO ₅	47/ 0-20 cm	2,6	10,5	19,4	67,5	1,91
	1976	48/ 20-40 cm	2,1	13,4	21,1	63,4	1,42
ALE 152 .	LE ₁₈	52/ O-20 cm	2,1	34,4	26,8	36,6	5,14
	1976	53/ 20-40 cm	7	17,20	6,6	69,1	2,56
BYWO61.	Témoin	58/ O-15 cm	7,2	16	20,8	56	9,61
•		59/ 15-30 cm	3,9	18,1	28,9	48,7	3,04
BYE 172	YE14	41/ 0-20 cm	3,6	19	23,1	54,4	1,95
	1975	42/ 20-40 cm	4,7	4,7	12,6	76,4	1,27
BNS282	NS ₂ 1973	17/ 0-20 cm	3,5	22,8	19,6	54,1	2,55
,		18/ 20-40 cm	3	27,1	13,8	. 56	2,32
BNS292	NS ₂₃	23/ O-20 cm	2,5	23,9	18,8	51,8	2,56
		24/ 20-40 cm	§ / 3,3 //	., 4., 26, 1	11,9	. 58,7	2,76
CJB010	Témoin	54/ 0-20 cm	2,9	21,9	11,4	62,9	4,48
		55/ 20-40 cm	0,9	27,9	4,3	66,9	3,23
CJB112	JBK ₄	5/ 0-20 cm	1,3	29,8	16,7	52	4,36
	1972	6/ 20-40 cm	2,3	30,5	2,1	61,2	3,51
CBWO 1 3	Témoin	68/ 0-15 cm	12,7	14,6	13,5	59,2	2,67
		69/ 15-30 cm	5,3	24,2	4,9	65,5	2,64
CBW115	во	35/ O-20 cm	5 2	22,5	20,5	51,9	2,58
<u> </u>	1974	36/ 20-40 cm	1,6	23,9	13,3	. 61,1	1,80
	Témoin	64/ O-15 cm	1,5	28,7	20,5	49,3	19,8
		65/ 15-30 cm	0,3.	37,7	24,2	37,7	3,18
NS618	ns ₆	29/ 0-20 cm	2,6	- 30,1	22,8	44,4	8,37
	1974	30/ 20-40 cm	1,6	36,5	15,4	46,5	3,04

les formes stables (H et AH) prédominent.

Les résultats d'électrophorèse des composés humiques extraits (AHS et AHP) montrent que sous culture, l'irrigation constitue un facteur intervenant défavorablement à leur polycondensation. Il apparaît par ailleurs que les AHS sont plus condensés que les AHP, le rapport R/V (rapport des densités optiques mesurées à 625 nm et à 512 nm) des AHG des premiers étant toujours supérieur à celui des seconds. C'est aussi la preuve que l'on a affaire à des produits de nature différente et non à des artéfacts liés au solvant.



Chapitre Cinquième

CONCLUSIONS GENERALES

Dans les cas de cultures annuelles avec exportations (arachide, fonio, etc ...) qu'il y ait amendement ou non, pédologues et agronomes s'accordent pour dire que la dégradation est continue avec la durée de culture du sol.

Dans le cas des sols de BEREGADOUGOU (région Ouest-Sud de la HAUTE-VOLTA), envisagés ici, soumis à la culture pérenne de canne à sucre pratiquée selon les techniques décrites dans les pages précédentes, les faits les plus marquants de leur évolution à court terme peuvent être perçus sur les deux plans.

1. DU POINT DE VUE PEDOLOGIQUE.

- 1.1. Réorganisations structurales dues aux techniques culturales, évolution des principaux caractères physiques du sol.
- En sols peu évolués, l'horizon cultural est d'une profondeur moyenne de 30 cm, car ils sont développés sur des matériaux gravillonnaires qui opposent une forte résistance à la pénétration de la dent du ripper.
- En sols ferrugineux tropicaux formés sur des matériaux argilo-sableux, cette résistance est moindre et l'épaisseur moyenne de l'horizon cultivé est de 50 cm.
- En sols hydromorphes, du fait de la texture limono-argileuse de l'hori-

zon de surface, ces derniers sont difficiles à travailler. L'épaisseur moyenne de l'horizon cultivé est de 30 cm.

Dans tous les cas, la couleur de cet horizon est plus claire les premières ennées de culture que les années suivantes; cette variation est due à celle du taux de matières humifiées totales. Ainsi, le défrichement et la mise en culture entraînent pour ces sols des modifications morphologiques, mais aussi structurales. L'étude de la texture et de la structure montre que :

- Dans les sols ferrugineux tropicaux, l'appauvrissement en éléments fins des horizons superficiels souvent, au moins partiellement d'origine anthropique, est accrû pendant les premières années consécutives à la préparation du sol et à la plantation de la canne à sucre. Les années suivantes, le phénomène est ralenti par l'apport important de matières organiques en surface, ce qui n'empêche pas, pour autant, la dégradation de la structure. L'indice d'instabilité de la structure (Is) de ces sols augmente fortement en l'espace de cinq années de culture, comparativement à ce qu'il est en jachères ancienne et récente. Il est actuellement admis que la structure et la composition granulométrique sont les facteurs essentiels de la fertilité, les facteurs chimiques pouvant être plus facilement améliorés par l'emploi d'engrais. De nombreux travaux, consacrés à l'étude des relations entre la structure et la matière organique, ont montré les rôles primordiaux que joue cette dernière dans la stabilité de la structure et dans la capacité d'échange du sol. Il ne fait donc aucun doute que si ces sols ferrugineux tropicaux étaient soumis à une culture annuelle avec exportation, et sans amendement, la dégradation de la structure serait Tim onthetrophique encore.

Dans ces sols à texture sableuse, le travail du sol augmente la perméabilité et le lessivage de la couche superficielle. Le maintien d'une humidité permanente (irrigation par aspersion) semble favoriser le départ du fer, ce qui provoquerait la désagrégation des pseudosables d'où la diminution du taux de sa grossier et l'augmentation de celui de sable fin. Après cinq années de culture, le taux d'agrégats stables à l'eau a baissé de 9 % par rapport à celui du témoin sous jachère ancienne.

Dans les sols peu évolués, le défrichement et la mise en culture induisent, dès les premières années, une dégradation générale de tous les caractères physiques, chimiques et biochimiques. Au contraire, après 4 années de culture, on a constaté un enrichissement en éléments grossiers des horizons de surface, et le taux d'agrégats stables à l'eau paraît avoir augmenté d'environ 20 % par rapport au témoin sous jachère.

Cette amélioration de la structure se traduit par une diminution de l'indice d'instabilité de la structure.

Dans les sols hydromorphes, la mise en culture s'est traduite, après trois années de culture, par une faible diminution du taux d'agrégats stables à l'eau, 5 % par rapport au témoin sous jachère récente. L'indice d'instabilité de la structure a cependant baissé. Ces sols sont caractérisés par une hydromorphie dont les éléments visibles sont la présence de pseudogley dès l'horizon de surface. Ils sont formés sur des matériaux d'origine alluviale ou colluvio-alluviale. Le niveau supérieur de la nappe phréatique qui caractérise également ces sols se maintient à environ l m de profondeur.

Ainsi, l'évolution des principaux caractères physiques des trois types de sols étudiés est finalement rapide sous culture de la canne à sucre. Il serait intéressant d'envisager une étude micromorphologique pour préciser la nature et la quantité des éléments plasma et squelette ainsi que leur mode d'assemblage.

1.2. Evolution de la matière organique et son influence sur le comportement du sol cultivé.

and the state of the state of the state of the

Les présentes conclusions concernant l'évolution de la matière organique à court terme dans les sols de BEREGADOUGOU soumis à la culture de la canne à sucre s'appuient sur les analyses physico-chimiques utilisées dans la méthode DABHI (1971), particulièrement adaptée à ce type de sols, tant du point-de-vue quantitatif que qualitatif.

- La biodégradation de la matière organique, sous parcelles cultivées en canne à sucre est très rapide du fait d'une activité biologique très intense, favorisée par des conditions de températures élevées et d'humidité (irrigation notamment). La matière organique n'existe pratiquement que sous la forme d'humus bien mélangé à la fraction minérale, donnent la couleur brun-sombre à la couche superficielle du sol épaisse de 10 à 15 cm sous jachères et de 20 à 30 cm en parcelles cultivées. Elle est apportée en plus forte quantité dans les parcelles cultivées en cenne à sucre que dans celles qui restent sous savane. Dans les deux cas, la plus grande partie du matériel organique frais provient des racines graminéennes, généralement bien développées dans les horizons humifères (sous jachères) et dans l'horizon cultural (parcelles cultivées).
- On constate une diminution du stock de carbone organique des les premières années de défrichement et de mise en culture de ces sols.

dady sile

Constitution Production

Cette baisse initiale du taux de carbone organique a entraîné corrélativement, dans les horizons de surface, une diminution de la stabilité structurale, de la teneur en bases échangeables et, avec elle, du pM. Les années suivantes, la culture de la canne à sucre permet des apports importants annuels de matière organique. Si la décomposition de cette dernière est totale dans les 3 sols étudiés, leur comportement n'est pas partout le même.

Dans les horizons supérieurs des sols ferrugineux tropicaux, on assiste à une acidification due à l'entraînement de leurs bases.

La dynamique de l'humification y est très poussée et la biodégradation de la matière organique semble liée au passage d'une fraction des formes

福田 化二氯基甲基

parent of maggin aform eather that takes it is for took a

organiques les plus stables (acides humiques et humine) vers les composés les moins polymérisés (acides fulviques). Ces derniers, de faible poids moléculaire, migrent rapidement en profondeur et en entraînant avec eux fer, aluminium et colloides, déstabilisent la structure des horizons de surface.

Dans ces horizons, sous parcelles cultivées, le rapport R/V (rapport des densités optiques mesurées à 625 nm et à 512 nm) des ANG baisse par rapport à celui des ANG formés sous jachères. L'alternance de périodes sèches et humides sous jachères favorise la polycondensation des acides humiques, alors que sous culture ils sont détruits par l'eau d'irrigation qui maintient une humidité constante.

On rejoint là les conclusions de TURENNE (1976) qui a montré que le taux des acides humiques polycondensés est toujours supérieur en sol non irrigué.

Dans les deux autres types de sols, on assiste à une amélioration de l'ensemble des principales propriétés du sol : diminution de l'indice d'instabilité de la structure, donc augmentation de la stabilité structurale, augmentation du pH ainsi que de tous les caractères qui lui sont interdépendants (T, S (surtout Mg + et Ca +), V, etc ...). Les pourcentages relatifs des acides fulviques sont faibles par rapport à ceux obtenus dans les sols précédents. Dans les conditions naturelles, les sols peu évolués ont un horizon humifère peu épais (10 cm environ) où les herbes tirent très difficilement ce dont elles ont besoin pour leur développement. L'ameublissement de cet horizon supérieur (défrichement) ainsi que sa mise en culture (canne à sucre), induisent une évolu- . tion positive de ces sols. Pour les sols hydromorphes, les modifications texturales de l'horizon supérieur (limono-argileux) par le défrichement semblent aussi avoir joué favorablement. Les racines de canne pénètrent plus en profondeur, la perméabilité de la couche supérieure du sol s'en trouve améliorée. Sependant, les acides humiques sont plus polycondensés sous jachères qu'en parcelles cultivées.

L'étude de l'évolution à court terme des trois types de sols soumis à la culture de la canne à sucre montre que les facteurs les plus influents sont les techniques culturales et les apports de matière organique. Elle indique en outre que la dégradation de certains caractères du sol (physiques notamment), ne dépend pas seulement de la variation quantitative du stock organique mais qu'elle est très certainement liée aux nouvelles propriétés de la matière organique dues à une transformation qualitative de certains de ses composés, biodégradation de l'humine, dépolymérisation des acides humiques, augmentation corrélative des acides fulviques.

Plusieurs travaux dont ceux de DADIN (1276) et de FELLER (1977) ont montré que cette augmentation des AF est une conséquence de l'appauvrissement du sol par la culture. Globalement, la culture de la canne à sucre, telle qu'elle est pratiquée à DEREGADOUGOU, n'est pas trop dégradante pour ces sols. Cependant, dans les sols ferrugineux tropicaux, la fertilité n'est maintenue que grâce à de gros efforts de fertilisation, chimique. L'appauvrissement des couches supérieures par lessivage, entraîne une dégradation continue de la structure, contre laquelle il faut lutter.

2. DU POINT DE VUE AGRONOMIQUE.

La fumure de redressement pratiquée lors de la préparation du sol avant la plantation de la canne à sucre (vierges), apporte à ce dernier de fortes doses d'engrais potassiques et phosphatés. Les deux éléments phosphore et potassium sont généralement bien fixés par le sol. Les fumures d'entretien appliquées après la coupe (repousses) corrigent les carences nutritionnelles du sol induites par la culture précédente. Les doses d'engrais à apporter sont déterminées par le diagnostic foliaire et par les analyses de sol (horizons de surface). Dans l'ensemble, ces engrais chimiques ont permis de maintenir les taux d'azote, d'acide phosphorique et

service training of the contract of the second track the

de potassium à un niveau satisfaisant.

- Les sols ferrugineux tropicaux, les plus importants par la superficie cultivée, présentent dans leurs horizons de surface (0-20 cm) des teneurs relativement élevées de phosphore assimilable (11 à 87 p.p.m.) tandis qu'en profondeur ces teneurs varient entre 1 et 4 p.p.m. La teneur en P_2 0_5 total y est comprise entre 100 et 300 p.p.m. et varie très peu du haut en bas du profil. Le taux d'azote est de 0,20 $^{\circ}$ en moyenne, présente un petit ventre vers 60 cm, puis diminue avec la profondeur.

Les teneurs en P_2 0_5 total sont supérieures à 1/2 des teneurs en azote total et les teneurs en P_2 0_5 assimilable supérieures à $1/20^{\rm ème}$ des teneurs en azote total. Ces rapports sont corrects et montrent l'absence de carence immédiate en P_2 0_5 . Cependant, il convient de maintenir les réserves qui sont peu élevées.

La teneur de K échangeable est faible, 0,05 à 0,08 m.é./
100 g. de sol en surface, et augmente avec la profondeur, alors que
celle de K de réserve est parfois supérieure à 10 m.é./100 g. en profondeur.

- Dans les sols peu évolués, la teneur en P₂ 0₅ total est du même ordre de grandeur que celle observée dans les sols précédents (100 à 300 p.p.m.) et varie très peu avec la profondeur. Sous jachères, la teneur en P₂ 0₅ assimilable est inférieure à 10 p.p.m. dans l'horizon de Surface, alors qu'en parcelles cultivées elle varie entre 11 et 15 p.p.m. Dans ces dernières, le taux d'azote total diminue avec la profondeur. La teneur de K⁺ échangeable y est faible (0,06 m.é./100 g.) en surface et moyenne en profondeur (0,3 m.é./100 g.). Celle de K⁺ de réserve croît avec la profondeur et dans les horizons de certains profils, elle est supérieure à 10 m.é./100 g. de sol.

Ces sols ne présentent pas de carence immédiate en K⁺ échangenble, cependant les teneurs de K⁺ de réserve dans les horizons de surface notamment, doivent être relevées.

- Les sols hydromorphes, peu représentés par la superficie cultivée, présentent dans leurs horizons de surface des teneurs très élevées de P₂ 0₅ total, 618 p.p.m. sous jachères et 767 p.p.m. sous parcelles cultivées. Cette teneur chute brutalement quand on passe de l'horizon supérieur à l'horizon sous-jacent (jachères), alors que cette baisse est progressive sous culture. Le taux d'azote total varie de la même façon. Ces variations sont liées à l'hydromorphie de surface que la culture tend à supprimer dans sa totalité.

La teneur de K échangeable est de 0,1 m.é./100 g. et celle de K de réserve de 2 m.é./100 g. de sol. Les teneurs en K échangeable dépassent généralement le seuil de la somme des bases et ne présentent donc pas de carence immédiate; cependant, il faut maintenir les réserves qui sont peu Clavées.

Les apports de la matière organique fraîche dans les horizons de curface par les racines de canne, et par les feuilles (lors de la récolte), permettent par décomposition de cette dernière de retourner au sol quelques éléments de fertilité chimique, mais aussi de maintenir ou d'améliorer la structure, en particulier dans les sols peu évolués et hydromorphes. Cependant, dans les sols ferrugineux tropicaux, la matière organique mal saturée par les bases échangeables dans les horizons supérieurs, se disperse et migre en profondeur. Il est nécessaire de pratiquer un labour profond tous les 4 ou 5 ans. Il permettra de ramener en surface les éléments fins (argile notamment). Pour relever le pH, on procèdera en même temps à un chaulage.

Il ne sert à rien d'apporter des tonnages importants d'engrais si ces derniers ne peuvent être retenus par le sol dans ses horizons exploités par les racines de canne; d'où la nécessité d'améliorer la structure du sol dans la couche cultivée en y maintenant une teneur suffisante en éléments fins par le labour.

Un des facteurs importants de la culture de la canne à sucre dans la région est l'irrigation. Des efforts ont été faits pour préciser de plus en plus la summtifé d'eau nécessaire à apporter aux plantes

(irrigation de complément). de 14.000 t/ha/an, on en est aujourd'hui à 11.000 t/ha/an, l'objectif étant de réduire cette quantité à 9.000 t/ha/an. C'est là un aspect important des techniques agricoles car, comme on l'a vu dans les pages précédentes, l'irrigation accroît dans certains cas le lessivage des horizons de surface. Il faut donc éviter d'apporter de l'eau en excès.

Les facteurs biologiques n'ont pu être étudiés dans ce travail, mais on a constaté leur importance dans la dynamique de la matière organique et notamment dans sa phase de décomposition.

Il semble par ailleurs que des nématodes parasites de la canne à sucre se développent et particulièrement dans les sols ferrugineux tropicaux où certaines parcelles atteintes ne produisent guère plus de 50 tc/ha. Des traitements par les nématicides ont donné de bons résultats (127 tc/ha).

Le contrôle de l'évolution des sols de BEREGADOUGOU sous culture de la canne à sucre apparaît donc comme un travail complexe qui nécessite une équipe de plusieurs spécialistes, du microbiologiste du sol à l'irrigateur, en passant par le pédologue.

Ce travail ne doit pas être considéré comme définitif, la période qu'il couvre étant trop courte (5 ans). Il nous a paru intéressant de fixer, dès à présent, les grandes lignes de l'évolution des sols, d'en montrer la complexité, car elle varie suivant les types de sol et en fonction du temps, ce qui oblige à en poursuivre l'étude sans interruption.

L'un des buts principaux recherchés par l'agronome est de maintenir, dans une culture continue, un niveau de rendement élevé, tout en préservant la fertilité physique et chimique du sol. Traditionnellement, ceci était obtenu par de longues jachères, ce qui n'est pas compatible avec la culture industrielle de la canne à sucre. A présent, la combinaison de l'irrigation, du travail du sol avec enfouissement de la matière

organique et l'apport d'engrais chimiques doit permettre d'assurer la conservation du sol; les études de laboratoire sont indispensables pour contrôler leur action effective dans le sens recherché.

Bibliographie

1. ABDEL RASOOL (S.F.), TAWADROS (H.W.), MISEHA (W.I., ABAS (F.A.) et EL-SEROGY (S.) - 1975. Water consumptive use by sugar cane.

Water Requirements Research Section, Soil and Water Research Institute,

Agricultural Research Center.

 AKRIMI (N.) - 1977. - Evolution comparée de la matière organique dans les sols de trois forêts méditerrannéennes à cèdre, pin d'Alep, Thuya.

Thèse 3ème cycle, Fac. Sci. et Techn. de St-Jérôme, MARSEILLE.

3. ARNOULD (M.) - 1961.- Etude géologique des migmatiques et des granites précambriens du Nord-Est de la Côte d'Ivoire et de la Haute-Volta méridionale.

Cadre géologique - classification - principaux types. Mém. du B.R.G.M., n° 3.

4. AUBERT (G.) - 1965. - Classification des sols. Tableaux des classes, sous-classes, groupes et sous-groupes de sols utilisés par la Section de Pédologie de 1'C.R.S.T.O.M.

Cah. O.R.S.T.O.M., vol. III, fasc.3, pp. 269-288.

5. AUBREVILLE (A.) - 1949. - Climats, forêts et désertification de l'A-frique tropicale.

Société d'Editions Géographiques, Maritimes et Coloniales.

6. AUBRY (A.M.) - 1976. - Programmes Fortran pour distances de rangs, constellations et corrélation.

I.D.T. n° 30, O.R.S.T.O.M. (PARIS).

7. BASSEREAU (D.) - 1975, 1976, 1977, 1978. - Rapports de mission à la SOSU-HV à BANFORA.

I.R.A.T.

- 8. BAUDIN (P.) 1978. Rapport de mission à la SOSU-HV à BANFORA.
 7-13 Mars, I.R.A.T.
- 9. BEYER (W.H.) (édit.) 1966. Handbook of tables for probability and statistics.

Chemical Rubber, Claveland, 517 pp.

10. BLIC (P. de) - 1973. - Evolution de quelques sols de Côte d'Ivoire sous l'effet du défrichement et de le culture mécanisée. Premières observations.

O.R.S.T.O.M., Centre d'ADIOPODOUME, COTE D'IVOIRE.

11. ELIC (P. de) - 1975. - Comportement des sols après mise en culture mécanisée (Région Centre COTE D'IVOIRE).

O.R.S.T.O.M., Centre d'ADIOPODOUME, COTE D'IVOIRE.

12. BLIC (P. de) - 1976. - Réorganisations pédologiques en milieu ferrallitique de COTE D'IVOIRE à la suite du défrichement et de la mise en culture mécanisée.

O.R.S.T.O.M., Centre d'ADIOPODOUME, COTE D'IVOIRE.

13. BOISSEZON (P. de) - 1962. - Contribution à 1'étude des matières organiques des sols de la République du CONGO.

O.R.S.T.C.M. - Institut de Recherche Scientifique au CONGO (Service Pédologie).

14. BOUCHARD (R.) - 1967.- Etude de l'évolution de sols sous cultures en liaison avec les études de la régénération de la fertilité.

Coll. sur la fertilité des sols tropicaux, TANANARIVE (Ma-

(dagascar) - 19 - 25 NOVEMBRE.

15. BOUYER (S.) - 1959.- Etude de l'évolution du sol dans un secteur de modernisation agriçole au SENEGAL.

Troisième Conférence interafricaine des sols, DALABA (1959) C.C.T.A. Publication n° 50.

- 16. BRADFIELD (R.) et MILLER (D.R.) 1954. Actes et comptes-rendus, Transactions Vol. I, Léopoldville.
- 17. BREMNER (J.M.) 1935. Organic forms of mitrogen.,

Methods of soil analysis, Ed. C.A. ELACK, Part. 2, pp. 1238-1255.

American Society of Agronomy, Inc., Publisher, Madison, Wisconsin, U.S.A.

18. ERUCKERT (S.) - 1970. - Influence des composés organiques solubles sur la pédogenèse en milieu acide.

Thèse Etat, Fac. Sci. NANCY, 70 p.

- 19. CHAMINADE (R.) 1964. Etude des carences minérales du sol par l'expérimentation en petits vases de végétation. Science du Sol, n° 2.
- 20. COLMET DAAGE (F.) et GAUTHEYROU (J.) 1966/a. Export of mineral elements in the cane juices.

 Bureau des Sols des Antilles 0.R.S.T.O.M.
- 21. COLMET DAAGE (F.), GAUTHEYROU (J.), LEMAIRE (Y.), POMPIGNAN (M. de), SOBESKY et SALETTE (J.) = 1966/b. Maturation de la canne à sucre.

 B.W.I.S.T. Meeting tenu à GEORGETOWN 16-22 OCTOBRE.
- 22. COMBEAU (A.) et QUANTIN (P.) 1964.- Observations sur les relations entre stabilité structurale et matière organique dans quelques sols d'Afrique Centrale.

er i zazejskija

Cah. O.R.S.T.O.M., Série Pédol., Tome II, nº 1.

23. DABIN (B.) - 1965. - Application des dosages automatiques à l'analyse des sols. Ière partie : dosages de l'azote total Kjeldahl et du phosphore sous différentes formes.

Cah. O.R.S.T.O.M., Série Pédol., vol III, nº 4.

- 24. DABIN (B.) 1966. Application des dosages automatiques à l'analyse des sols. 2ème partie : dosages du fer total et du fer libre.
 Cah. O.R.S.T.O.M., Série Pédol., vol. IV, n° 1.
- 25. DABIN (B.) 1967. Application des dosages automatiques à l'analyse des sols. 3ème partie : dosage du carbone organique dans les sols, analyse du phosphore assimilable dans les sols tropicaux.

Cah. C.R.S.T.O.M., Série Pédol., 7.1. 7, 2. 3. ..

26. DABIN (B.) - 1958.- La matière organique dans les sols ferrugineux tropicaux.

Réunion annuelle des pédologues C.R.S.T.O.M. - BONDY du 6-7 OCTOBRE 1967.

- 27. DABIN (B.) 1970. Les facteurs climatiques, physiques et chimiques de la fertilité des sols. Utilisation des échelles de fertilité.

 Techniques rurales en Afrique, n° 10, Pédologie et Développement,

 O.R.S.T.O.M. B.D.P.A., Paris, pp. 165-237.
- 28. DABIN (B.) et THOMAIN (Ch.). 1970. Etude comparative de deux méthodes de fractionnement des composés humiques (méthode TIURIN et méthode électrophorétique).

O.R.S.T.O.M., I.D.T., n° 16.

29. DABIN (B.) - 1971. - Etude d'une méthode d'excraction de la matière humique du sol .

Sci. du Sol, n° 1, pp. 47-63.

30. DABIN (B.) - 1976. - Méthode d'extraction et de fractionnement des matières humiques du sol. Application à quelques études pédologiques et agronomiques dans les sols tropicaux.

Cah. O.R.S.T.O.M., Série Pédol., vol. XIV, n° 4, pp. 287-297.

31. DABIN (B.) - 1979. - Extraction et dosage de la matière humique dans les sols.

O.R.S.T.O.M., S.S.C., BONDY.

38 3 14 8.0

32. DEB (B.C.) - 1950. - The estimation of free iron oxides in soils and clays and their removal.

J. of Soil Sci., vol. 1, n° 2.

33. DECAU (J.) - 1968. - les polysaccharides du sol : origine, évolution et rôle.

Ann. Agron., vol. 19, n° 1.

34. DEKADJEVI (A.) - 1974. - Contribution à l'étude de la dégradation des propriétés physico-chimiques et chimiques des terres de Barre sous culture au TOGO.

Thèse 3ème cycle. Université de PARIS VII.

- 35. DIATTA (S.) 1975. Evolution sous culture des sols de plateau en Casamance Continentale. Compte-rendu de deux années d'essais.
- 36. DOMMERGUES (Y.) 1956.- Etude de la biologie des sols des forêts tropicales sèches et de leur évolution après défrichement.
 6ème Congrès de Sci. du Sol, PARIS, vol. 5, n° 98, pp. 605-610.
- 37. DOMMERGUES (Y.) 1972. La microbiologie du sol : évolution, intérêt agronomique.

Centre de Pédologie biologique du C.N.R.S., VANDOEUVRE- :: LES-NANCY.

38. DUCHAUFOUR (Ph.) - 1956. - Pédologie, applications forestières et agricoles.

Ecole Nationale des Eaux et Forêts - NANCY.

- 39. DUCHAUFOUR (Ph.) 1960.- Précis de Pédologie.

 Masson et Cie; éditeur, 438 p.
- 40. DUCHAUFOUR (Ph.) et JACQUIN (F.) 1963.- Recherche d'une méthode d'extraction et de fractionnement des composés humiques, contrôlés par l'électrophorèse.

Ann. Agron. 14 (6), pp. 885-918.

41. DUCHAUFOUR (Ph.) et JACQUIN (F.) - 1966.- Nouvelles recherches sur l'extraction et le fractionnement des composés humiques. Bull. de l'E.N.S.A. de NANCY, Tome VIII, fasc. 1.

- 42. DUCHAUFOUR (Ph.) 1970.- Humification et Ecologie.

 Cah. O.R.S.T.O.M., Série Pédol., vol. VIII, n° 4, pp. 379-390.
- 43. DUCHAUFOUR (Ph.) et JACQUIN (F.) 1975. Comparaison des processus d'humification dans les principaux types d'humus forestiers.

 Extrait de Sci. du Sol, Bulletin de l'.A.F.E.S., n° 1.

and the second

- 44. FALLEC (C) 1977. Evolution de la matière humique de deux rankers pyrénéens.

 Thèse de Spécialité, Fac. Sci. et Techn. St-Jérôme,

 MARSEILLE.
- 45. FAUCK (R.), MOUREAUX (C1.), THOMANN (Ch.) 1967. Bilans de l'évolution des sols de SEFA (SENEGAL), après quinze années de culture continue (note présentée par G. AUBERT).

C.R. des Séances de l'Académie d'Agriculture, Fr., Tome LIII.

46. FAUCK (R.) - 1972. - Contribution à l'étude des sols des régions tropicales. Les sols rouges sur sables et sur grès d'Afrique Occidentale. importante d'humine héritée. Dans la jachère du sol ferrugineux tropical, l'humine serait déjà plus transformée au départ et donnerait sous culture une humine dégradée. Quant au sol hydromorphe, on a une forme particulière d'humine transformée assez stable qui se modifie peu par la culture.

La FIGURE 30 (b) montre que dans 1' "humus", le rapport N-nH/N-H diminue. Il est assez bas dans l'ensemble et indique une tendance à la minéralisation d'un humus déjà évolué.

En conclusion de l'étude de la matière organique de ces sols, on peut retenir que l'évolution de cette dernière est accélérée par une activité biologique élevée, favorisée par les nouvelles conditions de culture (humidité permanente par irrigation). La biodégradabilité de la matière organique augmente sous parcelles cultivées comme le montrent les variations du rapport global MOH/C, lequel tend vers l. Ceci corrobore les observations faites plus haut, à savoir que dans ces sols, on note une absence de litière, cette dernière étant décomposée dans sa quasi-totalité d'une année à l'autre. Il s'agit là d'un phénomène très important qui détermine la pédogenèse des sols sous climats tropicaux humides et semi-humides en général et ceux étudiés en particulier.

On a représenté graphiquement (FIGURE 31) les données du TABLEAU XI dans lequel sont considérés les AF (AFL + AFP + AFS), les AHT (AHS + AHP) et l'humine (H). La culture de la canne à sucre permet d'apporter chaque année, dans chacune des parcelles cultivées), des quantités de matière organique très voisines. Dans l'ensemble, le stock organique a baissé avec le défrichement et la mise en culture (les deux premières années) et augmente les années suivantes. Ces variations quantitatives de la matière organique s'accompagnent cependant d'une transformation qualitative différente. Dans les sols ferrugineux tropicaux, le taux d'humification augmente avec le temps de culture mais parallèlement, celui des AF croît plus fortement dans le même temps. La dynamique de la matière organique y est ainsi déséquilibrée vers les formes instables (petites molécules organiques facilement biodégradables). Dans les deux autres types de sol,

traitement informatique.

Informatique et Biosphère (Association), PARIS, 1971.

55. GODEFROY (J.) - 1974. - Evolution de la matière organique du sol sous culture du bananier et de l'ananas. Relations avec la structure et la capacité d'échange cationique.

Thèse 3ème cycle, Univ. de NANCY I.

- 56. GUCKERT (Λ.) 1973.- Contribution à l'étude des polysaccharides dans les sols et leur rôle, dans les mécanismes d'agrégation.

 Thèse Etat Univ. N/NCY I.
- 57. HENIN (S.), MONNIER (G.), COMBEAU (A.) 1958. Méthode pour l'étude de la stabilité structurale des sols.

 Ann. Agron., 1.
- 58. HENIN (S.), GRAS (R.), MONNIER (G.) 1969. Le profil cultural. L'état physique du sol et ses conséquences agronomiques.

 MASSON et Cie, Editeurs.
- 59. HOTTIN (G.), OUEDRAOGO (F.O.), TAPSOBA (P.J.-E) 1975. Le potentiel minier de la République de HAUTE-VOLTA.

 Ministère du Commerce, D.G.M. de HAUTE-VOLTA.
- 60. HOTTIN (G.) et OUEDRAOGO (F.O.) 1975. Notice explicative de la carte géologique à 1/1.000.000 ème de la République de HAUTE-VOLTA.

 D.G.M. de HAUTE-VOLTA.
- 61. I.R.A.T. (1972). Principaux résultats agronomiques obtenus par l'Institut de Recherches Agronomiques Tropicales et des Cultures Vivrières en HAUTE-VOLTA, 1960-1971.

Ministère de l'Agric. et de l'Elevage, Direction du Dêveloppement Rural - I.R.A.T,

62. I.R.A.T. (1975). - Fiche technique sur la culture de la canne à sucre en HAUTE-VOLTA.

art a little file of the second

- 63. JONQUET (P.) 1962. Rapport de prospection régionale de BANFORA.

 B.R.G.M., Juillet 1961 Juin 1962.
 - 64. JONQUET (P.) et SERRE (J.C.) 1964.- Prospection alluvionnaire générale et levées géologiques complémentaires dans l'ouest du degré carré de BANFORA et la partie volcanique du degré carré de KONG.

 B.R.G.M.
 - 65. KONONOVA (M.M.) 1961.- Soil organic matter, its nature, its role in soil formation and in soil fertility.

 Pergamon Press Ltd, 450 p.
 - 66. LAUDELOUT (H.), MEYER (J.), PEETERS (A.) 1960.- Les relations quantitatives entre la teneur en matière organique du sol et le climat.

 "Agricultura", vol. VIII, 2ème sér., n° 1.
 - 67. LEDENT (D.), DELHAL (J.), TRINQUARD (R.) 1969. Ages par la méthode pb/U de granites "éburnéens" de HAUTE-VOLTA; comparaison avec résultats obtenus par la méthode Sr/Rb sur roches totales et biotites.

 Ann. de la Soc. Géol. de Belgique, T. 92, pp. 285-292.
 - 68. LEMAITRE (Y.), GAUTHEYROU (J.), COLMET DAAGE (F.) 1960. Résultats expérimentaux sur la fertilisation de la canne à sucre en GUADELOUPE, récolte 1960.

Centre Techn. de la canne et du sucre de la GUADELOUPE.

- 69. LIBOIS (A.) 1968. Dynamique de l'azote minéral en sol nu.
 Ann. Agron., vol. 19, n° 2.
- 70. LOSSAINT (P.) 1959.- Etude expérimentale de la mobilisation du fer des sols sous l'influence des litières forestières.
 Ann. agron., 4, pp. 369-414.
- 71. LUNGU (I.) 1956.- Influence de la culture des herbes pérennes sur la structure de certains sols de la République Populaire Roumaine.

 VIème Congrès de la Sci. du Sol Paris Vol. E, pp.653-657.

72. MAGDOFF (F.R.) - 1973. - Influence of manure application rates and continuous corn on soil-N.

Agron. J., vol. 70, n° 4.

3.5 * 100 * 100 * 4.5 * 14.6

- 73. MARCELIN (J.), SERRE (J.C.) 1971. Notice explicative de la carte géologique au 1/200.000ème. BANFORA SINDOU MANGODARA.

 B.R.G.M., D.G.M. HAUTE-VOLTA.
- 74. MARTIN (D.), AUBRY (A-M.) 1975. Comparaison de profils du CONGO par des distances.

Cah. O.R.S.T.O.M., Sér. Pédol., vol. XIII, n° 2, pp. 175-190.

75. MARTIN (G.) - 1961.- Etude de quelques facteurs de la structure des sols de la Vallée du NIARI.

I.R.S.C. - M.C. 114, O.R.S.T.O.M.

- 76. MARTIN (G.) 1967. Synthèse agropédologique sur les sols de la Vallée du NIARI; évolution des sols sous culture.
 - Coll. Quinze ans de Travaux et de Recherches dans les pays du NIARI, 2ème Partie, pp. 51-188.
- 77. MARTIN (G.). Synthèse agro-pédologique des études O.R.S.T.O.M.

 dans la Vallée du NIARI, en République du CONGO-BRAZZAVILLE.

 Cah. C.R.S.T.O.M., Sér. Pédol., Vol. VIII, N° 1, pp.63-79.
- 78. MERNY (G.) 1979. Projet de rapport général réunion sur les nématodes de la canne à sucre BANFARA du 6 au 8.12.1978.

 O.R.S.T.O.M. G.E.R.D.A.T. I.R.A.T. SO.SU-HV.

 (à paraître)
- 79. MONNIER (G.), TURC (L.), JEANSON-LUUSINANG (C.) 1962.- Une méthode de fractionnement densimétrique par centrifugation des matières organiques du sol.

A Company of the Company of the Company

Ann. Agro., 13 (1), pp. 55-63...

::3:11: +

80. MONNIER (G.) 1965. - Action des matières organiques sur la stabilité structurale des sols.

Ann. Agron., 16 (4), pp. 327-400.

81. MOREAU (R.) - 1967. - Etude des sols de la région nord de BANFORA (HAUTE-VOLTA). Tome I : les sols et leur utilisation (canne à sucre).

Tome II : documents annexes.

O.R.S.T.O.M., Centre de DAKAR-HANN.

82. NEGRE (R.), CHIGLIONE (C1.), GIRAUD (M.), BAJOLLE (R.) - 1972.- Evolution de quelques constituants organiques des feuilles et des litières de cèdre au Petit LUBERON.

C.R. Acad. Sc. Paris, 274, D, pp. 3365-3367.

83. NEGRE (R.), CHICLIONE (C1.), AMOUROUX (J.-M.) - 1975.- Recherches sur la matière organique des rankers pyrénéens.

Rev. Ec. Biol. Sol, 12 (3), pp. 531-542.

84. NECRE (R.), CHICLIONE (C1.), PUGNET (T.), GIRAUD (M.) - 1976. - Influence des méthodes d'extraction et de purification sur la nature des acides humiques de la cédraie au Petit LUBERON.

Cah. C.R.S.T.O.M., Sér. Pédol., vol. XIV, n° 4, pp. 337-350.

85. NGUYEN KHA, DUCHAUFOUR (Ph.) - 1969. - Etude comparative de l'évolution de la matière organique du sol en conditions tempérées et tropicales.

PEDOLOGIE, XIX, 1, GAND, pp. 49-64.

- 86. NGUYEN KHA, DOMMERGUES (Y.) 1970.- Influence de l'hygrothermopériodisme sur la stabilité de la matière organique du sol mesurée par respirométrie.
 - Sci. du Sol, n° 1, pp. 53-62.
- 87. NICOU (R.) 1974. Contribution à l'étude et à l'amélioration de la porosité des sols sableux et sable-argileux de la zone tropicale

sèche. Conséquences agronomiques.

Agron., Vol. XXIX, n° 11, pp. 1100-1127.

88. PELLOUX (P.), DABIN (B.), FILLMANN (G.), GOMEZ (P.) - 1971.- Méthodes de détermination des cations échangeables et de la capacité d'échange dans les sols.

O.R.S.T.O.M., I.D.T., N° 17.

89. PIERI (C.) - 1974. - Premiers résultats expérimentaux sur la sensibilité de l'arachide à la toxicité allumique.

L'Agron. Trop., Vol. XXIX, n° 6-7, pp. 685-696.

90. PLAISANCE (G.) - 1956. - les sols à simili-gley.
Bull. A.F.E.S., 73, pp. 392-417.

91. RIEFFEL (J.L.), MOREAU (R.) - 1969.- Etude pédologique de la HAUTE-VOLTA, région Ouest-Sud.

Notice ronéo, Centre O.R.S.T.O.M. DAKAR-HANN, 221 p., 1 carte couleurs, 1/500.000ème.

92. ROOSE (E.J.) et BIROT (Y.) - 1971.- Mesure de l'érosion et du lessivage oblique et vertical sous une savane arborée du Plateau MOCSI, GONSE (HAUTE-VOLTA).

Ronéo, Centre O.R.S.T.O.M. ABIDJAN, 147 p.

93. ROOSE (E.J.) - 1972. - Quelques effets des pluies sur la mise en valeur des sols ferrallitiques et ferrugineux tropicaux.

O.R.S.T.O.M. Centre d'ADIOPODOUME, COTE D'IVOIRE.

94. SIBAND (P.) - 1974.- Evolution des caractères et de la fertilité d'un sol rouge de CASAMANCE.

L'Agron. Trop., Vol. XXIX, N° 12, pp. 1228-1248.

95. SPEARMAN (C.) - 1904.- The proof and measurement of association bet-

Am. J. Psych., 15, pp. 72-101.

96. THORNTWAITE (C.W.) - 1948. - An approach toward a rational classification of climats.

Geograph. Rev., 28, p. 56.

97. TOURTE (R.), CHARREAU (C.), NICOU (R.), POULAIN (J.F.) - 1967.- Le rôle des facteurs mécaniques (travail du sol) dans la création et l'amélioration du profil cultural en zone tropicale sèche, incidence sur la productivité agricole.
Coll. sur la fertilité des sols trop., TANANARIVE (MADAGASCAR), 19-25 Nov., Tome 2, pp. 1547-1569.

98. TRANDAFIRESCU (Th.) - 1956.- Les variations saisonnières du rythme de formation de la structure du sol.

VIème Congrès de la Sci. du sol, PARIS, Vol. E, pp.659-663.

99. TURENNE (J.F.) - 1976. - Dynamique de la matière organique en sols cultivés. Effets d'une culture intercalaire de sorgho en vertisols irrigués.

O.R.S.T.O.M., Centre des ANTILLES.

100. VAN DEN DRIESSCHE (R.) et GARCIA GOMEZ (A.) - 1972.- Distances non paramétriques entre profils.

Rev. Ecol. Biol., Sol, 1972, Tome IX, 4, pp. 617-628.

101. VAN DEN DRIESSCHE (R.) et GARCIA GOMEZ (A.) - 1973.- Comparaison multivariable non paramétrique des profils sans momenclature des horizons.

Cah. O.R.S.T.O.M., Sér. Pédol., Vol. XI, n° 3/4, pp.257-264.

102. VAN DEN DRIESSCHE (R.) - 1974. - La Banque de Données Pédologiques de 1'O.R.S.T.O.M.

Cah. O.R.S.T.O.M., Sér. Pédol., Vol. XII, n° 1, pp. 125-132.

103. VAN DEN DRIESSCHE (R.), GARCIA GOMEZ (A.), GIEY (A.) et AUBRY (A.M.) - 1975 - POSEIDON: Procédures opérationnelles en Statistiques et In-

formatique pour Données en langage naturel.

Coh. O.R.S.T.O.M., Sér. Pédol., Vol. XIII, n° 3/4, pp.

19 m m 1 / 19 g m 190

and the second

The second of th

katarista. Territoria per esta de la composició de la com

and the state of t

Sign of the transfer and a situation of the second sign of the second

and the second of the second distribution of the second of

ner bli i medkali i kilomi (f. 1900). Oli di ni ni ni mengene (f. 1900). Oli di mengelaksi i kilomikan wakaten Kalimansangi ili dibangi iki basa ni menaksi wantangi.

The second of th

A section of the following contracts and following the contract of the following contracts of the following contract

of the second of the second second second of the second se

of leading to the control of the property of the control of the co

ANNEXE I

A. FICHES DE TERRAIN.

a. Description de l'environnement du profil de sol.

Un trait horizontal tracé en face d'une donnée indique que cette dernière a été observée sur le terrain. Toutes les données portent chacune un code numérique qui sert à la saisie informatique. Des données complémentaires observables sur le terrain mais ne figurant pas dans cette fiche, peuvent être notées au dos de cette dernière.

b. Description du profil de sol.

Comme indiqué en haut et à gauche de la fiche, les nombres 1 à 5 correspondent aux différents horizons observés de haut en bas du profil. Joindre une seconde fiche quand le nombre de ces derniers dépasse cinq, une troisième quand il est supérieur à 10 et ainsi de suite. Pour la description proprement dite, on coche le numéro de l'horizon dans lequel a été observée la donnée indiquée dans le même alignement. C'est à partir de ces fiches qu'on a, par traitement informatique des données, obtenu les fiches descriptives des 15 profils de sol.

B. FICHES DESCRIPTIVES DES PROFILS.

FICHE: description de l'environnement

		7								*	
	. 1	plaine d'épand.débor l	N 1208	Profil au bas forme	N1701	sédimentaire cohérente	N2201	battement < 1 m	N3301	drainage drain enterré	N5203
		cuvette débordement			N1702	conglomérat	N2201	> 1 m	N3302	fosses d'interception	N5204
1641		décantation	N1210		N1703	bráche	N2203	eau non colorée	N3303	écartés de 6- 10 m	N5205
•		levée berge débordement	N1211	près bord forme	N1704		N2204	non trouble	N3304 N3305	10- 20 m . 20- 40 m	N5206 N5207
	 -		N1213	GEOLOGIE		dolomie calcaire	N2205 N2206	trouble	N3306	40- 60 m	N5208
MORPHOLOGIE	N 1001		N1214		N2001	organodétritique	N2207	sans odeur	N3307	50- 80 m	N5209
STAINE .	N1002		N1215	Clusieurs roches apper-		à organismes	N2208	avec odeur	N3306	80-100 m	N5210
MARKE	N1003		N1216 N1217	roches occupant 1- 5% 5-10 \$		craie calcaire pur	N2209 N2210	absence gaz présence gaz	N3309 N3310	profonds de < 0,5 m D,5-1m	N5211 N5212
oucavo-convexe	N1004		N1218	10-25 \$		préseux	N2211	CO2	N3311	1-1,5 m	N5213
replats	N1005 N1006	talus de terrasse	N1219	25-50 \$		argilogréseux	N2212	SH2	N3312	1.5-2 m	N5214
Chicois rocheux	N1007		N1251		N2007	marneux	R2213	CH4 circulation non observ.	N3313 N3314	> 2 m	N5216
corniches rocheus.	N1008	•	N1252 N1253		N2008 N2009	dolomitique marne	R2214 N2215	Pau Stagnante	N3314	bon entretien	N5217
erine par corniroch.		accumulation		F	N2010	argilite	N2216	lente	N3316	sens irrigation	N5218
trants arronois	N1010		N1255	roche homogéne	N2011	shale	N2217	moyenne	N3317	imigation intermittente	N5219
udn _j enz	N1012		N1256		N2012 N2013	calcareux prés	N2218 N2219	rapide	N3318		₩5220 N5221
liants arrondis	N1013		N1257 N1258		N2014	calcaire	N2220	VEGETATION		par gravité	N5222
no.ileiix	N1014 N1015	bes estran	N1259	poreuse	N2015	argileux	N2221	ligneux haut dense	N4001	spersion	- N5223
national deologie	N1016	construction biogène		très poreuse	N2016	feldspathique	N2222	haut clair	N8002 N4003	submers ion	N5224 N5225
mirs de gravite	N1017		N1261 N1262	cristalline granue	N2051	arkose évaporite	N2223 N2224	haut et bas	N4004	conduits sourerrains localisée	N5225
nsiste.	N1018	oelta rupt, levée litt.		grenue acide	N2052	roche gypseuse	N2225	bas	N4005	modelé non modifié	N5301
par ruissellement par grissement	N1015 N1020	Karst champ lapies nu		hyperquartzite	N2053	phosphatee	N2226	herbace et ligneux haut		modelé modifié	N5302
hijtahić bu, činase jejit	N1021		N1302	granitique	N2054	a organism.silic.	N2227	hautetba		per nivellement	N5303
au ement	N 1022		N1303 N1304	granite granite alcalin	N2055 N2056	tourbe roche résiduel.silic.	N2228 N2229	bas —herbacé —	N4008	ados et diquenes	N5304 N5305
age	N 1023		N1304	granite alcoalcaiin		sédimentaire meuble	N2251	végétation très claire	N4010	tosses et ados	N5306
riee burkuse	N1024	tono couvert		granodiorite	N2058	bloc title	N2252	sol nu	N4011	billons	N5307
division language	N1026	borns abrupt.		diorite quartzite	N2059	cail outis	N2253	non cultivé	N4012	planches	N5308 N5309
2311-51	N1027	oèpression nivo-karst gypso-saline		cristalligrenue alcalin syénite	N2060 N2061	gravier Sabie	N2254 -N2255	modifié	-N4013 N4014	banquettes terrasses	N5310
overest ne stable -	N1028		N1310	monzonite	N2062	lime-	N2256	recouvrement 0-51	N4015	remblais et déblais	N5311
Shellement rollus	N1029 N1030	1.4.7.	N1311	syènite felospathoi	N2063		N2257	5-10 \$	N4016	rizieres	N5312
•	N1031	apianissem, karstiq.		feldspathoidique	N2064	Can te	N2258	10-25 \$	N4017 N4018	sans travail du soi	N5313 N5401
"m connement	N1032	relief résiduel karst.	N1313 N1314	crisialligrenue basiqui diorite	N2065 N2066	non ar nue mixte	N2259 N2260	50-75 \$	N4019	labour	N5402
ne de rossell.concent.		amas de travertin Volça, coulée lave unie		gabbro	N2067	arrondi	NZ261	75-90 \$	N4020	détoncement	N5403
lave torrentielle	N1051		N1352	anorthosite	N2068	enguleux	N2262	96-100 5-		sous solage	N5404
Te Genulation	N1052	- •	N1353	diorite felospathoi.		arrondi et anguleu-	N2263	Struct.vertic.& horiz.re	_	épierrage	N5405 N5406
collinvial	N1053		N1354 N1355	gabbro felospathor. cristall,prenue ultrab.		loess vase	N2265	rég. & h.ir. irr. & hor.r		travati menuel	N5407
C'epandage	N1054		N1356	cristall.gren.faciës sp		arène	N2266	& hor.iné		anelé	N5408
en coupoie	พ1101 พ1102	dyke	N1357	pepmatite	N2073	Iluvions	₩2267	garrigue	N4101	motorisé	N5409
en dos baleine	N1103	• · · · · · · · · · · · · · · · · · · ·	N1358	aplite	N2074 N2075	colluvions hologène	N2268 N2301	lande maquis	N4102 N4103	sans orientation definie	N5410 N5411
a chicois	N1104	nappe cendre épandage hydrovolca	N1359	lamprophyre volcanique massive	N2075	pieistocene	N2302	Savane	N4104	paralièle pente	N5412
Chaos de blocs britte temoir.	N1105 N1106		N1401	voic. massive acide	N2102	pliocèrie	N2303	steppe	N4105	Suivant c Jurbes niveau	→ ₩5413
Surface d'aplanissem.		מישיחוות	N1402	rhyolite	N2103	miocène	N2304			oblique à pente	N5414
nette	N1108		N1403	dacite	N2104	oligocène éocène	N2305 N2306	HOMME production de bois	N5001	aucune façon ni soin facons soins épisodique	N5415
0egra0e€ .	N1109		N1404 N1405	volc. massive alcaline trachytique	N2105	crétacé	N2307	påture	N5002	fréquents	N5417
regradee repiat énightrique	N1110		N1406	- phonolytique	N2107	jurassique	N2308	fauche	N5003		N5501
surface Structurale	N1112	de fond	N1407	feldspathoid.volcan.		trias	N2309	production fourragère	N5004 N5005	avec clotur.mor	
lien champ chablis .	N1151	arc morainique	N1408	voic, massive basique	N2109 N2110	permien carbonitère	N2310 N2311	vivrière ndustrielle			e N5503 . N5504
cuvette déflation	N1152	moraine glacier roch. remaniée	N1410	basalte andésite	N2111	dévonien ·	N2312	arboriculture	N5007	aucun amendement	N5505
accumul, prég, diffus	N1153	ablation	N1411	basaire à feldspatho		gothlandien	N2313	horticulture	N5008	amendement calcique	N5506
local.s.		dépress.culots gl.mo		patéovolcanique	N2113	ordovicien	N2314			amendement calcolig	N5507
amas contre obstacle	N1156	06	N1413	volcanique non massive lave vacuolaire	N2114 N2115	cambrien antécambrien	N2315 N2316	ancienne	N5010 N5011	apport de sable dernier il y a 1 an	N5508 N5509
lunerit	N1157	dépot obturat, glac. Lame	N1414 N1415	scorie	N2116		1423 10	actuellement extensive		2	N5510
Oune Darkhane	N1158 N1159		N1416	ponce	N2117	HYDROLOGIE		intensive] 3	N5511
Caoudeyre	N1160	Gel coulée gélifluxion		pyroclastique meuble		submersion contrôlée	N3001	sans rotation définie	N5014	!	N5512
champ de dunés	N1161	tavée ruissel replat cryoplanation		bloc pyroclastique bombe pyroclastique	N2119 N2120	temporaire mi-permenente	N3002 N3003	rotation	₩N5015	furnire orpanique	N5513
non jointives	N1162 N1163	fig. péométr.périglec		lapilli	N2121	permanente		means exploisation anim			-N551E
transversales Iongitudinales	N1164	valion fond plat	N1455	cendre	N2122	per pluie	N3005		N5018		N5601
reticulees	N1165	perceau	N1456	pyroclastique consolid	N2123 N2124	fonte des neiges			N5019	•	N5607
en pyramides	N1166	dissymétriq. dépression thermokai		brèche pyrociastique tuf pyroclastique	N2125	exhaussem, napp débordement	N3008	exploit, forest, enarch.		rigoles	N560: N560:
luvial chenal simple anastomose	N1201 N1202	Couloir d'avalenche	N1461	cinérite	N2126	marée	N3009		N5103		N560
banc médian :	N1203	cone d'avalanche	N1462	métamorphique	N2151	suintement	N3010			remaniement prenulomét	
latéral	N1204	moraine de névé	N1466	cornéenne	N2152	mouillère	N3011	jardinée	N5105		- N560; N560(
cone de déjection cha		Sobka Alvácie	N1471 N1481	siliceuse alumineuse	N2153 N2154	cours d'eau	N3012 N3013		N5106 N5107		N5601
régulier	N 1206 -N 1207	Pente S	N15	calcosilicatée	N2155	dépression limni		plamation sous couver		,	
plaine alluviale	-14 1207	Exposition N	N1601	quertzite	N2156	Salés	e N3015	en découver	1 N5109		
		NE	N1602	quartzophyllade	N2157	engargement tempor.			N5110 N5111		<u>₹</u>
		E SE	N 1603 N 1604	phyllade schiste vert	N2158 N2159	semi-permenent	N3017 N3018		N5111		1 · I
		St	N1605	micaschiste	N2160	par ruissell, hypod.	N3018		N5113		¥
·		S#	N1606	gneiss	N2161	nappe éclipses	N3020		N5114		FOGREAH
		₩	N1607	mignatite	N2162	nappe phrástiqu imeroflux	• N3021 N3022	perchis futaie	N5115 N5116	· ·	Ĭ <u>ĕ</u> I
		Forme active	N 1608	calcaire métamorphique amphibolite	N2164	venues protonde					1 1
		héritée Survivant	N1652	рутохénite	N2165	nivesu à plus soum	N31				
		Stabilisée	N1653			à moins 97	N32			CJB444	

FICHE: description du profil

- HORIZON/HRZ 1/DE O A 30 CM/ÜN // - HORIZON/HRZ 2/DE 30 A 30 CM/ÜN // - HORIZON/HRZ 3/DE 60 A 425 CM/ÜN // - HORIZON/HRZ 4/DE A CM/ÜN // - HORIZON/HRZ 5/DE A CM/ÜN //	DQ 45 apparemment non organique D2 3 4 5 à matière organique non directement décelable 1 2 3 4 5 à matière organique directemant décelable 1 2 3 4 5 à débris organiques 1 2 3 4 5 aucune effervescence	003 4 5 , sans éléments grossiers 1 teneur approximative en éléments grossiers 2 teneur approximative en éléments grossiers \$ PC\$ 4 teneur approximative en éléments grossiers PC\$
Fiche 464 1 1977	1 2 3 4 5 faible effervescence	5 teneur approximative en éléments grossiers PC
1 2 3 4 5 sec	1 2 3 4 5 effervescence 1 2 3 4 5 vive effervescence	1 2 🗗 5 très peu de graviers
1Ø3 4 5 légèrement humide		1 2 3 4 5 graviers peu abondants
① 2 3 4 5 humide 1 2 3 4 5 très humide	1 2 3 4 5 localisée 1 2 3 4 5 généralisée	1 2 3 4 5 graviers
12345 noyé	1 2 3 4 5 généralisée irrégulièrement répartie	1 2 3 4 5 graviers abondants 1 2 3 4 5 graviers très abondants
		1 2 3 4 5 graviers três abondants
Ф 59 R. L. L. L. humide	1 2 3 4 5 moins de 2PC 1 2 3 4 5 de 2 à 15PC	12245 tala nau da nalila
@54R. 4/. 8 humide	1 2 3 4 5 de 15 à 30PC	1 2 3 4 5 très peu de cailloux 1 2 3 4 5 cailloux peu abondants
	1 2 3 4 5 de 30 à 60PC	1 2 3 4 5 cailloux
3 54R. 41. 8 humide	1 2 3 4 5 plus de 60 PC	1 2 3 4 5 cailloux abondants
4 ./. humide	1 2 3 4 5 éléments carbonatés	1 2 3 4 5 cailloux très abondants
4 ,/. humide	1 2 3 4 5 éléments gypseux	12245
5 . /. humide	1 2 3 4 5 éléments carbonatés et gypseux	1 2 3 4 5 très peu de blocs 1 2 3 4 5 blocs peu abondants
	1 2 3 4 5 diffus	1 2 3 4 5 blocs
07,59R 51. 6 sec	1 2 3 4 5 en pseudomycélium	1 2 3 4 5 blocs abondants
@55R 41. 6 sec	1 2 3 4 5 en amas	1 2 3 4 5 blocs très abondants
47. 6 %	1 2 3 4 5 en nodules friables	
(3) 54R . 5 /. 6 sec	1 2 3 4 5 en nodules	1 2 3 4 5 de roche sédimentaire détritique
	12345 en pédodes	1 2 3 4 5 de roche sédimentaire argileuse
4 - /- sec	12345 en septarias 12345 en encroûtement	1 2 3 4 5 de roche sédimentaire calcaire 1 2 3 4 5 de roche sédimentaire dolomitique
	12345 en croûtes	1 2 3 4 5 de roche sédimentaire dolomitique 1 2 3 4 5 de roche sédimentaire phosphatée
5 . / sec	1 2 3 4 5 en dalles	1 2 3 4 5 de roche sédimentaire siliceuse non détritiq
OO3 4 5 sans taches	1 2 3 4 5 en pellicules rubanées	1 2 3 4 5 de roche sédimentaire saline
1 2 3 4 5 quelques taches	12345 lithiques	1 2 3 4 5 de roche sédimentaire
1 2 3 4 5 taches	1 2 3 4 5 en macrocristaux	1 2 3 4 5 de roche métamorphique
1 2 3 4 5 nombreuses taches	1 2 3 4 5 en revêtements autour d'éléments grossiers	1 2 3 4 5 de roche ignée grenue 1 2 3 4 5 de roche ignée microgrenue
1 2 3 4 5 très nombreuses taches	1 2 3 4 5 en pellicules d arrachement	1 2 3 4 5 de roche ignée microgrenue 1 2 3 4 5 de roche ignée microlithique
1 2 3 4 5 peu étendues	1 2 3 4 5 et diffus	1 2 3 4 5 de roche ignée ultrabasique
3 4 5 étendues	1 2 3 4 5 et en pseudomycélium	1 2 3 4 5 de roche ignée
1 •. /•. •	12345 et en amas 12345 et en nodules friables	
	1 2 3 4 5 et en nodules	1 2 3 4 5 et de roche sédimentaire détritique
2 *. /*. *	1 2 3 4 5 et en pédodes	1 2 3 4 5 et de roche sédimentaire argileuse
3 •. /•. •	1 2 3 4 5 et en septarias	1 2 3 4 5 et de roche sédimentaire calcaire
3 •. /•. •	1 2 3 4 5 et en encroûtement	1 2 3 4 5 et de roche sédimentaire dolomitique
4 • /- •	1 2 3 4 5 et en croûtes	1 2 3 4 5 et de roche sédimentaire phosphatée
•	1 2 3 4 5 et en dalles	1 2 3 4 5 et de roche sédimentaire siliceuse non détri 1 2 3 4 5 et de roche sédimentaire saline
5 *. /*. *	12345 et en pellicules rubanées 12345 et lithiques	1 2 3 4 5 et de roche sédimentaire
1 2 3 4 5 liées aux faces des unités structurales	1 2 3 4 5 et en macrocristaux	1 2 3 4 5 et de roche métamorphique
1 2 3 4 5 associées aux vides	1 2 3 4 5 et en revêtements autour d'éléments grossiers	1 2 3 4 5 et de roche ignée grenue
1 2 3 4 5 associées aux éléments grossiers	12345 et en pellicules d'arrachement	1 2 3 4 5 et de roche ignée microgrenue
1 2 3 4 5 associées aux racines	1 2 2 4 5 diámente ferrusinaux	1 2 3 4 5 et de roche ignée microlithique
1 2 3 4 5 sans relations visibles avec les autres caractères	1 2 3 4 5 éléments ferrugineux 1 2 3 4 5 éléments ferro-manganésifères	1 2 3 4 5 et de roche ignée ultrabasique 1 2 3 4 5 et de roche ignée
1 2 3 4 5 irrégulières	1 2 3 4 5 éléments alumineux	. 2 0 4 0 Ct de l'Oulle Agrice
1 2 Q 4 5 arrondies	1 2 3 4 5 éléments manganésifères	·
12345 en traînées verticales 12345 en traînées horizontales	1 2 3 4 5 éléments sesquioxydiques non identifiés	0.14
1 2 3 4 5 en traînées obliques	1 2 3 4 5 de forme diffuse	1 texture Salleuse
1 2 3 4 5 en traînées orthogonales	1 2 3 4 5 en taches ferrugineuses	6
1 2 3 4 5 an traînées sans orientation préférentielle	1 2 3 4 5 de forme nodulaire .	O texture Salleuse Otexture argilo-sableuse Otexture argilo-sableuse
1 2 3 4 5 an raies	1 2 🔾 4 5 en concrétions	Meximo arsila - sablema
1 2 3 4 5 en bandes	1 2 3 4 5 en pellicules	Olivinia de Angele de Carrette
1 2 3 4 5 à limites peu nettes	1 2 3 · 5 en dendrites	4 texture
1 2 3 4 5 à limites nettes	12345 en carapaces 12345 en cuirasses	
1 2 3 4 5 à limites très nettes	T Z O 4 D CII CON 03323	5 texture
1 2(3)4 5 peu contrastées	1 2 3 4 5 et de forme diffuse	1 2)3) 4 5 à sable fin
1 2 3 4 5 contrastées	1 2 3 4 5 et en taches ferrugineuses	①2 3 4 5 isable grossier
1 2 3 4 5 très contrastées a la contrastées	1 2 3 4 5 et de forme nodulaire	
	1 2 3 4 5 et en concrétions	1 2 3 4 5 ferrugineux 0 004 5 quartzeux
1 2 3 4 5 moins cohérentes 1 2 3 4 5 aussi cohérentes	12345 et en pellicules 12345 et en dendrites	1 2 3 4 5 micacé
1 2 3 4 5 plus cohérentes	1 2 3 4 5 et en carapaces	1 2 3 4 5 calcaire
	1 2 3 4 5 et en cuirasses	1 2 3 4 5 dolomitique
1 2 🔾 4 5 aucune autre tache	·	1 2 3 4 5 feldspathique
1 2 3 4 5 quelques autres taches	1 2 2 A E	1 2 3 4 5 volcanique
12345 autres taches	12345 silice 12345 sulfures	1 2 3 4 5 gypseux
1 2 3 4 5 nombreuses autres taches	I Z O T J SUITUTES	

FICHE: description du profil (suite)

	•					
()2345	structure particulaire	12345	volume des vides très faible		12345	
10045	structure massive	12343	entre agrégats		10045	matériau à consistance rigide matériau à consistance semi-rigide
12345	structure fragmentaire	12345	volume des vides faible		02345	matériau à consistance malléable
		•	entre agrégats		12345	matériau à consistance pâteuse
1 2 3 4 5	peu nette	12345	volume des vides assez important		12345	matériau à consistance élastique
02345	nette	12345	entre agrégats volume des vides important		12345	peu cimenté
12345	très nette	12345	entre agrégats		12345	fortement cimenté
12345	et localisée	12345	volume des vides très important		12345	induré
000345	et généralisée		entre agrégats		12345	non cimenté -
12345	fibreuse -	12345	boulant	_	00045	non plastique
. 12345	feuilletée	0 2345	meuble		12345	peu plastique
10345	à éclats anguleux	1 236 45	cohérent		12345	plastique
	à éclats émoussés				12345	très plastique
		G AA . r				
12345	cubique en plaquettes obliques	12345	pas de fentes fentes		10045	• .
12345	lamellaire			_	12345	non collant collant
12345	squameuse	:	•		12345	Collant
12345	prismatique	12345	agrégats sans pores visibles	•	1 2(3 4 5	non friable
12345	en colonnes	1 2 3 4 5	agrégats à pores peu nombreux		1(2) 3 4 5	peu friable
12345	polyedrique	12345	agregats a pores nombreux		12345	friable
12345	polyédrique subanguleuse	12345	agrégats à pores très nombreux	_	12345	très friable
12345	grenue	12345	très fins		. —	
12345	grumeleuse	12345	très fins et fins		1 20 4 5	non fragile
12345	très fine	12345	fins .		10345	peu fragile
12345	fine et très fine	12345	très fins et moyens	٠.	12345	fragile
12345		. 12345	fins et moyens		12345	très fragile
12345	moyenne et fine	12345	moyens ·		12345	croûtes et/ou efflorescences
12345	moyenne	12345	très fins et larges			crodies et/ou emorescences
12345	moyenne et grossière	12345	fins et larges		12345	chlorurées
12345	grossière grossière et très grossière	12345	moyens et larges		12345	sulfatées
12345		12345	larges	_	12345	carbonatées
		12345	tubulaires		12345	bicarbonatées
12345	a sur	12345	vacuolaires			
. 12345	à sous	1 2 3 4 5			1 2 🗗 4 5	pas de racines
12345	structure cubique	12345	intergranulaires		10 3 4 5	quelques racines
12345		12345	verticaux	- :	12345	racines
12345		12345			02345	nombreuses racines
12345		12345	obliques		10 3 4 5	fines
12345		12345	sans orientation dominante		02345	fines et moyennes
12345		1 2 3 4 5	non poreux ·	_	12345	moyennes
12345		12345	. '			fines et grosses
12345		12345	•		12345	moyennes et grosses
12345	structure grumeleuse	12345			12345	grosses
12345	structure massive-	12345	très poreux			
12345	très fine-	12245	and from his arter	_	02345	entre les agrégats
12345		12345	•		12345	revêtant les faces des agrégats
12345	moyenne-	. 12343	•		12345	pénétrant les agrégats
12345	grossière-	1 2 3 4 5	•		12345	entre les agrégats et déviées revétant les agrégats et déviées
12345	- très grossière-	12345	faces de glissement		12345	pénétrant les agrégats et déviées
12345	associée .	12345	pas de revêtements			benetiant les adiedats et devices
12345	juxtaposée	12345	•			
12345	à une structure cubique	12345	•		12345	transition diffuse
12345	•	12345	revêtements argilo-ferrugineux		12345	transition graduelle
12345		12345	revêtements sesquioxydiques	•	① 2 3 4 5 1② 3 4 5	transition distincte
12345		1 2 3 4 5	revêtements manganésifères		12345	transition nette transition très nette
12345	à une structure prismatique	1 2 3 4 5				transition tres nette
12345	à une structure en colonnes	12345			12345	interrompue
12345		12345			02345	irrégulière
	à une structure polyédrique subanguleuse	12345			12345	onduiée.
12345	•	1 2 3 4 5	revêtements complexes		1②3 4 5	régulière
1 2 3 4 5	5 à une structure grumeleuse	1 2 3 4 5	minces			
		12345	épais		NUMéro d	u profil en 3 lettres et 3 chiffres :
		1 2 3 4 5	très épais		\sim 7	B 111
		12245	cut enténate	_	C 3	カゴコゴ
		1 2 3 4 5 1 2 3 4 5				
		12345			coordonné	es au verso.
	•	12345				•
		12345				
					•	

PROFIL/NO 1638/BNS281 MR. SOURABIF 308M. EXPOSITION SUD-EST. SECTEUR NIANKA-SUD. PLAINES DE BANFORA, AU PIED FALAISE DE BANFORA. PARCELLE CULTIVEE EN CANNE A SUCRE DEPUIS 1973. VARIETE NCO 376, SUPFRFICIE 25 HA. MATERIAUX ARGILO-GRAVILLONNAIRES ET RECOUVREMENTS SABLO-ARGILEUX. TRAVAIL DU SOL PAR DEFRICHEMENT MECANIQUE, MISE EN TAS ET BRULIS DE LA VEGETATION PREEXISTANTE. SOUS SOLAGE MECANIQUE. RAMASSAGE MANUEL ET BRULIS DES RACINES, LABOUR ET BAYONNAGE/ORSTOM.10N.45.N.4W.42.W.OCT.X38.

- HOPIZON/HRZ 1/DE 0 A 40CM// HUMIDE.

7.5YP.4/.4HUMIDE.10YR-.5/-.3SEC.SANS TACHES.A MATIERE ORGANIQUE DIRECTEMENT DECELARLE.

SANS ELEMENTS GROSSIERS.TEXTURE SABLO-ARGILEUSE.A SABLE GROSSIER.QUAPTZEUX.

STRUCTURE FRAGMENTAIRE.NETTE.ET GENERALISEE.GRENUE. GHOSSIERE.

MEUBLE.PAS DE FENTES.

MATERIAU A CONSISTANCE MALLEABLE.NON CIMENTE.NON PLASTIQUE. NON COLLANT.

PACINES.

FICHE 1638 TRANSITION NETTE . REGULIERE .

- HOPIZON/HRZ 2/DE 40 A 140CM// HUMIDE.

SYR.5/.6HUMIDE.7.5YR-.6/-.6SEC.NOMBREUSES TACHES.PEU ETENDUES.SANS RELATIONS VISIBLES AVEC LES AUTRES CARACTERES.IPREGULIERES.A LIMITES PEU NETTES.PEU CONTRASTEES.AUSSI COHERENTES.AUCUNE AUTRE TACHE.APPAREMMENT NON ORGANIQUE.

SANS ELEMENTS GROSSIERS.TEXTURE ARGILO-SABLEUSE.A SABLE GROSSIER.FERRUGINEUX.

STRUCTURE MASSIVE.NETTE.ET GENERALISEE.A ECLATS EMOUSSES. MEUBLE.PAS DE FENTES.

MATERIAU A CONSISTANCE MALLEABLE.NON CIMENTE.NON PLASTIQUE. NON COLLANT.

PAS DE RACINES.

FICHE 1638.

PROFIL/NO 1639/BNS291 MR. SOURABIE 299M. EXPOSITION
SUD-FST. SECTEUR NIANKA-SUD. PLAINES DE BANFORA. AU PIED DE
LA FALAISE DE BANFORA. PAPCELLE CULTIVEE EN CANNE A SUCRE
DEPUTS 1974, VARIETE NCO 376. SUPFRFICIE 25 HA. MATERIAUX
ARGILO-SAPLEUX. TRAVAIL DU SOL PAR. DEFRICHEMENT MECANIQUE,
MISE FN TAS MANUELLE ET BRULIS DE LA VEGETATION
PREFXISIANTE. SOUS SOLAGE MECANIQUE. RAMASSAGE MANUEL FT
BRULIS DES RACINES, LABOUR ET RAYONNAGE/
ORSTOM.10N.44.N.4W.41.W.OCT.1977.X38./

- HORIZON/HRZ 1/DE 0 A 20CM//

HUMIDF.

51R.37.4HUMIDE.7,5YR-.5/-.4SEC.SANS TACHES.4 MATIERE ORGANIQUE NON DIRECTEMENT DECELABLE.

SANS ELEMENTS GROSSIERS.TEXTURE SABLEUSE.A SABLE GROSSIER. QUARTZEUX.

STRUCTURE PARTICULAIRE.TRES NETTE.ET GENERALISEE.GRENUE.GROSSIERE.

MEUBLE.PAS DE FENTES.

PAS DE FACES LUISANTES.MATERIAU A CONSISTANCE MALLEABLE.NON CIMENTE.NON PLASTIQUE.NON COLLANT.

NUMBPEUSES RACINES.FINES.

FICHE 1639. TRANSITION NETTE. ONDULFE.

- HOPIZON/HRZ 2/DE 20 A 150CM//

2.5YP.4/.6HUMIDE.5YR-.4/-.8SEC.SANS TACHES.APPAREMMENT NON

ORGANIQUE. SANS ELEMENTS GROSSIERS.TEXTURE ARGILO-SABLEUSE.A SABLE FIN.OUARTZEUX.

STRUCTURE MASSIVE.TRES NETTE.ET GENERALISEE.A ECLATS EMOUSSES.

COHEPENT.PAS DE FENTES.

PAS DE FACES LUISANTES.MATERIAU A CONSISTANCE MALLEABLE.NON CIMENTE.NON PLASTIQUE.NON COLLANT. QUELQUES RACINES.FINES ET MOYENNES.

FICHE 1639.

PROFIL Nº6

PROFIL/NO 1643/CBW114 MR. SOURABIF 309M. EXPOSITION EST. SECTEUR BEREGADOUGOU-OUEST, PLAINES DE BANFORA, AU PIED FALAISE DE BANFORA. PARCELLE CULTIVEE EN CANNE A SUCRE DEPUTS 1974, SUR MATERIAUX ARGILO-SABLEUX, VARIETE NCO 376. SURERFICIE DE 22.4 HA. TRAVAIL DU SOL PAR DEFRICHEMENT MECANIQUE. MISE EN TAS MANUELLE ET BRULIS DE LA VEGETATION PHEEXISTANTE. SOUS SOLAGE MECANIQUE. RAMASSAGE MANUEL ET BHULIS DES RACINES. LABOUR ET PAYONNAGE/

- HOPIZON/HPZ 1/DE 0 4 40CM// LEGEREMENT HUMIDE.

SYR.47.44UMIDE.7.5YR-.5.57-.45EC.SANS TACHES.A MATTERE OMGANIQUE NON DIRECTEMENT DECELABLE.

SANS ELEMENTS GROSSIERS. TEXTURE SABLEUSE. A SABLE FIN. OUARTTEUX.

STRUCTURE PAPTICULAIRE.NETTE.ET GENERALISEE.GRENUE.FINF. MEURLF.

MATERIAU A CONSISTANCE MALLEABLE.NON COLLANT. PACINES.FINES ET MOYENNES.

FICHE 1643. TRANSITION DISTINCTE. REGULIERE.

- HOPIZUN/HRZ 2/DE 40 A 140CM//

HUMIDE ...

5YR.47.8HUMIDE.5YR-.47-.6SEC.SANS TACHES.APPAREMMENT NON ORGANIQUE.

SANS FLEMENTS GROSSIERS. TEXTUPE SABLO-ARGILEUSE. A SABLE GROSSIER. DUARTZEUX.

STRUCTURE MASSIVE.PEU NETTE.ET GENEPALISEE.

MATERIAU A CONSISTANCE MALLEABLE.NON COLLANT. QUELQUES RACINES.MOYENNES. FICHE 1643.

PROFIL N° 7

PROFIL/NO 1637/BYE171 MR. SOURABLE 311M. EXPOSITION SUD-EST. SECTEUR YANNON-EST. PLAINES DE BANFORA, AU PIED FALAISE DE BANFORA. PARCELLE CULTIVEE EN CANNE A SUCRE DEPUIS 1975, SUR MATERIAUX APCILO-SABLEUX. VARIETE NCO 376. SUPEPFICIE 25 HA. TRAVAIL DU SOL PAR DEFRICHE MECANIQUE. MISE EN TAS MANUELLE ET BRULIS DE LA VEGETATION PREEXISTANTE . SOUS SOLAGE MECANIQUE . RAMASSAGE MANUEL ET BRULTS DES PACINES. LABOUR ET PAYONNAGE/ ORSTOM.10N.46, N.4W.39.W.OCT.1977. X38./

- HOPIZON/HPZ 1/DE 0 A 60CM// LEGEREMENT HUMIDE.

5YR.4.5/.4HUMIDE.7.5YR-.5.5/-.4SEC.SANS TACHES.A MATIERE OPGANIQUE NON DIRECTEMENT DECELABLE.

SANS ELEMENTS GROSSIERS. TEXTURE SABLEUSE. A' SABLE GROSSIER. QUARTZEUX.

STRUCTURE PARTICULAIPE.NETTE.ET GENERALISEE.GRENUE.MOYENNE ET GROSSIFRE.

MEURLE. PAS DE FENTES.

MATERIAU A CONSISTANCE MALLEABLE.NON CIMENTE.NON PLASTIQUE. NUM COLLANT.

NUMBREUSES RACINES.FINES ET MOYENNES.

FICHE 1637. TRANSITION DISTINCTE. IPREGULIERE.

- HOPIZON/HRZ Z/DE 60 A 110CM//

LEGEPEMENT HUMIDE.

7.5YP.5,5/.6HUMIDE.7.5YR-.6/-.5SEC.QUELQUES TACHES.PEU ETEMPUES. ASSOCIEES AUX ELEMENTS GROSSIERS. ARRONDIES. A LIMITES NETTES. CONTRASTEES. AUSSI COHERENTES. APPAREMMENT NON DRGANIQUE.

TENEUP APPROXIMATIVE EN ELEMENTS GROSSIERS 10PC.GRAVIERS PEU APONDANTS. TEXTURE ARGILO-SABLEUSE. A SABLE FIN. QUARTZEUX.

STRUCTURE MASSIVE.NETTE.ET GENERALISEE.A ECLATS EMOUSSES. COHERENT.PAS DE FENTES.

MATERIAU A CONSISTANCE MALLEABLE. PEÙ CIMENTE. NON PLASTIQUE. NON COLLANT.

QUELQUES RACINES.FINES.

FICHE 1637.

PROFILING 1634/ABW541: MR. SOURABIE 289M. EXPOSITION EST. SECTFUR BEREGADOUGOU-OUEST. PLAINES DE BANFORA, AU PIED DE LA FALAISE DE BANFORA. PARCELLE CULTIVEE EN CANNE A SUCRE DEPUIS 1976. SUR, GRAVILLONS SUR ALTERATIONS DE GRES ET AFFLEUREMENTS, VARIETE NCO 376, SUPERFICIE 25 HA. TRAVAIL DU SOL PAR DEFRICHE MECANIQUE, MISE EN TAS MANUELLE ET HADLISTDE LA VEGETATION PREEXISTANTE, SOUS SOLAGE MECANTOUR. RAMASSAGE MANUEL ET BRULTS DES RACINES. LABOUR ET WAYONNAGE/OFSTOM.10N.44, N.4W.45, W.OCT.1977.E8./

- HOPIZUNIARZ 1/DE 0 A 50CM//

LEGEREMENT HUMIDE.

7.5Y-.4/.4HUMIDE.10YR-.6/-.4SEC.SANS TACHES.A MATIERE UNGANIQUE NON DIRECTEMENT DECELABLE.

SANS FLEMENTS GROSSIERS.TEXTURE SABLEUSE.A SABLE GROSSIER. QUARTZEUX.

STAUCTURE MAPTICULAIPE.NETTE.GRENUE.MOYENNE.

MEURLE.PAS DE FENTES.

MATERIAU A CONSISTANCE MALLEABLE. MON PLASTIQUE. NON COLLANT. RACINES.FINES ET MOYENNES.

FICHE 1634. TRANSITION DISTINCTE. IRREGULIERE.

- HORIZUN/HRZ 2/DE 50 A 140CM//

LEGEREMENT HUMIDE.

10YR.5/.8HUMIDE.1GYR-.7/-.6SEC.SANS TACHES.APPAREMMENT NUN URGANIQUE.

SAWS ELEMENTS GROSSIERS.TEXTURE ARGILO-SABLEUSE.A SABLE FIN.QUARTZEUX.

. STRUCTURE MASSIVE. PEU NETTE. FINE.

CUHERENT.PAS DE FENTES.

MATERIAU A CONSISTANCE MALLEABLE.MON PLASTIQUE.MON COLLANT. PAS DE RACINES.

FICHE 1634.

PROFIL Nº 9

PROFIL/NO 1635/ALE151 MR. SOURABIE 280M. EXPOSITION
SUD-FST. SECTEUR DE LEMOUPOUDOUGOU-EST PLAINES DE BANFORA,
AU PIED DE LA FALAISE DE BANFORA. PARCELLE CULTIVEE EN
CANNE A SUCRE DEPUIS 1976, VARIETE NCO 376, SUR, GRAVILLONS
SUR ALTERATIONS DE GRANODIORITES. SUPERFICIE DE 25 HA.
TPAVAIL DU SOL PAR DEFRICHE MECANTQUE. MISE EN TAS MANUELLE
ET BRULIS DE LA VEGETATION PREEXISTANTE. SOUS SOLAGE
MECANTQUE. RAMASSAGE MANUEL ET BRULIS DES RACINES. LABOUR
ET PAYONNAGE. DE 0 A 65 CM DE PROFONDEUR. HOPIZON
GRAVILLONNAIRE. GRAVILLONS TRES LISSES/
OFSTOM.10N.42.N.4W.47.W.OCT.1977.E8./

- HOPIZON/HHZ 1/DE 0 A 15CM// LEGEPEMENT HUMIDE.

1079.37.1.5-UMIDE.107P-.57-.4SEC.5ANS TACHES.A MATIERE GREAMIQUE NON DIRECTEMENT DECELABLE.

TENFOR APPROXIMATIVE EN ELEMENTS GROSSIERS 50PC.GRAVIERS APONDANTS.TEXTURE SABLEUSE.A SAPLE FIN.QUARTZEUX.

STRUCTURE MARTICULAIRE. TRES WETTE. ET GENERALISEE.

MEUPLE. PAS DE FENTES.

MATERIAU A CONSISTANCE MALLEABLE.MON CIMENTE.NON PLASTIQUE.

RACINES. FINES.

FICHE 1635. TRANSITION NETTE. ONDULFE.

- hOPI70N/hPZ 2/DE I5 A 45CM// HUMIDE.

10YR.7.5/.4HUMIDE.10YP-.8/-.6SEC.SANS TACHES.A MATIERE

ORGANIQUE NON DIRECTEMENT DECELABLE.

TENEUP APPROXIMATIVE EN ELEMENTS GROSSIERS 50PC.GRAVIERS TRES ARUNDANTS.TEXTURE SARLEUSE.A SABLE FIN.QUARTZEUX. STRUCTURE PAPTICULAIRE.TRES METTE.ET GENERALISEE.

MEUPLE.PAS DE FENTES.
MATERIAU A CONSISTANCE MALLEAGLE.PEU CIMENTE.NON PLASTIQUE.
NON COLLANT.

QUELQUES PACINES.FINES.

FICHE 1635. TRANSITION NETTE. PEGULJEPE.

- HOPIZON/HHZ 3/DE 45 A 65CM// NOYE.

10YR.67.6HUMIDE.10YR-.87-.4SEC.TACHES.ETENDUES.SANS FELATIONS VISIBLES AVEC LES AUTPES CARACTERES.EN TRAINÉES SANS ORIENTATION PREFERENTIELLE.A LIMITES PEU NETTES.PFU CONTRASTEFS.AUSSI COMFRENTES.AUCUNE AUTRE TACHE.APPAREMMENT NON ORGANIQUE.

TENEUR APPROXIMATIVE EN ELEMENTS GROSSIERS 10PC. TRES PEU DE

GRAVIERS. TEXTURE ARGILEUSE.

STRUCTURE MASSIVE.NETTE.ET GENERALISEE.A ECLATS EMOUSSES. BOULANT.PAS DE FENTES.

MATERIAU & CONSISTANCE FLASTIGUE.PLASTIQUE.COLLANT. PAS DE RACINES.

FICHF 1635.

PROFIL Nº 11

PROFIL/NO 1636/BYW061 MR. SOURABIE 330M. EXPOSITION EST. SECTEUR DE YANNON-OUEST. PLAINES DE BANFORA. AU PIED DE LA FALAISE DE BANFORA. JACHERE DOUN AN. SUR MATERIAUX ARGILO-SABLEUX. VEGETATION DOMINEE PAR DES GRAMINEES ET QUELQUES GRANDS ARBRESBUTYROSPERMUM PARKII ET PARKIA BIGLOPOSA. A PARTIR DE 140 CM DE PROFONDEUR. HORIZON ENTIFPEMENT CUIRASSE/ORSTOM.10N.46,N.4W.43,W.OCT.1977.X38./

- HORIZON/HRZ 1/DE 0 A 15CM// LEGEPEMENT HUMIDE.

10YP.2.5/.2HUMIDE.10YR-.5/-.2SEC.SANS TACHES.A MATIERE ORGANIQUE NON DIRECTEMENT DECELABLE.

SANS ELEMENTS GROSSIERS. TEXTURE SABLEUSE. A SABLE FIN. QUARTZEUX.

STRUCTURE FRAGMENTAIRE.NETTE.ET GENERALISEE.GRENUE.FINF. MEURLE.PAS DE FENTES.

MATERIAU A CONSISTANCE MALLEABLE. NON CIMENTE. NON PLASTIQUE. NON COLLANT.

RACINES.FINES ET MOYENNES.

FICHE 1636: TRANSITION NETTE-REGULTERE.

- HORIZON/HRZ 2/DE 15 A 30CM//

LEGEREMENT HUMIDE.

10YR.4/.ZHUMIDF.10YR-.7/-.3SEC.SANS TACHES.A MATIERE ORGANIQUE NON DIRECTEMENT DECELABLE.

SANS FLEMENTS GROSSIEPS. TEXTURE ARGILO-SARLEUSE. A SABLE FIN. QUARTZEUX.

STRUCTURE PARTICULAIRE.PEU NETTE.FT GENERALISEE.

MEURLE.PAS DE FENTES.

MATERIAU A CONSISTANCE MALLEABLE.NON CIMENTE.NON PLASTIQUE. NUN COLLANT.

RACINES.FINES ET GROSSES.

FICHE 1636. TRANSITION DISTINCTE. REGULIERE.

- HORIZON/HR7 3/DE 30 A 60CM//

LEGEREMENT HUMIDE.

10YR.5/.3HUMIDE.10YR-.6/-.4SEC.QUELQUES TACHES.PEU ETENDUES.SANS RELATIONS VISIBLES AVEC LES AUTRES CARACTERES.IRREGULIERES.A LIMITES PEU NETTES.PEU CONTRASTEES.MOINS COMERENTES.AUCUME AUTRE TACHE.APPAREMMENT NON ORGANIQUE.ELEMENTS FERRO-MANGANESIFEPES.EN TACHES FERRUGINEUSES.

SANS FLEMENTS GROSSIERS. TEXTURE APGILO-SABLEUSE. A SABLE FIN. FERRUGINFUX.

STRUCTURE MASSIVE.PLU NETTE.FT GENERALISFE.A ECLATS EMOUSSES.

COHERENT.PAS DE FENTES.

MATERIAU A CONSISTANCE SEMI-RIGIDF.PEU CIMENTE.NON
PLASTIQUE.NON COLLANT.

QUELQUES PACINES.FINES ET GROSSES.
FICHE 1636.TRANSITION GRADUELLE.ONDULEE.

- HOPIZON/HRZ 4/DE 60 A 110CM//
LEGEREMENT HUMIDE.
10YR.4/.3HUMIDE.10YR-.7/-.2SEC.TACHES.PEU ETENDUES.
ASSOCIEES AUX ELEMENTS GROSSIERS.ARRONDIES.A LIMITES TPES
NETTES.TRES CUNTRASTEES.AUSSI COHERENTES.AUCUNE AUTRE
TACHF.APPAREMMENT NON ORGANIQUE.ELEMENTS
FERRO-MANGANESIFERES.EN CONCRETIONS.
TENEUP APPROXIMATIVE EN ELEMENTS GROSSIERS SPC.TEXTURE
ARGILO-SARLEUSE.A SABLE GROSSIEP.QUARTZEUX.
STRUCTURE MASSIVE.NETTE.ET GENEPALISEE.A ECLATS EMOUSSES.
CUHEPENT.PAS DE FENTES.
MATERIAU A CONSISTANCE SEMI-RIGIDE.PEU CIMENTE.NON
PLASTIGUE.NON COLLANT.
QUELOUES PACINES.FINES.
FICHE 1636.TRANSITION DISTINCTE.REGULIERE.

- HOPIZON/HRZ 5/DE 110 A 140CM//
HUMIDE.

10YP.6/.4HUMIDE.10YR-.7/-.3SEC.SANS TACHES.APPAREMMENT NON
ORGANIQUE.

SANS ELEMENTS GROSSIERS.TEXTURE ARGILEUSE.
STRUCTURE MASSIVE.PEU NETTE.ET GENERALISEE.
COHERENT.PAS DE FENTES.
MATERIAU A CONSISTANCE SEMI-RIGIDE.PEU CIMENTE.NON
PLASTIQUE.NON COLLANT.
QUELQUES RACINES.FINES.
FICHE 1636.

- HOPIZON/HRZ 6/DE 140 A 160CM// SEC.

THES NOMBREUSES TACHES.PEU ETENDUES.LIEES AUX FACES DES UNITES STRUCTURALES.IRREGULIERES.A LIMITES PEU NETTES.PEU CONTRASTEES.AUSSI COHERENTES.NOMBREUSES AUTPES TACHES. APPAPEMMENT NON ORGANIQUE.ELEMENTS FERRO-MANGANESIFERES.EN CUIPASSES.

MATERIAU A CONSISTANCE RIGIDE.INDURE.NON PLASTIQUE.NON CULLANT.NON FRIABLE.NON FRAGILE. PAS DE RACINES.

FICHE 1636. TRANSITION TRES NETTE. PEGULIERE.

PROFIL N° 13

PROFILING 1642/CBW013 MR. SOURABIE 302M. EXPOSITION EST. SECTEUR DE REPEGADOUGOU-OUEST. PLAINES DE BANFORA, AU PIED DE LA FALAISE DE BANFORA. JACHERE ANCIENNE SUR MATERIAUX AMGILO-SARLEUX. VEGETATION DOMINEE PAR DES GRAMINEES. PARILIONACEES. ROSACEES. PRESENCE DE QUELQUES GRANDS AMARES.BUTYROSPERMUM PARKIII.

- HOPIZUN/HRZ 1/DE 0 A 15CM//

St.C.

51-.47.4HUMIDE.7,5YR-.57-.4SEC.SANS TACHES.A MATIERE O-GANIQUE DIRECTEMENT DECELABLE.

TENELLE APPROXIMATIVE EN ELEMENTS GROSSIERS SPC. TEXTURE

STATEFUSE A SARLE FIN. QUARTZEUX.

STHUCTURE FRAGMENTAIRE.NETTE.ET GENERALISEE.GRUMELEUSE. G-OSSIERE.

MEUBLE. PAS DE FENTES.

"ATEPIAU A CONSISTANCE MALLEABLE.NON CIMENTE.NON PLASTIQUE.

NUMBER BACINES. FINES ET MOYENNES.

FICHE 1642. TRANSITION DISTINCTE. REGULIERE.

- HOFIZON/HRZ 2/DE 15 A 30CM//

LEGEPEMENT HUMIDE.

514.4.57.4HUMIDE.7.5YP-.6/+.4SEC.SANS TACHES.A MATIERE DEGANTQUE NON DIRECTEMENT DECELABLE.

TENEUR APPROXIMATIVE EN ELEMENTS GROSSIERS 30PC.TEXTURE SHRIFUSE.A SABLE FIN.QUARTZEUX.

STAUCTURE PARTICULAIRE.NETTE.ET GENERALISEE.

MEUHLE. PAS DE FENTES.

MATERIAU A CONSISTANCE MALLEABLE.NON CIMENTE.NON PLASTIQUE. NON COLLANT.FRIABLE.FRAGILE.

PACINES.FINES ET MOYENNES.

FICHE 1642. TRANSITION DIFFUSE. REGULIERE.

- HOPTZUN/HR7 3/DE 30 A 70CM//

STR.57.7HUMIDE.5YR-.67-.6SEC.NOMBREUSES TACHES.PEU ETENDUES.SANS RELATIONS VISIALES AVEC LES AUTRES CARACTERES.1PREGULIERES.A LIMITES PEU NETTES.PEU CONTPASTEES.MOINS COHERENTES.AUCUNE AUTRE TACHE.APPAREMMENT MON ORGANIQUE.

TENFUR APPROXIMATIVE EN ELEMENTS GROSSIERS 10PC.TEXTURF A-GILG-SARLEUSE.A SABLE GROSSIER.OUARTZEUX. STRUCTURE MASSIVE.METTE.ET GENERALISEE.A ECLATS EMOUSSES. CU-FRENT.PAS DE FENTES.

PLISTIGUE. NON COLLANT.

DUELOUES PACINES. FINES.

FICHE 1642. TPANSITION GRADUELLE. INTERROMPUE.

- HOFIZUN/HR7 4/DE 70 A 140CM//

STRUCTURE MASSIVE.NETTE.ET GENEPALISEE.A ECLATS EMOUSSES.
COMERENT.PAS DE FENTES.

COMERENT.PAS DE FENTES.

MATERIAU A CONSISTANCE SEMI-RIGIDE.PEU CIMENTE.NON
PLASTIQUE.NON COLLANT.

PAS DE HACINES.

FICHE 1642.

PROFIL N° 14

PRINTED 1633/ABW031 MR. SOURABIF 294M. EXPOSITION EST. SHOTFUR OF PEREGADOUGOU-OUEST, PLAINES DE BANFORA, AU PIED DE LA FALAISE DE BANFORA. JACHEFE ANCIENNE, SUR. GRAVILLONS SUR ALTERATIONS DE GRES ET AFFLEUREMENTS. VEGETATION DUMINÉE PAR DES GRAMINÉES ET PAP QUELQUES GRANDS APRRES. B. PLAKIT ET P. BIGLOROSA/ U-STCM.10N.43.N.4W.46.W.OCT.1977.FR./

- -0PI7UN/HH7 1/DE 0 4 10CM//

7.5YP.57.4HUMIDE.10YR-.67-.358C.SANS TACHES.A MATIFRE OF 64N TOUR NON DIRECTEMENT DECELABLE.

TE FUE APPROXIMATIVE EN ELEMENTS GROSSIEPS SOPC. GRAVIEPS.

TEXTUER SABLEUSE.A SABLE FIN.QUARTZEUX.

STANCTURE MARTICULAIRE.NETTE.ET GENERALISEE.GRENUE.FINE ET THES FINE.

MODALF. MAS DE FENTES.

MATERIAD A CONSISTANCE MALLEABLE.NON CIMENTE.NON PLASTIQUE.

HACINES. FINES.

FICHE 1633. TPANSITION DISTINCTE. REGULIERE.

- HOPIZUN/HPZ 2/DE 10 A 30CM// SEC.

10YP.5/.4HUMIDE.10YF..6/-.4SFC.SANS TACHES.A MATIEPE

TENERAL APPROXIMATIVE EN ELEMENTS GROSSIERS BOPC.GRAVIEPS

THES AROUNDANTS. TEXTURE SARLEUSE. A SABLE FIN. QUARTZEUX.
STRUCTURE MARTICULAIRE. NETTE. ET GENERALISEE. GRENUE. FINF ET
TRES FINF.

MEURLE. HAS DE FENTES.

MATERIAU A CONSISTANCE MALLEABLE.PEU CIMENTE.NON PLASTIQUE. MUN COLLANT.FRIABLE.FRAGILE.

QUELOUES PACINES. FINES ET MOYENNES.

FICHE 1633. THANSITTON DIFFUSE. 1HREGULIERE.

- HUPIZUN/HRZ 3/DE 30 A 60CM//

THURLE APPROXIMATIVE EN FLEMENTS GROSSIERS KOPC.GRAVIERS

1-00000115.TEXTURE APRILO-SABLEUSE.A SABLE GROSSIER.

000.017FUX.

ST-OCTORE MASSIVE PEU NETTE ET GEMERALISEE A ECLATS ÉCONSSES.

CU-FPEMI.PAS DE FERTES.

WATERIAU & CONSISTANCE SEMI-RIGIDE.PEU CIMENTE.NON FLASTIQUE.NON COLLANT.PEU FRIABLE.PEU FPAGILE. WOELQUES RACINES.FINES.

FIC-F 1633. TPANSITION NETTE. PEGULTEPE.

- HOPIZUM/HRZ 4/DE 60 A 90CM// HUMIPF.

10 TR. 77.6 HUMIDE. 2.5 YP-. 87-.3 SEC. TACHES. ETENDUES. SANS RELATIONS VISIBLES AVEC LES AUTPES CARACTERES. EN TRAINEES HURIZONTALES. A LIMITES PEU NETTES. PEU CONTRASTEES. AUSSI CUMERFINTES. AUCUNE AUTPE TACHE. APPAREMMENT NON ORGANIQUE. TENEUF APPROXIMATIVE EN ELEMENTS GROSSIERS 20 PC. GRAVIEPS

PEU ARONDANTS.TEXTURE ARGILO-SABLFUSE.A SABLE GROSSIER. QUARTZEUX.

STRUCTURE MASSIVE. PEU NETTE. ET GENERALISFE. A ECLATS EMOUSSES.

CUHEPENT. PAS DE FENTES.

MATERIAU A CONSISTANCE SEMI-RIGIDE.PEU CIMENTE.NON PLASTIQUE.NON COLLANT.

PAS DE RACINES.

F1CHF 1633.

ANNEXE II

TABLEAUX DE DONNEES ANALYTIQUES (CARACTERISTIQUES GENERLES) DES 15 PROFILS PEDOLOGIQUES :

VI (a) et VI (b) : Sols ferrugineux tropicaux.

VII : Sols peu évolués

VIII : Sols hydromorphes.

TABLEAU VI (a)

DOMMEES AMALYTIQUES DE 8 PROFILS

CARACTERISTIQUES GENERALES

SUR MATERIAUX	Argile	Argilo-sableux Argilo-sableux					Arglio-sableux Arglio-sableux										
Parcelle		ıltivéc			Culti	vée (5 au	ns)		Non C	ultivéc	:	-		Cultivéc (3 ans)			
n°Parcelle/SOSU-HV						DBK4								001			
n°B.D.P. ORSTOM	164	40				1641 1642				1643							
n°Identification du Profil.	COB	010			CO	C3B 111			CUW 013					CBW 114			
Profondeur (cm)	0 20	20 40	40 60	60 80	0 20	40 60	70 90	100 120	0 15	15 30	40 60	70 90	90 110	0 20	20 40	50 70	120 140
CRANULOMETRIE % Arglie Limon fin Limon grossier Sable fin Sable grossier	9,4 4,0 14,2 51,1 20,0	24,0 6,2 13,4 35,8 19,0	37,2 16,7 13,1 22,1 8,9	31,0 17,0 14,9 24,6 10,7	7,1 5,9 12,7 57,6 16,0	43,6 8,0 10,9 27,6 7,7	34,0 11,3 13,7 30,4 8,6	31,0 13,8 14,0 27,6 11,9	5,5 2,9 8,0 46,0 37,0	8,2 4,8 7,9 38,8 39,6	18,7 -9,8 11,7 28,5 30,1	24,0 10,8 12,2 26,5 25,1	22,6 11,6 12,5 27,5 24,7	2,5 6,7 62,7	9,1 3,4 7,9 56,5 22,5	20,1 2,6 6,7 50,4 19,3	15,9 2,6 7,4 54,0 19,5
MATIERES ORGANIQUES Mat.org. % C% N% C/N	0,8 4,48 0,350 12,8	0,5 3,23 0,290 11,1	0,4 2,31 0,260 8,8	0,3 1,94 0,224 8,7	0,5 2,76 0,236 11,7	0,6 3,33 0,394 8,4	0,4 2,14 0,280 7,6	0,190	0,5 2,67 0,226 11,9	0,4 2,64 0,246	0,3 1,53 0,22 6,8	0,2 0,99 0,233 4,9	0,77	0,3 7 1,99 0,0,186 10,7	0,3 1,63 0,21 7,8	0,3 1,59 0 0,20 7,8	0,1 0,51 0,093 5,5
PH eau pH Kc1	7,1 6,1	6,0 5,1	5,2 4,2	5,3 4,8	4,8 4,0	5,7 5,2	5,8 5,5	5,9 5,6	6,2 5,3	5,4 4,5	5,2 4,4	5,0 4,3	5,1 4,4	5,2 4,4	5,2 4,4	5,5 4,8	5,7 5,1
COMPLEXE AUSORUANT (mc/100g de sol) Ca++ Mg++ K+ Na+ S T (Ca) 100.S/T = V %	1,50 0,75 0,82 0,02 3,09 4,50	1,05 0,75 0,99 0,01 2,80 5,50	1,80 1,65 0,14 0,03 3,62 7,00	2,25 1,50 0,14 0,04 3,93 7,30	1,05 0,45 0,06 0,01 1,57 2,75	2,94 1,11 0,07 0,04 4,16 7,50	3,00 1,05 0,07 0,03 4,15 7,25 57	3,00° 1,05 0,06 0,03 4,14 6,50	0,60 0,04 0,01 1,85	0,08		0,45 0,20 0,01	0,45 0,20 0,01 1,11 4,75	0,60 0,30 0,05 0,01 0,96 2,25	0,97	0,75 0,06 0,02	0,30 0,06 0,02 1,58
BASES TOTALES (mé/100g de sol) Ca++ Mg++ K+ Na+ E.B.T.	3,20 3,47 1,27 0,96 8,90	3,56 5,95 2,33 1,29 13,13	3,56 9,42 2,33 1,61 16,92	4,63 8,92 2,12 1,29 15,89	3,20 2,97 7,43 2,58 15,18	3,56 7,44 3,60 1,93 16,53	4,27 7,44 4,45 1,93 18,09	3,20 7,93 7,64 2,58 21,35	2,48 1,06 1,29	2,54 1,29	2,85 9,42 7,21 1,93 21,41	8,43 7,64 1,93	8,92 8,49 1,93	4,63 2,48 1,91 2,58 11,60	4,99 2,97 1,48 2,25 11,69	5,95 2,97	4,46 1,48 1,93
P ₂ 05 (ppm) P ₂ 05 Total P ₂ 05 assimilable	240 54	246 1	274 1	229	343 11	349 : 17	354 1	337	103	120 -	166	126	126 . 3	223 12	314 28	314 56	240 1
OXYDES DC FER Fe 203 11bre (DEB) Fe 203 total (Hel)	3,15 4,40	5,80 7,50	6,50 9,90	6,50 8,70	1,55 2,50	5,50 7,20	5,75 7,40	6,00 8,20			4,70		3,15 3,80	0,75	1,25	1,70	
CARACTERISTIQUES PHYSIQUES ET HYDRIQUES Is PF 2,5 PF 4,2 Eau Utile	1,1 9,4 5,1 4,3	17,0 11,0 6,0	17,0 11,0 6,0	25,1 16,4 8,7	2,6 7,9 3,6 4,3	25,5 16,5 9,0	25,5 16,5 9,0	23,6 15,1 8,5	0,5 5,5 2,3 4,7	8,0 4,9 3,1	18,1 12,3 5,8	18,9 12,5 6.4	12,0	2,2	7,1 3,9	11,0 7,5	8,9 6,0

TABLEAU VI (b) SOLS FERRUGINEUX TROPICAUX (suite)

													•			•		
SUR MATERIAUX		ARGIL	0-SABLE	ĽX			AR	SILO-	SABLEUX			ARGIL	O-SABLEU	X	ARC REC	GILO-GR	AVILLON	NAIRES ET
															ARC	SILEUX		
PARCELLE		NON	CULTIV	EE			cu	LTIVEE	(2ans)		Ţ-,	CULTI	VEE (3ar	is)		CULTIV	EE (4ens)
n°Parcelle/SOSU-HV								YE 14					NS 23			N:	5 2	
n°B.D.P. ORSTOM		1	636					1637					1639		1638			
n°Identification du profil		BY	1061				· BYE171			· ·	BNS291			BNS281				
Profondeur (cm)	0 15	1 1		1	90 110	110 130		20 40	70 90	90	0 20	20 40	60 80 - ,	100	0 20	20 40	50 70	120
Granulométrie I																		
Argile	7,4	10,0	10,7	12,3	12,2	12.7	2,9	5,7	27,5	30,8	5,0	15,8	30,2	18,8	4,0	5,5	40,8	28,7
Limes fin	16,9	15,6	12,8	14,3	14,6	13,3	3,4	5,0	6,5	7,8	4,9	6,2	6,3	9,4	4,2	4,1	4.7	8,6
Limon grossier	19,6	8,5	9,3	13,1	12,3	12,0	7,1	8,5	6,1	8,4	8,5	7,6	2,1	10,3	10,0	8,5	8,5	9,3
Sable fin	25,0	36,0	34,2	29,3	27,7	28,4	50,0	47,4	29,0	22,8	51,2	42,5	39,2	37,8	47,5	44,2	24,5	30,5
Sable grossier	29,0	29,1	32,3	30,1	32,3	32,7	36,3	33,0	29,7	28,8	29,8	26,8	20,9	22,6	33,7	37,2	19,5	20,9
Matières organiques		i												0,2	0,4	0,3	0,÷	0,2
Mat. org. X	1,6	0,5	0,3	0,3	0,2	0,1	0,2	0,2	0,3	0,2	0,4	0,5	0,3	1,19	2,45	1,67	1 '	1,0:
C#.	9,61	3,04	1,82	1,52	1,25	0,82	1,43	1,24	2,03	1,50	2,62	2,67	1,59	0,170	0,234	1 '	1 '	1
X2.	0,628	!		0,230			0,143	l 1		0,210	0,210	0,250	0,224	7,0	10,5	9,3	7,9	5,5
C/N	15,3	11,7	10,3	6,6	7,1	5,8	10,0	9,3	7,6	7,1	12,5	10,7	7,1	.,.	,.	,,,	.,,	3,,,
<u>PH</u>			l	}	1						l		: .					
bg ewn	6,5	5,5	5,4	5,5	5,4	5,0	5,2	5,8	5,1	5,2	5,7	5,3	5,7	6,0	4,9	6,0	5,4	5,2
pH Kel	5,6	4,3	4,3	4,8	4,5	4,3	4,3	4,9	4,5	4,6	4,8	4,4	5,1	5,4	4,1	5,2	4,6	4,5 .
Complexe absorbant														1				
(me/100g de sol)				ļ	1							1						
Ca ⁺⁺	2,10	0,75	0,90	1,50	1,20	0,75	0,30	· 1	0,75	0,90	1,05	0,90	2,10	1,80	0,90	1,20	1,95	1,05
Mg	0,75	0,45	0,60	1,05	1,05	0,75	0,15	0,30	0,60	0,75	0,45	0,60	0,90	0,75	0,30	0,30	1,35	0,45
K*	0,32	0,14	0,05	0,15	0,14	0,13	0,04	0,05	0,14	0,19	0,08	0,17	0,07	0,06	0,07	0,08	0,11	0,07
Na ⁺	0,02	0,01	0,01	0,02	0,02	0,02	0,01	0,01	0,02	0,02	0,01	0,02	0,02	0,02	0,01	0,01	0,03	0,02
s	3,79	1,35	1,56	2,72	1	1,65	0,50	1,26	1,51	1,86	1,59	1,69	3,09	2,63	1,28	1,59	3,44	1,59
T (Ca)	5,75	3	2,25	4,25	4	4,50	1,50	1,75	4,75 32	5,50 34	2,75	4,00	4,75	4,00	2,50	2,00	1 '	5,25
100 S/I = V Z	66	45	69	64	60	37	33		32	34	36	42	65	66	51 .	79	57	30
Sases totales	٠.	[·	1		1		ļ						1	i				
(me/100g de sol)	١.,		3,20	1,78	2,49	3,20	3,20	3,56	2,85	4,27	2,14	2,14	3,20	2,85	2,13	2,85	4,27	,
C4**	2,13	2,13	1 '	4,96	1 '	5,95	1,98			9,42	1,98	2,97	4,46	3,47	1,98	2,48	10,41	1,78 5,95
Mg K ⁺	1,46	2,97 1,27	1,27	2,76	2,76	3,60	0,63			6,36	1,06	1,91	7,64	4,67	1,06	5,09	10,41	3, 18
Na ⁺	1,61	1,29	1	1,29	l '	3,54	2,25	1	1,93	2,58	1,93	2,90	1,93	1,93	2,25	1,29	1,61	1,61
EB.T.	12, 18		1		1	16,29	8,06			22,63	7,11	9,92	17,23	12,93	7,42	11,71	26,90	12,52
			 	-		<u> </u>												
P20s (ppm) P20s Total	183	126	126	160	160	166	240	211	269	286	286	292	297	229 ·	251	183	286	229
P205 assimilable	3	5	4	1	19	,	23	9	34	3	82	24	31	54	87	4	7	5
		H		-	+					_								
Oxydes de fer	0,45	0,60	0,75	1,20	1,35	2,20	0,60	0,80	2,70	6,25	0,90	1,60	2,55	2,30	0,65	0,75	2,40	3,50
Fe ₂ G ₃ libre (DEB) Fe ₂ G ₃ total (Ecl)	1,0	1,0	1,10	1	1	1		1,0	3,20		1,40	2,20	3,70	3,00	1,0	1,0	3,30	4,40
	 	.,,,	+	-	-						<u> </u>							
Caractéristiques Physiques et Eydriques			1	1)	1								
Is	0,8	1				i	0,7	1			1,2			,	0,9	,		
PF 2,5	15,4	11,2	10	14,1	14,5	17,1	3,1	4,3	16,0	18,9	5,2	10,5	17,6	14,5	4,7	4,9	23,8	20,3
PF 4.2	4,4	4,1	5,5	8,2	8,9	10	1,5	2,5	11,1	13,0	2,3	6,3	11,5	9,4	1,9	2,3	15,5	12,4
Eau Utile	1,0	7,1	4,5	5,9	5,6	7,1	1,6	1,8	4,9	5,9	2,9	4,2	6,1	5,1	2,8	2,6	8,3	7,9
		L														·		

SOLS PEU EVOLUES.

DOBBLES AMALYTIQUES DE 5 PROFILS.

CARACTERISTIQUES GENERALES.

SUR MATERIAUX	et à	Grave_lo-gravilionnaires et à recouvrements sableux.				recouv	avillon rements	naires	Gravillons sur altéra- tions de grès et affleu- rements			Gravillons sur aitéra- tions de grès et affleu- rements.				Gravillons sur altérations de granodiorites.			
Parcelle	Non (Cultivé			Culti	lvće (4	ans)		Non Cultivée			Cultivée (1 an)			Cultivée (1 an)				
n°Parcelle/SOSU-HV					LE ₅						B05			LE ₁₈ .					
n°B.D.P. ORSTOM		1631			1632			1633			1634			1635					
n°Identification du Profil.	ALE 011			ALE 521			ABW 031			ABW 541			ALE 151		1				
Profondeur (cm)	0 20	30 50	60 80	100 120	0 20	40 60	70 90	140 160	0 10	10 30	40 60	70 90	0 20	20 40	50 70	100 120	0 15	15 45	45 65
GRANULOMETRIE % Argile Limon fin Limon grossier Sable fin Sable grossier	7,4 5,8 11,5 27,0 47,1	23,1 10,5 9,9 18,1 37,1	28,7 10,9 11,6 12,7 34,5	22,8 21,9 11,3 11,1 30,6	4,0 10,2 26,9	25,1 9,7 10,8 14,6 38,1	27,7 11,4 12,4 18,3 28,3	28,7 19,7 12,9 12,5 24,7	48,4	19,2 8,7 11,4 29,4 29,9	41,0 13,5 11 11,2 21,9	15,2	14,1 55,7	5,6 3,6 13,6 50,5 26,3	24,1 5,9 11,2 34,7 23,1	26,4 7,4 13,8 30,8 20,5	5,4 10,4 21,1	19,7 7,8 7,9 8,8 54,5	33,6 20,9 7,7 28,6 6,6
MATIERES ORGANIQUES Mat.org.% C%, N%, C/N	0,8 4,61 0,310	0,5 3,09 0,240 12,9	0,3 1,62 0,170 9,5	0,78	1,1 6,23 7]0,384 16,2	0,4 2,35 0,240 9,8	0,2 1,42 0,180 7,9		0,7 4,19 0,380 11,0	0,7 4,20 0,366 11,5	0,2 1,15 0,25 4,5	0,1 0,81 0,18 4,5	1,25 0,173	0,2 1,22 0,123 9,9	0,3 2,04 0,27 7,4	1,20 4 0,170	1,4 8,08 0,672	0,5 2,71 2,0,28 9,7	0,2 1,1 0 0,15 7,9
PH pH eau pH Kcl	5,8 4,8	6,2 5,3	6,7 5,6	6,9 5,0		6,1 5,3	5,7 5,2	5,5 4,6	6,4 5,6	5,8 4,6	5,5 4,4	5,6 4,6		5,7 4,8	5,7 4,6	5,5 5,0	5,0 4,1	5,5 4,5	7,1 6,2
COMPLEXE ABSORBANT (mé/100g de sol) Ca++ Mg++ K+ Na+ S T(Ca) 100.S/T = V %	0,90 1,35 0,07 0,01 2,33 2,75	2,25 1,50 0,19 0,02 3,96 4,75	2,80 1,50 0,26 0,04 4,60 6,50	6,0 0,21 0,24 13,2 14,00	0,06 0,04	2,85 1,35 0,11 0,04 4,35 6,25	2,80 1,35 0,19 0,04 4,43 6,75	1,65 0,36 0,05 4,61 7,25	0,75 0,75 0,09 0,01 1,60 2,50	0,60 0,45 0,27 0,04 1,36 3,75	0,30 0,90 0,28 0,15 1,63 6,25	1,95 0,15 0,09 2,49	0,30 0,15 0,12 0,01 0,58 1,50	0,30 0,30 0,11 0,01 0,72 1,75	1,50 0,75 0,13 0,01 2,39 4,25	0,60 0,07 0,02 2,94	0,30 0,30 0,06 0,03 0,69 5,25	1,05 1,20 0,09 0,06 2,40 4,50	6,3 0,1 0,3 12,8
BASES TOTALES (mé/100g de soi) Ca++ Mg++ k+ Na+ 5-B.T.	1,78 3,47 1,06 1,29 7,60	2,85 7,44 2,12 1,93 13,27	2,85 10,41 3,18 1,61 16,98	23,8 2,97 2,25	5,34 3,47 1,27 1,29 11,37	3,56 9,92 5,52 1,92 20,93	2,85 10,41 5,09 1,61 19,96	14,88 7,21	1,29	1,78 6,44 8,28 1,93 18,43	1,42 14,88 18,04 3,22 37,56	11,90 13,37 2,25	27,81 1,98 0.42 2,58 32,79	2,85 1,48 0,42 1,61 6,36	3,56 2,97 2,12 1,93 10,58	3,47 2,33 2,25	2,85 3,96 1,06 1,61 9,48	3,20 6,44 1,48 1,61 12,73	21,3 2,7 2,2
P ₂ 05 (ppm) P ₂ 05 Total P ₂ 05 assimilable	154 1	166 1	177 5	103 5	343 11	240 8	274 1	183 4	148 7	166 24	126 1	114 6	217 12	206 1	229 18	234 1	22 9 15	183 1	137
OXYDES DE FER Fe ₂ 0 ₃ libre (DEB) Fe ₂ 0 ₃ total (Hcl)	1,25 1,60	2,30 3,20	6,50 8,50	2,60 5,20			7,00 12,00	6,50 7,80	1,75 2,30		6,00 7,30	5,00 5,70		0,65	1,70 2,30	3, 65 4,30	2,15 3,00	3,95 5,10	4,0 6,3
CARACTERES PHYSIQUES T HYDRIQUES. Is PF 2,5 PF 4,2 Fau Utile	0,6 9,3 4,2 5,1	16,4 10,8 5,6	19,8 14,6 5,2	18,4 16,6 1,8	0,3 7,1 3,2 3,9	21,1 13,4 7,7	23,7 15,9 7,8	29,2 16,2 13,0	0,6 8,4 4,1 4,3	14,9 10,1 4,8	21,4 18,5 5,6	24,1 17,2 6,9	0,6 4,6 1,7 2,9	10,6 2,5 8,1	14,8 9,7. 5,1	16,9 11,5	1,3 11,3	14,8 10,4	27,4 19,1 8,3

TABLEAU VIII

SOLS HYDROMORPHES

DONNEES ANALYTIQUES DE 2 PROFILS

CARACTERISTIQUES GENERALES

·				<u> </u>					
UR MATERIAUX		-sableux onnaires		O 	Argilo alluvi	-sableux onnaires	solluvi	·o	
arcelle		Non cult	ivée			Cultivée	(3 ans)	_	
Parcelle/SOSU-HV						NS	6		
°B.D.P. ORSTOM		1644	+			164	5		
°Identification du Profil	_	DNN1	.6			DNS6	17		
rofondeur (cm)	0 15	15 30	30 50	50 70	. 0 15	15 30	30 40	40 60	
rgile imon fin imon grossier able fin able grossier	38,8 25,3 12,9 13,8 4,0	11,1 10,1 10,4 43,3 24,0	14,6 7,2 9,3 50,8 17,3	49,9 26,0 10,9 8,6 1,8	35,3 19,2 15,1 17,2 8,6	21,4 25,0 19,5 22,0 8,1	24,0 18,1 16,8 19,5 17,7	17,4 10,9 12,4 22,3 35,5	
latières organiques lat. org. % . % . % . % . //N	3,4 19,84 1,54 12,8	0,5 3,18 0,294 10,8	0,3 2,07 0,190 10,9	1,1' 6,11 0,520 11,7	2,5 14,28 1,08 13,2	2,2 12,82 0,968 13,2	2,2 12,82 1,02 10,1	0,6 3,40 0,334 10,1	
pH eau pH Kcl	4,9 4,0	4,8 4,0	4,6 4,1	4,7 4,0	5,0 4,3	5,0 4,3	5,6 4,7	5,5 4,6	
complexe absorbant (me/100g de sol) a	0,45 0,30 0,17 0,03 0,95 12,00	0,45 0,60 0,05 0,02 1,12 4,50	0,60 0,30 0,04 0,02 0,96 4,25	1,20 0,75 0,05 0,02 2,02 10,75	2,55 0,90 0,20 0,03 3,68 12,25	2,55 0,60 0,10 0,02 .3,27 11,00 30	3,30 0,75 0,11 0,04 4,20 10,00	1,05 0,75 0,12 0,02 1,94 5,00	
Bases Totales (me/100g de sol) Ca ; ; ; ; ; ; ; ; ; ; ; ; ; ; ; ; ; ; ;	3,20 7,44 2,54 1,29 14,47	1,78 3,47 1,06 1,29 7,60	1,42 3,47 1,06 1,29	3,56 7,44 2,12 1,29 14,41	6,41 8,43 2,54 2,58 19,96	5,70 6,94 2,33 2,25 17,22	6,06 8,43 3,39 2,25 20,13	4,27 5,45 1,69 2,58 13,99	
P205 (ppm) P205 Total P205 assimilable	618 41	217 27	217 13	423 11	767 62	675 45	606 46	349 19	
Dxydes de fer (%) Fe 203 libre (DEB) Fe 203 Total (Hcl)	2,95 4,20	1,05 1,50	1,15 1,60	3,85- 5,10	3,85 4,90	3,95 4,90	2,25 3,20	2,00 2,70	
Caractères physiques et hydriques Is PF 2,5 PF 4,2 Eau Utile	0,8 37,6 19,9 17,7	13,6 8,3 5,3	13,2 7,8 5,4	33,2 22,6 10,6	0,3 27,3 16,9 10,4	25,6 15,9 9,7	26,4 15,1 11,3	17,1 9,7 7,4	

ANNEXE III

FICHES D'ANALYSES DE LABORATOIRE.

Ces fiches sont obtenues par traitement informatique des données de laboratoire. Quatre vingt une variables ont été retenues. Avec les programmes pour ordinateur utilisés, certaines variables n'ont pu être codées par leurs sigles courants. Nous en donnons ici les significations exactes.

Code		Signification
Somme des AF	==	acides fulviques totaux (AFT)
Sigma AH	=	acides humiques totaux (AHT)
АНТ	==	matières humiques totales (IHT)

Les codes (- 1) représentent les données manquantes.

Ces fiches sont réparties en deux groupes :

- a. Profils pédologiques (1631 à 1645) Echantillons de sol simples.
- b. Profils agropédiquesEchantillons composites.

ANA	LYSES DE LAHORATOIRE DU PROFIL/NO	01631/ALF :	11		
	HORIZON	1	•• 1 2 T	3	I 4 I
	LIMITES	0- 20	30- 50 T	50= 80	I 4 1
	PROFONDEUR	1	1		1 1
	VARIABLES				•
A13F1G	ARGILE	7.40	23.10 1	28.70	I 27.80 I
A1381H	LIMON FIN	1 5.A0	1 10.50 I	10.90	1 21-90 1
V13812	SARIF FIN	1 11.50	1 9.90 1	11.60	1 11.30 1
Alabit	SABLE GROSSIER	1 67-10	1 77.10 1	34-50	1 11-10 1
A13P1M	& H20 A 105 DEGRES	I 0.40	1 0.80 T	1.30	7 2-20 T
413B1P	LF/A	I 0-80	0.40 T	0-40	1 0.90 1
AlGALA	PH-RH 420	I 5.80	I 6.20 I	6.70	1 6.90 I
Alaale	PH-RH KCL N	I 4-80	5.30 1	5-60	I 5.00 I
-815#1#	C TOTAL CON OUTTOE	1 0.80	0.50 1	0.30	1 . n-10 I
BIZCAC	N TOTAL KUELD-TECHN	ו בים בי	1 3.09 I	1-02	1 0.781
BIZZZD	CAN	11-90	1 12-90 T	9-50	1 8-00 T
BIBAZA	CA++ EN ME POUR 100 G DE SOL	1 0.90	2-25 1	2-80	1 6.75 I
B13A2R	MG++ EN ME POUR 100 G DE SOL	1 1.35	1 1.50 1	1.50	I 6.00 I
B13A2D	K+ EN ME POUR 100 G DE SOL	1 0.07	0.19 1	0.26	I 0.21 I
BIBAZE	NA+ EN ME POUR 100 G DE SOL	1 0.01	0.02 1	0.04	1 0.24 1
B13A20	TICAL A PHY	1 2.33	3.96 1	4.60	1 13.20 1
814ZZR	V% .	1 85.00	1 40/5 1 1 83-00 T	71.00	1 14.00 I
B15A24	CA++ EN ME POUR 100 G DE SOL	1 1.78	2.85 1	2-85	8.91 T
B15A2B	MG++ EN ME POUR 100 G DE SOL	3.47	7.44 I	10.41	23.80 1
B15A2D	K+ EN ME POUR 100 G DE SOL	I 1-06	1 2.12 1	3.18	I 2.97 I
BISAZE	NA+ EN ME POUR 100 G DE SOL	1 1-29	1 1.93 I	1.61	I 2.25 I
815AZG	SOMME DES BASES TOTALES	7.6D	1 13.27 1	16.98	I 37.93 I
STOUTE	PODE ACCIMIL DICEN	1 0-15	0.17 1	0.18	I 0-10 I
RITALA	FF203 TOTAL	1 1.60	1 0.00 1	U+00 .	1 6.00 1
B17C1B	FE203 LIRRE DEB	1 1-25	1 2.30 I	6-50	1 2-60 I
HIBALF	INSTAB STRUCT	0.60	-1.00 I	-1.00	-1.00 I
HIBAIH	AGREGATS ALCOOL	61.50	I -1.00 I	-1.00	I1-00 I
HIBAIJ	AGREGATS EAU	I 58.50	I -1.00 I	-1-00	1 -1-00 T
MISAIK	AGREGATS BENZENE	57.90	1 -1.00 I	-1-00	1 -1.00 I
HIAAID	PF2.5	1 4.20	1 10-80 1	14.50	1 10.60 I
F12B2C	C DE MOL	T . D.54	1 0.35 1	-1-00	7 -1-10 T
E1381A	T DES AF LIBRES PO4H3 ZM	I 0-24	1 0-25 1	-1.00	I -1.00 I
E13C58	C DES AF PYRO P207NA4 0.1M	I . D.26	I 0.25 I	-1.00	I -1.00 I
E13D1C	C DES AF SOUDE NACH 0.1N	I 0-36	0.11 1	-1.00	I -1-00 T
E13ZZE	SIGMA AFP+AFS	I 70-62	1 0.36 1	-1.00	I -1-00 T
E1322F	SIGMA AF / C TOTAL	1 0.85	1 0.01 1	-1.00	1 -1.00 1
F13ZZH	SIGMA AF / SIGMA AH	1 1-43	1 0.20 1 1 1.85 T	-1-00	1 -1-00 I
E13ZZJ	SIGMA AF / SIGMA AHT	0.59	0.65 1	-1.00	-1.00 I
E14C5A	C DES AH PYRO	0.43	I 0.11 I	-1.00	I -1.00 I
E14D1B	C DES AH SOUDE	I D-17	1 0.22 1	-1.00	I -1.00 I
E14ZZE	SIGMA AH	1 0.60	0.33 1	-1.00	1 -1.00 I
E1422F	ACTRES HIMTOHES TOTALLY (AUT)	1 0.13	1 0.11 1	-1.00	I-1000.00 I
E14220	SIGMA AHT / C TOTAL	1 1.40 . 1 0.32 .	1 0.94 1	-1.00	1 -1.00 1
F1477J	SIGMA AH/AHT	1 0.41	I 0.35 I	-1-00	1 -1.00 I
E15858	HUMINE C TOTAL COULOMETRE	1 2.51	1 1.80 I	-1.00	-1.00 I
E15040	HUMINE N TOTAL (KJELD-TECHN)	I 0.14	1 0.13 3	-1.00	-1.00 I
E15ZZD	HUMINE C/N	1 17.30	I 14.00 I	-1.00	I -1-00 I
£15ZZE	C DE HU/C TOTAL	1 0.54	1 0.58 1	-1.00	I -1.00 I
E1544f	SIGMA AH/HU	1 0.34	1 0.34 1	-1.00	1 -1-00 1
£15226	MATIFRES ORGANIQUES HUMIFIFFS	3.97	7 - 7 - 7	-1.00	1 -1-00 1
E15ZZJ	HU/MOH .	1 0-63	1 0.66 T	-1.00	1 00.1-
E15ZZK	SIGMA AF/MOH	1 . 0.22	I 0.22 I	-1.00	I -1.00 I
E15ZZL	SIGHA AHIMOH	1 0-15	1 0-12 1	-1.00	I -1-00 I
£15ZZM	MOH/C TOTAL	1 0.86	1 0.89 1	-1-00	I -1-00 I
E15ZZN	SIGMA MOLAAF+AM+HU	I 4-61	1 3-09 I	-1-00	I -1.00 I
E16A1A	AHG & DES AH	1 61-00	1 -1-00 J	-1-00	1 -1-00 1
£16A4C	AHG LR/LY	1 0.64	I -1.00 I	-1-00	I -1.00 I
E16450	AHG ABSC PIC ABSORPTION	1 0-17	I -1-00 I	-1-00	I -1.00 I
EIGATE	AHI C-3 DU SOL	7 0-04	I -1.00 I	-1-00	I -1-00 I
E16A1F	AHI % DES AH	1 10.00	1 -1.00 1	-1-00	1 -1.00 1
EIGAIJ	AND & DEE AN	1 70 00	1 -1-00 I	-1-00	1 -1-00 1
EIVATA	AND TO UES AN	1 0 52	* -1*00 I	-1-00	1 -1-00 1
モュラルサレ	AHG C-3 TU SOL	1 -1-00	I -1-00 I	-1-00	I -1-00 T
E17A1A	AMG % DES AM	1 -1.00	1 -1.00 1	-1.00	I -1-00 I
E17A4C	AHG LR/LV	1 -1.00	1 -1.00 T	-1-00	I -1.00 I
E17450	AHG ARSC PIC ARSORPTION	1 -1.00	I -1.00 I	-1.00	I -1-00 T
. EITAIE	AHI C-3 DU SOL	I -1-00	I -1.00 I	-1.00	I -1.00 I
ElTAIF	AHI % DES AH	1 -1-00	1 -1.00 1	-1.00	1 -1.00 1
EITALJ	AND C-3 UU SUL ANN & DFS AN	1 -1-00	1 -1-00 I	-1.00	1 -1-00 1
E17441	HORIZON LIMITES PROFONDEUR VARIABLES ARGILE LIMON FIN LIMON GROSSIER SABLE FIN SABLE GROSSIER & H20 A 105 DEGRES LF/A. PH-RH H20 PH-RH H20 PH-RH H20 PH-RH H20 OF TOTAL COULOMETRE N TOTAL KJELD-TECHN C/N CA+ EN ME POUR 100 G DE SOL MG++ EN ME POUR 100 G DE SOL K+ EN ME POUR 100 G DE SOL NA+ EN ME POUR 100 G DE SOL K+ EN ME POUR 100 G DE SOL K+ EN ME POUR 100 G DE SOL K+ EN ME POUR 100 G DE SOL NA+ EN ME POUR 100 G DE SOL SOMME DES BASES TOTALES P205 TOTAL NO3H 13 N P205 ASSIMIL OLSEN FE203 LIRRE DEB INSTAB STRUCT AGREGATS ALCOOL AGREGATS EAU AGREGATS BENZENE PF4-2 PF2-5 C DE MOL T DES AF SOUDE NAOH 0.1N SIGMA AFP-AFS SOMME DES AF SIGMA AFP AFS SOMME DES AF SIGMA AA FY SIGMA AHT C DES AH SOUDE SIGMA AH SIGMA AFF SIGMA AH SIGMA AFF AGRED SIGMA AH / C TOTAL ACIDES HUMIQUES TOTAUX (AHT) SIGMA AF / SIGMA AHT C DES AH PYRO C DES AH SOUDE SIGMA AH / C TOTAL SIGMA AH/AHT HUMINE C / TOTAL SIGMA AF/HU SIGMA AH/HU MATIERES ORGANIQUES HUMIFIEES (HUMINE N TOTAL (KJELD-TECHN) HUMNOH SIGMA AF/HU SIGMA AH/HU MATIERES ORGANIQUES HUMIFIEES (HUMINE N TOTAL SIGMA AF/HU SIGMA AF/HU SIGMA AH/HU MATIERES ORGANIQUES HUMIFIEES (HUMON SIGMA AF/HU SIGMA AF/HU SIGMA AF/HU SIGMA AH/HU ANG C-3 DU SOL AHB & DES AH AHB LR/LV AHG ARSC PIC ABSORPTION AHI C-3 TOU SOL AHB & DES AH AHB LR/LV AHG ARSC PIC ABSORPTION AHI C-3 TOU SOL AHB & DES AH AHB LR/LV AHG ARSC PIC ARSORPTION AHI C-3 TOU SOL AHB & DES AH AHB LR/LV AHB B DES AH AHB LR/LV AHB B DES AH AHB C-3 TOU SOL AHB & DES AH AHB LR/LV AHB B DES AH AHB LR/LV	1 -1-00	1 -1.00 7	-1-00	I -1.00 I
	• - • -				

ANALYSES DE LAHORATOIRE DU PROFIL/NO1632/ALE521

1 I 2 I 3 I 4 I 0- 20 I 40- 60 I 70- 90 I 140-160 I I I I I HOKIZON I LIMITES I PROFONDEUR I VARIABLES 25.10 I 27.70 I 9.70 I 11.40 I 10.80 I 12.40 I 14.60 I 18.30 I 38.10 I 28.30 I 1.30 I 1.70 I A1381G ARGILE 5.50 I 4.00 I 28.70 I LIMON FIN A1381H 11.40 I 19.70 LIMON GROSSIER SABLE FIN ALBRIJ 10.20 I 26.90 I 12.40 I A13RIK 12.50 41381L A13PIM 1.30 A1381P 0-70 AIGAIA 5.50 I ALGAIR 4.60 BIZAIA 0.20 I 817C4C 81277D B13A2A 2.55 BIBAZE 1.65 T B13A2D 0.36 **B13A2E** 0.05 1 4.61 814B4A 7.25 I B14228 63.00 B15A24 815428 14.68 B15A2D 81542E R15426 B16A1A 0.18 B16A18 0.00 B17A1A 7.80 B17C1B 6.50 HIBAIF -1-00 HISAIH -1.00 HIBALJ -1.00 H13A1K -1.00 H14A18 16.20 H1421D 29.20 C DE MOL I 0.27 I 0.03 I -1.00 I C DES AF PYRO P207NA4 0.1M I 0.19 I 0.08 I -1.00 I C DES AF SOUDE NAOH 0.1N I 0.38 I 0.14 I -1.00 I SIGMA AFP-AFS I 0.57 I 0.22 I -1.00 I SOMME DES AF I 0.86 I 0.52 I -1.00 I E1282C -1.00 E13B14 -1.00 E13C5B -1.00 E13D1C -1.00 SIGMA AFP+AFS I 0.38 I 0.14 I
SIGMA AFP+AFS I 0.86 I 0.52 I
SIGMA AF / C TOTAL I 0.14 I 0.22 I
SIGMA AF / SIGMA AH I 1.79 I -1.00 I
SIGMA AF / SIGMA AHT I 0.64 I 1.00 I
C DES AH PYRO I 0.35 I 0.0 I
C DES AH SOUDE I 0.13 I 0.0 I
SIGMA AH I 0.48 I 0.0 I
SIGMA AH / C TOTAL I 0.48 I 0.0 I
ACIDES HUMIQUES TOTAUX (AHT) I 1.34 I 0.52 I
SIGMA AH / C TOTAL I 0.21 I 0.22 I
SIGMA AH / C TOTAL I 0.36 I 0.0 I
ACIDES HUMIQUES TOTAUX (AHT) I 1.34 I 0.52 I
SIGMA AH/AHT I 0.36 I 0.0 I
HUMINE C TOTAL COULOMETRE I 4.62 I 1.78 I
HUMINE N TOTAL (KJELN-TECHN) I 0.24 I 0.19 I
HUMINE C/N I 19.30 I 9.60 I E1322E -1.00 E13ZZF -1.00 I -1.00 E13ZZG -1.00 I -1.00 £13ZZH -1.00 I -1.00 F1327J -1.00 I -1.00 -1.00 I F1405A -1-00 E14D1B -1.00 -1.00 I E14ZZF -1.CO I -1.00 E14ZZF E14ZZG -1.00 I 0.22 I -1.00 I 0.0 I -1.00 I 1.78 I -1.00 I 0.19 I -1.00 I 9.60 I -1.00 I 0.76 I -1.00 I E14ZZH -1.00 -1.00 E15858 -1.00 U.19 I

1 0.74 I 0.76 I

I 0.19 I 0.29 I

I 0.19 I 0.29 I

I 0.10 I 0.0 I

MATIERES ORGANIQUES HUMIFIEES(I 5.96 I 2.30 I

HU/MOH I 0.77 I 0.77 I

SIGMA AF/MOH I 0.14 I 0.23 I

SIGMA AH/MOH I 0.88 I 0.0 I

MOH/C TOTAL I 0.96 I 0.98 I

SIGMA MOL-AF+AH+HU I 6.23 I 2.33 I

AHG C-3 DU SOL I 0.22 I -1.00 I

AHG BES AH I 62.00 I -1.00 I

AHG LR/LV I 0.64 I -1.00 I

AHG C-3 DU SOL I 0.22 I -1.00 I

AHG C-3 DU SOL I 0.04 I -1.00 I

AHI C-3 DU SOL I 0.04 I -1.00 I

AHI C-3 DU SOL I 0.04 I -1.00 I

AHI C-3 DU SOL I 0.04 I -1.00 I

AHI C-3 DU SOL I 0.04 I -1.00 I

AHB C-3 DU SOL I 0.09 T

AHB C-3 DU SOL I 0.09 T -1.00 E15ZZD -1.00 I E15ZZE -1.00 I -1.00 I -1.00 I E15ZZF -1.00 I F15ZZG -1.00 I 2.30 I -1.00 I 0.77 I -1.00 I E15ZZH -1.00 I E15ZZJ -1.00 I E15ZZK -1.00 I 0.0 1 -1.00 I 0.98 I -1.00 I -1.00 I £15771 E15ZZM MOH/C TOTAL -1.00 T -1.00 I F1527N -1-00 I -1.00 I E16A1A -1-00 I EIKAIR AHG % DES AH -1.00 I -1-00 I -1.00 I -1.00 I E1644C E16A5D -1.00 I -1-00 1 -1.00 I EISALE E16A1F EIFAIJ -1-00 I E16A1K -1.00 I -1.00 -1.00 I -1.00 I -1.00 I -1.00 I -1.00 I -1.00 I E1684L -1-00 I -1.00 I F17414 -1.00 I -1.00 I -1.00 I -1.00 I 1 -1.00 I 1 -1.00 I 1 -1.00 I 1 -1.00 I AHG % DES AH E17AIR -1-00 I AHG LR/LV E1744C -1.00 I -1.00 I -1.00 -1.00 I -1.00 I -1.00 I -1.00 I AHG ABSC PIC ABSORPTION E17ASD -1.00 I AHT C-3 NU SOL E17A1F -1-00 -1-00 1 AHI & DES AH E17A1F -1.00 I -1.00 I E17A1J AHB C-3 DU SOL -1-no I -1.00 1 -1.00 I -1.00 AHB % DES AH -1.00 I -1.00 1 -1.00 I -1.00 1 FITALK

-1.00 I

-1.00 1

-1.00 I

-1.00 1

AHB LR/LV

E17A4L

ANALYSES DE LABORATOIRE DU PROFIL/NO1633/ARK 31 HOKIZON I LIMITES I 0- 10 I 10- 30 T 40- 60 T 70- 90 T PROFONDEUR I VARIABLES A1381G ARGILE 6.80 I 19.20 I 41.00 I 33.60 I 413B1H LIMON FIN 4.30 I 15.20 B.70 I 13.50 I LIMON GROSSIER AIBRIJ 13.40 I 11.40 I 11.00 I 23.20 1 SABLE FIN 11.20 I 21.90 I 41381K 48.40 I 29.40 I 13.90 I SABLE GROSSIER A13B1L 28.10 1 29.90 I 13.10 0.70 I 0.50 I A13P1M % H20 A 105 DEGRES 0.30 I 1.20 I 0.90 1 LF/A **A1381P** 0.60 I 0.30 I 0.40 PH-RH H20 6.40 I A1441A 5.80 I 5.50 I 5-60 I 414A1R PH-RH KCL N MO TOTALE EN * 5.60 I 4.60 I 4.40 4.60 0.70 I 4.20 I ALASIR 0.70 I 0.20 I 0-10 I C TOTAL COULOMETRE 81285B 4.19 I 1.15 I 0.81 1 B12C4C n.38 I 0.60 I 0.60 I 0.37 I 0.26 I 0.18 I C/N 812ZZD 11.00 I 4.50 CA++ EN ME POUR 100 G DE SOL MG++ EN ME POUR 100 G DE SOL K+ EN ME POUR 100 G DE SOL NA+ EN ME POUR 100 G DE SOL SOMME DES RASES ECHANGEABLES 0.75 I 0.75 I 0.09 I 0.01 I P13A2A 0.30 I 0.30 0.45 I 0.27 I B13A28 0.90 I 1.95 B1342D 0.28 I 0.15 0.04 I BIBAZE 0.15 I 0.09 1.36 I 3.75 I **B13A2G** 1.60 I 1.63 I 7.49 I 6.25 I T(CA) A PH7 81484A 2.50 I 5.50 I 814ZZ8 V¥ 64.00 I 36.00 I 26.00 I 45.00 1 1.78 I 6.44 T B15424 CA++ EN ME POUR 100 G DE SOL 1-07 I 1.42 I 1.42 1 B15A2R MG++ EN ME POUR 100 G DE SOL 2.97 1 11.90 I 14.88 I 8.28 I K+ EN ME POUR 100 G DE SOL 815A2D 2.54 I 18.04 I 13.37 1 NA+ EN ME POUR 100 G DE SOL SOMME DES BASES TOTALES P205 TOTAL NO3H 13 N P205 ASSIMIL OLSEN 815A2E 1.29 I 1 1.93 I 3.22 I 2.25 I E1542G 7-87 I 18.43 I 37.56 I 28.94 T 816A1A 0.15 1 0-17 I 0.11 I 0.01 I 0-13 I BIGAIR 0.01 I 0.02 I 0.00 I - 2.30 I 5.60 I 4.50 I 7.30 I 6.00 I B17414 FE203 TOTAL 5.70 I FE203 LIBRE DEB 817018 1.75 I 5.00 I INSTAB STRUCT AGREGATS ALCOOL AGREGATS EAU n.60 I -1.00 T -1.00 T -1.00 T H13A1F -1.00 I 40-70 I -1.00 -1.00 I -1.00 I -1.00 I -1.00 I -1.00 I -1.00 I 10.10 I 18.50 I 17.20 I 14.90 I 24.10 I 24.10 I 39.80 1 HIBALJ H13A1K AGREGATS BENZENE 3R.30 I PF4.2 4-10 I 8-40 I H14A1B PF2.5 H14A1D C DE MOL
C DES AF LIBRES PO4H3 2M
C DES AF PYRO P207NA4 0.1M
C DES AF SOUDE NAOH 0.1N
SIGMA AFP+AFS
SOMME DES AF E1282C 0.37 1 0.29 I 0.24 I 0.29 I -1.00 1 -1.00 I F13814 -1-00 I -1.00 E13C58 0.29 1 0.33 I -1.00 I -1.00 0.25 I 0.58 I 0.87 I -1.00 I -1.00 I E13D1C 0.33 1 -1.00 0.62 I 0.86 I E13ZZE -1.00 F1327F -1.00 I -1.00 SIGMA AF / C TOTAL SIGMA AF / SIGMA AH SIGMA AF / SIGMA AHT C DES AH PYRO E13ZZG 0.20 I 0.21 I -1.00 I -1.00 2.53 I 0.72 I E13ZZH 7.25 1 -1.00 I -1.00 -1.00 I -1.00 E13ZZJ 0.88 I 0.25 I 0.09 I -1.00 I -1.00 I 0.05 I 0.07 I E14C5A -1-00 C DES AH SOUDE E34D1R -1-00 SIGMA AH 0.34 I 0.08 I 0.12 7 E14ZZE -1.00 I -1.00 SIGMA AH / C TOTAL E14ZZF 0.03 1 ~-1.00 I -1.00 ACIDES HUMIQUES TOTAUX (AHT) SIGMA AHT / C TOTAL 1.20 I 0.29 I E14ZZG -1.00 0.99 I -1.00 I E14ZZH 0.23 I -1.00 I -1.00 SIGMA AH/AHT HUMINE C TOTAL COULOMETRE E14ZZJ 0.12 1 0.28 1 -1.00 I -1.00 E15858 2.62 I 2.90 I -1.00 I -1.00 HUMINE N TOTAL (KJELD-TECHN)
HUMINE C/N 0.19 I -1.00 I £15C4C 0.21 1 -1.00 13.70 I -1.00 I E15ZZD 13.50 J -1.00 I E15ZZE C DE HU/C TOTAL 0.62 I 0.69 I -1.00 I -1.00 -1.00 I -1.00 I -1.00 I -1.00 I SIGMA AF/HU 0.33 I -1.00 I E15ZZF 0.30 I SIGMA AH/HU 0.13 I 3.82 I 0.68 I £15226 0-04 T -1.00 3.89 I MATIERES ORGANIQUES HUMIFIEES! I F1572H -1.00 I HU/MOH F15ZZJ 0.74 I -1-00 SIGMA AF/MOH 0.22 I E15ZZK 0.22 I -1.00 I -1.00 STOMA AH/MOH -1.00 I E15ZZL 0-09 I 0.03 I -1.00 MOHIC TOTAL E15224 n.91 I 0.93 I -1.00 I -1.00 I 4-1A I -1.00 I -1.00 I SIGMA MOL+AF+AH+HU E1522N 4.19 I -1.00 AHG E-3 DU SOL E16A1A 0.15 I -1.00 I -1.00 61-00 1 -1.00 I E16A18 --1-00 -1.00 I AHG LR/LV n.63 I -1.00 T -1-00 I £16A4C -1.00 -1.00 I -1.00 I -1.00 I -1.00 I AHG ABSC PIC ABSORPTION -1.00 T E1645D n-19 I AHI C-3 DU SOL n-02 I -1.00 I EIGALE -1.00 I -1.00 I -1.00 I AHI & DES AH -1-00 I 9.00 I E16A1F E16A1J , AHB C-3 DU SOL 0.08 1 -1.00 30.00 I 0.47 I -1.00 I AHB & DES AH -1.00 I E16A1K -1.00 I AHB LR/LY -1.00 I E16A4L -1.00 I -1.00 E17A1A AHG C-3 DU SOL -1.00 I -1.00 J -1.00 I -1.00 T AHG & DES AH -1.00 I -1.00 1 -1.00 I E17A1H -1.00 AHG LR/LV -1.00 I -1.00 I -1.00 I F17840 -1.00 AHG ABSC PIC ABSORPTION -1.00 I E17A5D -1.00 I -1-00 I -1.00 AHI C-3 DU SOL -1-00 I -1.00 I -1.00 I -1.00 E17A1E AHI & DES AH AHB C-3 THU SOL -1.00 I -1.00 I -1.00 I E17A1F -1-00 -1.00 I -1.00 -1-00 I -1.00 I E1741J AHB & DES AH -1.00 I E17A1K -1.00 I -1.00 I -1.00

-1-00 I

-1.00 I

-1.00 I

-1.00

AHB LR/LV

E1744L

ANALYSES DE LAHORATOIRE DU PROFIL/NO1634/48+541

1 1 2 T 0- 20 1 20- 40 I HOKIZON I LIMITES I PROFONDEUR 1 VARIABLES 3.60 I 5.60 I 7.90 I 3.60 I 14.10 I 13.60 I 55.70 I 50.50 I A13816 ARGILE 24.10 1 5.90 I 26.40 T AISBIH LIMON FIN 7.40 LIMON GROSSIER A1381J 14.10 I 11.20 I 13.80 SABLE FIN A1381K 55.70 I 34.70 I 30.80 SABLE GROSSIER & H20 A 105 DEGRES AL3B1L 23.40 I 26.30 I 23.10 I A13PIM 0.10 I 0.20 I D.70 I 0.90 LF/A A1381P 0.80 I 0.60 I 0-20 I PH-RH H20 AIGAIA 5.80 I 5.70 I 5.70 I 5.50 PH-RH KCL N MO TOTALE EN K 4.80 I 4.60 I
0.20 I 0.30 I
1.22 I 2.04 I
0.12 I 0.27 I
9.90 I 7.40 I
0.30 I 1.50 I
0.30 I 0.75 I
0.11 I 0.13 I
0.01 I 0.01 I
0.72 I 2.39 I
1.75 I 4.25 I
41.00 I 56.00 I
2.85 I 3.56 I AIGALE 4.90 I 4.80 I 4.60 I 5.00 I 0.20 I I 1.25 I 612A1A 0.20 C TOTAL COULDMETRE B12858 0.17 I 7.20 I N TOTAL KJELD-TECHN 0.17 1 B12ZZD C/N 7.00 CA+ EN ME POUR 100 G DE SOL MG++ EN ME POUR 100 G DE SOL K+ EN ME POUR 100 G DE SOL NA+ EN ME POUR 100 G DE SOL SOMME DES RASES ECHANGEARLES T (CA) A PH7 4SAE18 0.30 I **B13A2B** n.15 I BLBASD 0.12 I 0.07 813A2E 0.01 I 0.02 2.39 I B13A2G 0.58 I 2.94 1.50 I 39.00 I B14844 4.75 1 39.00 I 41.00 I 1 27.81 I 2.85 I 1 1.98 I 1.48 I 1 0.42 I 0.42 I 1 2.58 I 1.61 I 1 32.79 I 6.36 I 1 0.22 I 0.21 I 1 0.01 I 0.00 I 1 0.80 I 1.00 I 1 0.55 I 0.65 I 1 0.60 I -1.00 I 1 30.00 I -1.00 I B14ZZP ٧% 56.00 I 62.00 CA++ EN ME POUR 100 G DE SOL MG++ EN ME POUR 100 G DE SOL B15AZA 3.56 I 2.97 I 5.35 3.47 NA+ EN ME POUR 100 G DE SOL
NA+ EN ME POUR 100 G DE SOL
SOMME DES BASES TOTALES
P205 TOTAL NO3H 13 N
P205 ASSIMIL OLSEN B15A2D 2.12 I 2.33 1 B15AZE 1.93 I 2.25 BISAZG 10.58 I 13.40 B16A1A 0.23 I 0.23 B1641B 0.02 I 0.00 81741A FE203 TOTAL 2.30 I 4-30 FE203 LIBRE DEB **B17C1B** 1.70 I 3.65 INSTAB STRUCT H13A1F -1.00 I -1.00 AGREGATS ALCOOL AGREGATS EAU I 30-00 I H13A1H -1.00 7 -1.00 I -1.00 HIZALJ 30+60 I -1.00 I -1.00 I -1-00 H13A1K AGREGATS BENZENE 30-60 I -1-00 I -1.00 -1 -1.00 2.50 1 9.70 I 14.80 I H1441B PF4.2 1.70 I 11.50 T H14A1D PFZ-5 4.60 I 16.90 I 0.09 I I 0.0 I I 0.0 I I 0.04 I C DE MOL E12820 0.02 I -1.00 I -1.00 I C DES AF LIBRES PO4H3 2M E13B1A 0.06 I -1.00 I -1.00 C DES AF PYRO PZO7NA4 0.1M C DES AF SOUDE NAOH 0.1N SIGMA AFP+AFS SOMME DES AF E13C5B 0.0 I -1.00 I -1.00 I E13D1C -1.00 I -1.00 0.04 1 E13ZZE 0.06 I -1.00 I 0.04 I 0.03 I 0.67 I 0.12 I 0.10 I E13ZZF -1-00 I -1.00 SIGMA AF / C TOTAL SIGMA AF / SIGMA AH SIGMA AF / SIGMA AHT E13ZZG -1.00 I -1.00 1 0.67 I I 0.40 I -1.00 I -1.00 -1.00 I -1.00 E13ZZH 0.50 I E13ZZJ 0.33 I C DES AH PYRO C DES AH SOUDE 0.20 I 0.04 I -1.00 I -1.00 -1.00 I -1.00 E14C5A 0.06 I -1.00 E14D1P 0.0 I 1 0.05 1 0.24 I 0.20 I E14ZZE SIGMA AH -1.00 -1.00 I SIGMA AH / C TOTAL 1 0.05 I I 0.10 I I 0.08 I E14ZZF -1.00 I -1.00 E14ZZG ACIDES HUMIQUES TOTAUX (AHT) 0.36 I 0.29 I -1.00 I -1.00 I SIGMA AHT / C TOTAL E14ZZH -1.00 I -1.00 SIGMA AH/AHT I 0.60 I I 1.05 I E14ZZJ 0.67 I 0.82 I 0.08 I -1.00 I -1.00 HUMINE C TOTAL COULOMETRE
HUMINE N TOTAL (KJELD-TECHN)
HUMINE C/N E1585B -1.00 I -1.00 0.08 I E15C4C -1.00 I. -1.00 F1522D 13.10 I 10.50 I -1.00 I -1.00 C DE HU/C TOTAL E15ZZE. 0.84 I 0.67 I -1.00 I -1.00 SIGMA AF/HU E15ZZF 0.04 I 0.15 1 -1.00 I -1.00 SIGMA AH/HU 0.06 1 -1.00 I E15ZZG 0.29 I -1.00 MATIERES ORGANIQUES HUMIFIEES(I E15ZZH 1-15 I 1.18 I -1.00 I -1.00 0.91 I E15ZZJ HU/MOH 0.69 I -1.00 I -1.00 0.10 I 0.20 I SIGMA AF/MOH . £15ZZK 0.03 I -1.00 I -1-00 E15ZZL SIGHA AH/MOH 0.05 1 -1-00 I -1-00 MOH/C TOTAL SIGMA MOL+AF+AH+HU 0.92 I 0.97 I 1.20 I E15227 -1.00 I -1-00 F1577N 1.24 I -1.00 I -1.00 AHG C-3 DU SOL E16A1A -1.00 I -1-00 I -1.00 I -1-00 AHG & DES AH EISAIB -1.00 I -1.00 I -1-00 I -1.00 -1-00 I E1444C AHG LR/LY -1.00 I -1-00 I -1.00 T -1.00 I -1.00 I AHG ABSC PIC ABSORPTION I -1.00 I I -1.00 I £16450 -1.00 I -1-00 AHI C-3 NU SOL E16A1E -1-00 I -1.00 -1-00 T -1-00 I -1.00 I -1.00 I EISAIF AHI & DES AH. -1.00 I -1.00 AHR C-3 DU SOL -1.00 I EISALJ -1-00 -1.00 I -1.00 I EISAIK AHB & DES AH -1.00 I -1.00 I -1-00 AHB LR/LV -1-00 I E16A4L -1-00 I -1-00 AHG C-3 DU SOL -1-00 I -1.00 I E17414 -1-00 J -1.00 -1-DO T FITAIR -1.00 I -1-00 I -1-00 -1.00 I E17A4C AHG LR/LY -1.0n I -1-00 I -1.00 AHG ABSC PIC ABSORPTION £17450 -1.00 I -1.00 I -1.00 I -1.00 AHI C-3 DU SOL E17A1E -1.00 I -1.00 7 -1-00 I -1.00 E17A1F AHI & DES AH -1.00 I -1-0n I -1.00 I -1.00 AHB C-3 DU SOL E17A1J -1.00 I -1.00 I -1.00 I -1.00 E17A1K AHB & DES AH . -1.00 1 -1.00 I -1.00 I -1.00 -1.00 I F17A41 AHB LR/LV -1.00 I -1.00 I -1-00 T

ANA	LYSES DE LARORATDIRE DU PROFILIN	01635/ALE151			
	HORIZON			3 1	4 1
	LIMITES	I 0- 15 I	15- 45 I	45- 65 İ	-11 1
	PROFONDEUR	I.	. I	I	ī
A1381G	VARIABLES APGILE LIMON FIN LIMON GROSSIER SABLE FIN SABLE GPOSSIER & H20 A 105 DEGRES LF/A PH-RH H20 PH-RH KCL N MO TOTALE EN % C TOTAL COULOMETRE N TOTAL KJELD-TECHN C/N CA+ EN ME POUR 100 G DE SOL	1 10-00 1	19.70 T	33-60 T	-1.00 I
A1381H	LIMON FIN	5.40 I	7.80 I	20.90 1	-1.00 I
41361J	LIMON GROSSIER	10.40 I	7.90 I	7.70 1	-1-00 T
A1381K	SABLE FIN	21.10 I	8.80 I	Z8.60 I	-1.00 I
A1381L A13P1M	# HOU WINE DECDES	51.10 1	54.50 I	6.60 I	-1-00 T
A1381P	LF/A	0-50 T	0.80 1	2.40 I 0.60 I	-1.00 T -1.00 T
A14A1A	PH-RH H20	5.00 I	5.50 I	7.10 I	-1-00 I
SIAAIR	PH-RH KCL N	4.10 I	4.50 I	6.20 I	-1-00 I
81281A B1285R	TOTALE EN K	1 1-40 I	0.50 I	0.20 I	-1.00 1
B12C4C	N TOTAL KUELD-TECHN	1 n-00 1 1 n-67 T	0-38 I	1.19 T 0.15 I	-1.00 T -1.00 I
8122ZD	CIN	12.00 I	9.70 I	7.90 I	-1-00 T
BIRAZA	CA++ EN ME POUR 100 G DE SOL	I 0.30 I	1.05 1	6.00 I	-1.00 T
813A28 813A2D	MG++ EN ME POUR 100 G DE SOL	1 0.30 I	1.20 I	6.30 I	-1.00 I
B13A2E	NA+ EN ME POUR 100 G DE SOL	1 0.05 I	0.09 I 0.06 I	0.16 I 0.38 I	-1.00 T -1.00 T
BIBAZG	C/N CA++ EN ME POUR 100 G DE SOL MG++ EN ME POUR 100 G DE SOL K+ EN ME POUR 100 G DE SOL NA++ EN ME POUR 100 G DE SOL SOMME DES BASES ECHANGEARLES T(CA) A PH7	n.69 T	2.40 I		
		. , .	7630 1	12.75 I	-1.00 I
R14ZZR	0. 50 NE 5000 AAA A SE 650 N	I 13-00 I	53.00 I	100.00 I	-1.00 I
B15A2A B15A2B	MG++ EN ME POUR 100 G DE SOL	2.85 I 3.96 I	3.20 I 6.44 I	7.48 I 21.33 I	-1.00 I -1.00 I
BISAZD	K+ EN ME POUR 100 G DE SOL	1.06 I	1.48 I	2.76 1	-1.00 I
B15A2E	NA+ EN ME POUR 100 G DE SOL	1 1.61 I	1.61 I		-1.00 T
B15A2G	SOMME DES BASES TOTALES	9.48 I	12.73 I		-1.00 I
BIGALA	PROF ACCIPATE OF CENT	1 0.23 1 1 0.02 1	0-18 1	0-14 I	-1-00 I
BITALA	FE203 TOTAL	1 3-00 T	0.00 I 5.10 I	0.00 I 6.30 I	-1.00 I -1.00 T
217018	FE203 LIBRE DEB	2-15 1	3.95 I	4.00 I	-1-00 T
HIBAIF	INSTAB STRUCT	1-30 I	-1.00 I	-1-00 I	-1.00 I
HIBAIH	AGREGATS ALCOOL	60.30 I	-1-00 I	-1-00 I	-1.00 T
HIBAIK	AGREGATS BENZENE	58-80 T	-1.00 I -1.00 T	-1.00 I -1.00 I	-1.00 I -1.00 I
H14A1B	PF4-2	6.10 I	10.40 7	19-12 1	-1-00 1
H14A1D	PF2.5	11.30 I	14.80 J	27.40 I	-1.00 I
E12B2C	C DE MOL	1 0.32 1	14.80 J T 00.01 T 02.0	-1.00 I	-1.00 I
E13058	C DES AF PYRO PROTING	1 0.49 1 1 0.67 T	0.20 1	-1.00 I	-1.00 3 -1.00 3
E1301C	MG++ EN ME POUR 100 G DE SOL MG++ EN ME POUR 100 G DE SOL K+ EN ME POUR 100 G DE SOL NA+ EN ME POUR 100 G DE SOL SOMME DES BASES TOTALES P205 TOTAL NO3H 13 N P205 ASSIMIL OLSEN FE203 TOTAL FE203 TOTAL FE203 LITRE DEB INSTAB STRUCT AGREGATS EAU AGREGATS BENZENE PF4-2 PF2-5 C DE MOL C DES AF LIBRES PO4H3 2M C DES AF PYRO P207NA4 0.1M C DES AF SOUDE NAOH 0.1M SIGMA AFP+AFS SOMME DES AF SIGMA AF / C TOTAL SIGMA AF / SIGMA AH SIGMA AF / SIGMA AH C DES AH SOUDE SIGMA AH	0.86 I	0.21 7	-1.00 I	-1.00 7
E13ZZE	SIGMA AFP+AFS	1 . 1.53 I	0.49 I	-1.00 I	-1-00 I
E13221	SIGNA AF / C TOTAL	I 2.02 I	0.69 I 0.25 I	-1.00 I -1.00 I	-1.00 I
E13Z2H	SIGMA AF / SIGMA AH	1 1-19 1	-1-00 I		-1.00 I
E13ZZJ	SIGMA AF / SIGMA AHT	0.54 I	1.00 T	-1.00 I	-1.00 I
E1405A	C DES AH PYRO	1.06 1	0.0 I	-1.00 I	-1.00 I
E14018	STOMA AH	1 0.64 1	0.0 1	-1.00 I	-1.00 I
E14ZZF	SIGMA AH / C TOTAL	0.21 1	0.0 T	-1-00 I	-1.00 I
E14ZZG	ACIDES HUMIQUES TOTAUX (AHT)	3.72 I	0.69 I	-1.00 I	-1.00 I
E14ZZH	SIGMA AHT / C TOTAL	I 0.46 I	0.25 I	-1.00 I	-1.00 I
E1422J	HUMINE C TOTAL COULDMETER	1 0.46 1 7 4.04 T	0.0 I	-1.00 I	-1.00 I
E15C4C	HUMINE N TOTAL (KJELD-TECHN)	n.26 I	0.06 I	-1.00 I	-1.00 I
E15ZZD	HUMINE C/N	I 15.30 I	31.70 1	-1.00 I	-1.00 I
E15ZZE	C DE HU/C TOTAL	0.50 I	0.74 1	-1.00 I	-1.00 I
£1522r	SIGMA AHZHU	1 0.50 1 7 0.42 T	0.34 I	-1.00 I	-1.00 1
E15ZZH	MATIERES ORGANIQUES HUMIFIEES	7.76 I	2-69 I	-1.00 I	-1.00 7
E15ZZJ	HU/MOH	0.52 1	0-74 1	-1-00 I	-1.00 I
£15ZZK	SIGMA AFZMOH	I 0.26 I	0.26 I	-1-00 I	-1-00 I
£1522H	MOHZC TOTAL	1 10-26 T	0-0-1	-1-00 I	-1-00 I
EISZZN	SIGMA MOL+AF+AH+HU	R.08 I	2.70 1	-1.00 1	-1-00 I
EIGAIA	AHG C-3 DU SOL	I 0.60 I	-1.00 I	-1-00 1	-1-00 T
E16418	AHG % DES AH	1 56.00 I	-1.00 1	-1.00 I	-1.00 T
FIGASD	AHG ARSC PIC ABSORPTION	0.70 1	-1.00 I	-1-00 I	-1-00 I
E16A1E	AHI C-3 DU SOL	n.14 I	-1-00 I	-1-00 I	-1-00 T
E16A1F	AHI % DES AH	13.00 1	-1-00 I	1.00 I	-1-00 1
EIGALJ	AHU C-3 TU SOL	1 0-32 I	-1-00 I	-1-00 I	-1-00 I
FIGAIN	AHB 1 R/L V	1 0-52	-1.00 l	-1.00 I	-1-00 I
E17ALA	AHG C-3 DU SOL	I 0.46 I	-1-00 1	-1.00 I	-1-00 T
E17A1R	AHG & DES AH	I 72.00 I	-1.00 I	-1-00 1	-1-00 I
E1744C	AHG LR/LV	n.75 I	-1.00 1	-1.00 I	-1-00 1
£17450	AHD ABSU PIC ABSUKPTION	1 0.16 I	-1-00 T	-1.00 I	-1-00 I
ElTAIF	AHI & DES AH	2.00 I	-1.00 I	-1.00 I	-1.00 T
E17ALJ	SIGMA AF / SIGMA AHT C DES AH PYRO C DES AH SOUDE SIGMA AH SIGMA AH / C TOTAL ACIDES HUMIQUES TOTAUX (AHT) SIGMA AH / C TOTAL SIGMA AH/AHT HUMINE C TOTAL COULOMETRE HUMINE N TOTAL (KJELD-TECHN) HUMINE N TOTAL (KJELD-TECHN) HUMINE C/N C DE HU/C TOTAL SIGMA AH/HU SIGMA AH/HU MATIERES ORGANIQUES HUMIFIEES(HU/MOH SIGMA AF/MOH SIGMA AF/MOH SIGMA AH/MOH MOH/C TOTAL SIGMA MOL+AF-AM+HU AHG C-3 DU SOL AHG % DES AH AHB C-3 DU SOL AHI % DES AH AHB C-3 DU SOL AHG % DES AH AHB LR/LV AHG ABSC PIC ABSORPTION AHI C-3 DU SOL AHG % DES AH AHB C-3 DU SOL AHI % DES AH AHB LR/LV	n.13 I	-1.00 I	-1-00 I	-1-00 T
EITAIK	AHB % DES AH	1 20.00 I	-1.00 I	-1-00 I	-1.00 I
t17A4L	ARR TKATA	1 0-55 I	-1-00 1	-1.00 1	-1-00 1

ANA	LIBES DE LAHUMATOIME DU PROFILA	101636/8Y# 6	1		
	HORIZON	I 1 I	2 1	I. E	4 1
	LIMITES	I 0- 15 I	15- 30 1	30- 50 1	70- 90 I
•	PROFONDEUR	1	. 1		1
A13816	ARGILE VARIABLES	1 7-40 I	10.00	. 10 70 7	
41381 H	LIMON FIN	I 16.90 I	10.00 I		12-30 T
TIBEIT	LIMON GROSSIER	1 19.60 I			13-10 I
41381K	ARGILE LIMON FIN LIMON GROSSIER SABLE FIN SABLE GROSSIER % H20 A 105 DEGRES LF/A PH-RH H20 PM-RH 4CL N MO TOTALE EN % C TOTAL COULOMETRE	I 25.00 I			29.30 I
41381L 41391M	A HOU I THE BECOLD	I 29-00 I			30-10 I
413BIP	LF/A	I 0.50 I	0.30 1 1-60 1		0.60 I 1.20 I
Aleala	PH-RH H20	I 6-50 I	5.50 1		5.50 I
A14A18	PH-RH KCL N	I 5.60 I	. 4.30 I	4-30 I	4-80 T
812A1A	NO TOTALE EN %	I 1-60 I	0.50 I		0.30 I
B12040		I 9-61 I	3.04 1 0.26 1		1.52 1
812270	C/N	I 15.30 I	11.70 1	0.10 1	0.23 I 6.60 I
B13A2A	CA++ EN ME POUR 100 G DE SOL MG++ EN ME POUR 100 G DE SOL K+ EN ME POUR 100 G DF SOL	I 2.10 I	0.75 1		1.50 I
813A2R	MG++ EN ME POUR 100 G TE SOL	1 0-75 I	0.45 I		1.05 I
813A2D 813A2E	NA+ FN ME POUR 100 G DE SOL	I 0.32 I	0.14 T		7.15 I
B13A2G	K+ EN ME POUR 100 G DE SOL NA+ EN ME POUR 100 G DE SOL SOMME DES BASES ECHANGEABLES	1 3.79 I	1-35 1		0.02 I 2.72 I
21484A	1464) 4 70)	1 5.75 1	3-00 1		4.25 I
B14ZZB	V&	I 66.00 I		69.00 I	64.00 T
815A2A 615A2B	CA++ EN ME POUR 100 G DE SOL MG++ EN ME POUR 100 G DE SOL	I 2-13 I	2-13 1		1.78 I
B15A2D	K+ EN ME POUR 100 G DE SOL	1 4.46 I	2.97 I 1.27 I		4-96 I 2-76 I
BISAZE	NA+ EN ME POUR 100 G DE SOL	I 1.61 I	1-29 1		1.29 I
815426	SOMME DES BASES TOTALES	I 12-18 I	7.66 I	8.48 I	12-21 1
Bleala	P205 TOTAL NO3H 13 N	I 8f-0 I	0.13 7		0.16 1
#12418	FEZOS TOTAL	1 0000 I	0.00 1		0-00 1
B17C18	FE203 LIARE DEB	1 0.45 1	1.00 I 0.60 I		1.80 I 1.20 I
HIBAIF	INSTAB STRUCT	I 0.80 I	-1.00 I		-1.00 I
HIBAIH	AGREGATS ALCOOL	I 53-20 I	-1.00 I		-1-00 1
HISEIN	AGREGATS HAU	1 47.10 I	-1.00 T		-1.00 I
H14A2B	PF4.2	I - 4.40 I	-1-00 T 4-10 T	5-50 T	-1-00 I
H14A1D	MG EN ME POUR 100 G DE SOL K+ EN ME POUR 100 G DE SOL NA+ EN ME POUR 100 G DE SOL SOMME DES BASES TOTALES P205 TOTAL NO3H 13 N P205 ASSIMIL OLSEN FE203 TOTAL FE203 LIBRE DEB INSTAB STRUCT	1 15-40 1	71.20 7	10.00 1	34-10 T
E1282C	C DE HOL	7 0.69 1	0.12 1	-1-00 I	-1-00 I
E13818	C DES AF TIBRES POAHS 2M	1 0.29 1	0.02 1	-1-00 I	-1-00 1
E13036	C DES AF SOUDE NACH 0-1N	1 8-53 1 T n-72 T	0.53.1	-1.00 I -1.00 I	-1.00 T -1.00 I
E13ZZE	SIGMA AFP+AFS	1 1.25 1	0.53 I	-1.00 I	-1-00 I
E13ZZF	C DE MOL C DES AF LIBRES PO4H3 2M C DES AF PYRO P207NA4 0.1M C DES AF SOUDE NAOH 0.1N SIGMA AFP+AFS SOMME DES AF SIGMA AF / C TOTAL SIGMA AF / SIGMA AH SIGMA AF / SIGMA AH C DES AH PYRO C DES AH PYRO C DES AH SOUDE SIGMA AM SIGMA AH / C TOTAL ACIDES HUMIQUES TOTAUX (AHT) SIGMA AH/AT HUMINE C TOTAL COULOMETRE HUMINE N TOTAL (KJELD-TECHN) HUMINE C/N C DE HU/C TOTAL SIGMA AF/HU SIGMA AF/HOM	I 3-54 I	0.55]	-1.00 I	-1.00 I
E13ZZG	SIGMA AF / C TOTAL	I 0-16 I	0.18 1	-1.00 I	-1-00 I
E1322n	STGMA AF / STGMA AHT	1 -0-77 1 7 n 43 T	0.62 I	-1.00 I -1.00 I	-1.00 I
E14C5A	C DES AH PYRO	1 1.29 1	0.30 1	-1.00 I	-1.00 T
E14D18	C DES AH SOUDE	I 0.71 I	0.0 I	-1.00 I	
E14ZZE	SIGMA AH	I 00.5	0.8B I	-1.00 I	-1.00 I
E1422F	ACIDES HUMIQUES TOTAUX (AHT)	1 0.21 1 T 3.54 T	1.43 1	-1.00 I -1.00 I	-1.00 I -1.00 I
E14ZZH	SIGMA AHT / C TOTAL	I 0.37 I	0.47 I	-1.00 I	-1.00 I
E14ZZJ	SIGMA AH/AHT	I 0.56 I	0.61 1	-1.00 I	
E15858	HUMINE C TOTAL COULDMETRE	I 5.38 I	1.48 I	-1.00 I	
E15220	HUMINE C/N	1 0.34 1 1 16.00 T	0.12 I	-1.00 I -1.00 I	-1.00 I -1.00 I
E15ZZE	C DE HU/C TOTAL	I - 0.56 I	0.49 I	-1.00 I	-1.00 I
E15ZZF	SIGMA AF/HU	I ,0.29 I	0.37 I	-1.00 I	-1.00 I
E15226	SIUMA AH/HU	I 0.37 I	0.59 I	-1.00 I	-1-00 1
£15224	HU/MOH	1 0-60 T	0.51 I	-1.00 I -1.00 I	-1.00 T -1.00 I
E1522*	SIGMA AF/MOH	I 0.17 I	0.19 1	-1.00 I	-1-00 I
€15ZZL	SIGHA AH/MOH	I 0.22 I	0-30 I	-1-00 7	-1-00 I
E15ZZM	HOHE TOTAL	1 0-93 I	0-96 I	-1-00 I	-1-00 T
E15ZZN	SIGMA MOL+AF+AM+MU	1. 9.61 1	3.03 I		-1-00 T
FIGAIR	ANG & DES AN	1 0-/6 I	0.54 I 62.00 I		
E1544C	AHG LR/LV	1 0-73 I	0-76 I		
E14450	AHG ABSC PIC ABSORPTION	I 0.16 I	0-14 I	-1.00 I	
EIKAIE	AHI C-3 DU SQL	I n-14 I	0.09 1		-1-00 T
£16411	AHR C-3 DU SOI	1 11+00 I	10.00 I 0.25 I		
EIGALK	AHB & DES AH	1 30.00 1	28.00 T		
EIHA4L	AHB LR/LV	I 0.50 I	0.52 I	-1.00 I	-1-00 I
Eltala	AHG C-3 DU SOL	I 0.50 I	-1-00 T	-1.00 I	
£17418	AHG I PZI V	1 70-00 I	-1.00 T		
£17450	AHG ABSC PIC ABSORPTION	i 0.15 i	-1-00 T		
ELTATE	AHI C-3 DU SOL	1 0.05 I	-1-00 I	-1.00 I	-1.00 1
£17A1F	AHI & DES AH	I 8-00 I	-1-00 I	-1-00 T	-1.00 T
EITALS	AMS C-3 DU SUL	I 0.16 I	-1-00 T		
£17441N	MATIERES ORGANIQUES HUMIFIEES(HU/MOH SIGMA AF/MOH SIGMA AF/MOH SIGMA AH/MOH MOH/C TOTAL SIGMA MOL+AF+AH+HU AHG C-3 DU SOL AHG & DES AH AHG LR/LV AHG ABSC PIC ABSORPTION AHI C-3 DU SOL AHB & DES AH AHB C-3 DU SOL AHG & DES AH AHB LR/LV AHG ABSC PIC ABSORPTION AHI T-3 DU SOL AHG & DES AH AHB LR/LV AHG ABSC PIC ABSORPTION AHI T-3 DU SOL AHG & DES AH AHB LR/LV AHG ABSC PIC ABSORPTION AHI T-3 DU SOL AHI & DES AH AHB C-3 DU SOL	1 0-50 T	-1-00 I	-1.00 I -1.00 I	-1.00 T -1.00 T

ANALYSES DE LABORATDIRE DU PROFIL/NO1637/RYE171

HORIZON I I ? I 3 I 4 I									
	LIMITES	0- 50 1	20- 40 I		90-110 I				
	PROFONDEUR :	1	I	I	· I				
▲1381G	ARGILE LIMON FIN LIMON GROSSIER SABLE FIN SABLE GROSSIER % H20 A 105 DEGRES LF/A PH-RH H20 PH-RH KCL N MD TOTALF EN % C TOTAL COULOMETRE N TDTAL KJELD-TECHN C/N CA++ EN ME POUR 100 G DE SOL MG++ EN ME POUR 100 G DE SOL K+ EN ME POUR 100 G DE SOL K+ EN ME POUR 100 G DE SOL K+ EN ME POUR 100 G DE SOL SOMME DES BASES ECHANGEABLES T(CA) A PH7 V%	2.90 I	. 5.70 I	27.50 I	30.80 1				
A1381H	LIMON FIN	3.40 I	5.00 1	6.50 I	7-80 I				
A1381J	LIMON GROSSIER	7.10 1	8.50 I	6.10 I	8-40 I				
41381K	SARLE FIN	50.00 I	47.40 I	29.00 I	22.80 I				
41361L	SABLE GROSSIER	I 36.30 I	33.00 I	29.70 I	28.80 I				
A13PIM	% H20 A 105 DEGRES	0.10 1	0.20 1	0.90 I	1.20 I				
AlaBiP	Et /A	1.10 1	n.90 I	0.20 1	0.20 1				
A14A18	DH_DH KCI N	1 7.20 1	5.80 T	5.10 I 4.50 I	5.20 I				
BIZALA	MD TOTALE EN &	1 05.01	0.20 I		4.60 I				
B12659	C TOTAL COULOMETRE	1-43 1	1.24 1	2.03 I	1.50 1				
812C4C	N TOTAL KJELD-TECHN	0.14 1	0.13 1	0.27 I	0.21 I				
B12220	C/N	1 00-00 1	9.30 I	7.60 I	7.10 I				
BIBAZA	CA++ EN ME POUR 100 G DE SOL	I 0.30 I	· 0.90 I	0.75 I	D.90 I				
813A2R	MG++ EN ME POUR 100 G DE SOL	0 15 I	0.30 I	0.60 I	0.75 I				
813A2D	WAY EN ME POUR 100 G DE SOL	1 n.04 1	0.05 I	0.14 I	0.19 1				
813A2E 813A2G	SOMME DES RASES ECHANGEARIES	1 10-01 1	0.01 I 1.26 I	0.02 I 1.51 I	0.02 1				
B1484A	T(CA) A PH7	1 0-50 I	1.75 1		1.96 I 5.50 I				
B14ZZE	VR	33.00 I	72.00 I		34.00 1				
B15A2A	CA++ EN PE POUR 100 G DE SUL	3.20 1	3.56 1		4.27 I				
B15A2B		1.98 1		8.92 I	9-42 I				
B15420	K+ EN ME POUR 100 G DE SOL	0-63 I	1.06 I	5.09 1	6.36 I				
B1542E	NA+ EN ME POUR 100 G DE SOL	2.25 I	1.93 I	1.93 I	2.58 I				
B15A2G	MG++ EN ME POUR 100 G DE SOL K+ EN ME POUR 100 G DE SOL NA+ EN ME POUR 100 G DE SOL SOMME DES BASES TOTALES PZOS TOTAL NO3H 13 N PZOS ASSIMIL OLSEN FEZO3 TOTAL FEZO3 LIRRE DEB INSTAB STRUCT AGREGATS ALCOOL AGREGATS BENZENE PF4-2 PF2-5	R.06 I	8.53 I		22.63 I				
BISALA	PZOS TOTAL NO3H 13 N	I n-D I	T 0.0	0.0 1	0-0 I				
BIGAIM	EESOS TOTAL	0.0 1	0.0 I		, 0.0 I				
B17CIR	FE203 LIBBE DER	1 0-70 I	1.00 7	3.20 I 2.70 I	7.10 I 6.25 I				
HIBAIF	INSTAB STRUCT	0.70 1	-1.00 I		-1.00 I				
HIBAIH	AGREGATS ALCOOL	47.40 I	-1.00 7	-1.00 I	-1.00 1				
HIBAIJ	AGREGATS EAU	45.80 1	-1-00 T	-1.00 1	-1-00 I				
HIBAIK	AGREGATS BENZENE	46.50 1	-1-00 I	-1.00 I	-1.00 I				
H14A1B	PF4.2	1.50 1	2.50 1	11-10 I	13.00 I				
H14A1D	PF2.5	3.10 1	4.30 I	16.00 I	18.90 I				
E15850	C DE MOL	1 0.09 1	0.08 1	-1.00 I	-1.00 I				
E13814 E13C58	C DES AF LIBRES PU4RS 2M	1 0.00 1 7 7 7 7 7	0.05 I	-1.00 I -1.00 I	-1.00 I -1.00 I				
E13D1C	C DES AF SOUDE NACH OF IN	T 0.06 I	0.0 I		-1.00 I				
E13ZZE	PF4.2 PF2.5 C DE MOL C DES AF LIBRES PO4H3 2M C DES AF PYRO P207NA4 0.1M C DES AF SOUDE NAOH 0.1N SIGMA AFP+AFS SOMME DES AF SIGMA AF / C TOTAL SIGMA AF / SIGMA AH SIGMA AF / SIGMA AH C DES AH PYRO C DES AH SOUDE SIGMA AH	0.08 1	0.0 I	-1.00 I	-1.00 I				
E13ZZF	SOMME DES AF	0.16 1	0.05 I		-1.00 1				
E1322G	SIGMA AF / C TOTAL	I 0.11 I	D-04 I		-1.00 T				
E13ZZH	SIGMA AF / SIGMA AH	I 0.69 I	0.71 1	-1.00 I	-1.00 I				
E13ZZJ	SIGMA AF / SIGMA AHT	1 0.41 1	0.42 I	-1.00 I	-1.00 I				
E14C5A E14D1B	C DES AM PIRO	0-19 1	0.07 I 0.0 I	-1.00 I -1.00 I	-1-00 I				
E14ZZE	C DES AH SOUDE SIGMA AH SIGMA AH / C TOTAL ACIDES HUMIQUES TOTAUX (AHT) SIGMA AH / C TOTAL SIGMA AH/AHT HUMINE C TOTAL COULOMETRE HUMINE N TOTAL (K.FLD-TECHN)	1 0.04 1	0-07 I		-1.00 I -1.00 I				
E14ZZF	SIGMA AH / C TOTAL	0.16 I	0.06 I						
E14ZZG	ACIDES HUMIQUES TOTAUX (AHT)	0.39 1	0.12 I		-1.00 1				
E14ZZH	SIGMA AHT / C TOTAL SIGMA AH/AHT HUMINE C TOTAL COULOMETRE HUMINE N TOTAL (KJELD-TECHN) HUMINE C/N C DE HU/C TOTAL SIGMA AH/HU MATTERES DRGANIQUES HUMIFIEES(I 0.27 I	0.10 I	-1.00 I	-1.00 I				
E14ZZJ	SIGMA AH/AHT	I 0.59 I	0.58 I	-1.00 I	-1.00 I				
E15858	HUMINE C TOTAL COULDMETRE	1 0.95 1	1.00 I	-1.00 I	-1.00 I				
E15C4C	HUMINE N TOTAL (KJELD-TECHN)	0.05 I	0.07 1	-1.00 I	-1.00 I				
E15ZZD	HUMINE C/N	1 17.30 1	14.10 1	-1.00 I	-1.00 I				
E15ZZE E15ZZF	STOMA AFAMIL	1 0.00 I	0.81 I 0.05 I	-1.00 I -1.00 I	-1.00 I				
F15776	SIGMA AHVHU	0.24 1	0.07 1		-1.00 I				
E15ZZH	SIGMA AH/HU MATIERES ORGANIQUES HUMIFIEES(HU/MOH	1 1.34 I	1.12 1						
E15ZZJ	HUZMOH	1 0.71 1	D-92 I	-1.00 I	-1-00 T				
£15ZZK	SIGMA AF/MOH	1 0.12 1	0-04 I	-1-00 I	-1.00 T				
E15ZZL	SIGMA AH/MOH	I n.17 I	0.06 I	-1-00 I	-1-00 I				
€15ZZM	HOH/C TOTAL	I 0.94 I	0-90 I	-1-00 I	-1-00 I -1-00 I				
EISZZN	SIGMA NOL-AF-AH-HU	1 1.43 1	1-20 1	-1.00 I	-1.00 I				
FIGALE	ANG C-3 IN SOL	1 -1-00 1	-1.00 1	-1-00 I					
£14412	AND BUES AN	1 -1.00 I	-1.00 I -1.00 I		-1.00 I/ -1.00 I				
E1645D	AHG ARSC PIC ARSORPTION	T -1-00 T	-1.00 f						
Elhale	AHT C-3 DU SOL	1 -1-00 1	-1.00 1						
Elhalf	AHI % DES AH .	1 -1.00 I	-1.00 1		-1-00 T				
EIGAIJ	AHB C-3 DU SOL	1 -1.00 I	-1-00 T	-1-00 I	-1-00 I				
EIGAIK	AHB * DES AH	1 -1.00 1	-1.00 T		-1.00 T				
EIKA4L	AHB LR/LY	1 -1.00 I	-1-00 1	-1.00 I	-1.00 I				
E17A1A	ANG C-3 DU SOL	1 -1-00 I	-1.00 T	-1-00 I	-1-00 T				
E17418	AHG & DES AH	1 -1.00 I	-1-00 T	-1.00 T	-1-00 T				
£1784C	AND LEVILE ADENDETION	1 -1.00 l	-1-00 I -1-00 I		-1-00 I -1-00 I				
E1741E	AND ANDU FIL ANDUKFIIUM	1 -1-00 I	-1.00 I		-1.00 T				
E17AIE	AHI % DES AH	1 -1.00 1	-1.00 I						
E1741.1	AHR C-3 DU SOL	1 -1.00 I	-1-00 T						
EITAIK	AHB % DES AH	I -1.00 I	-1-00 T	-1.00 I	-1.00 I				
E17A4L	MATIERES ORGANIQUES HUMIFIEES(HU/MOH SIGMA AF/MOH SIGMA AF/MOH SIGMA AH/MOH MOH/C TOTAL SIGMA MOL+AF+AH+HU AHG C-3 DU SOL AHG % DES AH AHG LR/LV AHG ABSC PIC ABSORPTION AHI C-3 DU SOL AHI % DES AH AHB C-3 DU SOL AHB * DES AH AHB LR/LV AHG C-3 DU SOL AHG % DES AH AHG C-3 DU SOL AHI % DES AH AHG C-3 DU SOL AHG % DES AH AHG C-3 DU SOL AHI % DES AH AHG C-3 DU SOL AHI % DES AH AHB C-3 DU SOL	1 -1.00 1	-1.00 J						

4.14	LYSES DE LABORATOIRE DU PROFIL/N				•
	HORTZON	,,,,,,,,,,,,,,,,,,,,,,,,,,,,,,,,,,,,,,		, ·	, -
	LIMITES PROFONDEUR	1 0- 20 1	20 - 40 I I		120-140 I
△13B1 G	VARIABLES ARGILE		5 50 .		
41381H	I THON ETN	I 4.00 I I 4.20 I	5.50 I 4.10 I	40.80 I 4.70 I	
A1381J	LIMON GROSSIER	T 10-00 T	8.50 1	8.50 I	
A13B1K	SABLE FIN	7 47.50 I	44.20 I	24.50 I	
A1381L	SABLE FIN SABLE GROSSIER % H20 A 105 DEGRES LF/A PH-PH H20 PH-RH KCL N H0 TOTALE EN Y C TOTAL COULOMETRE N TOTAL KJELD-TECHN C/N	I 33.70 I	37.20 I	19.50 I	
A13P1M	4 H20 A 105 DEGRES	I 0.50 I	0.50 I	1.60 I	1.40 I
A1381P A1441A	TIVE	1 00 1	0.70 1	0.10 I	
A14A18	שלא אליו או הא-פון הצט	I 4.90 I I 4.10 I	6.00 1	5.40 I	5.20 I
ALASIB	MO TOTALE EN X	0.40 I	5.20 I 0.30 I	4.60 I 0.40 I	4.50 I
812858	C TOTAL COULOMETRE	7.45 I	1.67 1	2.32 I	0.20 I 1.01 I
B12C4C	N TOTAL KJELD-TECHN	I 0.23 I	0.18 1	0.29 I	0-17 I
	C/N	I 10.50 I	9.30 I	7.90 I	5.90 I
B13424		I n.90 I	1.20 1	1.95 I	1.05 I
813428		1 0.30 1	0.30 1	1.35 I	
813A20 813A2E		1 0.07 1	0.08 I	0.11 1	0.07 I
B13426		I 0.01 I	0.0) I	0.03 I	
B14B4A		1 2.50 I	1.59 I 2.00 I	3.44 I 6.00 I	
B14ZZB	V9.	51.00 1	79.00 I	57.00 I	
815A2A	CA++ EN ME POUR 100 G DE SOL	7 - 13 I	2.65 1	4.27 I	1.78 I
815428		I 1.98 I	2.48 I	10.41 I	5.95 1
B1542D		1 1.06 1	5.09 I	10.41 I	3.18 I
B15A2E	NA+ EN ME POUR 100 G DE SOL	1 . 2.25 1	1.29 I	1.61 1	1.61 I
815A2G 816A1A	SOMME DES BASES TOTALES P205 TOTAL NO3H 13 N P205 ASSIMIL OLSEN FE203 TOTAL FE203 LIBRE DEB INSTAB STRUCT AGREGATS ALCOOL AGREGATS EAU AGREGATS BENZENE PF4.2	I 7.42 I I 0.25 I	11-71 I	26.90 I	12.52 1
BIGATA	P205 ASSIMIL OLSEN	I 0-09 I	0.18 T	0.29 I 0.01 I	0.23 1
BITALA	FE203 TOTAL	1 00 I	1-00 I	3-30 I	0.00 I 4.40 I
B17C1B	FE203 LIBRE DEB	1 0.65 1	0.75 I	2.40 I	
HIBAIF,	INSTAB STRUCT	I 0-90 I	-1.00 I	-1.00 I	-1.00 I
H13A1H	AGREGATS ALCOOL	I 47.90 I	-1.00 I	-1.00 I	-1.00 I
HIBAIJ	AGREGATS EAU	I 46.20 I	-1+00 I	-1.00 I	-1.00 I
HIBAIK	ACKEGAIS BENZENE	1 44-80 I	-1.00 I	-1.00 T	-1-00 T
H14A18 H14A1D		I 1.90 I I 4.70 I	2.30 1	15.50 I	12.40 I
E1282C		I 0.19 I	4-90 I 0.04 T	23.80 I -1.00 I	20.30 I -1.00 T
E1381A		n.20 1	0.15 1	-1.00 I	-1.00 I
E13C58		0.11 1	0.06 1	-1.00 I	-1.00 I
E13D1C		I 0.20 I	0.11 I	-1.00 T	-1.00 I
El3ZZE	SIGMA AFP+AFS	0.31 1	0.17 I	-1.00 1	-1.00 I
E13ZZF		1 0.51 1	0.32 1	-1.00 I	-1.00 I
E13ZZG	SIGMA AF / C TOTAL	0.21 I	0.19 I	-1.00 I	-1.00 T
E13ZZH		1 0.82 1	1.14 1	-1.00 I	
E13ZZJ E14C5A	C DES AH PYRO	I 0.45 I I 0.47 I	0.53 1	-1.00 I	-1.00 1
FIADIR	C DES AH PYRO C DES AH SOUDE SIGMA AH SIGMA AH / C TOTAL ACIDES HUMIQUES TOTAUX (AHT) SIGMA AHT / C TOTAL SIGMA AH/AHT HUMINE C TOTAL COULOMETRE HUMINE N TOTAL (KJELD-TECHN) HUMINE C/N C DE HU/C TOTAL SIGMA AF/HU SIGMA AH/HU MATIERES ORGANIQUES HUMIFIFFS (1, 0.47 1 T 0.15 T	0.22 I	-1.00 I -1.00 I	-1.00 I -1.00 I
E14ZZE	SIGMA AH	0.62 1			
E14ZZF	SIGMA AH / C TOTAL	1 0.25 I	0.17 I	-1.00 I	
E14ZZG	ACIDES HUMIQUES TOTAUX (AHT)	I . 1.13 I	0.60 I	-1.00 I	-1.00 I
E14ZZH	SIGMA AHT / C TOTAL	I 0.46 I	0.36 I	-1.00 I	-1.00 I
E14ZZJ	SIGMA AH/AHT	I 0.55 I	0.47 1	-1.00 I	
E1565F	HUMINE N TOTAL COULDMEIRE	1 1.13 1		-1.00 I	
F1577D	HIMINE CAN	1 15.30 1	0.08 I 13.20 I	-1.00 I -1.00 I	
£152ZE	C DE HUZC TOTAL	1 0.46 I	0.62 I		
E15ZZF	SIGMA AF/HU	1 0.45 I	0.31 I	-1.00 I	
E152Z6	SIGMA AH/HU MATIERES ORGANIQUES HUMIFIEES(HU/MOH	I 0.55 I	0.27 I	-1.00 I	-1.00 I
E15ZZH	MATIERES ORGANIQUES HUMIFIEES (1 92-50 I	1.63]	-1.00 I	-1.00 I
E15ZZJ	HU/MOH	1 0.50 1	0.63 I	-1.00 I	-1.00 I
E15ZZK	SIGMA ALMON	1 0.22 1	0.20 1	-1.00 I	-1.00 1
E15ZZL	SIGMA AH/MUH	1 12.0	0.17 1	-1-00 I	-1.00 I
E1522M E1522N	STONE MOLERFARMANI	1 245 1	1 47 1	-1.00 I -1.00 I	-1.00 I -1.00 I
EIGEIN	AHG C-3 DU SOI	7 0.31 1	-1-00 1	-1.00 I	
E16A1H	AHG % DES AH	I 66-00 I	-1.00 T	-1.00 I	,
E16A4C	AHG LR/LV	I 0.64 I	-1.00 I	-1.00 I	•
E14A5D	AHG ABSC PIC ABSORPTION	0.18 1	-1.00 I	-1.00 I	
EIGAIE	AHI C-3 DU SOL	7 0.05 I	-1-00 I	-1.00 I	-1-00 T
EISAIF	AHT & DES AH	I 10.00 I	-1.00 1	-1-00 I	
EIGALU	AMB & DEC AM	1 0.11 I	-1-00 I	-1-00 I	
EIMAIK	AND IDEAN	1 64.110 I	-1.00 1	-1.00 I	
E1444L E17414	AHG C=3 DU SOI	1 -1.00 T	-1-00 I	-1.00 I -1.00 I	
EI7AIR	AMG & DES AH	1 -1.00 1	-1.00 T	-1.00 T	-1.00 I
£1744C	AHG LR/LV	I -1.00 I	-1.00 I	-1.00 I	
E17A5D	AHG ARSC PIC ABSORPTION	I -1.00 I	-1.00 J	-1.00 I	
EITALE	AHI C-3 DU SOL	I -1.00 I	-1.00 I	-1.00 I	-1-00 1
£17A1F	AHI % DES AH	I -1.00 I	-1.00 1	-1.00 I	
EITALJ	SIGMA AH/HU MATIERES ORGANIQUES HUMIFIEES(HU/MOH SIGMA AF/MOH SIGMA AH/MOH MOM/C TOTAL SIGMA MOL+AF+AH+HU AHG C-3 DU SOL AHG % DES AH AHG LR/LV AHG ABSC PIC ABSORPTION AHI C-3 DU SOL AHT % DES AH AHR C-3 DU SOL AHR % OFS AH AHR LR/LV AHG G-3 DU SOL AHR % DES AH AHR LR/LV AHG C-3 DU SOL AHR % DES AH AHR C-3 DU SOL AHR % DES AH	i -1.00 I	-1.00 I	-1.00 I	-1.00 I
E17A1K E17A4L	SHR I RAIV	1 -1.00 1	-1-00 I	-1.00 I -1.00 I	
			7.00 1	4.00 1	

ENALYSES DE LARORATOIME DU PROFIL/NO1639/PNS291

1771	LYSES DE LARORATOINE DU PROFIL/NO	01439/24529	71	-	
	4001700	, , , , , ,			
	HORIZON :		I 20-40 I	3 1	4 1
	PROFONDEUR	-	1 20- 40 I	70- 20 I	100-150 1
	VAPIARLES	•		1	1
41381G		5.00	15.80 1	30.20 1	18.80 1
413K1H		4.90		6-30 I	9.40]
41361J	LIMON GROSSIER	8.50		2.10 1	10-30 T
41381K	SABLE FIN	51.20		39.20 I	37-60 I
A1361L		1 29.80]	76.80 T	20.90 1	27-60 1
		1 0.50 1		1.00 I	0.90 T
11381P		ו ססיו			0.50 I
AIAAIA		5-70		5.70 I	
Alaale		1 4.80			
4[45[3		0.40			
61785R 612C4C		1 2.62 1 1 2.62 1			
812ZZD		1 12.50			
£13424		1 1-05		2.10 1	_7.00 I 1.80 I
FIBAZE		1 0.45	0.60 1		
B13420	K+ EN ME POUR 100 G DE SOL	1 0.08		0.07 I	
E13AZE	NA EN ME POUR 100 G DE SOL	1 0-01	0.02 I		0.02 I
E13#26	SOMME DES BASES ECHANGEABLES				
814644		2.75		4.75 I	4.00 I
814ZZB		I 58.00			66.00 I
E15424		2.74		3-20 1	7.85]
415424		1 1-98		•	
61542D		1-06 1	1.91 1	7.64 I	4.67 I
B1542E	SOMME DES BASES TOTALES	7-117	2.90 1	1.93 1	
516414	SOMME DES BASES TOTALES P205 TOTAL NO3H 13 N				
B)641B	PZOS ASSIMIL OLSEN		0.021	0.30 I	0-23 I
217412	FE203 TOTAL			3.70 I	
517C18	FE203 LTRRE DEB		1.60 1		2.30 1
H1341F	INSTAR STRUCT	1 . 1-20 1		-1.00 1	
	AGREGATS ELCODL AGREGATS EAU AGREGATS BENZENE		-1.00 I	-1.00 7	
	AGREGATS EAU	40.20		-1-90 I	-1-00 7
HJBAIK	AGREGATS BENZENE	39.00		-1.00 I	-1-00 I
H]44]2	PF4.2	5-30		11-50 1	9-40 I
#1411D		5.20		17-60 I	
E1282C	C DE MOL	0.11		-1.00 1	
E1351#		0.72			
E1305B	C DES AF SOUDE NACH 0.1N	1 0.23		-1.00 1	
E13ZZE	SIGMA AFP+AFS	n.21 i	1 0.42 T	-1.00 I	
E13ZZF		0.66		-1.00 7	
E13ZZG	SIGHA AF / C TOTAL		0.38 1	-1-00 I	-1.00 I
E13ZZH		1 0.97	3.09 I	-1.00 I	
E13ZZJ	SIGMA AF / SIGMA AHT	1 0.49			
E14C5A	C DES AH PYRO	I 0.44	D.22 I	-1.D0 I	-1.00 I
E14018	C DES AH SOUDE	I 0.24	0.11 1	-1.00 I	-1.00 I
E14ZZE	SIGMA AH	0.68	0.33 1	-1.00 I	-1.00 I
£14ZZF	SIGMA AH / C TOTAL	1 0.26	0.12 !	-1.00 I	-3.00 1
£14226	ELIDES HUMIOUES IDIADA (AHI)	1 1.34	1.35 1	-1.00 1	-1.00 I
E14220	SIGHA AH/AHT	1 0.51	1 0.50 1	-1.00 1	-1.00 1
E 15223	HIMINE C TOTAL COULDMETER	ו ב-ט י לו ו	1 0.24 1	-1.00.1	-1.00 1
FISCAR	HUMINE N TOTAL (KIELD-TECHN)	1 - 0-08 1	1 0.14 7	-1.00 1	-1.00 1
F1577D	HUMINE CAN	1 14.60	1 8.80 T	-1.00 I	-1.00 I
E)5ZZE	C DE HU/C TOTAL	0.45	I . 0.47 I	-1.00 I	-1.00 T
: E1522F	SIGMA AF/HU	1, 0.56	0.80 1	-1.00 1	-1.00 I
E1522G	SIGHA AH/HU	1 0.58	1 . 0.26 1	-1.00 I	-1.00 I
E 1522H	MATIEPES ORGANIQUES HUMIFIEES	1 2.51	2.62 1	-1.00 I	-1.00 I
E15ZZJ	HUZPOH	1 0.47	1 0.48 1	-1.00 T	-1-00 I
E15ZZK	SIGHA AFMON	1 0.26	1 (0.39]	-1-00 I	-1-00 7
£1522L	SIGHE EH/MOH	1 1-27	1 - 0-12 1	-1.00 1	-1-00 1
£1544	FIGURE WOLLDEN AND AND AND AND AND AND AND AND AND AN	1 7.76	1 0.48 1	-1.00 1	-1-00 1
E1542N	THE C-3 DI CON	1 6-02	1 2-0/1	-1-00 1	-1-00 1
£16£18	AHG & DES AH	T 56-00	1 -1-00 I	-1.00 1	/ -1-00 1
E16440	AHG 1 RZL V	1 0.63	7 -1-00 7	3-00 I	-1-00 1
EISASD	AHG ARSC PIC ABSORPTION	I 0.25	-1.00 T	-1-00 I	-1-00 I
EIGALE	AHT C-3 RU SOL	7 0.06	-1-00 T	-1-00 1	-1.00 T
EISAIF	AHI % DES AH	1 14-00	1 -1-00 1	-1-00 I	-1-DD I
EIAAIJ	≰HB C-3 DU SOL	1 0-13	1 -1-00 7	-1.00 I	-1-00 1
EIMEIK	RHE & DES TH	30-00	1 -1.00 1	-1.00 T	-7-00 T
EIGALL	AMR LR/LV	1 0.51	1 -1.00 1	-1-00 I	-1-00 I
£17412	AHG E-3 DU SOL	1 -1-00	-1-00 1	-1-00 1	-1-00 7
£174]@	ANG TOES AN	2 -1-TID .	-1.00 1	-1.00 I	-1-00 I
£1744C	AND LK/LV	, -1-00 ;	1 -1-00 }	-1-00 1	-1.00 1
£17450	AND ADDL FIL HODUMFILM	י תחינה די	1.00 1 1 -1.00 1	-1 00 I	-1-00 1
. E1741E	AHT & DES AH	1 -1-00 T	1 -1-00 1	-1-00 I	-1.00 1
E1171	AHB C-3 DU SOI	1 -1-00	1 00.1- I	-1-00 1	-1.00 I
E1741%	AHS & DES AH	1 -1-00	1 -1-00 1	-1.00 1	-1.00 7
E1744	C DES AH PYRO C DES AH SOUDE SIGMA AH SIGMA AH / C TOTAL ACIDES HUMIOUES TOTAUX (AHT) SIGMA AH / C TOTAL SIGMA AH/AHT HUMINE C TOTAL COULOMETRE HUMINE N TDTAL (KJELD-TECHN) HUMINE C/N C DE HU/C TOTAL SIGMA AH/HU SIGMA AH/HU SIGMA AH/HU SIGMA AH/HU SIGMA AH/HOH SIGMA AH/HOH SIGMA AH/HOH SIGMA AH/HOH SIGMA AH/HOH AMTIEPES ORGANIQUES HUMIFIEES(HU/POH SIGMA AH/HOH SIGMA AH/HOH AHG C-3 DU SOL AHG & DES AH AHG LR/LV AHG ARSC PIC ABSORPTION AHI C-3 DU SOL AHI & DES AH AHG LR/LV AHG C-3 DU SOL AHI C-3 DU SOL AHI & DES AH AHG C-3 DU SOL AHI & DES AH AHG C-3 DU SOL AHI & DES AH AHG C-3 DU SOL AHI & DES AH AHB C-3 DU SOL	1 -1-00	1 -1-00 1	-1.00 T	-1-00 T
_					

ANALYSES DE LABORATOIRE DU PROFIL/NO1640/CJB 10

HORIZON I 0- 20 1 20- 40 1 40- 60 1 60- R0 1 LIMITES 1 PROFONDEUR I VARIABLES 9.40 I 4.00 I 24.00 I 6.20 I A13816 ARGILE 37.20 I 16.70 I 31.00 I LIMON FIN A1381H 17.00 LIMON GROSSIER A13B1J 14.20 I 13-40 I 13.10 I 14.90 SABLE FIN A1381K 51.10 I 24-60 35.80] Z2.10 I SABLE GROSSIER % H20 # 105 DEGRES ▲13B1L 20.00 I 19.00 I 8.90 I 10.70 A13P1M 1-10 T 0.50 I 1.60 I LF/A A1381P n.40 I 0.30 1 0.40 I 6.00 I PH-RH H20 7.10 I 6.10 I A14A1A 5.20 I · PH-RH KCL N NO TOTALE EN % A14A18 5.10 I 4.20 I 4.80 0.80 I 414518 0.50 I 0.40 I 0.30 812858 C TOTAL COULDMETRE 3.23 1 4.48 I 2.31 I 0.29 I 11-10 I 1-05 I N TOTAL KJELD-TECHN 0.35 I B12C4C 1 95.0 0.22 C/N 12-80 I **B17ZZ0** 8.80 I 8.70 CA++ EN ME POUR 100 G DE SOL MG++ EN ME POUR 100 G DE SOL 1.50 I 1.80 I B13A2A 2.25 BIBAZE 0.75 0.75 I 0.99 I 1.65 I K. EN ME POUR 100 G DE SOL NA. EN ME POUR 100 G DE SOL SOMME DES BASES ECHANGEABLES 81342D 0.82 I 0.14 I 0.01 I 813A2E 0.02 I 0.03 I 0.04 BIBAZG 3.09 I 2.80 I 3.62 I 3.93 2.80 1 3.62 1 5.50 I 7.00 I 51.00 I 52.00 I 3.56 I 3.56 I 5.95 I 9.42 I 2.33 I 2.33 I 1.29 I 1.61 I 7.00 I 52.00 I 814844 TICAL A PHT 4.50 I 7.00 **B14ZZ6** V۶ 69.00 I 56.00 CA++ EN ME POUR 100 G DE SOL MG++ EN ME POUR 100 G DE SOL 3.20 I 3.47 I 815A2A 4.63 B1542B P.92 K+ EN ME POUR 100 G DE SOL
NA+ EN ME POUR 100 G DE SOL
SOMME DES BASES TOTALES
P205 TOTAL NO3H 13 N
P205 ASSIMIL OLSEN I 1.6. I 0.96 I B15A2D 2.12 1 B15425 1.29 I 6.90 I I 0-24 I 16.92 1 815A26 13.13 I B16414 D.25 I 0.27 I 0.00 I 0.05 1 **816418** 0-00 T 0.02 FE203 TOTAL FE203 LIRRE DEB B17414 4.40 1 7.50 T 9.90 I B17C1B 6.50 I 3.15 I 5.60 I INSTAB STRUCT H13A1F 1.10 I -1.00 I -1.00 I -1.00 AGREGATS ALCOOL I 34.20 I HIBAIH -1.00 I -1.00 I -1.00 -1.00 I -1.00 I -1.00 I -1.00 J AGREGATS EAU LIAEIH 31.70 I -1.00 AGREGATS BENZENE 28.40 I -1.00 PF4.2 5.10 I 11.00 T 11.00 I 17.00 T 17.00 I H14418 16.40 H1441D PF2.5 9.40 I 25.10 E12820 C DE MOL 0.13 I 0.03 I -1.00 I -1.00 C DE MOL
C DES AF LIBRES PO4H3 2M
C DES AF PYRO P207NA4 0.1M
C DES AF SOUDE NAOH 0.1N E13B14 0.59 I 0.30 1 -1.00 I -1.00 1 0.32 I 1 0.37 I 1 0.69 I 0.33 7 -1.00 I E13C58 -1.00 0.27 I 0.60 I -1.00 I -1.00 I E13D1C -1.00 0.69 I SIGMA AFP+AFS E13ZZE -1.00 0.98 I SOMME DES AF
SIGMA AF / C TOTAL
SIGMA AF / SIGMA AH
SIGMA AF / SIGMA AH 0.90 1 -1.00 1 £13ZZF -1.00 0.22 I E13ZZG D.28 I -1.00 I -1.00 1.92 I E13ZZH -1.00 I 6.43 I -1.00 I E13ZZJ 0.66 I 0.86 I -1.00 I -1.00 I 0.09 T 0.05 I C DES AH PYRO C DES AH SJUDE 0.33 I 0.18 I -1.00 I E14C54 -1.00 I -1.00 I E14D1B -1.00 SIGMA AH E14ZZE n.51 I 0.14 T -1.00 I -1.00 I E14ZZE SIGMA AH

E14ZZF SIGMA AH / C TOTAL I

E14ZZG ACIDES HUMIQUES TOTAUX (AHT) I -1.00 I 0.11 I 0.04 I -1.00 1.49 I 1.04 I -1.00 I SIGMA AHT / C TOTAL 0.33 I 0.32 1 E14ZZH -1.00 I -1.00 I SIGMA AH/AHT -1.00 I E14ZZJ 0.34 I 0.13 1 -1.00 HUMINE C TOTAL COULOMETRE
HUMINE N TOTAL (KJELD-TECHN) 7.82 I 0.19 I E15858 -1.00 I 2.16 I -1.00 0.13 1. -1.00 I E15C4C -1.00 15.20 I 0.63 I 16.70 I 0.67 I HUMINE C/N -1.00 I E15ZZD -1.00 C DE HU/C TOTAL E15ZZE -1.00 I -1.00 SIGMA AF/HU n.35 I 0.42 I 0.06 I E15ZZF -1.00 I -1.00 J SIGMA AH/HU £15ZZG 0.18 I -1.00 I -1.00 MATIERES ORGANIQUES HUMIFIEES(I 4.31 I 3.20 1 -1.00 I -1.00 E15ZZH 0.65 I E15ZZJ HU/MOH 0.67 1 -1.00 I -1.00 0.28 1 E15ZZK SIGHA AF/MOH 0.23 I -1.00 I -1-00 I 0.12 I 0-04 7 -1-00 I SIGMA AH/MOH -1.00 £15771 MOH/C TOTAL 0.99 I -1-00 I E15ZZM -1_00 SIGMA MOL+AF+AH+HU E15ZZN 4.44 I 3-23 I -1-00 I -1-00 I AHG C-3 DU SOL 0-20 I -1.00 I -1.00 I -1.00 £16A1A 5 50.00 I AHG % DES AH -1-00 I -1-00 I -1.00 I FIGAIB 0.74 I 0.16 I AHG LR/LV £1644C -1.00 T -1-00 I -1-00 E15450 AHG ABSC PIC ABSORPTION -1.00 I -1-00 I -1.00 AHI C-3 DU SOL . 0.03 I -1-00 I -1-00 I -1-00 FIGALE 10.00 I -1-00 I AHI & DES AH -1-00 I -1.00 FIGALF AHB C-3 DU SOL -1.00 T 0.10 I -1.00 I -1.00 F1621J AHR & DES AH 30.00 I -1.00 I -1-00 -1-00 E15A1K AHB LR/LV n.51 I -1.00 T £16A4L -1-00 I -1.00 T E1741A AMG C-3 DU SOL -1.00 I -1.00 T -1.00 1 -1.00 AHG & DES AH -1.00 I -1.00 I -1.00 I -1.00 I AHG LR/LV -1.00 I -1.00 T -1.00 I -1.00 AHG ARSC PIC ABSORPTION -1.00 T £17450 -1.00 I -1.00 I -1.00 AHI C-3 DU SOL -1.00 I -1.00 1 -1-00 I E17A1E -1.00 I AHI & DES AH -1.00 I -1-00 I -1.00 ₹1741F E17A1J AMB C-3 DU SOL -1-00 I -1.00 T -1.00 I -1.00 AHB & DES AH -1.00 I -1.00 I -1.00 -1.00 I E17A1K AHB LR/LV -1.00 I -1-00 T -1.00 I -1-00 1 E17A4L

ANALYSES DE LABORATOIRE DU PROFIL/NO1641/CJF111

•	HORIZON		1 2 1							
	LIMITES		I 2 1 I 40-60 1							
	PROFONDEUR				100-120 1					
			I 7	3	1					
A13816	APGILE LIMON FIN LIMON GROSSIER SABLE FIN SABLE GROSSIER \$ H20 A 105 DEGRES			.						
41381H	I TAME TIN	7_10								
413010	TIMON COOCCIEN	5.90			13.80 I					
41381J	EADLE EAR	12-70			14.00 1					
11381K	SABLE 110	57.60	I 27.60 I							
A13B1L	SAULE GRIDSIER	15.00	7.70 1		11.90 I					
413P1M	SABLE FIN SABLE GROSSIER \$ H20 A 105 DEGRES LF/A PH-RH M20 PH-RH KCL N MO TOTALE EN % C TOTAL COULOMETRE N TOTAL KJELD-TECHN	n.20	1 1-6n 1							
A1381P	L+/A	[n.80]	1 0.20 1		1 0.40 I					
ALADA	PH-RH H20	4-80	I 5.70 J							
1141F	PH-PH KCL N	4-00	I . 5.20 I		5.60 I					
812414	MO TOTALE EN E	0.50	1 0.60 1	0.40	0-20 7					
612858	C TOTAL COULOMETRE	7.76	I 3_33 I	2.14 1	1.37,1					
815C4C	N TOTAL KJELD-TECHN	n. 24 J	1 . 0.39 1	0-28 1	n.19 T					
			I 8.40 I	7.60 1						
813A24	CA-+ EN ME POUR 100 G DE SOL .	205	1 8.40 1	3.00 1	3.00 T					
RISAZR	MG++ EN ME POUR 100 G DE SOL K+ EN ME POUR 100 G DE SOL	n.45	1 1.11 1	1.05						
813 4 2D	K+ EN ME POUR 100 G DE SOL	I . n.06 :	I 0.07 I	0.07						
B1342E	NA+ EN HE POUR 100 G DE SOL	0.01	I 0.04 I	0.03 1	0.03 1					
83342G	NA+ EN ME POUR 100 G DE SOL SOMME DES BASES ECHANGEABLES T(CA) A PHT	1.57	1 4.16 7	4.15 1						
814841	T(CA) & PH7	7.75	7.50 T	7.25 1	6.50 T					
BJ4ZZR	**	57.00	1 55-00 I							
#242[<i>\text{g}</i>	HG++ EN ME POUR 100 G DE SOL	3.20	3.56 7							
£15A29	HIG++ EN ME POUR 100 G DE SOL	7.97								
. 815420	K+ EN ME POUR 100 & DE SOL	7-43	3-60 I		7.64 I					
B1542E	NA+ EN ME POUR 100 & THE SOL	2.58	1 1.93 1							
B15426	K+ EN ME POUR 100 & DE SOL NA+ EN ME POUR 100 & DE SOL NA+ EN ME POUR 100 & THE SOL SOMME DES BASES TOTALES PROS TOTAL NORM 13 N	15.18	1 16-53 1							
B)641*	P205 TOTAL NO3H 13 N	0.34	0.35 1							
B)647B	P205 TOTAL NO3M 13 N P205 ASSIMIL DLSEN FE203 TOTAL FE203 LIRRE DEB INSTAB STRUCT AGREGATS ALCOOL AGREGATS FAU AGREGATS BENZENE PF4_2 PF2_5	0.01								
E17414	FE203 TOTAL	7.50								
817618	FE203 LIBRE DEB	1.55			6.00 I					
HIBAIE	INSTAR STRUCT	2.60								
#1321#	AGREGATS ALCODI	23.50								
H1341.1	AGREGATS FAN	22.80								
#1351K	AGREGATS RENTENE	20.70								
#1441R	PF4_7	3.60								
HIAAID	PF2-5	7.90								
E1782C	PF2-5 C DE +OL	0.05	0.07 1							
E13514	C DEC AF 17BBEC DOAHS >=	י מכים	I 0.42 T							
£1305E	T DES AF DYPO PROTNAG D 3M	0.30	1 0.46 1							
EISDIC	C DES AF FORD FZOTARA USIA	1 0.20	1 0-23 T							
E13ZZE	STOMA AFPLAFS	1 0.20	0.33]		• • • •					
E13ZZF	SOME DEC AF	0.41	0.56 1							
£13ZZ6	SIGHA AF & C TOTAL	1 0.71	1 0.98 1							
E13ZZH	C DE #DL C DES AF LIBRES PO4H3 2M C DES AF PYRO P207NA4 D.1M C DES AF SOUDE NAOH D.1N SIGMA AFP+AFS SOMME DES AF SIGMA AF / C TOTAL SIGMA AF / SIGMA AH SIGMA AF / SIGMA AH C DES AH PYRO C DES AH SOUDE SIGMA AH	1 0-20	1 0-29 1		•					
E13ZZJ	STOUGHT AT / STOWN AUT	1.37	16-33 1							
	C DEC AN DADU	0.58	1 . 0.94]	-1.00 1	-1.00 I					
£14C5A	C DES AN PIRO	0.38	0.04]	-1.00 1	-1.00 I					
E14D1B	C DES AN SOUR	0.13	1 . 0.02 I	-1.00 1	-1.00 1					
£1424£	SIGMA AN	0.51	1 .0.06 I	-1.00 1	-1.00 7					
E1422F	SIGHA AM / C IDIAL	0.18	1 0.05 1	-1.00 1	-1.00 7					
E14226	ACIDES HUMIQUES TOTAUX TAHT)	1.22	1 1.04 1	-1.00 I	-1.00 I					
E14ZZH	SIGMA AHI / C TOTAL	1 0.44	1 0.31 1	-1.00 I	'-1.00 I					
E14ZZJ	SIGMA AH/AHT	0.42	I 0.06 I	-1.00 I	-1.00 I					
E1585B	HUMINE C TOTAL COULDMETRE	1 1.47	I 2*55 I	-1.00 1	-1.00 I					
E15040	HUMINE N TOTAL (KJELD-TECHN)	1 0.14	1 0.24 7	-1.DO I	-1.00 I					
E15ZZD	HUMINE C/N	10.70	I 9.40 I	-1.00 1	-1.00 I					
E15ZZE	C DE HUZC TOTAL	1 0.53	0.67]	-1.00 1	-1.00 T					
E15ZZF	SIGMA AF/HU	I 0.48	I - D.44 I	-1-00 1	-1.00 I					
E15226	SIGMA AH/HU	1 0.35	0.03 I	-1.00 1	-1.00 I					
E15ZZH	MATIERES ORGANIQUES HUMIFITES!	7.69	3.26]	-1-00 7	-1.00 I					
E15ZZJ	HUNKOH	0.55	I . 0.68 I	-1.00 I	-1.00 I					
E15ZZK	SIGMA AFJMOH : :	0-56	I 0.30 I	-1-00 7	-1-D0 I					
EISZZL	SIGHA AH/HDH 5	1 0-19	I 50-02 I	-1.00 1	-1-00 I					
E15ZZM	MDH/C TOTAL :	I 0-97	1 0-98 I	-1.00 2	-1+00 T					
E15ZZN	SIGHA HOL+AF+AH+HU	7.74	I 3.33 T	-1-00 1	1 -1-00 1					
E36A]A	AHG C-3 DU SOL	ES-0 I	T 00-1-	-1-00 2	-1-00 1					
E16#78	AHG % DES AH	፤ ፋበ•ባው .	I -1-00 I	-1-00 1	-1.00 I					
E1644C	AHG LR/LV	0-64	I -1-00 I	-1.00 3	T 00-1-					
E1645D	AHG ARSC PIC ABSORPTION	1 0-27	I -1-00 T	-1-00 1	-1-00 T					
ELGATE	AHI C-3 DU SOL	1 0-05	I -1.00 T	-1.00 7	-1-00 T					
E16A1F	AHI S DES AH	1 . 13-00	1 -1.00 7	-1-00	1 -1-00 T					
EIRALJ	AHB C-3 OU SOL .	0.10	1 -1-00 T	-1-00	7-00 1					
EISAIK	AHB % DES AH	27-00	I -1.00 I	-1.00	-1-00 T					
E16241	AHB LR/LV	0.90	I -1-00 T	-1-00 7	-1-DD 1					
£17414	AHG C-3 DU SOL	-1-00	1 -1-00 7	-1-00	ד תם בר					
FITAIR	AHE & DES AH	1 -1-00	I -1_nn T	-1-00	-1.00 1					
FITALE	AMG LRALY	1 -1-00	I -1-00 T	-1-00 1	-7-00 T					
E17450	AHG MASC PIC ABSORPTION	7 -1-00	1 -7-00 7	-1-00	-1.00 1					
E1761E	AHT F-3 DH SOI	1 -1-00		-1.00 1	-1.00 I					
E1741E	ANT & TOPE AN	תת בי	1 -1 00 1	-1-50	-1-00 I					
E14411	AMR T-3 TH CO	-1.00	-1.00 1	-1.00 1	-1-00 1					
£1741#	C DES AH PYRD C DES AH SOUDE SIGMA AH SIGMA AH / C TOTAL ACIDES HUMIQUES TOTAUX (AHT) SIGMA AH / C TDTAL SIGMA AH/AHT HUMINE C TOTAL COULOMETRE HUMINE N TOTAL (KJELD-TECHN) HUMINE C/N C DE HU/C TOTAL SIGMA AF/HU SIGMA AF/HU MATIERES ORGANIDUES HUMIFITES(HU/MOH SIGMA AH/HOH SIGMA AH/HOH SIGMA AH/HOH SIGMA AH/HOH SIGMA AH/HOH AHG C-3 DU SOL AHG % DES AH AHG LR/LV AHG C-3 DU SOL AHI % DES AH AHB C-3 OU SOL AHB & DES AH AHB C-3 DU SOL AHG % DES AH AHB C-3 DU SOL	-1.00	1 -1-00 1	-1.00 3	-1-00 1					
CT 1974	א השע מי שחה השע מי שחה אות מי אות אות מי אות אות מי א	1 -1.00	1-00 l	-1.00	-1-10 1					
£1.44F		-1.00	-1.00	-1-00	-1+00 1					

HORIZON I LIMITES I PROFONDEUR I VARIABLES 5.50 I 2.90 I 5-20 T 4-80 I 18.70 1 9.80 I APGILE 41381G 24.00 1 LIMON FIN 413B1H 10-80 I 7.90 I LIMON GROSSIER SABLE FIN SABLE GROSSIER 8.00 I 11-70 I 12.70 1 41381J 26.50 A1381K 46.00 I 38-80 T 28.50 I 37-00 I 39.60 I 30-10 I 25-10 1 A1 3P14 A1381P 51461E 5-00 I 21451R 4.30 BIZALA 0.20 81285R 0.99 0.20 812040 0.80 I
0.45 I
0.45 I
0.45 I
1.05 I
0.04 I
0.08 I
0.19 I
0.01 I
0.01 I
0.02 I
1.29 I
1.27 I
1.27 I
1.28 I
1.28 I
1.42 I
1.78 I
2.85 I
2.48 I
3.96 I
2.42 I
1.06 I
2.54 I
7.21 I
1.29 I
1. 812770 4.90 613FZA 0.45 R13428 **B1342D** 0-01 R1347F 813**12**G . 1.11 5.00 B14844 B14ZZE CA+ EN = POUR 100 G DE SOL

HG+ EN ME POUR 100 G DE SOL

K- EN ME POUR 100 G DE SOL

NA+ EN ME POUR 100 G DE SOL

SOMME DES BASES TOTALES

P205 TOTAL NO3H 13 N

P2DS ASST*IL OLSEN

FE203 TOTAL

FE203 LIRRE DEB 22.00 0.71 AS4218 B15A26 8-43 915420 7-64 RISARE 1-93 7 16-51 1 B16111 10-01 21632B FE203 TOTAL FE203 LIBRE DEB 817414 3.80 #17C1B INSTAR STRUCT -1-00 HIBAIF INSTAR STRUCT ... HIBAIH AGREGATS ALCOOL -1-00 HIBAL AGREGATS BENZENE -3.00 I -1.00 H14A18 -7F4-2 12.50 I C DE MOL 2 0.34 J
C DES AF LIBRES PD4H3 2M I 0.12 I
C DES AF PYRO P207NA4 0.1M I 0.13 I
C DES AF SOUDE NADM 0.1N I 0.14 I
SIGMA AFP+AFS I 0.27 I
SOMME DES AF I 0.39 I
SIGMA AF / C TDTAL I 0.15 I
SIGMA AF / SIGMA AM I 7.06 I
SIGMA AF / SIGMA AMT I 0.52 I
C DES AM PYRO I 0.25 I
C DES AM SOUDE I 0.11 I
SIGMA AM PF2-5 18-90 1 +144 ID -1-00 1 E17BZC 0.19 1 -1-00 E13B1A -1.00 I 0.18 I -1.00 7 -1-D0 I 0.15. 0.27 I -1.00 I 0.45 I -1.00 I -64 I -1.00 I E)3C58 -1.00 I -1.00 I EIBDIC -1-00 E13ZZE 0.64] -1.00 E13ZZF -1.00 I 0.24] -1.00 E13ZZG 4.92 I E13ZZH -1.00 I -1-00 0.83 I -1.00 I -1.00 E13ZZJ 0.11 7 -1.00 -1.TO I F14C54 -1.00 I -1.00 F1401B SIGMA AH / C TOTAL 0.13 1 -1.00 I F14ZZE 0.05 1 -1.00 I SIGHA AH / C TOTAL I 0.13 1 ACIDES HUMIDUES TOTAUX (AHT) I 0.75 1 E14ZZF -1.00 I : -1.00 E14ZZG SIGHA AHT / C TOTAL

AND SIGHA ANAHA 0.29 J 0.17 I -1.00 I 0.28 1 -1.00 E14ZZH -1.00 7 -1.00 1.73 I 0.12 I -1.00 I -1.00 I -1.00 E15B5B -7.00 E15C4C HUMINE C/N
C DE HU/C TOTAL
SIGMA AF/HU -1.00 I -1.00 I 14.50 I 0.65 I -1.00 E15ZZD E15ZZE -1.00 0.59 1 0.65 1 -1.00 I 0.25 1 0.37 1 -1.00 I 0.23 1 0.07 1 -1.00 I 2.33 1 2.50 I -1.00 I -1.00 F15ZZF -1.00 I -1.00 I -1.00 I -1.00 I SIGMA AH/HU -1.00 F15726 -1.00 I F1522H 0.69 I -1-00 E15ZZJ 0-17 1 0-26 1 0-15 1 0-05 1 0-87 1 0-95 1 T 00-1-. £15ZZK 0.26 1 -1.00 I 0.05 1 -1.00 I 0.95 I -1.00 I 2.64 I -1.00 I -1.00 I -1.00 I -1.00 I -1.00 I -1-00 T 18 ETSZEL I 00-1-₹3572¥ -1-00 I £1577N AHG C-3 TH SOL -1-00 Elfala ANG % DES AN £16418 62-00 I -1-00 -1-00 I -1-00 I -1-00 I #HG LR/LV I D-73 I

#HG #BSC PIC #BSDRPTION I D-17 I

#HI C-3 DU SOL I D-02 I

#HI C-3 DU SOL I 11-00 I n-73 1 -1.00 I n-17 I -1-00 I -1-00 EIKELC -1-00 E16450 -1:00 7 -1-0D EIGAIE -1-00 I -1-00 T -1-00 E1KA IF -1.00 T -1-00 I -1-00 E16A1J AHB C-3 DU SOL T 80.0 -1-00 I HA 230 & BHA 27-00 I -1-00 EIGHT -1.00 I . -1.00 I AHB LRILY 0.59 I -1-00 FIGAGE ANG C-3 DU SOL -1-00 I -1.00 I -1-00 I -1-00 E17ALA EITEIR . AHG & DES AH -1.00 I -1-00 I -1-00 I -1.00 T ANG LRILV -1-00 I -1.00 T -1-00 I -1-00 £1744C AHG ABSC PIC ABSORPTION -1-00 I -1.DO 1 -1-00 I -1.00 E17A5D AHT C-3 DU SOL -1-00 I -1-00 I T 00-1--1-00 E1741E -1-00 I -1.00 1 -1.00 I -1-00 AHI TOES AH E17A1F -1-00 1 -1-00 -1-00 I -1-00 I AHB C-3 DU SOL Ei7AlJ -1-00 T. AHB % DES AH . -1-00 J -1-00 I -1 - 00*LATES -1-00 T / -1-00 T -1-00 1 -1-00 I AHR LR/LV £1784L

ANALYSES DE LABURATOIRE DU PRUFIL/NO1643/CRE114

	HORIZON I	1 1		3 1		
	LIMITES I	0- 20 1	20-40 1	50 - 70 I	120-140 I	
	PROFONDEUR I		· 1	I	1	
	PROFONDEUR I VARIABLES ARGILE LIMON FIN LIMON GROSSIER SABLE FIN SABLE GROSSIER & H20 A 105 DEGRES LF/A PH-RH H20 PH-RH KCL W MO TOTALE EN % C TOTAL COULOWETRE N TOTAL KJELD-TECHN C/N CA+- EN ME POUR 100 G DE SOL MG+- EN ME POUR 100 G DE SOL NA+ EN ME POUR 100 G DE SOL NA+ EN ME POUR 100 G DE SOL SOMME DES BASES ECHENGEEBLES					
41381G	ARGILE	4.60 1	9.10 1		15.90 I	
413F1H	LIMON FIN I	7.50 1	3.40 I			
F13617	LIMON GPOSSIER	6.70 1	7.90]			
A1381K	SABLE FIN	67.70]	56.50 1			
41381L	SABLE GROSSIER	23.00 I	22.50 1			
#13P1P	E HZO A 105 DEGRES	0-20]	0-30 1		_	
A1381P	LF/A	0.60]	0.40 1			
114114	PH-RH H20	5.20]	5-20 I			
Alaale	HO TOTALE EN G	4.40	4.40 I		5-10 I	
D15515	E TOTAL COULONETDE	11.30]	0.30 I		0-10 I	
£15424	TOTAL COOLOMETRE	. 1.99 1	1.63 1			
612040	CAN LOTAL KAEFA-TECHN	0.19 1	0.21 1		0.09 I	
615770	Char EN ME POUR YOU G DE EDI	10.70	7.80 1		5.50 1	
213424	HE EN HE POUR 100 G DE FOL	1. 11.00 1	0.60]	1.50 I	1.20 1	
013455	TO EN ME BOND JUD & DE COL	0.30 1	0.30 1	0.75 1	0.30 I	
E1342F	NA FR ME POUR 100 G DE SOL	ו ווייי ו	1 0.00 1	0.001	0.06 I	
B13426	SOMME DES BASES ECHANGEABLES	1 0 04 3	1 0.01	0.06 I 0.02 I 2.33 I 3.75 I	0.02 I	
E14844	T(CA) A PHT	2 25 1	1 0.7/ 1 1 2 En 1	2 - 33 1	1.58 I 3.00 I	
814ZZ8	T(CA) A PHT	43 00 1	1 200 1 1 70 00 1	62.00 I	. 3.00 1	
615124	CA++ EN ME POUR 100 G DE SOL 1	4 67 1	37.00 1	62.00 L	53.00 I	
815428	MG++ EN ME POUR 100 G DE SOL	2 48 1	1 77 2	F 0F 7	3.76 1	
E15120	K+ EN ME POUR 100 G DE SOL	ו ופו	1 1 4 5 7 1	2.72.1	1 40 1	
81542F	NE - EN ME POUR TOD & DE SOL	7 2 5 5	2 25 1	2.7/ 1	1,45 1	
E15426	SOMME DES BASES TOTALES	11 60 7	1 64.23 1	15 00 1	11.43 1	
816111	PROS TOTAL NORM 13 N	5 22 1	11-07 1	12.00 1	11.14 1	
- 61641B	PROS ASSIMIL CLISEN	0 0 1 1	ו וכשט ו	0.04 7	0.54 7	
- B17414	FEZC3 TOTAL	ו מת ר	1 120.0	ו פטיט	. 0-00 1	
817018	FE203 LIBRE DEB	0.75	1.25 1	1 70 1	1.00 I	
HIBAIF	INSTAB STRUCT	7.30	-1-00 3	-1.00 1	-1.00.7	
H1341H	AGREGATS ALCOOL	30.20	1 00 1	-1.00 T	-1.00 1	
LIAEIH	AGPEGATS EAU	32.10	-1-00 1	-1-00 T	-1.00 1	
HIBAIK	AGREGATS BENZENE	, 30,00 1	-1.00 1	ד מת-נ-	-1.00 7	
H14418	PF4.2	2.20 3	3.90 1	7.50 1	6.00 1	
HILAID	PF2.5	4.40	7.10 1	ו מסבוו	8.90 T	
E3282C	C DE MOL	0-08	0.03 1	-1.00 7	-1.20 T	•
E13514	C DES AF LIBRES PO4H3 2M	0.19	0.15 1	-1-00 I	-1-00 I	
E13C58	C DES AF PYRO P207NA4 D.1M	0.07	0.12 1	-1-00 1	-1.00 T	
E1301C	C DES AF SOUDE NACH 0.1N	0.23	. 0.10 1	-1.00 I	-1.00 1	
E13ZZE	SIGMA AFP+AFS	0-30 1	0.22 1	-1.00 1	-1.00 I	
ElBZZF	SOMME DES AF	0.49 3	0.37 I	-1.00 I	-7.00 I	
ElBZZG	SIGMA AF / C TOTAL	0.25 1	0.23 1	-1.00 I	-1.00 I	
E13ZZH	SIGMA AF / SIGMA AH	1.69 1	2.05 1	-1-00 I	-1.00 I	
El3ZZJ	SIGMA AF / SIGMA AHT ")	0.63	0.67 1	-1.00 I	-1.00 I	
E14C54	C DES AH PYRD	0.25]	0.15 1	-1.00 I	-1.00]	
E14D1B	C DES AH SOUDE	0.04	1 . 0.03 1	-1.0D I	-1.00 1	
E14ZZE	SIGMA AM	0.29	I 0.18 I	-1.00 I	-1.00 I	
E]4ZZF	SIGMA AH / C TOTAL	[0.14]	0.11 1	-1.00 I	-1.00 I	
E]4ZZG	ACIDES HUMIQUES TOTAUX (AHT)	0.78	0.55 1	-1.00 I	· -1.00 T	
E]4ZZH	SIGHA AHT / C TOTAL	0.39	0.34 I	-1.00 I	-1.00 I	
E14ZZJ	SIGMA AH/AHT	0.37	0.33 1	-1.00 1	-1.00 I	
E15958	HUMINE C TOTAL COULDMETRE	1.13	1.05 1	-1.00 I	-1.00 T	
E15040	HUMINE N TOTAL (KJELD-TECHN)	0.10	1 0.0F 1	-1.00 I	-1.00 1	
E15ZZD	HUMINE C/N	1 11.50	1 13.50 1	-1.00 I	-1.00 I	
E15ZZE	. C DE HU/C TOTAL	1 0.57	1 0.64 1	-1.00 I	-1.00 I	
£15ZZF	STOWA AF / MU	0.43	0.35	-1.00 I	-1.00 I	
E15ZZG	SIGMA AH/HU	0.26	0.17 1	-1.00 1	-1.00'1	
F1277H	METICKES ORGENIUDES MUMIFIEES(1 1.91	1 . 1.60]	-1.00 I	-1.00 I	
E15ZZJ	HU/MUH	1 0-59	0.66	-1-00 1	-1.00 I	
FIDZZK	SIGHA ALIMON	0.26	1 . 0.23]	-1.00 I	-1-00 T	
E1522L	SIGHE REVEUT	1 41.15	1 0-11 1	-1-00 1	1-1-00 1	
E15224	HOHAC TOTAL	1 0.95	1 0.98 1	-1-00 1	-1-00 1	
. £1522N	SIGHE MULTER THAT	1 1-99	1 1-63	-1.00 1	-1.60 1	
Elexia	AHG C-3 NO SOL	1 -1.00	1 -1-00 1	-1-00 1	-1-00 1	
£1~£141	AND TO DELAT	7 -1-00	1 -1.00 1	-1-00 1	-1-00 1	
£1646	AND LIGHT DIE ARCHESTINA	1 -1 00	1 -1-00 1	-1 00 1	-1.00 1	,
£1441£	AND ABSCRIC WESTER (104	1 -3 00	1 -1.00	-1400 1	-1.00 1	
EIGAIL	ANT & DEC AM	1 -1-00	1 -1-00 1	-1 00 I	-1.00 1	
Eless :	THE C-3 DO 201	י חת.ניי ד	1 -1.00 1	-1.00 1	-1-00 t	
E14414	AHR & DES AH	1 -1.00	1 -1 00 1	-1-00 1	-1+00 1	
£14441	AMB (R/IV	1+00 ;	1.00 1	-1-00 1	-1.00 1	
E17414	AHG C-3 DIL SOI	1 -1-00	2 - 0 0 1 7 - 1 - 0 0 1	-1.00 A	-1.00 1	ı
E17616	ANG & DEC AN	1.00 . 1.00 .		-1 00 1	-1.00 1	
アンファイン	AME LEVIV	. =1.00 T =1.00	1 -1.00 1	-1-00 1	-1 00 1	
E17660	AME AREC DIC LOCORDITION	1 -1-00	ווטיני ד	-1-00 1	-1-00.1	r
モンフィング	ANT CAR DU COI	1 -1.00	1 -1.00	-1-00	-1-00 1	t
C1/41C	ANT & DEC AN	1.00	1 -1 00 3	-1-001	-1.00	r
£17£15	PMB C=3 DIT ZOI Fut 2 INES KD	1 -1.00	1 -1.00 1	-1.00 1	-1-00 1	Ì
E1741J	NAME ON ME POUR 100 G DE SOL SOMME DES BASES ECHANGEABLES T(CA) A PHT VA CA++ EN ME POUR 100 G DE SOL MG++ EN ME POUR 100 G DE SOL K+ EN ME POUR 100 G DE SOL NA+ EN MF POUR 100 G DE SOL SOMME DES BASES TOTALES P205 TOTAL NO3M 13 N P205 ASSIMIL OLSEN FEZC3 TOTAL FEZC3 TOTAL FEZC3 TOTAL FEZC3 TOTAL TEZC3 TOTAL TEZC3 TOTAL GREGATS ALCOOL AGREGATS ALCOOL AGREGATS BENZENE PF4.2 PF2.5 C DE MOL C DES AF LIBRES PO4H3 2M C DES AF SOUDE NAOH 0.1M C DES AF SOUDE NAOH 0.1N SIGMA AFP+AFS SOMME DES AF SIGMA AF / SIGMA AHT C DES AH SOUDE SIGMA AH / C TOTAL SIGMA AH / C TOTAL ACIDES HUMIQUES TOTAUX (AHT) SIGMA AH / C TOTAL SIGMA AH / C TOTAL SIGMA AH / C TOTAL CODES AH/AH HUMINE C TOTAL (KUELD-TECHN) HUMINE C TOTAL (KUELD-TECHN) HUMINE C TOTAL SIGMA AH/HU MATIERES ORGANIOUES HUMIFIEES(MU/MOH SIGMA AH/HU MATIERES ORGANIOUES HUMIFIEES(MU/MOH SIGMA AH/HU AHG C-3 DU SOL AHG & DES AH AHG LR/LV AHG ABSC PIC ABSORPTION AHI C-3 DU SOL AHG & DES AH AHG LR/LV AHG ABSC PIC ABSORPTION AHI C-3 DU SOL AHG & DES AH AHG LR/LV AHG ABSC PIC ABSORPTION AHI C-3 DU SOL AHG & DES AH AHG LR/LV AHG ABSC PIC ABSORPTION AHI C-3 DU SOL AHG & DES AH AHG LR/LV AHG ABSC PIC ABSORPTION AHI C-3 DU SOL AHG & DES AH AHG LR/LV AHG ABSC PIC ABSORPTION AHI C-3 DU SOL AHG & DES AH AHG LR/LV AHG ABSC PIC ABSORPTION AHI C-3 DU SOL AHG & DES AH AHG LR/LV AHG ABSC PIC ABSORPTION AHI C-3 DU SOL AHG & DES AH AHG LR/LV AHG C-3 DU SOL AHG & DES AH AHG LR/LV AHG C-3 DU SOL AHG & DES AH AHG LR/LV AHG C-3 DU SOL AHG & DES AH AHG LR/LV AHG C-3 DU SOL AHG & DES AH AHG LR/LV AHG C-3 DU SOL AHG & DES AH AHG LR/LV AHG C-3 DU SOL AHG & DES AH AHG LR/LV AHG C-3 DU SOL AHG & DES AH AHG LR/LV AHG C-3 DU SOL AHG & DES AH AHG LR/LV AHG C-3 DU SOL AHG & DES AH AHG LR/LV	1 -1.00	1 -1.00	-1.00	-1.00 1	ľ
E1/41K	AND LOVIV	1 -1.00	1 -1.00 1	-1-00 1	-1.00 1	ľ
C I + F4 F	AND ENVEY	1.00	1.00	1.00	-1-110 1	

ANALYSES DE LARORATOIRE DU PROFIL/NO1644/DNN116

analises of fahoratotike on pro-it-voltazanowille						
	HORIZON	7	1 1	2 1	i 3 1	
	LIMITES		0- 15 I			
	22222	_	_		1	
	ARGILE LIMON FIN LIMON GROSSIER SABLE FIN SABLE GROSSIER # H20 A 105 DEGRES LF/A PH-RH H20 PH-RH KCL N MO TOTALE EN # C TOTAL COULOMETRE N TOTAL KJELD-TECHN C/N C4++ EN ME POUR 100 G DE SDI					• • •
4 13816	ARGILE	I	38.80 I			
#1381 H	TIMON CONCELED	I	25.30 I			
41381K	SABLE FIN	1	17.90 I			
41361L	SABLE GROSSIER	i	4.00 I			
#13P1M	* H20 A 105 DEGRES	7	1.80 1	0.60		
AIBEIR	LF/A ·	3	0.70 1	0.90		
2]42]4	PH-RH H20	2	4.90 J			• • •
#14#1#	MO TOTALE EN 2	Ţ	4-00 J			·
812858	E TOTAL COULDMETER	1	3.40 I 19.84 I			
615C4C	N TOTAL KUELD-TECHN	7	1.54 1			
BIZZZD	C/N	Ī	12.80 1			
				0.45	0-60 T	
	MG++ EN ME POUR 100 G DE SOL	1	ŭ.30 I	0.60 1	0.30 I	
5134ZD	K+ EN ME POUR 100 G DE SOL	1	0-17 1		0.04 I	0.05 1
81342E 813426	NA+ EN ME POUR 100 G DE SOL SOMME DES BASES ECHANGEABLES					
614848	T(CA) A PH7]	12.00 1	1.12 1		
814ZZR	•	Ī	A-00 1	25.00		
E15424		Ī.	3-20 I	1.78 7		
B15#28	MG++ EN ME POUR 100 G DE SOL	1	7-66 1	3-47 1	3.47 I	7.44 1
£1542D	K+ FN ME POUR 100 G DE SOL	1	2.54 I	1-06 1		2.12 1
515A2E	NA+ EN Hr. POUR 100 6 DE SOL	Ţ	1-29 I	1.29		
E15420	POOR TOTAL NORM 12 M	4	14-47 1	7-60 1		
816418	P205 ASSIMIL OLSEN	.	n.n. 1	0.22 I		
E17414	FE203 TOTAL	i	4-20 I	1.50 1		
617016	FE203 LIBRE DES	1	2.95 1	1.05		3.65 1
H1341F	INSTAB STRUCT	I	0.80 I	-1.00 1	-1.00 I	
HIAEIH	AGREGATS ALCOOL]	62.00 1	-1.00 7		
HIBVIK UTDVID	LOPERATE DENTENE	ì	55.80 1	-1.00 1		-1.00 1
H1441B	PF4-2	נ ד	ו מפיפו	-1.00 I 8.30 I		
H1441D	PF2.5	Ì	37.60 7	13.60 1		22.60 T 33.20 I
E1282C	K- FN ME POUR 100 G DF SOL NA+ EN HT POUR 100 G DE SOL SOMME DES BASES TOTALES P205 TOTAL NO3H 13 N P205 ASSIMIL OLSEN FE203 TOTAL FE203 TOTAL FE203 TOTAL FE203 TOTAL FE204 TOTAL FE204 TOTAL FE204 TOTAL AGREGATS ALCOOL AGREGATS BENZENE PF4.2 PF2.5 C DE MOL	Ī	1 95.0	0.01 1		0.01 I
21301-	C DES AF LIBRES PO4H3 2M	1 .	2.42 1	0.50 1		
E1305E	C DES AF PYRO PZOTNA4 0.1M	ī	1.18 I	0.39 1	0.18 I	
E13D1C	C DE MOL C DES AF LIBRES PO4H3 2M C DES AF PYRO P2C7NA4 0.1M C DES AF SOUDE NAOM 0.1N SIGMA AFP+AFS SOMME DES AF SIGMA AF / C TOTAL SIGMA AF / SIGMA AH SIGMA AF / SIGMA AH C DES AH PYRO C DES AH SOUDE SIGMA AH	1	2.10 I	0.31 1		
E13ZZE E13ZZF	SIGMA AFP+AFS	1	3.28 1	0.70 1		
E13226	SIGHA AF J C TOTAL	1	0.29 1	1.20 I 0.38 I		
E13ZZH	SIGHA AF / SIGHA AH	Í	1.40 7	1.56 I		
F1377J	SIGHA AF / SIGMA AHT	i	0.58]	0.61 1	0 60 7	
E14C54	C DES AH PYRO	1.	7.08 I	0.55 1	0.37 1	
E14015	C DES AH SOUDE	1	1.99 1	0.22 1	0.13 I	0.21 1
t 1422t	SIGMA AH (C TOTAL	1	4.07 1	0.77	^0.50 I	1.46 1
F14776	ACIDES HUMIQUES TOTAUX (AHT)	1 .	9.77 1	0.24 1	0.24 I 1.26 I	0.24 1
E)4ZZH	SIGHA AHT / C TOTAL	Ť	0.49 1	0.62 1	0.61 I	
E14ZZJ	SIGHA AHIAHT	i	1 0.42	0.39 1	0.40 I	0.44 1
E15556	HUMINE C TOTAL COULOMETRE	Ĭ.	9.7€ 1	1.20 1	0.80 I	2.77 1
E15C4C	HUMINE N TOTAL (KJELD-TECHN)	1	0.69 1	0.10 1	0.40 I 0.80 I 0.07 I	0.23 1
E15220	C DE HUYC TOTAL	1	, 14.20 I	12.20 1	11.20 1	12.20 1
F1577F	SIGHA AFZHU	Į T	0.49 1	1 00 1	0.39 I 0.95 I	12.20 I 0.45 I 0.67 I
E15ZZG	SIGMA AH/HU	í	0.42 I	0.64 I	0.62 I	0.53 1
E15ZZH	MATIERES ORGANIQUES HUMIFIEES!	1	19.55 1	3.17 1	0.62 I 2.06 I	6.10 I
E15ZZJ	HUMHOH	Ι.	. 0.50 I	0.38 1	0.39 1	0.45 1
E1522K	SIGMA AFZHOH	1:	U-58 I	D.35 I	% 0.37 I	
E15ZZL	SIGHA AH/MOH	Ι.	n-21 I	0-24 1	0.24 I	
£ 15225	FIGHT MOLETE-THENI	1	0.98 1	0-95 1	0- 99 I	
F16414	102 UN F-7 DHA	1	1 20 1	2+16 1	2.07 I -1.00 I	
£16418	AHD & DES AH	Ť	62-00 1	59-00 1	-1.00 1	63-DD I
£1644E	AHG LR/LY	i	0.75 1	0-69 1	-1-00 T	
£16450	AHG ARSC PIC ARSORPTION	I	0-15 1	0.18 1	-1-00 I	0.18 7
EIGAIE	AHI C-3 DU SOL	1	0.23]	0.08 1	-1.00 I	
£1643F	AMI # 1725 AM	I	11.00 I	14-00 1	-1-00 I	
EINVIN	AMB K DES AM	1	27.00 1		-1.00 I -1.00 I	
E1644L	AHB LR/LV	i	0.57 1	0.51	-1.00 1	
£17414	AHG C-3 DU SOL	1	1.35 1	1.00 1	-1.00 1	
EITAIF	AHG & DES AH	1	68.00 I	-1.00 1	-1.00 I	-1.00 1
£1744C	AHG LR/LV	1	0.72 I	-1.00 1	-1.00 I	
£1745D	AND RESERVE PIC ASSUMPTION	ì	0.19.1	-1-00]	-1-00 I	
F1741F	AHI & DES AH	1	9.00 1	-1.00]	-1.00 I -1.00 I	
ElTALJ	C DES AH PYRO C DES AH SOUDE SIGMA AH SIGMA AH / C TOTAL ACIDES HUMIOUES TOTAUX (AHT) SIGMA AHT / C TDTAL SIGMA AHT / C TDTAL SIGMA AH/AHT HUMINE C TOTAL COULOMETRE HUMINE N TOTAL (KUELD-TECHN) HUMINE C/N C DE HU/C TOTAL SIGMA AF/HU SIGMA AF/HU MATIERES ORGANIQUES HUMIFIEES(HU/HOH SIGMA AF/HOH SIGMA AF/HOH SIGMA AF/HOH SIGMA AF/HOH SIGMA AF/HOH AHG C-3 DU SOL AHG E DES AH AHG LR/LV AHG ARSC PIC ARSORPTION AHI C-3 DU SOL AHB E DES AH AHB C-3 DU SOL AHG E DES AH AHB C-3 DU SOL AHG E DES AH AHG LR/LV AHG ARSC PIC ABSORPTION AHI C-3 DU SOL AHI E DES AH AHB C-3 DU SOL	1	0.46 I	-1.00 1	-1.00 I	
E17#1K	AHR K DES AH	1	23.00 1	-1.00 1	-1-00 I	-1-00 1
E17A4L	AHR LR/LV	1	0.55]	-1.00	-1.00 I	-1.00 1

ANALYSES DE LABORATOIRE DU PPOFIL/NO1645/DNS617

HORIZON 1 1 1 2 1 3 1 4 1 PROFONDEUR 1 1 1 1 7 1 30-40 1 40-60 1 VARIABLES 41381G ARGILE 35.30 I 21.40] 74-00 I 17-40 T 41361H LIMON FIN 25.00 I 19.50 I 19.20 1 18.10 I 10-95 1 LIMON GROSSIER 413B1J 15.10 I 16.80 I 17.40 SABLE FIN 413B1K 17.20 I SARLE GROSSIER 22.00 1 19.50 I 22.30 1 8.60 I 8.10 I 17.70 I 35.50 € H20 4 105 DEGPES 2.10 I 1.80 I 1.20 J 1-70 I LF/A 413B1P 0.50 T 0.80 I 0.60 £14£14 £14£18 414518 B12C4C N TOTAL KJELD-TECHN 212ZZD B1342¢ F1342R B1342D B1342E 613426 81454A E15424 815425 E15420 E1542E 2.55 1 E1542G 616214 B16418 P205 ASSIMIL OLSEN 217414 B17018 H) 3617 H1341H H1311J PF4.2
PF4.2
PF4.2
PF4.2
PF2.5
I 16.90 I 15.90 I 26.40 I 7
C DE MOL
C DES AF LIBRES PO4H3 2M
C DES AF PYRO P207NA4 0.1M
SIGMA AFP-AFS
SIGMA AF / SIGMA AH
I 1.24 I 1.25 I 1.38 I
SIGMA AF / SIGMA AH
I 1.24 I 1.25 I 1.38 I
SIGMA AF / SIGMA AH
I 1.24 I 1.25 I 1.38 I
SIGMA AF / SIGMA AH
I 1.24 I 1.25 I 1.38 I
SIGMA AF / SIGMA AH
I 1.24 I 1.25 I 1.38 I
SIGMA AH
SIGMA AH
C TOTAL
I 0.86 I 0.79 I 1.02 I
SIGMA AH
C TOTAL
I 0.23 I 0.23 I 0.35 I
SIGMA AH
C TOTAL
I 0.86 I 0.79 I 1.02 I
SIGMA AH
SIGMA AH
C TOTAL
I 0.23 I 0.23 I 0.35 I
SIGMA AH
C TOTAL
I 0.23 I 0.23 I 0.35 I
SIGMA AH
SIGMA AB
SIC
SIGMA AB
H7341K HILLIP HIAAID 17-10 1 0.52 0.37 0.66 0.35 E1377H 3.93 1 F13ZZJ 0.80 1 E14T54 C DES AH PYRO E14D18 C DES AH SOUDE 0.21 1 U. 05 T E14ZZE 0.30 E1422F 0.09] E14ZZG 1.48 E14ZZH 0.43 I E14ZZJ SIGMA AH/AHT
E15256 HUMINE C TOTAL COULDMETRE
E15C4C HUMINE N TOTAL (KUELD-TECHN)
E15ZZD HUMINE C/N
E15ZZE C DE HU/C TOTAL
E15ZZF SIGMA AF/HU
F15ZZG SIGMA AH/HU F1477J n.20 I 0.15 12.60 0.56 0.62 0.16 F1577H 3.39 E15ZZJ 0.56 £1577K 0.35 - £15ZZL E15ZZM 0.99 E15ZZN 3-40 EIKKIK -1.00 T EISAIR -1.00 0.65 J 0.66 J 0.66 J 0.24 J 0.26 J 0.17 J 12.00 J 0.37 J 27.00 J 27.00 J 0-69 I 0-15 I E1644C -1-00 AHG ARSC PIC ARSORPTION -1-00 AHI C-3 DU SOL AHI % DES AH 0-29 I 17-00 I E1641E -1-00 FIGALF -1-00 AHB C-3 DU SOL 5-60 I 25-00 I EIGALJ -1-00 EIKAIK AMB & DES AH -1.00 AHB LR/LV 0.55 I 0.58 I 0.52] EIRALL 0.52 I AHG C-3 DU SOL 0.50 T 0.70 I 64.00 I 68.00 I 0.67 I 0.70 I 0.15 I 0.15 J El741A -1-00 1 57.00 1 -1-00 I 0.69 I I 0.16 I AHG LR/LV F1744C -1.00 AHG ABSC PIC ABSORPTION £1745D -1.00 AHI C-3 DU SDL AHI % DES AH 0.08 1 0.09] E1741E D.10 1 -1.00 I 9.00 I £17K1F 11.00 1 10.00 I -1-00 E1741J AHB C-3 DU SOL E1741K AHB & DES AH 0.20 1 0.20 1 0-22 1 -1.00 24.00 I 1 00-55 1 00.25 -1-00 AHR LP/LV n.47 I 0.50 1 -1-00 T

ANALYSES DE LABORATOIRE DU PROFIL/M09901/ALE522

A'^ A	LISES DE LAGURATDIRE DU PROFILIMI	09901/ALE522	
	HORTZON		5 1
	LIMITES : PPOFONDEUR		20- 40 1
413816	ARGILE VARIABLES	7 A-40 I	11 20 *
A1381H	LIMON FIN	1 4.90 I	11.30 I 4.70 I
41381√ 41381≪		1 9.50 1	8.00 I
41381L	SABLE GPOSSIER	I 20.80 I I 54.50 I	17.60 I 56.90 I
413P]# 413R1P		1 0.90 1	1.00 T
Aleale		7	10-40 I 6-80 I
#1441 6 #1741#		5-40 I	5.90 1
B1295B] 0.80 I I 4.53 I	0.50 I 2.70 I
812C4C	N TOTAL KUELD-TECHN	0.32 1	0-24 1
81342A	- · · · - · · · · · · · · · · · · · · ·	1 14.10 1	11.40 J 3.75 J
613A28	MG EN ME POUR 100 G DE SOL	1 1.50 I	1.80 I
813420 81342E		I 0.06 I I 0.07 I	0.07 I
E13426	SOMME DES BASES ECHANGEABLES	5.68 I	0.07 I 5.69 I
614 64 4 614 22 6		7.00 I El-00 I	6.50 I
8154Z#	C4++ EN HE POUR 100 G DE SOL	1 4.99 I	87.00 I 4.63 I
815429 815420	V . THE NE BOUR AS A SEC.	1 11.40 I 1 1.69 I	10.91 1
35425	NA+ EN ME POUR 100 G DE SOL	1 1.69 I 1 1.93 I	6.79 I 1.61 I
81542G	· · · · · · · · · · · · · · ·	I 20.01 I	23.94 I
816415	7705 ASSIMIL OLSEN	1 0-27 1 5-02 1	0.30 T 0.01 I
617414 617018	FE203 TOTAL	3.00 1	4.80 T
H13AJF	INSTAF STRUCT	2.10 I	3.65 T
₩1451H L1451H	AGREGATS ALCOOL	I 66.30 I	-1.00 T
HJ37JK		57.80 1 62.70 I	-1-00 l
HILLIE	PF4.2	4.30 I	5.70 I
H14A1D E1262C		9.90 1 9.05 1	0.17 I
E13E14	C DES AF LIBRES PO4H3 ZM	1 62-0	0.16 7
E1305R E13010		I 0.30 I	0.12 T
E13ZZE	SIGMA AFP-AFS	0.74 1	0.32 7
E13ZZF E13ZZG		1 0.03 I I 0.23 I	0.48 3
E13ZZH	SIGMA AF / SIGMA AH	1 1.25 I	1 81.0
E13ZZJ E14C5A		0.55 I 0.55 I	0.68 T
		0.55 I 0.27 I	0.18 7
E]4ZZE E]4ZZF	C DES AH SOUDE SIGMA AH SIGMA AH / C TOTAL ACIDES HUMIOUES TOTAUX (AHT) SIGMA AH / C TOTAL SIGMA AH/AHT HUMINE C TOTAL COULOMETRE HUMINE N TOTAL (KJELD-TECHN) HUMINE C/N C DE HU/C TOTAL] 0.82]] 0.18] .	0.22 1
E14ZZG	ACIDES HUMIQUES TOTAUX (AHT)	1 1.85 1	0.08 I 0.70 I.
E1422H	SIGMA AHT / C TOTAL SIGMA AH/AHT	0.41]	0.26 1
EISESE	HUMINE C TOTAL COULOMETRE	2.63 1	0.31 I 1.83 I
E15C4C E15ZZD	HUMINE N TOTAL (KJELD-TECHN)	1 0.21 1	0.18 1
E15ZZE	HUMINE C/N C DE HU/C TOTAL SIGMA AF/HU	0.56 1	10.30 I
E1522F E1522G	SIGMA AF/HU SIGMA AH/HU	1 0.39 1	0 36 1
E15ZZH	MATIERES ORGANIQUES HUMIFIEES	0.31 1 4.48 1 0.59 1	0.12 I 2.53 I
E15ZZJ	HU/MDH SIGMA AF/HDH	0.59 1	0.72 T
E15ZZL	SIGNA AHYMOH	1 0-16 I	0.19 I 0.08 T
FIFZZM	HOHIC TOTAL	I 99.0	0.94 T
E15ZZN E16A1A	SIGMA RH/MOH MOH/C TOTAL SIGMA MOL+AF+AH+HU AMG C-3 TOU SOL AMG & DES AH AMG LR/LY AMG ABSC DIT ARSORDITION	1 4.53 1 1 0.32 1	2.70 T 0.11 T
E1641B	AMG & DES AM	59-00 I	63.00 I
E1645D	ANG LKYLY ANG PESC PIC ABSORPTION	1 0.68 1 1 1 1 1 1 1 1 1 1 1 1 1 1 1 1 1 1 1	0-50 I
E)6A1E	AMG & DES AH AMG LR/LY AMG ABSCRPTION AMI C-3 DU SOL AMI & DES AH AMB C-3 DU SOL AMB % DES AM AMB LR/LY AMG C-3 DU SOL AMG % DES AM AMG LR/LY AMG ABSC PIC AMSORPTION	0.061	_0.05 I
El641J	#HB C-3 DU SOL	I 10-00 I I 0.17 I	11.00 J 0.05 J
EIGEIK	AHB % DES AH	31-00 I	26-00 I
EITAIA	ARS LR/LV AHG C-3 DU SOL	I 0.52 I I 0.19 I	0.47 \$ -1-00 I
E17416	4HG % DES AH	71.00 1	-1-00 I
E1744C	AMG LR/LV AMG ABSC PIC AMSORPTION	1 . n.77 1 1 n.16 1	-1.00 I -1.00 I
Elarie	#HI C-3 DU SOL	I 20-02 I	-1-00 T
	AUD C D DU COL	1 5-00 1	-1.00 1
EITAIK	448 % DFS 4H	1 53.00]	-1-00 T -1-00 T
£17441	AHS LP/LY	0-53 1	-1-00 T

ANALYSES DE LARORATDIPE DU PROFIL/NO9907/48#542

AMACINES OF CAMONATOINE DO PROFILINOSCONARIOS						
	HOKIZON LIMITES PPOFONDEUR	0- 70 i	20- 40 I			
A13R1G	ARGILE	1 4.40 I	6 00 1			
41381H		1 4.40 I 1 3.30 I	6.00 I			
413B1J		1 11.00 1	11.30 1			
41381K		I 55.50 I	51.70 1			
A1381L	SABLE GROSSIER	T 25-40 I	26-80 I			
#13P1H #13B1P		1 0-10 1	0.20 1			
AIAAIA		I 0.80 I I 5.80 I	0.60 I 5.50 I			
*1421B		1 4-90 1	4.60 I			
812414	A	I 0.30 I	0.20 1			
812658 812040		1 1.91 1	1-42 1			
B1222D		I 0.17 I I 11.00 I	0.14 I 9.90 I			
454819	CA++ EN ME POUR 100 G DE SOL	1 0.75 1	0.30 1			
613428	MG++ EN ME POUR 100 G DE SOL	1 n.30 I	. 0.30 1			
913420 91342E		1 0.09 1	0.07 1			
B13426		I 0.01 I	0.01 I 0.68 I			
B14B45		1 1.75 1	1.50 I			
E14ZZB		1 66.00 I	45.00 I			
815424 B15428		7 - 85 I	2.85 1			
B15420		I 1-48 1 I 0-63 I	1.48 I 0.85 I			
815A2E	=	1 1.93 1	0.85 I 1.93 I			
E1542G	SOMME DES RASES TOTALES	1 6-89 1	7.11 1			
B16414		I 0-25 I	0.21 1			
B1641 9 E17414		7 0.03 1	0.01 1			
B17C1R		1 0.80 1 1 0.50 1	0.90 I 0.65 I			
H1341F		1 1.10 1	-1.00 I			
HIBAIH	AGREGATS ALCODL	1 32.60 1	-1.00 I			
HIBALL		37.50 I	-1.00 I			
H]3}]≪ H]44]B		32.90 I 1 90 I	-1.00 I 2.50 I			
H14AIB		5.00 1	5.60 I			
E15E5C	C DE MOL	0.05 1	D.03 I			
E13E1A		1 0.10 1	0.10 1			
E13CSB E13D1C		I 0.04 J I 0.06 I	0.02 1			
EISZZE		0.101	0.07] 0.09]			
E13ZZF	SOMME DES AF	1 0.20 1	. 0.19 T			
E13ZZG E13ZZH		0.10 1	0.13 I			
E13ZZJ	SIGMA AF / SIGMA AH SIGMA AF / SIGMA AHT	I 0.54 I I 0.35 I	0.63 I 0.39 I			
E14C54		0.28 1	0.23 I			
E14018		1 0.09 1	0.07 ;			
E14ZZE E14ZZF		0.37 1	0.30 I			
E14226		I 0.19 I I 0.57 I	0.21 I 0.49 I			
E14ZZH	SIGMA AHT / C TOTAL	0.30 1	0.34 1			
E14ZZJ	SIGMA AH/AHT HUMINE C TOTAL COULOMETRE	1 0.65 1	0.61 1			
E15859 E15C4C	HUMINE C TOTAL COULOMETRE HUMINE N TOTAL (KJELD-TECHN)	1 1.29 I	0.90 I			
E15ZZD	HUMINE C/N	1 15.30 1	0.09 I 9.90 I			
E15ZZE	C DE HUZC TOTAL	1 0.67 1	0.63 1			
	SIGMA AF/HU		0.21 1			
E15ZZG E15ZZH	SIGMA AH/HU MATIERES ORGANIDUES HUMIFIEES(0.33 I			
E15ZZJ	HU/MOH	1 0.69 I	0.65 I			
F15ZZK	SIGMA AF/MOH	I 0-11 I	0.14 1			
F15ZZL	SIGMA AH/MOH	I 0-20 I	0-21 1			
E1522N	SIGHE HOLLES-AH-HIL	1 0.97 1	0.96 1			
EIGALA	AHG C-3 DU SOL	1 -1.00 1	1-42 I -1-00 I			
E16418	AHG & DES AH	1 -1-00 I	-1.00 I			
E1644C	MATIERES ORGANIQUES HUMIFIEES (HU/MOH SIGMA AF/MOH SIGMA AH/MOH MOH/C TOTAL SIGMA MOL+AF+4H+HU AHG C-3 DU SOL AHG % DES AH AMG LR/LV AHG ABSC PIC ABSORPTION AHI C-3 DU SOL	1 -1.00 I	-1-00 I			
ElealE	WHI C-3 DU SOL	1 -1.00 1	-1-00 I			
FIGATE	AHI & DES AH	I -).00 I	-1-00 I			
E16A1J	AHB C-3 DU SOL	1 -1-00 1	-1.00 7			
EIGAIK	AHB & DES AH	1 -1.00 1	-1.00 I			
Elasal Elasa	#### C=3 TOU SOU	1 -1.00 1	-1-00 1			
EITAIR	AHG & DES AH	1.00 J	-1.00 I -1.00 I			
E1744C	AHG # DES AH AMG LR/LV AMG ABSC PIC ABSORPTION AHI C-3 DU SOL AHI # DES AH AMB C-3 DU SOL AHB # DES AH AMB LR/LV AMG C-3 DU SOL AMG # DES AH AMG LR/LV AMG ABSC PIC ABSORPTION AMI C-3 DU SOL	1 -1.00 i	-1.00 I			
£1745D	AHG ABSC PIC ABSORPTION	1 -1-00 1	-1.00 1			
	447 8 856 44		-1.00 T			
	AHI % DES AH AHR C-3 DU SOL	1 -1-00 I	-1.00 I -1.00 I			
£1741K	AHR & DES AH	1 -1.00 I				
	AHR ERZEV	1 -1.00 1				

ANALYSES DE LABOPATOIRE DU PROFIL/N09903/ALE152

HORIZON I 0- 20 1 20- 40 I PPOFONDEUP 1 VAPIAPLES A13816 ARGILE A13814 LIMON FIN 7.20 I 6.40 I 5.30 1 1 53. 1 0.40 1 0.90 I 1 5.40 I 1 0.90 I 1 0.90 I 5.14 I 0.39 I 13.00 I 75 I AI3BIJ LIMON GROSSIER
AI3BIL SABLE GROSSIER
AI3PIH & H20 A 105 DEGPES
AI3BIP LF/A
AI4AIA PH-RH H20 10.00 I 11.00 I 18.30 I 54.70 I n.40 I · · 0.50 I | S.40 | 0.50 1 PH-RH HZO 5.40 I A14A1E PH-RH KCL N
B12A1A MO TOTALE EN F
B12B5R C TOTAL COULOMETRE
B12C4C N TOTAL *JELD-TECHN BIZZZD 513A2A B1342B 613A2D B1342E 613426 PILHAL 614ZZR 615424 615426 E15420 E15AZE E15426 E16414 B1641F EITAIL B17C1B HIBAIF HIZEIH HIBAIJ HIBLIK H1441B PF4.2
PF2.5
T 9.20 1 9.00 3
C DE MOL
C DES AF LIBRES PD4H3 2H
C DES AF PYRO P207NA4 0.1M
C DES AF PYRO P207NA4 0.1M
C DES AF SOUDE NAOH 0.1M
SIGMA AFP-AFS
SOMME DES AF
SIGMA AF / C TOTAL
SIGMA AF / SIGMA AH
C DES AH PYRO
C DES AH SOUDE
SIGMA AH / C TOTAL
SIGMA AF / C TOTAL
SIGMA AH / C TOTAL
SIGMA AF / C TOTAL
SI H14A1D E12820 E13814. E13058 E13D1C E13ZZE E13ZZF E13ZZG E13ZZH E13ZZJ E14C54 E14018 E14ZZE F1477F E14ZZG , E14ZZH F]422J E15858 E15C4C E15220 E15ZZE E15ZZF SIGMA AM/HU I 0.74 I MATIERES ORGANIQUES HUMIFIEES(I 5.03 I SIGHA AH/HU E15ZZG 0.10 I 2.38 I E1522H 1.37 I 0.35 I 0.27 I HU/MOH I

SIGMA AF/MOH I

SIGMA AH/MOH I

MOH/C TOTAL I

SIGMA MOL-AF-AH+HU I

AHG C-3 DU SOL F1577.J 1.74 I £15ZZK 0.18 1 1 76.00 1 1 0.75 1 1 0.14 1 1 0.03 1 1 5.00 1 1 0.11 1 1 19.00 1 1 0.59 1 E1741E AMI C-3 DU SOL E1741F AMI & DES AM -1.00 I -1.00 E17A1J AHB C-3 DU SOL E17A1K AHR % DES AH -1.00 1 -1.00

-1.0n I

AHB LR/LV

AMALYSES DE LABORATOIRE DU PROFILINGOQUAIRYET72

AMALTSES DE L'ABUMATUINE DU PROFILINDOQUAIRYF172					
•	HDRIZON				
	LIMITES	1 0- 50 1			
	PROFONDEUR	1 · 1			
A13816	ARGILE	I. 3.40 I			
A1361H	LIMIN FIN	3.40 I 3.60 I			
413B1J	LIMON GROSSIER	7.50]			
A)381<	SARLE FIN	1 49.10 1			
41381L 413P1M	SABLE GROSSIER : % H20 A 105 DEGRES	1 36.00 1	•		
Alanie	LF/A	I 0.10 I			
Alaala	₽H-RH H20	1 6.50 1			
Aleals	PH-PH KCL N	I 5.90 I			
812414 812654	MO TOTALE EN X C TOTAL COULOMETRE	I 0.30 I			
B12C4C	N TOTAL KUELD-TECHN	I 1.95 I			
BIZZZD	C/N	1 13.00 1			
454518	CA++ EN ME POUR 100 G DE SOL	I 1.80 I	0.30 1		
81342B	MG++ EN ME POUR 100 G DE SOL K+ EN ME POUR 100 G DE SOL	1 0.45 1			
B1342E	NA+ EN ME POUR 100 G DE SOL	I 0.07 I	,		
BIBAZG	SOMME DES BASES ECHANGEABLES	I 2.33 I			
B1484A	T(CA) & PH7	1 2.50 1			
814ZZE 815424	CA++ EN ME POUR 100 G DE SOL	I 93.00 I			
815425	MG++ EN ME POUR 100 G DE SOL	I 6-06 I I 1-98 I			
B15420	K+ EN ME POUR 100 G DE SOL	1 0-42 1			
BISAZE	NA+ EN ME POUR 100 G DE SOL	1 2.25 1			
81 6 414	SOMME DES BASES TOTALES	I 10.71 I			
61641R		I 0.23 I			
E17414		7 . n. 03 1 1 0.70 1			
817C1B	FEZO3 LIBRE DEB	I .0-60 I			
HIBAIF	INSTAB STRUCT	I . 0.70 I	-1.00 1		
HI361H	AGREGATS ALCOOL AGREGATS EAU	1 48.30 I	-1.00 1		
HIZAIK		I 48.30 I I 47.60 I	-1.00 I -1.00 I		
H14A1B	PF4.2	1 1.50 I	1.80 j		
H14A1D		1 4.30 I	3.80 I		
£1282C	C DE MOL C DES AF LIBRES PO4H3 2H	1 0.07 1			
E13058	C DES AF PYRO PZO7NA4 0.1M	I 0.13 I	0.04 I 0.0 I		
E13D1C	C DES AF SOUDE NACH 0.1N	1 0.12 1	0.02 1		
EJZZZE	SIGMA AFP+AFS	1 0-24 1	0.02 1		
E13ZZF E13ZZG	SOMME DES AF Sigma af / C Total	1 0.37 1	0.06 1		
E13ZZH	SIGMA AF / SIGMA AH	I 0.19 I I 0.82 I	0.05 1 0.37 I		
E13ZZJ	SIGHA AF / SIGHA AHT	I 0.45 I	0.27]		
£14C54	C DES AH PYRD	1 0.33 1	0.16]		
E14D1R E14ZZE	C DES AH SOUDE	1 0.12 I 1 0.45 I			
E14ZZF	SIGMA AH / C TOTAL	I 0.23 I			
E14ZZ6	ACIDES HUM]QUES TOTAUX (AHT)	I 0.52 I	-		
E14ZZH	SIGMA AHT / C TOTAL	I 0.42 I	0.17 1		
F14ZZJ E15B5R	SIGME AM/AMI	1 0.55 1			
E15040		I 1.06 I	0.97]		
E15ZZ0		I . 17.40 I			
E15ZZE	C DE HU/C TOTAL	I n.53 I	0.76 I		
E15ZZF E15ZZG	SIGMA AF/HU SIGMA AH/HU	1 0.35 1			
		I 0.42 I			
E15ZZJ	HUMOH	1 0.56 1	D-81 I		
E15ZZK	SIGMA AF/MOH	J. 0.20 I	. 0.05 I		
E15ZZL	SIGHA AHPHOH W. IT	1 0.24 1	0.13 [
F1577N	SIGNA MOI -AF-AH-HU	1 20.0	. 0.94 J		
£16212	AHG T-3 DU SOL	1 -1-00 1	-1.00 T		
E1641R	AHG & DES AH	I -1-00 I	-1.00 I		
E1644T	AMG LRYLY	I -1-00 I	-1-00 I		
EIGAIE	AHI C-3 DU SOL	I -1-00 1	-1.00 1		
ElealF	MATIERES ORGANIQUES HUMIFIEES (HU/MOH SIGMA AF/MOH SIGMA AH/MOH MOH/C TOTAL SIGMA MOL-AF-AH/HU ANG C-3 DU SOL ANG & DES AH ANG LR/LV ANG ARSC PIC ARSORPTION AHI C-3 DU SOL AHI & DES AH ANB C-3 DU SOL ANB & DES AH ANB C-3 DU SOL	T -1-00 I	-1-00 I		
EIGALJ	AHI F DES AH AHB C-3 DU SOL AHR % DES AH AHB LR/LV	T -1-00 I	-1.00 1		
EIGAIK	AHR & DES AH	1 -1-00 1	-1.0n I		
	ATT LEVEN	$\frac{1}{1}$ -1.00 I	-1-00 I		
EITAIR		I -1.00 I	-1-00 I		
		1 -1.00 1	-1-00 T		
E17ASD	AHG 495C PIC ARSOPPTION	1 -7.00 1	-1.0n 1		
CITALI	#HI C-3 DU SOL	1 ,-1.00 1			
ELTAIT	AHB C-3 DU SOL	1 -1-00 I			
	AHR K DES AH	I -1.00 I	-1.00 I		
E1744L	AHR LR/LV	I -1.00 I	-1-00 1		

ANALYSES DE LAHORATOIME DU PROFILINOY905/RNS262

ANALYSES DE LAHORATOIRE DU PROFIL/NO9905/RUS262						
	HORIZON		1	1 2 1		
	LIMITES	1	0- 20	1 20- 40 1		
`	PROFONDEUR VARIARLES	I		1 . 1		
AlaBig	ARGILE	1	2.60	I 12.60 I		
	LIMON FIN	I	6.30	I 5.30 I		
A13H1J	LIMON GROSSIER SABLE FIN	I.	46.60			
A1381L	SARLE GROSSIER	i	33.60			
413P1M	% H20 A 105 DEGRES	1	0.50	I 0.40 I		
A1381P A14414	LF/A PH-RH H20	Į.	2.30			
AlAAIB	PH-RH KCL N	I I	5.50 4.70			
BISALA	HO TOTALE EN %	i	0.40	1 0.40]		
B12855		I	2.55			
B12C4C B12ZZD	N TOTAL KJELD-TECHN	1 1	0.22	1 0.24 1		
B13AZA		Ĭ	0.45	I 9.70 I I 1.05 I		
613A2R	MG EN ME POUR 100 G DE SOL	I	0.45			
B1342D	K+ EN ME POUR 100 G DE SOL NA+ EN ME POUR 100 G DE SOL	I .	0.06			
B13A2E B13A2G	SOMME DES BASES ECHANGEABLES	I I	0.01 0.97	I 0.02 I I 1.59 I		
B1464A	TICAL A PHT	Í	2.25			
E14ZZE	V.	1	43.00	I 79.00 J		
45426 854219	CA EN ME POUR 100 G DE SOL	Ī				
BISAZD	K+ EN ME POUR 100 G DE SOL]	1.96			
61542E	NA- EN ME POUR 100 G DE SOL	ī	1.93			
B15A2G	SOMME DES RASES TOTALES	1	6.75	I 8.87 I		
B1641#	P205 TOTAL NO3H 13 N P205 ASSIMIL OLSEN	I	7.18			
B1741A		I	0.01	I 0.03 I		
B17018	FE203 LIRRE DEB	Í.	0.70			
HIBAIF	INSTAB STRUCT	I		1 -1.00 1		
HIAEIH LIAEIH	AGREGATS ALCOOL AGREGATS EAU	1	45.50 45.20	·		
HIBAIK	AGREGATS BENZENE	i	43.60			
H14A1E	PF4.2	1	2.20			
HIAAID	PF2.5	I	5.30			
E1282C E13B14	C DE MOL C DES AF LIBRES PO4H3 ZM	1 .	0.22	_		
E13058	C DES AF PYRO PZOTNA4 0.1M	Ī	0-15			
E13D1C	C DES AF SOUDE NACH 0.1N	1	*	I 0.55 1		
E13ZZE	SIGMA AFP+AFS	I	0.36			
E13ZZF E13ZZG	SOMME DES AF Sigma AF / C Total	I	0.58 D.23			
E13ZZH	SIGMA AF / SIGMA AH	î	1.16			
Elazzu	SIGMA AF / SIGMA AHT	1 .	0.54	I 0.66 I		
E14C5# E14D18	C DES AH PYRO C DES AH SOUDE	I I	0.35 0.15			
E14ZZE	SIGMA AH	1	0.50			
E14ZZF	SIGMA AH / C TOTAL ,	J	0.20			
E14ZZG		I	30.0			
E14ZZH E14ZZJ	CIEMA AUZAUT	I J	0.42 0.46			
E15858		í	1.38	,		
E15C4C	HUMINE N TOTAL (KUELD-TECHN)	1	0.12	1 0.11 1		
E15ZZD E15ZZE	HUMINE C/N C DE HU/C TOTAL		11.20			
E1522F	STGMA AFYHU	Ī	0.54			
E15ZZG	SIGHA AH/HU	1	0.36	I 0.25 I		
E15ZZH	MATIERES ORGANIQUES HUMIFIFES	I	2.46	1 2.25 1		
E15224	HU/MOH SIGMA AF/MOH	I I	0.56 0.23	1 0.58 I I 0.28 I		
E15ZZL	STGMA AH/MOH	1	0.20			
E15ZZM	MOHIC TOTAL	7	0.96	I 0.97 I		
EISZZN	SIGMA MOL+AF+AH+HU AMG C-3 DU SOL	ĭ	7.55	_		
Elfale Elfale	AMG E-3 DU SOL AMG % DES AM	I I	60-00 0-21			
E1564C	AUC IDAIN	I	0.62			
ELGASD		1	0.22	1 -3-00 7		
E16A1E E16A1F	AHI C-3 DU SOL AHI % DES AH	Ţ	0.04	I -1-00 T		
LIAALI	AHB C-3 DU SOL	j	12-00 9-10			
EIRAIK	AHB % DES 4H	1	28.00	I -1.00 I		
E16A4L	AHB LR/LV	Ţ.,	0.47			
E17A1A E17A1B	AHI C-3 TU SOL AHI % DES AH AHB C-3 DU SOL AHB % DES AH AHB LR/LV AHG C-3 DU SOL AHG % DES AH	1	-1-00			
E1744C	AHG LR/LV	Ī	-1-00			
E17450	AHE ARSE PIC 4950PPTION	1.	-1.00	1 -1.00 1		
E1741E	ARI C-3 DU SUL	3	-1.00			
E1741F	AHI % DES AH AHR C-3 DU SOL	1	-1-00			
	AHR K DES AH	i	-1-00			
E1744L	AHB LR/LV	1	-1-00	1 -1-00 1		

ANALYSES DE LABORATOIRE DU PROFIL/N09906/RNS292

•	******		
	HORIZON	I 1 1	2 1
	LIMITES		
	PHOFONDEUR	1 1	[]
	VARIABLES		:
A13616	ARGILE	5.80 1	
41361J	LIMON FIN	5.30	
413615	LIMON GROSSIER SABLE FIN	1 11-70 1	
	SABLE GROSSIER	1 51-00 1	
413B1L 413P1M		1 25.30 1	
A1381P	% H20 A 105 DEGRES	I 0.30 1	
413514	PH-RH HZO	I 0.90 I	
414418	PH-PH KCL N	1 5.70 1	
7[1519	MO TOTALE EN *	I 5.80 1	
612E5R	C TOTAL COULOMETRE	I 3.56 I	
B12C÷C	N TOTAL KJELD-TECHN		
B12220	C/N		
454619	CA++ EN ME POUR 100 G DE SOL	I 10.90 I	
R13428	MG++ EN ME POUR 100 G DE SOL	1 3.80 1	
P1342D	K+ EN ME POUR 100 G DE SOL	1 0-24	
EIBAZE	NA+ EN ME POUR 100 G DE SOL		
B13426	SOMME DES BASES ECHANGEABLES	I 2.61 I	
P14844	T(CA) & PH7	I 3.25	
B14ZZP	V€ .	I 86.00 I	
BISAZA	CA++ EN HE POUR 100 G DE SOL	1. 7.85	
E15425	MG++ EN ME POUR 100 G DE SOL	1 1.95 1	
B1542D	K+ EN ME POUR 100 G DE SOL]].48	
E15A2E	NE+ EN ME POUR 100 G DE SOL	1 3-61	
E15426	SOMME DES BASES TOTALES		
E16414	P205 TOTAL NO3H 13 N	7.92	
E16418	P205 ASSIMIL DLSEN	1 0.26 1	
		1 . 0-04 1	
		1 1.40 3	
517C1B		7 0.65	
H1341F		1.20	_
		1 35.30 1	
	AGREGATS EAU	33.90 1	
H1371K	AGREGATS BENZENE	1 31.50 1	
H1441B	PF4.2	1 2.90 1	
		1 6.70 1	
E12820		1 0-09 1	
E13E14	C DES AF LIBRES PO4H3 2H	0.32	
E13058	C DES AF PYRO P207NA4 0.1M	1 0.19 1	
E13D1C E13ZZE	C DES AF SOUDE NACH 0.1N . SIGMA AFP+AFS	1 0.34	
		I 0.53 1	
E13ZZF E13ZZG	SOMME DES AF Sigma af / C Total	1 0.85	
E1322H	SIGMA AF / SIGMA AH	1 0.24 1	
	SIGMA AF / SIGMA AHT	1 1-27 1	
	C DES AH PYRO	I 0.56 1	
E14D18	C DES AH SOUDE		
E14ZZE	SIGMA AH	I 0.24 I	
E1422F	SIGHA AH / C TOTAL	1 0.67 1	0.33 1
E14ZZG	ACTREE DIMITORES TOTALLY (AUT)		
E1422H	SIGMA AHT / C TOTAL SIGMA AH/AHT HUMINE C TOTAL COULOMETRE	1 1.55 1	1.05 1
	SIGMA AH/AHT	1 0.43 1	0.34]
	HUMINE C TOTAL COLLOWETER	1 1 05 1	0.31 1
EIECAC	HUMINE & TOTAL COOLDMETRE	1 0 10 1	1.62 1
E15770	HUMINE CAN	1 16 ED 1	0.16 1
E1577F	C DE HILL TOTAL	1 10.50 J	10.10] 1 0.59]
E1522E	STEMA AFYHU	1 0.00 1	0.44
E15776	SIGMA AHYHU	1 0.75 1	1 0.00
F1577H	HUMINE C TOTAL COULOMETRE HUMINE N TOTAL (KJELD-TECHN) HUMINE C/N C DE HU/C TOTAL SIGMA AF/HU SIGMA AH/HU MATIERES ORGANIDUES HUMIFIEES(HU/HDH	1 7.47	0.20]
F1577.1	HILMOH	7 0.56 1	0 63 3
F1577K	SIGNA AF/MOH	1 0.24	ד דכום
E15771	STEMS BHYMOH	1 n 10 1	ו וביי
モュンビント	MDHZC TOTAL	י לפוח ד	0.12 l
FIETTN	STONE WOLLEFTANIAMI	3 5.54 S	1 276 7
EISEEL	AME L-3 DII 201	1 026	2-101
£16118	AMG & DES AH	1 40 00 1	-1-00 1
FIGLAC	AHG LR/LV	1 00.51	I -1-00 I.
FIGETO	AHG ARSC PIC ARSORPTION	1 0.20 1	1-00 1
FIGALE	AHI C-3 DU SOI	1 0.04	1 -1-00]
FIGATE	AHT & DES AH	1 10.00	-1-001
E1641.1	AHB C-3 DU SOL	1 0.13	-1.00 I
FIGALK	AHR % DES AH	30.00	-1.00 1
E16441	AHB LR/LV	1 0.50	1 -1-00 1
F17414	AHG C-3 DU SOL	I -1-00 1	11.00 1
FITAIR	AHG % DES AH	1 -1.00	1.00
F1744C	AHG LR/LV	1 -1-00 1	-1.00 1
E17450	AHG ABSC PIC ARSOPPTION	1 -1 -00 1	1-00 1
F1741F	AHI C-3 DU SOI	1 -1-00	-1.00 1
F1741F	AHI & DES AH	1 -1.00	1-00 1
F17414	AHR C-3 DU SOI	1 -1.00	1 -1-00 1
F17414	MATIERES ORGANIDUES HUMIFIEES (HU/MOH SIGMA AF/MOH SIGMA AH/MOH MDH/C TOTAL STGMA MOL+AF+AH-HU AMG T-3 DU SOL AMG & DES AH AMG LR/LV AMG ARSC PIC ABSORPTION AHI C-3 DU SOL AHI & DES AH AMB C-3 DU SOL AMB & DES AH AMB LR/LV AMG P DES AH AMG LR/LV AMG C-3 DU SOL AMG P DES AH AMG LR/LV AMG ABSC PIC ABSORPTION AMI C-3 DU SOL AMR C-3 DU SOL AMR C-3 DU SOL AMR S DES AH AMR C-3 DU SOL AMR BBSC PIC ABSORPTION AMI C-3 DU SOL AMR C-3 DU SOL	1 -1 00	1 -1 - DO T
F17641	AHB LR/LV	I -1-00	1 -1-00 1

ANALYSES DE LARORATOIRE DU PROFIL/N09907/CJE112

HORIZON I] I 2 I LIMITES I 0- 20 I 20- 40 I PPOFONDEUR I I 7 VARIABLES APGILE
LIMON FIN
LIMON GROSSIER
LIMON GROSSIER
SABLE FIN
SABLE GROSSIER
H20 A 1D5 DEGRES
LF/A
H20 T 5-80 I
D+-PH H20
T 5-80 I
MD TOTALF EN #
C TDTAL COULOMETRE
N TOTAL KJELD-TECHN
C/N
CA+- EN ME POUR 100 G DE SOL
NA+- EN ME POUR 100 G DE SOL
SDMME DES BASES ECMANGEABLES
T(CA) & PH7

1 6-00 I
SOMME DES BASES ECMANGEABLES
T(CA) E PH7 AIBBIG ARGILE 9.90 I 22.70 1 413H1H 9.00 I 413813 12.00 T A1381K 38.70 I 413B11 15.80 I 413P1H 1.20 1 41381P 0.40 1 114414 5.50 1 1441R 4.90] BIPALL 0.60 B12858 3.51 1 B12C4C 0.39 R1277D 5.90 T BIBAZA 2.10 1 B13428 0-90 T BIBAZD 0.10 1 B1342E 0.04] 81342G 3.14 1 AHB LRYLV AHG C-3 DU SOL AHG % DES AH n.52 I -1.00 I E17414 -1.00 1 -1.00 I -1.00 I -1.00 I -1.00 I E17A1P -1-00 I AHG LP/LV E1744C AHG LP/LV
AHG ARSO PIC ARSOPPTION
AHI C-3 DU SOI -1.00 1 E17450 -1.00 7 AHI C-3 DU SOL FITALE -1-00 1 ELTAIF AHI & DES AH -1-00 I -1-00 I -1.00] E1741J AHR -C-3 DU SOL -1-00 E1741K AHR & DES AH -1.00 I -1-00 1

-1-00 I

-1-00 T

AWALYSES DE LABOPATOIRE DU PROFIL/NOYONA/CRW115

	HORIZON LIMITES					
	PROFONDEUR		1 20-40 1			
A13816	ARGILE	5.40				
	1	3.00				
413B1J	LIMON FIN LIMON GROSSIER	P.70	-			
41381L	SABLE GPOSSIER	1 56.40 ; 1 26.40 ;				
413P1M	# H20 A 105 DEGRES	1 0.20				
A13R1P		0.60				
		5 6.00 1 1 4.90 1				
812414 812868	MO TOTALE EN &	I . n.40	0.30 1			
B1285B		I 2.58				
Elszzd	C/N	I . 11.00	8.80 T			
ASAE 19		1 1.05	0.90]			
		I 0.30				
BIBASE	NA+ EN ME POUR 100 G DE SOL	0.01	0.01 1			
B14844	TICEL & PHT	1 775	1.34 1			
814ZZE	V£	53.00 1 54-63 1				
615424 615425	CA++ EN ME POUR 100 G DE SOL MG++ EN ME POUR 100 G DE SOL	1 4.63 1 1 7.46 1	17-11 7			
B15420	K- EN ME POUR 100 G DE SOL	1. 1.06	1 3.96 I 1 1.27 I			
	NA+ EN ME POUR 100 G DE SOL	I 2.25]	2.58 1			
		1 10.42				
B16A1B		1 0.27 1 1 0.03 1				
	FE203 TOTAL	1.00	1.50 1			
617C1F		1 0.65 1 1 1.10 1				
HIAEIH		I 36.10]				
LIAEIH	AGREGATS EAU	I 35.80	-1+00 I			
H]31]K H]41]B		I 34.30 1 I 2.50 1				
H1441D	PF2.5	5.00	7.00 1			
E12B2C E13B1#		0.13				
		I 0.21 1 I 0.15 1				
E1301C	C DES AF SOUDE NACH 0.1N	1 . 0.22	0.13 1			
E13ZZE E13ZZF	SIGMA AFP+AFS SOMME DES AF	0.37 1 0.58 1				
	SIGMA AF / SIGMA AH .	1 1.09	1.79 1			
E14C54	SIGMA AF / SIGMA AHT C DES AH PYRO	I 0.52] I 0.38]				
E14D18	C DES AH SOUDE	0.15	0.07 7			
E1477E	SIGMA AH SIGMA AH / C TOTAL ACIDES HUMIQUES TOTAUX (AHT)	1 0.30	0.24 1			
E14ZZG	ACIDES HUMIQUES TOTAUX (AHT)	1 1.11 1	0.13 1			
E14ZZH	SIGMA AHT / C TOTAL	1 . 0-43 1	ז לב ח			
E1422J	SIGMA AH/AHT HUMINE C TOTAL COULOMETRE	0.48 1 1 1.34 1	0.36 1			
E15C4C	HUMINE N TOTAL (KJELD-TECHN)	I . 0.10 1	1 90.0			
E1522D	HUMINE C/N C DE HU/C TOTAL SIGMA AF/HU	1 13.00 1 1 0.52 1 1 0.43 1	11.90 1			
E 1522F	C DE HU/C TOTAL SIGMA AF/HU	0.52, 1 1 0.43 1	0.61 1 0.39 1			
F1577G	SIGNA ANZAU	0.39	1 0.72 1			
E15ZZH	MATIERES ORGANIQUES HUMIFIEES(7.45	1.77]			
E1577K	MATIERES ORGANIQUES HUMIFIEES(HU/HDH SIGMA AF/MOH SIGMA AH/MOH MDH/C TOTAL SIGMA MOL+XF+XH+HU AMG C-3 DU SOL AHG % DES AH AHG LRSC PIC ABSORPTION	0.24	1 0.62 1 1 0.24 T			
£15221	SIGMA AH/MOH	0-22	0.13 T D.98 I			
E1522M	MOHIC TOTAL	I - 0.95 I	I D-98 I I 1-80 I			
EIGALA	AHG C-3 DU SOL	0.23	-1.00/1			
E16AIR	AHG & DES AH	65.00	-1.00 1			
E1645D	AHG ABSC PIC ARSORPTION	0 - /1 . 1	1 -1.00 T 1 -1.00 T			
E1641E	AHG X DES AH AHG LR/LV AHG ABSC PIC ARSORPTION AHI C-3 DU SOL AHI % DES AH AHB C-3 DU SOL AHR % DES AH AHB LR/LY AHG C-3 DU SOL AHG T-3 DU SOL	0.05	-1.00 T			
E16A1F	AHI % DES AH AHR C+3 DU SOI	13.00	-1-00 1			
EJEVIK	AHR % DES AH	. 25.00 I	1 -1.00 I 1 -1.00 I			
E1414L	AHR LR/LY	0.55	-1-00 T			
E17414	AHG T-3 DU 50L	1 -1.00 1	7 00 . C - 1			
£1744C	AHG LR/LV	-1.00	-1.00 I -1.00 I -1.00 I			
£1745D	AHG LR/LV AHG ARSC PIC ARSORPTION AHI C-3 DU SOL AHI & DES AH	-1.00	-J+00 I			
E1741E E1741F	AHI C-3 DU SOL AHI C DES AH] -1.00]	1 -1.00 I			
E17A1J	AMB C-3 DU SOL	1 -1.00	1 -1-00 7			
E17±1*		1 -1-00	T 00-1-			
t 1 7 # 4 l	AHR LR/LV	1 -1-00	-1-DO T			

AMALYSES DE LABORATOIRE DU PROFIL/MO9909/DNS618

0- 50 1 50- 40 1 HORIZON I 1 LIMITES I VARIABLES A1381G ARGILE 1 17-80 1 14.30 T 1 10.80 I 10.30 I E17A1E AHI C-3 DU SOL E17A1F AHI % DES AH 7.00 I -1-00 E17A1J AMB C-3 DU SOL F17A1K AMB T DFS AH E1744L AMB LP/LV 0.11 1 -1-00 I 17.00 I I 0.54 I -1.00 -1-00